

## RESISTENCIAS ESTRUCTURALES DE LOS MICROS

Coeficientes de seguridad

	Persistente	Sismo
$\gamma_c$	1.50	1.30

### LECHADA

Diámetro de la perforación	150.00	mm
$f_{ck}$ lechada de hormigón	30.00	Mpa
Area sección hormigón (bruta)	17671.46	mm <sup>2</sup>
Area sección hormigón (neta)	15638.22	mm <sup>2</sup>

### TUBERÍA

Diámetro exterior tubería	88.90	mm
Diámetro interior tubería	72.90	mm
$f_{yd}$ acero tubería	486.96	Mpa (en persistente)
$f_{yd}$ acero tubería	560.00	Mpa (en sismo)
Reducción de espesor	1.20	mm
Coeficiente $F_{uc}$	1.00	
Area sección tubular (sin reduccion)	2033.24	mm <sup>2</sup>
Area sección tubular (con reduccion)	1702.62	mm <sup>2</sup>
Cumple sección para cálculo plástico	VERDADERO	
$W_{pl}$	43299.02	mm <sup>3</sup>

### ARMADURA

Nº de redondos	0.00	
Diámetro redondos	20.00	mm
Area de armadura	0.00	mm <sup>2</sup>
$f_{yd}$ acero	400.00	Mpa
Coeficiente $F_e$	1.3	
Coeficiente R	0.665	(Fangos y turbas)

## RESISTENCIAS ESTRUCTURALES DEL MICROPILOTE

	Persistente	Sismo	
$N_{c,rd}$ (kN)	466.8	537.2	kN
$M_{c,rd}$	21.1	24.2	kN*m
$V_{pl,rd}$	304.7	350.4	kN

## CÁLCULO DE LA ADHERENCIA O ANCLAJE MICROPILOTES

% del axil que se transmite a traves del tubo y las barras	100%	
Diámetro exterior del micro	150.00	mm
Diámetro exterior tubo	88.90	mm
Diámetro interior tubo	72.90	mm
Area transversal de tubo	20.33	cm <sup>2</sup>
LONGITUD DEL TUBO METIDA EN ENCEPADO	0.70	M
Número de redondos soldados al tubo	0.00	
Diámetro de los redondos	16.00	mm
Longitud LIBRE de los redondos	0.10	M
Tensión de adherencia de diseño tubo-hormigón	21.25	kp/cm <sup>2</sup>
Tensión de adherencia de diseño barras-hormigón	53.30	kp/cm <sup>2</sup>
Coeficiente de minoración de la adherencia	1.50	
Resistencia característica del hormigón de zapata	300.00	kp/cm <sup>2</sup>
Límite elástica de la armadura de anclaje	5100.00	kp/cm <sup>2</sup>
Límite elástico del acero del tubo	5600.00	kp/cm <sup>2</sup>
m (parámetro de longitud de anclaje)	13.00	
Carga máxima de cada redondo (teórica) en diseño	8.92	tn
Carga tomada por adherencia de cada redondo en diseño	2.68	tn
Carga a efectos de cálculo de cada barra	2.68	tn
Carga tomada por todos los redondos (cálculo)	0.00	tn
Carga máxima de tubo (teórica) en diseño	99.01	tn
Carga tomada por adherencia del tubo	41.55	tn
Carga a efectos de cálculo del tubo	41.55	tn
RESISTENCIA DE DISEÑO DEL ANCLAJE	41.55	ton

## PERFIL GEOTÉCNICO CONSIDERADO PARA EL CÁLCULO DE LOS MICROPILOTES

*Datos obtenidos de la interpretación de los sondeos S-2E y S-6E*

*(\*) Obtenido según Guía de Micropilotes. Figura 3.3 para Arenas y Gravas, inyección IU*

Estrato	Espesor	Descripción	Nspt	rf,lim (kPa) (*)
1	15	Marisma	0	0
2	8.50	Arena limosa-arcilla	35.00	180.00

Coeficiente Fr	1.65
----------------	------

Longitud de micropilote	23.50 m
-------------------------	---------

Diámetro de la perforación	0.15 m
----------------------------	--------

Resistencia al hundimiento Rcd	436.97 kN
--------------------------------	-----------

Máximo axil de diseño	407.00 kN (ver tabla comprobación axiles)
-----------------------	---

Incremento por rozamiento negativo	25.00 kN
------------------------------------	----------

Cumple hundimiento?	VERDADERO
---------------------	-----------

## COEFICIENTES DE REACCIÓN LATERAL DEL TERRENO PARA EL CÁLCULO DE LOS MICROS

Estrato	Espesor	Descripción	Nspt	Su (kPa)	Er (kN/ml/ml)
1	15	Marisma	0	2.5	125
2	8.50	Arena limosa-arcilla	35	150	7500

## CÁLCULO ARMADURA DE ENCEPADO GENERAL (SALVO PILAS 7 Y 8)

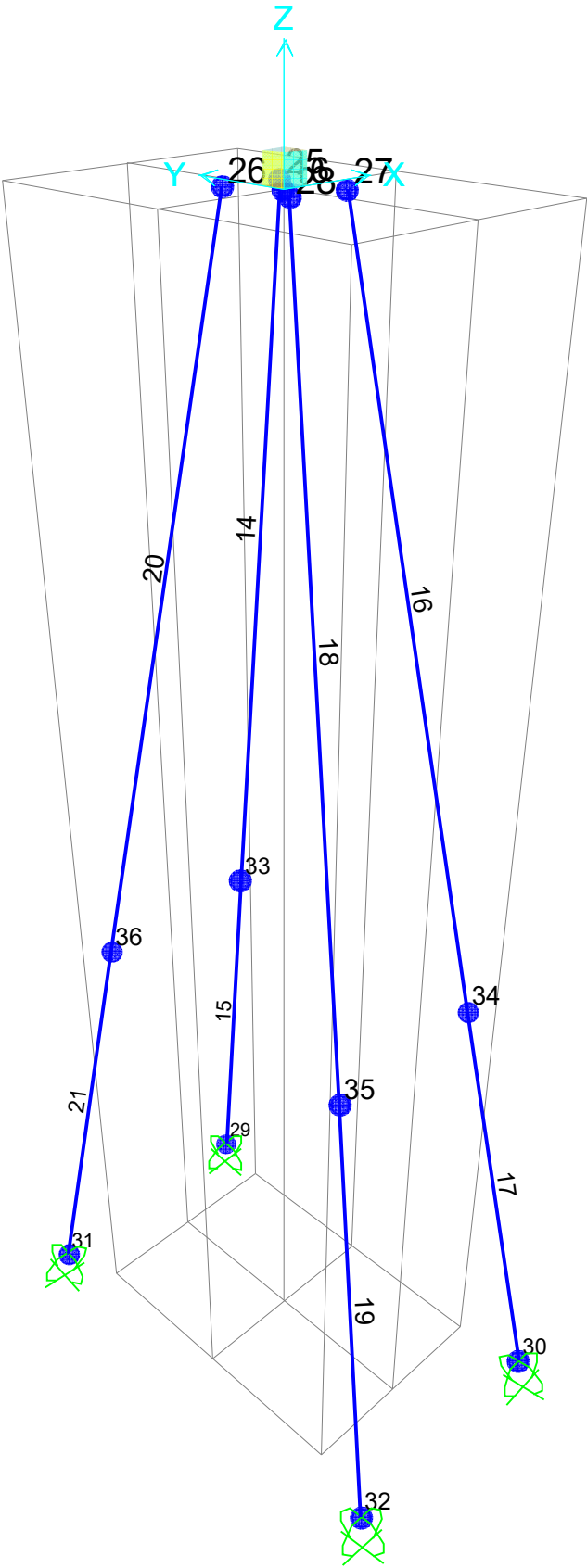
Máximo axil del micropilote	466.76	kN
Máximo vuelo longitudinal	0.75	m
Dimensión longitudinal fuste	0.60	m
Máximo vuelo transversal	0.65	m
Dimensión transversal fuste	0.90	m
Canto encepado	0.80	m
Td (longitudinal)	658.95	kN
As,nec	16.47	cm <sup>2</sup>
Nº de barras del 16	9.00	
Td (transversal)	640.65	kN
As,nec	16.02	cm <sup>2</sup>
Nº de barras del 16	8.00	

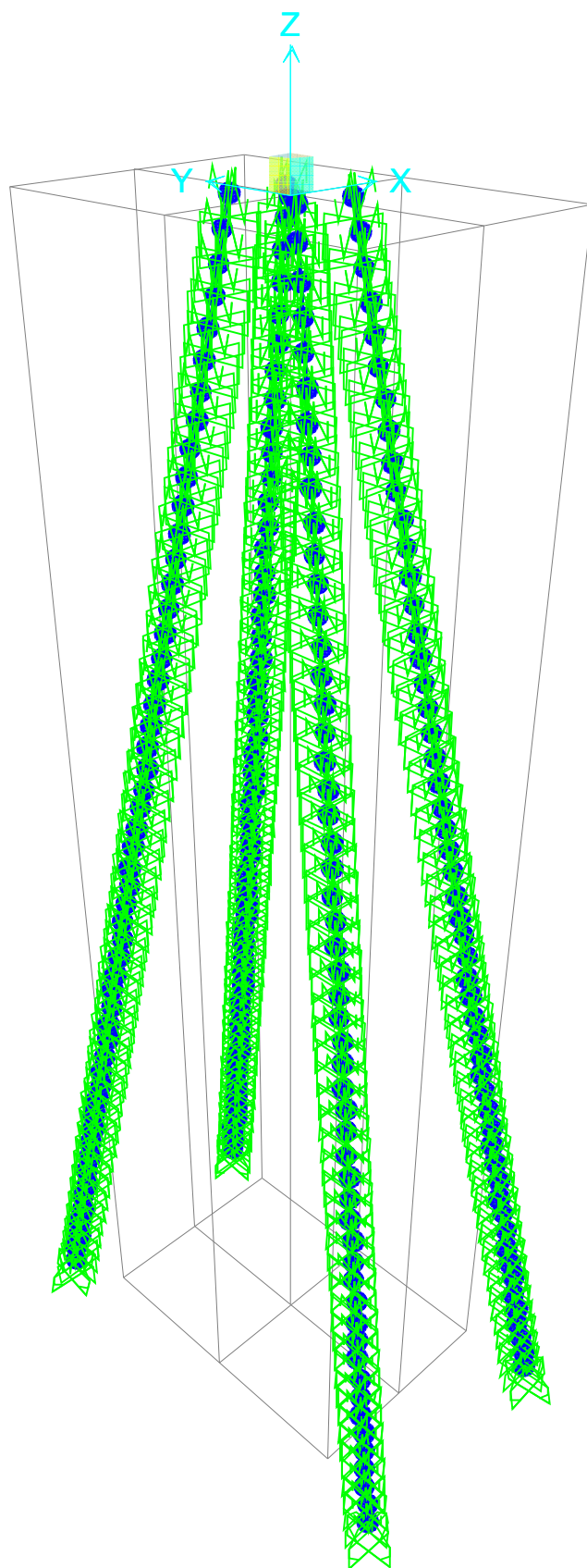
Se dispondrán redondos del 16 a 10

## ARMADURA DE CUELQUE DE LOS MICROPILOTES

% DE LA REACCIÓN QUE SE CUELGA	50.00	%
Reacción total de cuelgue	233.38	kN
Armadura de cuelgue por micro	5.83	cm <sup>2</sup>







**Table: Case - Static 1 - Load Assignments****Table: Case - Static 1 - Load Assignments**

Case	LoadType	LoadName	LoadSF
DEAD	Load pattern	DEAD	1.
P01_ELU_01_T0_Max	Load pattern	P01_ELU_01_T0_Max	1.
P01_ELU_01_T0_Min	Load pattern	P01_ELU_01_T0_Min	1.
P01_ELU_01_TINF_Max	Load pattern	P01_ELU_01_TINF_Max	1.
P01_ELU_01_TINF_Min	Load pattern	P01_ELU_01_TINF_Min	1.
P01_ELU_02_T0_Max	Load pattern	P01_ELU_02_T0_Max	1.
P01_ELU_02_T0_Min	Load pattern	P01_ELU_02_T0_Min	1.
P01_ELU_02_TINF_Max	Load pattern	P01_ELU_02_TINF_Max	1.
P01_ELU_02_TINF_Min	Load pattern	P01_ELU_02_TINF_Min	1.
P01_ELU_03_T0_Max	Load pattern	P01_ELU_03_T0_Max	1.
P01_ELU_03_T0_Min	Load pattern	P01_ELU_03_T0_Min	1.
P01_ELU_03_TINF_Max	Load pattern	P01_ELU_03_TINF_Max	1.
P01_ELU_03_TINF_Min	Load pattern	P01_ELU_03_TINF_Min	1.
P01_ELU_SISMO_X_T0_Max	Load pattern	P01_ELU_SISMO_X_T0_Max	1.
P01_ELU_SISMO_X_T0_Min	Load pattern	P01_ELU_SISMO_X_T0_Min	1.
P01_ELU_SISMO_Y_T0_Max	Load pattern	P01_ELU_SISMO_Y_T0_Max	1.
P01_ELU_SISMO_Y_T0_Min	Load pattern	P01_ELU_SISMO_Y_T0_Min	1.
P01_ELU_SISMO_Z_T0_Max	Load pattern	P01_ELU_SISMO_Z_T0_Max	1.
P01_ELU_SISMO_Z_T0_Min	Load pattern	P01_ELU_SISMO_Z_T0_Min	1.
P01_ELU_SISMO_X_TINF_Max	Load pattern	P01_ELU_SISMO_X_TINF_Max	1.
P01_ELU_SISMO_X_TINF_Min	Load pattern	P01_ELU_SISMO_X_TINF_Min	1.
P01_ELU_SISMO_Y_TINF_Max	Load pattern	P01_ELU_SISMO_Y_TINF_Max	1.
P01_ELU_SISMO_Y_TINF_Min	Load pattern	P01_ELU_SISMO_Y_TINF_Min	1.
P01_ELU_SISMO_Z_TINF_Max	Load pattern	P01_ELU_SISMO_Z_TINF_Max	1.
P01_ELU_SISMO_Z_TINF_Min	Load pattern	P01_ELU_SISMO_Z_TINF_Min	1.
P02_ELU_01_T0_Max	Load pattern	P02_ELU_01_T0_Max	1.
P02_ELU_01_T0_Min	Load pattern	P02_ELU_01_T0_Min	1.
P02_ELU_01_TINF_Max	Load pattern	P02_ELU_01_TINF_Max	1.

Table: Case - Static 1 - Load Assignments

Case	LoadType	LoadName	LoadSF
P02_ELU_01_TINF_Min	Load pattern	P02_ELU_01_TINF_Min	1.
P02_ELU_02_T0_Max	Load pattern	P02_ELU_02_T0_Max	1.
P02_ELU_02_T0_Min	Load pattern	P02_ELU_02_T0_Min	1.
P02_ELU_02_TINF_Max	Load pattern	P02_ELU_02_TINF_Max	1.
P02_ELU_02_TINF_Min	Load pattern	P02_ELU_02_TINF_Min	1.
P02_ELU_03_T0_Max	Load pattern	P02_ELU_03_T0_Max	1.
P02_ELU_03_T0_Min	Load pattern	P02_ELU_03_T0_Min	1.
P02_ELU_03_TINF_Max	Load pattern	P02_ELU_03_TINF_Max	1.
P02_ELU_03_TINF_Min	Load pattern	P02_ELU_03_TINF_Min	1.
P02_ELU_SISMO_X_T0_Max	Load pattern	P02_ELU_SISMO_X_T0_Max	1.
P02_ELU_SISMO_X_T0_Min	Load pattern	P02_ELU_SISMO_X_T0_Min	1.
P02_ELU_SISMO_Y_T0_Max	Load pattern	P02_ELU_SISMO_Y_T0_Max	1.
P02_ELU_SISMO_Y_T0_Min	Load pattern	P02_ELU_SISMO_Y_T0_Min	1.
P02_ELU_SISMO_Z_T0_Max	Load pattern	P02_ELU_SISMO_Z_T0_Max	1.
P02_ELU_SISMO_Z_T0_Min	Load pattern	P02_ELU_SISMO_Z_T0_Min	1.
P02_ELU_SISMO_X_TINF_Max	Load pattern	P02_ELU_SISMO_X_TINF_Max	1.
P02_ELU_SISMO_X_TINF_Min	Load pattern	P02_ELU_SISMO_X_TINF_Min	1.
P02_ELU_SISMO_Y_TINF_Max	Load pattern	P02_ELU_SISMO_Y_TINF_Max	1.
P02_ELU_SISMO_Y_TINF_Min	Load pattern	P02_ELU_SISMO_Y_TINF_Min	1.
P02_ELU_SISMO_Z_TINF_Max	Load pattern	P02_ELU_SISMO_Z_TINF_Max	1.
P02_ELU_SISMO_Z_TINF_Min	Load pattern	P02_ELU_SISMO_Z_TINF_Min	1.
P12_ELU_01_T0_Max	Load pattern	P12_ELU_01_T0_Max	1.
P12_ELU_01_T0_Min	Load pattern	P12_ELU_01_T0_Min	1.
P12_ELU_01_TINF_Max	Load pattern	P12_ELU_01_TINF_Max	1.
P12_ELU_01_TINF_Min	Load pattern	P12_ELU_01_TINF_Min	1.
P12_ELU_02_T0_Max	Load pattern	P12_ELU_02_T0_Max	1.
P12_ELU_02_T0_Min	Load pattern	P12_ELU_02_T0_Min	1.
P12_ELU_02_TINF_Max	Load pattern	P12_ELU_02_TINF_Max	1.
P12_ELU_02_TINF_Min	Load pattern	P12_ELU_02_TINF_Min	1.
P12_ELU_03_T0_Max	Load pattern	P12_ELU_03_T0_Max	1.

Table: Case - Static 1 - Load Assignments

Case	LoadType	LoadName	LoadSF
P12_ELU_03_T0_Mi n	Load pattern	P12_ELU_03_T0_Mi n	1.
P12_ELU_03_TINF_ Max	Load pattern	P12_ELU_03_TINF_ Max	1.
P12_ELU_03_TINF_ Min	Load pattern	P12_ELU_03_TINF_ Min	1.
P12_ELU_SISMO_X _T0_Max	Load pattern	P12_ELU_SISMO_X _T0_Max	1.
P12_ELU_SISMO_X _T0_Min	Load pattern	P12_ELU_SISMO_X _T0_Min	1.
P12_ELU_SISMO_Y _T0_Max	Load pattern	P12_ELU_SISMO_Y _T0_Max	1.
P12_ELU_SISMO_Y _T0_Min	Load pattern	P12_ELU_SISMO_Y _T0_Min	1.
P12_ELU_SISMO_Z _T0_Max	Load pattern	P12_ELU_SISMO_Z _T0_Max	1.
P12_ELU_SISMO_Z _T0_Min	Load pattern	P12_ELU_SISMO_Z _T0_Min	1.
P12_ELU_SISMO_X _TINF_Max	Load pattern	P12_ELU_SISMO_X _TINF_Max	1.
P12_ELU_SISMO_X _TINF_Min	Load pattern	P12_ELU_SISMO_X _TINF_Min	1.
P12_ELU_SISMO_Y _TINF_Max	Load pattern	P12_ELU_SISMO_Y _TINF_Max	1.
P12_ELU_SISMO_Y _TINF_Min	Load pattern	P12_ELU_SISMO_Y _TINF_Min	1.
P12_ELU_SISMO_Z _TINF_Max	Load pattern	P12_ELU_SISMO_Z _TINF_Max	1.
P12_ELU_SISMO_Z _TINF_Min	Load pattern	P12_ELU_SISMO_Z _TINF_Min	1.
P13_ELU_01_T0_M ax	Load pattern	P13_ELU_01_T0_M ax	1.
P13_ELU_01_T0_Mi n	Load pattern	P13_ELU_01_T0_Mi n	1.
P13_ELU_01_TINF_ Max	Load pattern	P13_ELU_01_TINF_ Max	1.
P13_ELU_01_TINF_ Min	Load pattern	P13_ELU_01_TINF_ Min	1.
P13_ELU_02_T0_M ax	Load pattern	P13_ELU_02_T0_M ax	1.
P13_ELU_02_T0_Mi n	Load pattern	P13_ELU_02_T0_Mi n	1.
P13_ELU_02_TINF_ Max	Load pattern	P13_ELU_02_TINF_ Max	1.
P13_ELU_02_TINF_ Min	Load pattern	P13_ELU_02_TINF_ Min	1.
P13_ELU_03_T0_M ax	Load pattern	P13_ELU_03_T0_M ax	1.
P13_ELU_03_T0_Mi n	Load pattern	P13_ELU_03_T0_Mi n	1.
P13_ELU_03_TINF_ Max	Load pattern	P13_ELU_03_TINF_ Max	1.
P13_ELU_03_TINF_ Min	Load pattern	P13_ELU_03_TINF_ Min	1.
P13_ELU_SISMO_X _T0_Max	Load pattern	P13_ELU_SISMO_X _T0_Max	1.
P13_ELU_SISMO_X _T0_Min	Load pattern	P13_ELU_SISMO_X _T0_Min	1.
P13_ELU_SISMO_Y _T0_Max	Load pattern	P13_ELU_SISMO_Y _T0_Max	1.

**Table: Case - Static 1 - Load Assignments**

Case	LoadType	LoadName	LoadSF
P13_ELU_SISMO_Y _T0_Min	Load pattern	P13_ELU_SISMO_Y _T0_Min	1.
P13_ELU_SISMO_Z _T0_Max	Load pattern	P13_ELU_SISMO_Z _T0_Max	1.
P13_ELU_SISMO_Z _T0_Min	Load pattern	P13_ELU_SISMO_Z _T0_Min	1.
P13_ELU_SISMO_X _TINF_Max	Load pattern	P13_ELU_SISMO_X _TINF_Max	1.
P13_ELU_SISMO_X _TINF_Min	Load pattern	P13_ELU_SISMO_X _TINF_Min	1.
P13_ELU_SISMO_Y _TINF_Max	Load pattern	P13_ELU_SISMO_Y _TINF_Max	1.
P13_ELU_SISMO_Y _TINF_Min	Load pattern	P13_ELU_SISMO_Y _TINF_Min	1.
P13_ELU_SISMO_Z _TINF_Max	Load pattern	P13_ELU_SISMO_Z _TINF_Max	1.
P13_ELU_SISMO_Z _TINF_Min	Load pattern	P13_ELU_SISMO_Z _TINF_Min	1.

**Table: Frame Section Assignments****Table: Frame Section Assignments**

Frame	SectionType	AutoSelect	AnalSect	DesignSect	MatProp
14	Circular	N.A.	MICROPILOTE	MICROPILOTE	Default
15	Circular	N.A.	MICROPILOTE	MICROPILOTE	Default
16	Circular	N.A.	MICROPILOTE	MICROPILOTE	Default
17	Circular	N.A.	MICROPILOTE	MICROPILOTE	Default
18	Circular	N.A.	MICROPILOTE	MICROPILOTE	Default
19	Circular	N.A.	MICROPILOTE	MICROPILOTE	Default
20	Circular	N.A.	MICROPILOTE	MICROPILOTE	Default
21	Circular	N.A.	MICROPILOTE	MICROPILOTE	Default

**Table: Frame Section Properties 01 - General, Part 1 of 5****Table: Frame Section Properties 01 - General, Part 1 of 5**

SectionName	Material	Shape	t3 m	Area m2	TorsConst m4	I33 m4
MICROPILOTE	HORMIGÓN	Circle	0.15	0.017671	0.00005	0.000025

**Table: Frame Section Properties 01 - General, Part 2 of 5****Table: Frame Section Properties 01 - General, Part 2 of 5**

SectionName	I22 m4	I23 m4	AS2 m2	AS3 m2	S33 m3	S22 m3	Z33 m3
MICROPILOTE	0.000025	0.	0.015904	0.015904	0.000331	0.000331	0.000563

**Table: Frame Section Properties 01 - General, Part 3 of 5**

Table: Frame Section Properties 01 - General, Part 3 of 5							
SectionName	Z22 m3	R33 m	R22 m	ConcCol	ConcBeam	Color	TotalWt KN
MICROPILOTE	0.000563	0.0375	0.0375	Yes	No	Green	42.438

**Table: Frame Section Properties 01 - General, Part 4 of 5**

Table: Frame Section Properties 01 - General, Part 4 of 5							
SectionName	TotalMass KN-s2/m	FromFile	AMod	A2Mod	A3Mod	JMod	I2Mod
MICROPILOTE	4.33	No	1.	1.	1.	1.	1.

**Table: Frame Section Properties 01 - General, Part 5 of 5**

Table: Frame Section Properties 01 - General, Part 5 of 5					
SectionName	I3Mod	MMod	WMod	GUID	Notes
MICROPILOTE	1.	1.	1.		Added 09/01/2017 16:59:19

**Table: Frame Spring Assignments**

Table: Frame Spring Assignments					
Frame	Type	Stiffness KN/m/m	SimpleType	Dir1Type	Dir
14	Simple	125.	Tension and Compression	Object Axes	2
14	Simple	125.	Tension and Compression	Object Axes	3
15	Simple	7500.	Tension and Compression	Object Axes	3
15	Simple	7500.	Tension and Compression	Object Axes	2
16	Simple	125.	Tension and Compression	Object Axes	2
16	Simple	125.	Tension and Compression	Object Axes	3
17	Simple	7500.	Tension and Compression	Object Axes	3
17	Simple	7500.	Tension and Compression	Object Axes	2
18	Simple	125.	Tension and Compression	Object Axes	2
18	Simple	125.	Tension and Compression	Object Axes	3
19	Simple	7500.	Tension and Compression	Object Axes	3
19	Simple	7500.	Tension and Compression	Object Axes	2
20	Simple	125.	Tension and Compression	Object Axes	2
20	Simple	125.	Tension and Compression	Object Axes	3
21	Simple	7500.	Tension and Compression	Object Axes	3
21	Simple	7500.	Tension and Compression	Object Axes	2

**Table: Joint Coordinates, Part 1 of 2**

Table: Joint Coordinates, Part 1 of 2							
Joint	CoordSys	CoordType	XorR m	Y m	Z m	SpecialJt	GlobalX m
16	GLOBAL	Cartesian	0.	0.	0.	Yes	0.
25	GLOBAL	Cartesian	0.6	0.7	0.	Yes	0.6
26	GLOBAL	Cartesian	-0.6	0.7	0.	Yes	-0.6
27	GLOBAL	Cartesian	0.6	-0.7	0.	Yes	0.6
28	GLOBAL	Cartesian	-0.6	-0.7	0.	Yes	-0.6
29	GLOBAL	Cartesian	2.78722	5.10817	-25.	Yes	2.78722
30	GLOBAL	Cartesian	2.7872	-5.1082	-25.	Yes	2.7872
31	GLOBAL	Cartesian	-2.7872	5.1082	-25.	Yes	-2.7872
32	GLOBAL	Cartesian	-2.7872	-5.1082	-25.	Yes	-2.7872
33	GLOBAL	Cartesian	1.88762	3.29511	-14.7176	No	1.88762
34	GLOBAL	Cartesian	1.88761	-3.29512	-14.7176	No	1.88761
35	GLOBAL	Cartesian	-1.88761	-3.29512	-14.7176	No	-1.88761
36	GLOBAL	Cartesian	-1.88761	3.29512	-14.7176	No	-1.88761

**Table: Joint Coordinates, Part 2 of 2**

Table: Joint Coordinates, Part 2 of 2			
Joint	GlobalY m	GlobalZ m	GUID
16	0.	0.	1cebf514-d3e4-415a-8a2 c-88e9f88235b2
25	0.7	0.	1cebf514-d3e4-415a-8a2 c-88e9f88235b2
26	0.7	0.	1cebf514-d3e4-415a-8a2 c-88e9f88235b2
27	-0.7	0.	1cebf514-d3e4-415a-8a2 c-88e9f88235b2
28	-0.7	0.	1cebf514-d3e4-415a-8a2 c-88e9f88235b2
29	5.10817	-25.	1cebf514-d3e4-415a-8a2 c-88e9f88235b2
30	-5.1082	-25.	1cebf514-d3e4-415a-8a2 c-88e9f88235b2
31	5.1082	-25.	1cebf514-d3e4-415a-8a2 c-88e9f88235b2
32	-5.1082	-25.	1cebf514-d3e4-415a-8a2 c-88e9f88235b2
33	3.29511	-14.7176	1cebf514-d3e4-415a-8a2 c-88e9f88235b2
34	-3.29512	-14.7176	1cebf514-d3e4-415a-8a2 c-88e9f88235b2
35	-3.29512	-14.7176	1cebf514-d3e4-415a-8a2 c-88e9f88235b2
36	3.29512	-14.7176	1cebf514-d3e4-415a-8a2 c-88e9f88235b2



**Table: Joint Loads - Force, Part 1 of 2**

Table: Joint Loads - Force, Part 1 of 2							
Joint	LoadPat	CoordSys	F1 KN	F2 KN	F3 KN	M1 KN-m	M2 KN-m
16	P01_ELU_01_T0_Max	GLOBAL	-9.311E-10	27.024	-1094.264	-200.6117	-2.514E-09
16	P01_ELU_01_T0_Min	GLOBAL	6.357E-10	27.067	-684.215	-93.6592	1.716E-09
16	P01_ELU_01_TINF_Max	GLOBAL	11.475	27.024	-1135.628	-200.6102	29.835
16	P01_ELU_01_TINF_Min	GLOBAL	11.475	27.067	-725.579	-93.6577	29.835
16	P01_ELU_02_T0_Max	GLOBAL	-8.583E-10	90.081	-895.288	-355.0269	-2.317E-09
16	P01_ELU_02_T0_Min	GLOBAL	5.661E-10	90.098	-696.448	-312.2446	1.529E-09
16	P01_ELU_02_TINF_Max	GLOBAL	11.475	90.081	-936.651	-355.0254	29.835
16	P01_ELU_02_TINF_Min	GLOBAL	11.475	90.098	-737.812	-312.2431	29.835
16	P01_ELU_03_T0_Max	GLOBAL	-1.411E-09	27.024	-919.558	-136.4433	-3.808E-09
16	P01_ELU_03_T0_Min	GLOBAL	9.031E-10	27.041	-681.857	-93.6596	2.438E-09
16	P01_ELU_03_TINF_Max	GLOBAL	11.475	27.024	-960.921	-136.4418	29.835
16	P01_ELU_03_TINF_Min	GLOBAL	11.475	27.041	-723.221	-93.658	29.835
16	P01_ELU_SISMO_X_T0_Max	GLOBAL	-4.368E-05	-11.099	-538.561	-40.3519	-4.195E-05
16	P01_ELU_SISMO_X_T0_Min	GLOBAL	4.368E-05	11.099	-537.583	40.3761	4.195E-05
16	P01_ELU_SISMO_Y_T0_Max	GLOBAL	-4.657E-05	-36.995	-538.486	-134.5308	-4.937E-05
16	P01_ELU_SISMO_Y_T0_Min	GLOBAL	4.657E-05	36.994	-537.658	134.555	4.938E-05
16	P01_ELU_SISMO_Z_T0_Max	GLOBAL	-8.431E-05	-11.099	-539.375	-40.3511	-7.934E-05
16	P01_ELU_SISMO_Z_T0_Min	GLOBAL	8.431E-05	11.098	-536.769	40.3753	7.934E-05
16	P01_ELU_SISMO_X_TINF_Max	GLOBAL	8.5	-11.099	-569.201	-40.3508	22.1
16	P01_ELU_SISMO_X_TINF_Min	GLOBAL	8.5	11.099	-568.222	40.3772	22.1
16	P01_ELU_SISMO_Y_TINF_Max	GLOBAL	8.5	-36.994	-569.125	-134.5297	22.1
16	P01_ELU_SISMO_Y_TINF_Min	GLOBAL	8.5	36.995	-568.298	134.5561	22.1
16	P01_ELU_SISMO_Z_TINF_Max	GLOBAL	8.5	-11.098	-570.015	-40.35	22.0999
16	P01_ELU_SISMO_Z_TINF_Min	GLOBAL	8.5	11.099	-567.408	40.3764	22.1001
16	P02_ELU_01_T0_Max	GLOBAL	-8.417E-10	30.733	-1008.475	-243.6479	-2.794E-09
16	P02_ELU_01_T0_Min	GLOBAL	5.767E-10	31.031	-632.125	-125.316	1.915E-09
16	P02_ELU_01_TINF_Max	GLOBAL	9.18	30.733	-998.323	-243.6467	29.5596
16	P02_ELU_01_TINF_Min	GLOBAL	9.18	31.031	-621.974	-125.3148	29.5596
16	P02_ELU_02_T0_Max	GLOBAL	-7.668E-10	102.445	-821.645	-465.0967	-2.546E-09

Table: Joint Loads - Force, Part 1 of 2

Joint	LoadPat	CoordSys	F1 KN	F2 KN	F3 KN	M1 KN-m	M2 KN-m
16	P02_ELU_02_T0_Min	GLOBAL	5.059E-10	102.564	-661.381	-417.763	1.679E-09
16	P02_ELU_02_TINF_Max	GLOBAL	9.18	102.445	-811.493	-465.0955	29.5596
16	P02_ELU_02_TINF_Min	GLOBAL	9.18	102.564	-651.229	-417.7618	29.5596
16	P02_ELU_03_T0_Max	GLOBAL	-1.255E-09	30.733	-825.733	-172.6509	-4.167E-09
16	P02_ELU_03_T0_Min	GLOBAL	8.038E-10	30.853	-654.622	-125.3161	2.669E-09
16	P02_ELU_03_TINF_Max	GLOBAL	9.18	30.733	-815.581	-172.6497	29.5596
16	P02_ELU_03_TINF_Min	GLOBAL	9.18	30.852	-644.471	-125.3149	29.5596
16	P02_ELU_SISMO_X_T0_Max	GLOBAL	-9.281E-05	-13.091	-512.381	-55.7493	-1.056E-04
16	P02_ELU_SISMO_X_T0_Min	GLOBAL	9.281E-05	13.091	-511.296	55.7728	1.056E-04
16	P02_ELU_SISMO_Y_T0_Max	GLOBAL	-1.960E-04	-43.636	-512.214	-185.8567	-2.191E-04
16	P02_ELU_SISMO_Y_T0_Min	GLOBAL	1.960E-04	43.636	-511.463	185.8802	2.191E-04
16	P02_ELU_SISMO_Z_T0_Max	GLOBAL	-1.410E-04	-13.091	-512.924	-55.7491	-1.502E-04
16	P02_ELU_SISMO_Z_T0_Min	GLOBAL	1.410E-04	13.091	-510.753	55.7725	1.502E-04
16	P02_ELU_SISMO_X_TINF_Max	GLOBAL	6.8	-13.091	-504.862	-55.7484	21.8959
16	P02_ELU_SISMO_X_TINF_Min	GLOBAL	6.8	13.091	-503.776	55.7737	21.8961
16	P02_ELU_SISMO_Y_TINF_Max	GLOBAL	6.8	-43.636	-504.695	-185.8558	21.8958
16	P02_ELU_SISMO_Y_TINF_Min	GLOBAL	6.8	43.635	-503.943	185.8811	21.8962
16	P02_ELU_SISMO_Z_TINF_Max	GLOBAL	6.8	-13.091	-505.405	-55.7482	21.8958
16	P02_ELU_SISMO_Z_TINF_Min	GLOBAL	6.8	13.09	-503.233	55.7734	21.8962
16	P12_ELU_01_T0_Max	GLOBAL	-5.130E-10	30.492	-1013.041	-256.6555	-1.842E-09
16	P12_ELU_01_T0_Min	GLOBAL	7.391E-10	31.039	-629.871	-133.6985	2.653E-09
16	P12_ELU_01_TINF_Max	GLOBAL	-9.18	30.492	-1003.029	-256.6542	-32.0382
16	P12_ELU_01_TINF_Min	GLOBAL	-9.18	31.039	-619.858	-133.6972	-32.0382
16	P12_ELU_02_T0_Max	GLOBAL	-4.451E-10	101.642	-825.651	-494.8892	-1.598E-09
16	P12_ELU_02_T0_Min	GLOBAL	6.672E-10	101.861	-660.484	-445.7053	2.395E-09
16	P12_ELU_02_TINF_Max	GLOBAL	-9.18	101.641	-815.638	-494.8878	-32.0382
16	P12_ELU_02_TINF_Min	GLOBAL	-9.18	101.86	-650.471	-445.704	-32.0382
16	P12_ELU_03_T0_Max	GLOBAL	-7.033E-10	30.492	-830.68	-182.8835	-2.525E-09
16	P12_ELU_03_T0_Min	GLOBAL	1.090E-09	30.711	-652.248	-133.6984	3.914E-09
16	P12_ELU_03_TINF_Max	GLOBAL	-9.18	30.492	-820.667	-182.8822	-32.0382

Table: Joint Loads - Force, Part 1 of 2

Joint	LoadPat	CoordSys	F1 KN	F2 KN	F3 KN	M1 KN-m	M2 KN-m
16	P12_ELU_03_TINF_Min	GLOBAL	-9.18	30.711	-642.236	-133.6971	-32.0382
16	P12_ELU_SISMO_X_T0_Max	GLOBAL	-4.861E-05	-12.77	-514.71	-58.0739	-6.333E-05
16	P12_ELU_SISMO_X_T0_Min	GLOBAL	4.861E-05	12.77	-512.258	58.0979	6.333E-05
16	P12_ELU_SISMO_Y_T0_Max	GLOBAL	-1.125E-04	-42.565	-514.022	-193.6069	-1.317E-04
16	P12_ELU_SISMO_Y_T0_Min	GLOBAL	1.125E-04	42.565	-512.947	193.6309	1.317E-04
16	P12_ELU_SISMO_Z_T0_Max	GLOBAL	-7.420E-05	-12.77	-514.586	-58.0738	-8.127E-05
16	P12_ELU_SISMO_Z_T0_Min	GLOBAL	7.420E-05	12.77	-512.382	58.0978	8.127E-05
16	P12_ELU_SISMO_X_TINF_Max	GLOBAL	-6.8	-12.77	-507.293	-58.0729	-23.7321
16	P12_ELU_SISMO_X_TINF_Min	GLOBAL	-6.8	12.769	-504.842	58.0989	-23.7319
16	P12_ELU_SISMO_Y_TINF_Max	GLOBAL	-6.8	-42.565	-506.605	-193.6059	-23.7321
16	P12_ELU_SISMO_Y_TINF_Min	GLOBAL	-6.8	42.565	-505.53	193.6319	-23.7319
16	P12_ELU_SISMO_Z_TINF_Max	GLOBAL	-6.8	-12.77	-507.169	-58.0729	-23.7321
16	P12_ELU_SISMO_Z_TINF_Min	GLOBAL	-6.8	12.769	-504.966	58.0988	-23.7319
16	P13_ELU_01_T0_Max	GLOBAL	-5.759E-10	27.787	-1106.565	-201.4054	-1.906E-09
16	P13_ELU_01_T0_Min	GLOBAL	8.359E-10	27.792	-692.521	-103.9642	2.767E-09
16	P13_ELU_01_TINF_Max	GLOBAL	-11.502	27.787	-1147.885	-201.4041	-36.9214
16	P13_ELU_01_TINF_Min	GLOBAL	-11.502	27.792	-733.841	-103.963	-36.9214
16	P13_ELU_02_T0_Max	GLOBAL	-5.058E-10	92.623	-907.42	-385.5683	-1.674E-09
16	P13_ELU_02_T0_Min	GLOBAL	7.627E-10	92.625	-704.835	-346.5906	2.525E-09
16	P13_ELU_02_TINF_Max	GLOBAL	-11.502	92.623	-948.74	-385.567	-36.9214
16	P13_ELU_02_TINF_Min	GLOBAL	-11.502	92.625	-746.156	-346.5893	-36.9214
16	P13_ELU_03_T0_Max	GLOBAL	-8.031E-10	27.787	-933.149	-142.9435	-2.658E-09
16	P13_ELU_03_T0_Min	GLOBAL	1.250E-09	27.789	-689.319	-103.9644	4.137E-09
16	P13_ELU_03_TINF_Max	GLOBAL	-11.502	27.787	-974.469	-142.9422	-36.9214
16	P13_ELU_03_TINF_Min	GLOBAL	-11.502	27.789	-730.639	-103.9632	-36.9214
16	P13_ELU_SISMO_X_T0_Max	GLOBAL	-5.426E-05	-11.848	-545.762	-46.2279	-4.893E-05
16	P13_ELU_SISMO_X_T0_Min	GLOBAL	5.426E-05	11.848	-544.945	46.2502	4.893E-05
16	P13_ELU_SISMO_Y_T0_Max	GLOBAL	-1.490E-04	-39.492	-545.649	-154.1148	-1.172E-04
16	P13_ELU_SISMO_Y_T0_Min	GLOBAL	1.490E-04	39.492	-545.058	154.1371	1.172E-04
16	P13_ELU_SISMO_Z_T0_Max	GLOBAL	-6.995E-05	-11.848	-546.226	-46.227	-6.223E-05

Table: Joint Loads - Force, Part 1 of 2

Joint	LoadPat	CoordSys	F1 KN	F2 KN	F3 KN	M1 KN-m	M2 KN-m
16	P13_ELU_SISMO_Z _T0_Min	GLOBAL	6.995E-05	11.848	-544.481	46.2493	6.223E-05
16	P13_ELU_SISMO_X _TINF_Max	GLOBAL	-8.52	-11.848	-576.369	-46.227	-27.3492
16	P13_ELU_SISMO_X _TINF_Min	GLOBAL	-8.52	11.848	-575.553	46.2512	-27.3492
16	P13_ELU_SISMO_Y _TINF_Max	GLOBAL	-8.52	-39.492	-576.257	-154.1138	-27.3493
16	P13_ELU_SISMO_Y _TINF_Min	GLOBAL	-8.52	39.492	-575.665	154.138	-27.3491
16	P13_ELU_SISMO_Z _TINF_Max	GLOBAL	-8.52	-11.848	-576.833	-46.2261	-27.3493
16	P13_ELU_SISMO_Z _TINF_Min	GLOBAL	-8.52	11.848	-575.089	46.2503	-27.3491

Table: Joint Loads - Force, Part 2 of 2

Table: Joint Loads - Force, Part 2 of 2

Joint	LoadPat	M3 KN-m	GUID
16	P01_ELU_01_T0_M ax	5.379E-13	0f51dea5-b24b-4bcc-a5a c-4e9310ad8544
16	P01_ELU_01_T0_Mi n	6.625E-13	b3755fd9-7155-4138-8b4 a-1a641f536c89
16	P01_ELU_01_TINF_ Max	5.377E-13	4ee07f28-9356-48eb-871 3-ffa60c02e3eb
16	P01_ELU_01_TINF_ Min	6.623E-13	b000bc2f-cbd7-4d98-894 7-10488068854a
16	P01_ELU_02_T0_M ax	1.793E-12	0f71dcc5-ea4a-45ed-bdb 2-e524f389cfa3
16	P01_ELU_02_T0_Mi n	1.843E-12	70e440e6-a273-425c-ae d7-0fb4f3b353b0
16	P01_ELU_02_TINF_ Max	1.793E-12	ac571870-32c6-46e2-88 c1-17e6e85a8709
16	P01_ELU_02_TINF_ Min	1.843E-12	3c2b12ba-371e-4d9f-afe 1-a156393ce99f
16	P01_ELU_03_T0_M ax	5.379E-13	fa508956-a732-460d-b9f 4-60e9371fccb9
16	P01_ELU_03_T0_Mi n	5.878E-13	9de5f527-0045-4799-aad d-658d517d8496
16	P01_ELU_03_TINF_ Max	5.377E-13	7925a658-5371-45cc-8d b9-a59550ac6c32
16	P01_ELU_03_TINF_ Min	5.877E-13	22887141-2700-48e6-87 c2-da45277e0f60
16	P01_ELU_SISMO_X _T0_Max	-3.287E-13	429ac29b-fc2d-4f5c-a52 4-cdd1e54f0af9
16	P01_ELU_SISMO_X _T0_Min	3.286E-13	6a40857d-bc7d-405f-a2b 3-8dc1591a1b89
16	P01_ELU_SISMO_Y _T0_Max	-1.095E-12	3b9fce86-5f6b-4869-942 8-d3197890eb81
16	P01_ELU_SISMO_Y _T0_Min	1.095E-12	730bbae4-5bc7-4ced-86 b9-41cf7ef565ce
16	P01_ELU_SISMO_Z _T0_Max	-3.287E-13	577ead8-d961-4cff-900 b-d3bf23a2166b
16	P01_ELU_SISMO_Z _T0_Min	3.286E-13	62a3447e-ce28-45a1-80 1e-2e26f03ad418
16	P01_ELU_SISMO_X _TINF_Max	-3.288E-13	00c51829-682a-4d5e-85 ae-04a1ea815e56

Table: Joint Loads - Force, Part 2 of 2

Joint	LoadPat	M3 KN-m	GUID
16	P01_ELU_SISMO_X _TINF_Min	3.285E-13	56cf605c-f3b8-4246-a52 3-2241e7c931d9
16	P01_ELU_SISMO_Y _TINF_Max	-1.096E-12	45a0d1cd-ccb5-4967-b3 a5-101bc6566f1b
16	P01_ELU_SISMO_Y _TINF_Min	1.095E-12	2d974e7f-7ac7-4ff5-9c69 -d60ae964682c
16	P01_ELU_SISMO_Z _TINF_Max	-3.288E-13	61a22310-0370-4d91-a3f 1-effc9807e061
16	P01_ELU_SISMO_Z _TINF_Min	3.285E-13	967bc79a-64dc-4a20-be 0a-198f1e94023b
16	P02_ELU_01_T0_M ax	3.243E-13	14f769fa-9ebf-4f07-9318- 746f3d481d9b
16	P02_ELU_01_T0_Mi n	4.514E-13	905bb823-c58c-4f35-bba 1-cfbbc8f0c720
16	P02_ELU_01_TINF_ Max	3.242E-13	3b56240e-a81a-4ded-94 66-59e8a27f3b3d
16	P02_ELU_01_TINF_ Min	4.513E-13	998418bf-c837-4d71-b0f 3-2614cc524bf7
16	P02_ELU_02_T0_M ax	1.081E-12	3e88e3b1-9638-4394-b2 0e-c7634d3b09be
16	P02_ELU_02_T0_Mi n	1.132E-12	bdfa838a-67d2-403a-b5f b-6a72be6a734f
16	P02_ELU_02_TINF_ Max	1.081E-12	6ad2f62c-c8fb-452d-9c2c -9eebb7e41af5
16	P02_ELU_02_TINF_ Min	1.132E-12	30a0b009-6273-4da7-98 ea-ae0963e8417e
16	P02_ELU_03_T0_M ax	3.243E-13	0434760d-e09e-440c-ba 38-8b796e079b29
16	P02_ELU_03_T0_Mi n	3.752E-13	223d31a6-89be-4ca7-98 8f-d8489c7cf647
16	P02_ELU_03_TINF_ Max	3.242E-13	f24a63f3-16b6-4152-989 d-e9629a663ff9
16	P02_ELU_03_TINF_ Min	3.751E-13	1314ad43-a9bd-4a32-97 e6-b19fecb4ef5d
16	P02_ELU_SISMO_X _T0_Max	-2.000E-13	b4d41db7-837a-4796-8fe 4-660407165055
16	P02_ELU_SISMO_X _T0_Min	2.000E-13	5b58bbb4-56c3-4263-b4 7d-aff5b8a5fa55
16	P02_ELU_SISMO_Y _T0_Max	-6.665E-13	2c0f4127-902d-4d78-b90 9-766a96031b69
16	P02_ELU_SISMO_Y _T0_Min	6.665E-13	dc8db3cb-da9d-48c5-9c0 1-09724d4293eb
16	P02_ELU_SISMO_Z _T0_Max	-2.000E-13	05e717ab-368a-4f83-95e b-e6df15ad47b6
16	P02_ELU_SISMO_Z _T0_Min	1.999E-13	54e9ad7a-7e9e-4af2-bfb a-56ef80a21a45
16	P02_ELU_SISMO_X _TINF_Max	-2.001E-13	9080ce85-2e06-41bd-b8 ae-68e40496b9c5
16	P02_ELU_SISMO_X _TINF_Min	1.999E-13	a0d25562-2dfd-4f09-86d a-ec2f2b36dbf1
16	P02_ELU_SISMO_Y _TINF_Max	-6.666E-13	87e586f1-b954-42b1-afc a-d58b662168c0
16	P02_ELU_SISMO_Y _TINF_Min	6.664E-13	097e017a-22f1-4280-be4 2-951da1033cee
16	P02_ELU_SISMO_Z _TINF_Max	-2.000E-13	84371146-29af-4c11-a1e 7-bd8bc900e89a
16	P02_ELU_SISMO_Z _TINF_Min	1.999E-13	3096dfe1-d792-4b75-8b3 8-15108fa0ba9c
16	P12_ELU_01_T0_M ax	-3.551E-13	f7189513-06bd-48ce-9df 2-35ad49a141ad

Table: Joint Loads - Force, Part 2 of 2

Joint	LoadPat	M3 KN-m	GUID
16	P12_ELU_01_T0_Min	-2.079E-13	d68de8cf-6810-457d-a224-87c7df6c0699
16	P12_ELU_01_TINF_Max	-3.550E-13	a376b507-ecd5-432e-a296-898612dfa453
16	P12_ELU_01_TINF_Min	-2.078E-13	b7df14f4-ae58-49f9-ac0f-bcba14f20a46
16	P12_ELU_02_T0_Max	-7.520E-13	5484a710-d7ea-44a6-992c-69407d7403f5
16	P12_ELU_02_T0_Min	-6.931E-13	9bf981f0-b995-4226-8322-61b539b96c6c
16	P12_ELU_02_TINF_Max	-7.519E-13	66398e8d-7a60-4d26-bfd a-91e23267871c
16	P12_ELU_02_TINF_Min	-6.930E-13	fcf24826-3726-4dbf-a182-9d160085d429
16	P12_ELU_03_T0_Max	-2.668E-13	952e0cdf-cf39-48c8-8547-b20c52393729
16	P12_ELU_03_T0_Min	-2.079E-13	8bafdfc1-2399-40c6-9e65-afa95e80286a
16	P12_ELU_03_TINF_Max	-2.667E-13	afab2c49-6875-4f9a-a164-009e3e914536
16	P12_ELU_03_TINF_Min	-2.078E-13	4dead40e-040f-4787-843b-9c85c40312f1
16	P12_ELU_SISMO_X_T0_Max	-1.024E-13	5bedaf98-269b-4e03-8cad-5be8c7c7bd8c
16	P12_ELU_SISMO_X_T0_Min	1.025E-13	56b6849c-163e-4a12-b404-9fc31bf4f66a
16	P12_ELU_SISMO_Y_T0_Max	-3.413E-13	17414a48-ebd9-4b77-9ae0-7497ae375897
16	P12_ELU_SISMO_Y_T0_Min	3.414E-13	89ec6ea4-b9cc-4220-99ee-c99579ccec85
16	P12_ELU_SISMO_Z_T0_Max	-1.024E-13	9f294b0f-d9d5-457c-9ed1-7e0bb3414455
16	P12_ELU_SISMO_Z_T0_Min	1.024E-13	b0239cd5-c29c-420f-ab32-049be77dd064
16	P12_ELU_SISMO_X_TINF_Max	-1.024E-13	ac272b13-50e2-4319-ad50-d15bf9d88aa4
16	P12_ELU_SISMO_X_TINF_Min	1.025E-13	6230e919-5e35-49a4-a979-a4bdd25fd184
16	P12_ELU_SISMO_Y_TINF_Max	-3.413E-13	af69acb2-7ae3-46ea-bfe5-ef248edc1067
16	P12_ELU_SISMO_Y_TINF_Min	3.414E-13	bf988597-1906-4564-838b-0a217067e8d0
16	P12_ELU_SISMO_Z_TINF_Max	-1.023E-13	4c54d9b1-2f82-422d-a6a6-36901986d018
16	P12_ELU_SISMO_Z_TINF_Min	1.025E-13	c688c2bf-6e1d-4d72-9acb-e35005998d8f
16	P13_ELU_01_T0_Max	-6.244E-13	b96fa530-b33e-44d9-98a2-3834fc8ea218
16	P13_ELU_01_T0_Min	-4.718E-13	e5e2e989-4316-431f-bafe-df5cc7f6a0dd
16	P13_ELU_01_TINF_Max	-6.244E-13	531be63e-2ac7-4829-8be5-a0750b720434
16	P13_ELU_01_TINF_Min	-4.718E-13	dcd6a34e-74ec-4f3a-8301-280dfc1d202d
16	P13_ELU_02_T0_Max	-1.634E-12	b5f2b3b3-e195-4ad9-8bdb-c4e9a12443ff
16	P13_ELU_02_T0_Min	-1.573E-12	637c97e8-803a-48c6-9d53-5a9a7bd8e6b2
16	P13_ELU_02_TINF_Max	-1.634E-12	f36a9566-02b5-4d0c-97aa-e464c9be2df4

Table: Joint Loads - Force, Part 2 of 2

Joint	LoadPat	M3 KN-m	GUID
16	P13_ELU_02_TINF_Min	-1.573E-12	83dba13e-cc7e-498c-bec a-015c70a2b1eb
16	P13_ELU_03_T0_Max	-5.330E-13	84fdc077-baa6-4a78-b87 7-25e0a5d3e64e
16	P13_ELU_03_T0_Min	-4.718E-13	ea504889-8ad2-4d85-81 7a-663a031369f4
16	P13_ELU_03_TINF_Max	-5.329E-13	adff8ebc-64ea-433d-bd9f -400c8c83c9b4
16	P13_ELU_03_TINF_Min	-4.718E-13	6410af16-f99a-4fa3-ab0a -07477b6654e8
16	P13_ELU_SISMO_X_T0_Max	-2.280E-13	d7488bb5-b2f8-4aa4-9eff -24719297b744
16	P13_ELU_SISMO_X_T0_Min	2.281E-13	eca9078b-b368-49bc-8c eb-e8c188019ab2
16	P13_ELU_SISMO_Y_T0_Max	-7.600E-13	159da342-8d1c-4b5d-92 54-4e55e599229f
16	P13_ELU_SISMO_Y_T0_Min	7.600E-13	642304f0-30f5-4032-975 0-a786a2540017
16	P13_ELU_SISMO_Z_T0_Max	-2.280E-13	90c69d48-f860-4569-8e7 d-84dbfdde92c9
16	P13_ELU_SISMO_Z_T0_Min	2.280E-13	6b17a187-55af-4d12-b92 6-b9b61913ac97
16	P13_ELU_SISMO_X_TINF_Max	-2.280E-13	6211e179-3c17-4932-b0 3b-2eb628aa1e7b
16	P13_ELU_SISMO_X_TINF_Min	2.281E-13	793354f2-3cb2-4684-a11 5-10e8f7cae715
16	P13_ELU_SISMO_Y_TINF_Max	-7.600E-13	f0bcf2d4-6fbd-40b3-98ee -61574f7a1ddd
16	P13_ELU_SISMO_Y_TINF_Min	7.600E-13	174fca41-9a8b-4fb1-925 2-f5fdded0690f8
16	P13_ELU_SISMO_Z_TINF_Max	-2.280E-13	6f80d067-c4b9-48ec-a15 5-32a6b8e24320
16	P13_ELU_SISMO_Z_TINF_Min	2.280E-13	3bb23db1-4e50-441e-b1 65-5de33e626013

Table: Load Case Definitions, Part 1 of 3

Table: Load Case Definitions, Part 1 of 3

Case	Type	InitialCond	ModalCase	BaseCase	MassSource	DesTypeOpt	DesignType
DEAD	LinStatic	Zero				Prog Det	Dead
MODAL	LinModal	Zero				Prog Det	Other
P01_ELU_01_T0_Max	LinStatic	Zero				Prog Det	Dead
P01_ELU_01_T0_Min	LinStatic	Zero				Prog Det	Dead
P01_ELU_01_TINF_Max	LinStatic	Zero				Prog Det	Dead
P01_ELU_01_TINF_Min	LinStatic	Zero				Prog Det	Dead
P01_ELU_02_T0_Max	LinStatic	Zero				Prog Det	Dead
P01_ELU_02_T0_Min	LinStatic	Zero				Prog Det	Dead
P01_ELU_02_TINF_Max	LinStatic	Zero				Prog Det	Dead
P01_ELU_02_TINF_Min	LinStatic	Zero				Prog Det	Dead

Table: Load Case Definitions, Part 1 of 3

Case	Type	InitialCond	ModalCase	BaseCase	MassSource	DesTypeOpt	DesignType
P01_ELU_03 _T0_Max	LinStatic	Zero				Prog Det	Dead
P01_ELU_03 _T0_Min	LinStatic	Zero				Prog Det	Dead
P01_ELU_03 _TINF_Max	LinStatic	Zero				Prog Det	Dead
P01_ELU_03 _TINF_Min	LinStatic	Zero				Prog Det	Dead
P01_ELU_SI SMO_X_T0_ Max	LinStatic	Zero				Prog Det	Dead
P01_ELU_SI SMO_X_T0_ Min	LinStatic	Zero				Prog Det	Dead
P01_ELU_SI SMO_Y_T0_ Max	LinStatic	Zero				Prog Det	Dead
P01_ELU_SI SMO_Y_T0_ Min	LinStatic	Zero				Prog Det	Dead
P01_ELU_SI SMO_Z_T0_ Max	LinStatic	Zero				Prog Det	Dead
P01_ELU_SI SMO_Z_T0_ Min	LinStatic	Zero				Prog Det	Dead
P01_ELU_SI SMO_X_TIN F_Max	LinStatic	Zero				Prog Det	Dead
P01_ELU_SI SMO_X_TIN F_Min	LinStatic	Zero				Prog Det	Dead
P01_ELU_SI SMO_Y_TIN F_Max	LinStatic	Zero				Prog Det	Dead
P01_ELU_SI SMO_Y_TIN F_Min	LinStatic	Zero				Prog Det	Dead
P01_ELU_SI SMO_Z_TIN F_Max	LinStatic	Zero				Prog Det	Dead
P01_ELU_SI SMO_Z_TIN F_Min	LinStatic	Zero				Prog Det	Dead
P02_ELU_01 _T0_Max	LinStatic	Zero				Prog Det	Dead
P02_ELU_01 _T0_Min	LinStatic	Zero				Prog Det	Dead
P02_ELU_01 _TINF_Max	LinStatic	Zero				Prog Det	Dead
P02_ELU_01 _TINF_Min	LinStatic	Zero				Prog Det	Dead
P02_ELU_02 _T0_Max	LinStatic	Zero				Prog Det	Dead
P02_ELU_02 _T0_Min	LinStatic	Zero				Prog Det	Dead
P02_ELU_02 _TINF_Max	LinStatic	Zero				Prog Det	Dead
P02_ELU_02 _TINF_Min	LinStatic	Zero				Prog Det	Dead



Table: Load Case Definitions, Part 1 of 3

Case	Type	InitialCond	ModalCase	BaseCase	MassSource	DesTypeOpt	DesignType
P02_ELU_03 _T0_Max	LinStatic	Zero				Prog Det	Dead
P02_ELU_03 _T0_Min	LinStatic	Zero				Prog Det	Dead
P02_ELU_03 _TINF_Max	LinStatic	Zero				Prog Det	Dead
P02_ELU_03 _TINF_Min	LinStatic	Zero				Prog Det	Dead
P02_ELU_SI SMO_X_T0_ Max	LinStatic	Zero				Prog Det	Dead
P02_ELU_SI SMO_X_T0_ Min	LinStatic	Zero				Prog Det	Dead
P02_ELU_SI SMO_Y_T0_ Max	LinStatic	Zero				Prog Det	Dead
P02_ELU_SI SMO_Y_T0_ Min	LinStatic	Zero				Prog Det	Dead
P02_ELU_SI SMO_Z_T0_ Max	LinStatic	Zero				Prog Det	Dead
P02_ELU_SI SMO_Z_T0_ Min	LinStatic	Zero				Prog Det	Dead
P02_ELU_SI SMO_X_TIN F_Max	LinStatic	Zero				Prog Det	Dead
P02_ELU_SI SMO_X_TIN F_Min	LinStatic	Zero				Prog Det	Dead
P02_ELU_SI SMO_Y_TIN F_Max	LinStatic	Zero				Prog Det	Dead
P02_ELU_SI SMO_Y_TIN F_Min	LinStatic	Zero				Prog Det	Dead
P02_ELU_SI SMO_Z_TIN F_Max	LinStatic	Zero				Prog Det	Dead
P02_ELU_SI SMO_Z_TIN F_Min	LinStatic	Zero				Prog Det	Dead
P12_ELU_01 _T0_Max	LinStatic	Zero				Prog Det	Dead
P12_ELU_01 _T0_Min	LinStatic	Zero				Prog Det	Dead
P12_ELU_01 _TINF_Max	LinStatic	Zero				Prog Det	Dead
P12_ELU_01 _TINF_Min	LinStatic	Zero				Prog Det	Dead
P12_ELU_02 _T0_Max	LinStatic	Zero				Prog Det	Dead
P12_ELU_02 _T0_Min	LinStatic	Zero				Prog Det	Dead
P12_ELU_02 _TINF_Max	LinStatic	Zero				Prog Det	Dead
P12_ELU_02 _TINF_Min	LinStatic	Zero				Prog Det	Dead

Table: Load Case Definitions, Part 1 of 3

Case	Type	InitialCond	ModalCase	BaseCase	MassSource	DesTypeOpt	DesignType
P12_ELU_03 _T0_Max	LinStatic	Zero				Prog Det	Dead
P12_ELU_03 _T0_Min	LinStatic	Zero				Prog Det	Dead
P12_ELU_03 _TINF_Max	LinStatic	Zero				Prog Det	Dead
P12_ELU_03 _TINF_Min	LinStatic	Zero				Prog Det	Dead
P12_ELU_SI SMO_X_T0_ Max	LinStatic	Zero				Prog Det	Dead
P12_ELU_SI SMO_X_T0_ Min	LinStatic	Zero				Prog Det	Dead
P12_ELU_SI SMO_Y_T0_ Max	LinStatic	Zero				Prog Det	Dead
P12_ELU_SI SMO_Y_T0_ Min	LinStatic	Zero				Prog Det	Dead
P12_ELU_SI SMO_Z_T0_ Max	LinStatic	Zero				Prog Det	Dead
P12_ELU_SI SMO_Z_T0_ Min	LinStatic	Zero				Prog Det	Dead
P12_ELU_SI SMO_X_TIN F_Max	LinStatic	Zero				Prog Det	Dead
P12_ELU_SI SMO_X_TIN F_Min	LinStatic	Zero				Prog Det	Dead
P12_ELU_SI SMO_Y_TIN F_Max	LinStatic	Zero				Prog Det	Dead
P12_ELU_SI SMO_Y_TIN F_Min	LinStatic	Zero				Prog Det	Dead
P12_ELU_SI SMO_Z_TIN F_Max	LinStatic	Zero				Prog Det	Dead
P12_ELU_SI SMO_Z_TIN F_Min	LinStatic	Zero				Prog Det	Dead
P13_ELU_01 _T0_Max	LinStatic	Zero				Prog Det	Dead
P13_ELU_01 _T0_Min	LinStatic	Zero				Prog Det	Dead
P13_ELU_01 _TINF_Max	LinStatic	Zero				Prog Det	Dead
P13_ELU_01 _TINF_Min	LinStatic	Zero				Prog Det	Dead
P13_ELU_02 _T0_Max	LinStatic	Zero				Prog Det	Dead
P13_ELU_02 _T0_Min	LinStatic	Zero				Prog Det	Dead
P13_ELU_02 _TINF_Max	LinStatic	Zero				Prog Det	Dead
P13_ELU_02 _TINF_Min	LinStatic	Zero				Prog Det	Dead

Table: Load Case Definitions, Part 1 of 3

Case	Type	InitialCond	ModalCase	BaseCase	MassSource	DesTypeOpt	DesignType
P13_ELU_03 _T0_Max	LinStatic	Zero				Prog Det	Dead
P13_ELU_03 _T0_Min	LinStatic	Zero				Prog Det	Dead
P13_ELU_03 _TINF_Max	LinStatic	Zero				Prog Det	Dead
P13_ELU_03 _TINF_Min	LinStatic	Zero				Prog Det	Dead
P13_ELU_SI SMO_X_T0_ Max	LinStatic	Zero				Prog Det	Dead
P13_ELU_SI SMO_X_T0_ Min	LinStatic	Zero				Prog Det	Dead
P13_ELU_SI SMO_Y_T0_ Max	LinStatic	Zero				Prog Det	Dead
P13_ELU_SI SMO_Y_T0_ Min	LinStatic	Zero				Prog Det	Dead
P13_ELU_SI SMO_Z_T0_ Max	LinStatic	Zero				Prog Det	Dead
P13_ELU_SI SMO_Z_T0_ Min	LinStatic	Zero				Prog Det	Dead
P13_ELU_SI SMO_X_TIN F_Max	LinStatic	Zero				Prog Det	Dead
P13_ELU_SI SMO_X_TIN F_Min	LinStatic	Zero				Prog Det	Dead
P13_ELU_SI SMO_Y_TIN F_Max	LinStatic	Zero				Prog Det	Dead
P13_ELU_SI SMO_Y_TIN F_Min	LinStatic	Zero				Prog Det	Dead
P13_ELU_SI SMO_Z_TIN F_Max	LinStatic	Zero				Prog Det	Dead
P13_ELU_SI SMO_Z_TIN F_Min	LinStatic	Zero				Prog Det	Dead

Table: Load Case Definitions, Part 2 of 3

Table: Load Case Definitions, Part 2 of 3

Case	DesActOpt	DesignAct	AutoType	RunCase	CaseStatus	GUID
DEAD	Prog Det	Non-Composite	None	Yes	Finished	
MODAL	Prog Det	Other	None	Yes	Finished	
P01_ELU_01 _T0_Max	Prog Det	Non-Composite	None	Yes	Finished	
P01_ELU_01 _T0_Min	Prog Det	Non-Composite	None	Yes	Finished	
P01_ELU_01 _TINF_Max	Prog Det	Non-Composite	None	Yes	Finished	

Table: Load Case Definitions, Part 2 of 3

Case	DesActOpt	DesignAct	AutoType	RunCase	CaseStatus	GUID
P01_ELU_01_TINF_Min	Prog Det	Non-Composite	None	Yes	Finished	
P01_ELU_02_T0_Max	Prog Det	Non-Composite	None	Yes	Finished	
P01_ELU_02_T0_Min	Prog Det	Non-Composite	None	Yes	Finished	
P01_ELU_02_TINF_Max	Prog Det	Non-Composite	None	Yes	Finished	
P01_ELU_02_TINF_Min	Prog Det	Non-Composite	None	Yes	Finished	
P01_ELU_03_T0_Max	Prog Det	Non-Composite	None	Yes	Finished	
P01_ELU_03_T0_Min	Prog Det	Non-Composite	None	Yes	Finished	
P01_ELU_03_TINF_Max	Prog Det	Non-Composite	None	Yes	Finished	
P01_ELU_03_TINF_Min	Prog Det	Non-Composite	None	Yes	Finished	
P01_ELU_SI_SMO_X_T0_Max	Prog Det	Non-Composite	None	Yes	Finished	
P01_ELU_SI_SMO_X_T0_Min	Prog Det	Non-Composite	None	Yes	Finished	
P01_ELU_SI_SMO_Y_T0_Max	Prog Det	Non-Composite	None	Yes	Finished	
P01_ELU_SI_SMO_Y_T0_Min	Prog Det	Non-Composite	None	Yes	Finished	
P01_ELU_SI_SMO_Z_T0_Max	Prog Det	Non-Composite	None	Yes	Finished	
P01_ELU_SI_SMO_Z_T0_Min	Prog Det	Non-Composite	None	Yes	Finished	
P01_ELU_SI_SMO_X_TINF_Max	Prog Det	Non-Composite	None	Yes	Finished	
P01_ELU_SI_SMO_X_TINF_Min	Prog Det	Non-Composite	None	Yes	Finished	
P01_ELU_SI_SMO_Y_TINF_Max	Prog Det	Non-Composite	None	Yes	Finished	
P01_ELU_SI_SMO_Y_TINF_Min	Prog Det	Non-Composite	None	Yes	Finished	
P01_ELU_SI_SMO_Z_TINF_Max	Prog Det	Non-Composite	None	Yes	Finished	
P01_ELU_SI_SMO_Z_TINF_Min	Prog Det	Non-Composite	None	Yes	Finished	
P02_ELU_01_T0_Max	Prog Det	Non-Composite	None	Yes	Finished	
P02_ELU_01_T0_Min	Prog Det	Non-Composite	None	Yes	Finished	
P02_ELU_01_TINF_Max	Prog Det	Non-Composite	None	Yes	Finished	

Table: Load Case Definitions, Part 2 of 3

Case	DesActOpt	DesignAct	AutoType	RunCase	CaseStatus	GUID
P02_ELU_01_TINF_Min	Prog Det	Non-Composite	None	Yes	Finished	
P02_ELU_02_T0_Max	Prog Det	Non-Composite	None	Yes	Finished	
P02_ELU_02_T0_Min	Prog Det	Non-Composite	None	Yes	Finished	
P02_ELU_02_TINF_Max	Prog Det	Non-Composite	None	Yes	Finished	
P02_ELU_02_TINF_Min	Prog Det	Non-Composite	None	Yes	Finished	
P02_ELU_03_T0_Max	Prog Det	Non-Composite	None	Yes	Finished	
P02_ELU_03_T0_Min	Prog Det	Non-Composite	None	Yes	Finished	
P02_ELU_03_TINF_Max	Prog Det	Non-Composite	None	Yes	Finished	
P02_ELU_03_TINF_Min	Prog Det	Non-Composite	None	Yes	Finished	
P02_ELU_SI_SMO_X_T0_Max	Prog Det	Non-Composite	None	Yes	Finished	
P02_ELU_SI_SMO_X_T0_Min	Prog Det	Non-Composite	None	Yes	Finished	
P02_ELU_SI_SMO_Y_T0_Max	Prog Det	Non-Composite	None	Yes	Finished	
P02_ELU_SI_SMO_Y_T0_Min	Prog Det	Non-Composite	None	Yes	Finished	
P02_ELU_SI_SMO_Z_T0_Max	Prog Det	Non-Composite	None	Yes	Finished	
P02_ELU_SI_SMO_Z_T0_Min	Prog Det	Non-Composite	None	Yes	Finished	
P02_ELU_SI_SMO_X_TINF_Max	Prog Det	Non-Composite	None	Yes	Finished	
P02_ELU_SI_SMO_X_TINF_Min	Prog Det	Non-Composite	None	Yes	Finished	
P02_ELU_SI_SMO_Y_TINF_Max	Prog Det	Non-Composite	None	Yes	Finished	
P02_ELU_SI_SMO_Y_TINF_Min	Prog Det	Non-Composite	None	Yes	Finished	
P02_ELU_SI_SMO_Z_TINF_Max	Prog Det	Non-Composite	None	Yes	Finished	
P02_ELU_SI_SMO_Z_TINF_Min	Prog Det	Non-Composite	None	Yes	Finished	
P12_ELU_01_T0_Max	Prog Det	Non-Composite	None	Yes	Finished	
P12_ELU_01_T0_Min	Prog Det	Non-Composite	None	Yes	Finished	
P12_ELU_01_TINF_Max	Prog Det	Non-Composite	None	Yes	Finished	

Table: Load Case Definitions, Part 2 of 3

Case	DesActOpt	DesignAct	AutoType	RunCase	CaseStatus	GUID
P12_ELU_01 _TINF_Min	Prog Det	Non-Compos ite	None	Yes	Finished	
P12_ELU_02 _T0_Max	Prog Det	Non-Compos ite	None	Yes	Finished	
P12_ELU_02 _T0_Min	Prog Det	Non-Compos ite	None	Yes	Finished	
P12_ELU_02 _TINF_Max	Prog Det	Non-Compos ite	None	Yes	Finished	
P12_ELU_02 _TINF_Min	Prog Det	Non-Compos ite	None	Yes	Finished	
P12_ELU_03 _T0_Max	Prog Det	Non-Compos ite	None	Yes	Finished	
P12_ELU_03 _T0_Min	Prog Det	Non-Compos ite	None	Yes	Finished	
P12_ELU_03 _TINF_Max	Prog Det	Non-Compos ite	None	Yes	Finished	
P12_ELU_03 _TINF_Min	Prog Det	Non-Compos ite	None	Yes	Finished	
P12_ELU_SI SMO_X_T0_ Max	Prog Det	Non-Compos ite	None	Yes	Finished	
P12_ELU_SI SMO_X_T0_ Min	Prog Det	Non-Compos ite	None	Yes	Finished	
P12_ELU_SI SMO_Y_T0_ Max	Prog Det	Non-Compos ite	None	Yes	Finished	
P12_ELU_SI SMO_Y_T0_ Min	Prog Det	Non-Compos ite	None	Yes	Finished	
P12_ELU_SI SMO_Z_T0_ Max	Prog Det	Non-Compos ite	None	Yes	Finished	
P12_ELU_SI SMO_Z_T0_ Min	Prog Det	Non-Compos ite	None	Yes	Finished	
P12_ELU_SI SMO_X_TIN F_Max	Prog Det	Non-Compos ite	None	Yes	Finished	
P12_ELU_SI SMO_X_TIN F_Min	Prog Det	Non-Compos ite	None	Yes	Finished	
P12_ELU_SI SMO_Y_TIN F_Max	Prog Det	Non-Compos ite	None	Yes	Finished	
P12_ELU_SI SMO_Y_TIN F_Min	Prog Det	Non-Compos ite	None	Yes	Finished	
P12_ELU_SI SMO_Z_TIN F_Max	Prog Det	Non-Compos ite	None	Yes	Finished	
P12_ELU_SI SMO_Z_TIN F_Min	Prog Det	Non-Compos ite	None	Yes	Finished	
P13_ELU_01 _T0_Max	Prog Det	Non-Compos ite	None	Yes	Finished	
P13_ELU_01 _T0_Min	Prog Det	Non-Compos ite	None	Yes	Finished	
P13_ELU_01 _TINF_Max	Prog Det	Non-Compos ite	None	Yes	Finished	

Table: Load Case Definitions, Part 2 of 3

Case	DesActOpt	DesignAct	AutoType	RunCase	CaseStatus	GUID
P13_ELU_01 _TINF_Min	Prog Det	Non-Compos ite	None	Yes	Finished	
P13_ELU_02 _T0_Max	Prog Det	Non-Compos ite	None	Yes	Finished	
P13_ELU_02 _T0_Min	Prog Det	Non-Compos ite	None	Yes	Finished	
P13_ELU_02 _TINF_Max	Prog Det	Non-Compos ite	None	Yes	Finished	
P13_ELU_02 _TINF_Min	Prog Det	Non-Compos ite	None	Yes	Finished	
P13_ELU_03 _T0_Max	Prog Det	Non-Compos ite	None	Yes	Finished	
P13_ELU_03 _T0_Min	Prog Det	Non-Compos ite	None	Yes	Finished	
P13_ELU_03 _TINF_Max	Prog Det	Non-Compos ite	None	Yes	Finished	
P13_ELU_03 _TINF_Min	Prog Det	Non-Compos ite	None	Yes	Finished	
P13_ELU_SI SMO_X_T0_ Max	Prog Det	Non-Compos ite	None	Yes	Finished	
P13_ELU_SI SMO_X_T0_ Min	Prog Det	Non-Compos ite	None	Yes	Finished	
P13_ELU_SI SMO_Y_T0_ Max	Prog Det	Non-Compos ite	None	Yes	Finished	
P13_ELU_SI SMO_Y_T0_ Min	Prog Det	Non-Compos ite	None	Yes	Finished	
P13_ELU_SI SMO_Z_T0_ Max	Prog Det	Non-Compos ite	None	Yes	Finished	
P13_ELU_SI SMO_Z_T0_ Min	Prog Det	Non-Compos ite	None	Yes	Finished	
P13_ELU_SI SMO_X_TIN F_Max	Prog Det	Non-Compos ite	None	Yes	Finished	
P13_ELU_SI SMO_X_TIN F_Min	Prog Det	Non-Compos ite	None	Yes	Finished	
P13_ELU_SI SMO_Y_TIN F_Max	Prog Det	Non-Compos ite	None	Yes	Finished	
P13_ELU_SI SMO_Y_TIN F_Min	Prog Det	Non-Compos ite	None	Yes	Finished	
P13_ELU_SI SMO_Z_TIN F_Max	Prog Det	Non-Compos ite	None	Yes	Finished	
P13_ELU_SI SMO_Z_TIN F_Min	Prog Det	Non-Compos ite	None	Yes	Finished	

**Table: Load Case Definitions, Part 3 of 3****Table: Load Case Definitions, Part 3 of 3**

Case	Notes
DEAD	
MODAL	
P01_ELU_01	
_T0_Max	
P01_ELU_01	
_T0_Min	
P01_ELU_01	
_TINF_Max	
P01_ELU_01	
_TINF_Min	
P01_ELU_02	
_T0_Max	
P01_ELU_02	
_T0_Min	
P01_ELU_02	
_TINF_Max	
P01_ELU_02	
_TINF_Min	
P01_ELU_03	
_T0_Max	
P01_ELU_03	
_T0_Min	
P01_ELU_03	
_TINF_Max	
P01_ELU_03	
_TINF_Min	
P01_ELU_SI	
SMO_X_T0_	
Max	
P01_ELU_SI	
SMO_X_T0_	
Min	
P01_ELU_SI	
SMO_Y_T0_	
Max	
P01_ELU_SI	
SMO_Y_T0_	
Min	
P01_ELU_SI	
SMO_Z_T0_	
Max	
P01_ELU_SI	
SMO_Z_T0_	
Min	
P01_ELU_SI	
SMO_X_TIN	
F_Max	
P01_ELU_SI	
SMO_X_TIN	
F_Min	
P01_ELU_SI	
SMO_Y_TIN	
F_Max	
P01_ELU_SI	
SMO_Y_TIN	
F_Min	
P01_ELU_SI	
SMO_Z_TIN	
F_Max	



**Table: Load Case Definitions, Part 3 of 3**

Case	Notes
P01_ELU_SI	
SMO_Z_TIN	
F_Min	
P02_ELU_01	
_T0_Max	
P02_ELU_01	
_T0_Min	
P02_ELU_01	
_TINF_Max	
P02_ELU_01	
_TINF_Min	
P02_ELU_02	
_T0_Max	
P02_ELU_02	
_T0_Min	
P02_ELU_02	
_TINF_Max	
P02_ELU_02	
_TINF_Min	
P02_ELU_03	
_T0_Max	
P02_ELU_03	
_T0_Min	
P02_ELU_03	
_TINF_Max	
P02_ELU_03	
_TINF_Min	
P02_ELU_SI	
SMO_X_T0_	
Max	
P02_ELU_SI	
SMO_X_T0_	
Min	
P02_ELU_SI	
SMO_Y_T0_	
Max	
P02_ELU_SI	
SMO_Y_T0_	
Min	
P02_ELU_SI	
SMO_Z_T0_	
Max	
P02_ELU_SI	
SMO_Z_T0_	
Min	
P02_ELU_SI	
SMO_X_TIN	
F_Max	
P02_ELU_SI	
SMO_X_TIN	
F_Min	
P02_ELU_SI	
SMO_Y_TIN	
F_Max	
P02_ELU_SI	
SMO_Y_TIN	
F_Min	
P02_ELU_SI	
SMO_Z_TIN	
F_Max	

**Table: Load Case Definitions, Part 3 of 3**

Case	Notes
P02_ELU_SI	
SMO_Z_TIN	
F_Min	
P12_ELU_01	
_T0_Max	
P12_ELU_01	
_T0_Min	
P12_ELU_01	
_TINF_Max	
P12_ELU_01	
_TINF_Min	
P12_ELU_02	
_T0_Max	
P12_ELU_02	
_T0_Min	
P12_ELU_02	
_TINF_Max	
P12_ELU_02	
_TINF_Min	
P12_ELU_03	
_T0_Max	
P12_ELU_03	
_T0_Min	
P12_ELU_03	
_TINF_Max	
P12_ELU_03	
_TINF_Min	
P12_ELU_SI	
SMO_X_T0_	
Max	
P12_ELU_SI	
SMO_X_T0_	
Min	
P12_ELU_SI	
SMO_Y_T0_	
Max	
P12_ELU_SI	
SMO_Y_T0_	
Min	
P12_ELU_SI	
SMO_Z_T0_	
Max	
P12_ELU_SI	
SMO_Z_T0_	
Min	
P12_ELU_SI	
SMO_X_TIN	
F_Max	
P12_ELU_SI	
SMO_X_TIN	
F_Min	
P12_ELU_SI	
SMO_Y_TIN	
F_Max	
P12_ELU_SI	
SMO_Y_TIN	
F_Min	
P12_ELU_SI	
SMO_Z_TIN	
F_Max	

**Table: Load Case Definitions, Part 3 of 3**

Case	Notes
P12_ELU_SI	
SMO_Z_TIN	
F_Min	
P13_ELU_01	
_T0_Max	
P13_ELU_01	
_T0_Min	
P13_ELU_01	
_TINF_Max	
P13_ELU_01	
_TINF_Min	
P13_ELU_02	
_T0_Max	
P13_ELU_02	
_T0_Min	
P13_ELU_02	
_TINF_Max	
P13_ELU_02	
_TINF_Min	
P13_ELU_03	
_T0_Max	
P13_ELU_03	
_T0_Min	
P13_ELU_03	
_TINF_Max	
P13_ELU_03	
_TINF_Min	
P13_ELU_SI	
SMO_X_T0_	
Max	
P13_ELU_SI	
SMO_X_T0_	
Min	
P13_ELU_SI	
SMO_Y_T0_	
Max	
P13_ELU_SI	
SMO_Y_T0_	
Min	
P13_ELU_SI	
SMO_Z_T0_	
Max	
P13_ELU_SI	
SMO_Z_T0_	
Min	
P13_ELU_SI	
SMO_X_TIN	
F_Max	
P13_ELU_SI	
SMO_X_TIN	
F_Min	
P13_ELU_SI	
SMO_Y_TIN	
F_Max	
P13_ELU_SI	
SMO_Y_TIN	
F_Min	
P13_ELU_SI	
SMO_Z_TIN	
F_Max	

**Table: Load Case Definitions, Part 3 of 3**

Case	Notes
P13_ELU_SI	
SMO_Z_TIN	
F_Min	

**Table: Load Pattern Definitions****Table: Load Pattern Definitions**

LoadPat	DesignType	SelfWtMult	AutoLoad	GUID	Notes
P01_ELU_01_T0_Max	Dead	0.		299ce17f-749c-4a30-892f-896b91cc1adc	
P01_ELU_01_T0_Min	Dead	0.			
P01_ELU_01_TINF_Max	Dead	0.			
P01_ELU_01_TINF_Min	Dead	0.			
P01_ELU_02_T0_Max	Dead	0.			
P01_ELU_02_T0_Min	Dead	0.			
P01_ELU_02_TINF_Max	Dead	0.			
P01_ELU_02_TINF_Min	Dead	0.			
P01_ELU_03_T0_Max	Dead	0.			
P01_ELU_03_T0_Min	Dead	0.			
P01_ELU_03_TINF_Max	Dead	0.			
P01_ELU_03_TINF_Min	Dead	0.			
P01_ELU_SISMO_X_T0_Max	Dead	0.			
P01_ELU_SISMO_X_T0_Min	Dead	0.			
P01_ELU_SISMO_Y_T0_Max	Dead	0.			
P01_ELU_SISMO_Y_T0_Min	Dead	0.			
P01_ELU_SISMO_Z_T0_Max	Dead	0.			
P01_ELU_SISMO_Z_T0_Min	Dead	0.			
P01_ELU_SISMO_X_TINF_Max	Dead	0.			
P01_ELU_SISMO_X_TINF_Min	Dead	0.			
P01_ELU_SISMO_Y_TINF_Max	Dead	0.			
P01_ELU_SISMO_Y_TINF_Min	Dead	0.			
P01_ELU_SISMO_Z_TINF_Max	Dead	0.			
P01_ELU_SISMO_Z_TINF_Min	Dead	0.			

Table: Load Pattern Definitions

LoadPat	DesignType	SelfWtMult	AutoLoad	GUID	Notes
P02_ELU_01_T0_Max	Dead	0.			
P02_ELU_01_T0_Min	Dead	0.			
P02_ELU_01_TINF_Max	Dead	0.			
P02_ELU_01_TINF_Min	Dead	0.			
P02_ELU_02_T0_Max	Dead	0.			
P02_ELU_02_T0_Min	Dead	0.			
P02_ELU_02_TINF_Max	Dead	0.			
P02_ELU_02_TINF_Min	Dead	0.			
P02_ELU_03_T0_Max	Dead	0.			
P02_ELU_03_T0_Min	Dead	0.			
P02_ELU_03_TINF_Max	Dead	0.			
P02_ELU_03_TINF_Min	Dead	0.			
P02_ELU_SISMO_X_T0_Max	Dead	0.			
P02_ELU_SISMO_X_T0_Min	Dead	0.			
P02_ELU_SISMO_Y_T0_Max	Dead	0.			
P02_ELU_SISMO_Y_T0_Min	Dead	0.			
P02_ELU_SISMO_Z_T0_Max	Dead	0.			
P02_ELU_SISMO_Z_T0_Min	Dead	0.			
P02_ELU_SISMO_X_TINF_Max	Dead	0.			
P02_ELU_SISMO_X_TINF_Min	Dead	0.			
P02_ELU_SISMO_Y_TINF_Max	Dead	0.			
P02_ELU_SISMO_Y_TINF_Min	Dead	0.			
P02_ELU_SISMO_Z_TINF_Max	Dead	0.			
P02_ELU_SISMO_Z_TINF_Min	Dead	0.			
P12_ELU_01_T0_Max	Dead	0.			
P12_ELU_01_T0_Min	Dead	0.			
P12_ELU_01_TINF_Max	Dead	0.			
P12_ELU_01_TINF_Min	Dead	0.			
P12_ELU_02_T0_Max	Dead	0.			
P12_ELU_02_T0_Min	Dead	0.			

Table: Load Pattern Definitions

LoadPat	DesignType	SelfWtMult	AutoLoad	GUID	Notes
P12_ELU_02_TINF_Max	Dead	0.			
P12_ELU_02_TINF_Min	Dead	0.			
P12_ELU_03_T0_Max	Dead	0.			
P12_ELU_03_T0_Min	Dead	0.			
P12_ELU_03_TINF_Max	Dead	0.			
P12_ELU_03_TINF_Min	Dead	0.			
P12_ELU_SISMO_X_T0_Max	Dead	0.			
P12_ELU_SISMO_X_T0_Min	Dead	0.			
P12_ELU_SISMO_Y_T0_Max	Dead	0.			
P12_ELU_SISMO_Y_T0_Min	Dead	0.			
P12_ELU_SISMO_Z_T0_Max	Dead	0.			
P12_ELU_SISMO_Z_T0_Min	Dead	0.			
P12_ELU_SISMO_X_TINF_Max	Dead	0.			
P12_ELU_SISMO_X_TINF_Min	Dead	0.			
P12_ELU_SISMO_Y_TINF_Max	Dead	0.			
P12_ELU_SISMO_Y_TINF_Min	Dead	0.			
P12_ELU_SISMO_Z_TINF_Max	Dead	0.			
P12_ELU_SISMO_Z_TINF_Min	Dead	0.			
P13_ELU_01_T0_Max	Dead	0.			
P13_ELU_01_T0_Min	Dead	0.			
P13_ELU_01_TINF_Max	Dead	0.			
P13_ELU_01_TINF_Min	Dead	0.			
P13_ELU_02_T0_Max	Dead	0.			
P13_ELU_02_T0_Min	Dead	0.			
P13_ELU_02_TINF_Max	Dead	0.			
P13_ELU_02_TINF_Min	Dead	0.			
P13_ELU_03_T0_Max	Dead	0.			
P13_ELU_03_T0_Min	Dead	0.			
P13_ELU_03_TINF_Max	Dead	0.			
P13_ELU_03_TINF_Min	Dead	0.			

Table: Load Pattern Definitions

LoadPat	DesignType	SelfWtMult	AutoLoad	GUID	Notes
P13_ELU_SISMO_X _T0_Max	Dead	0.			
P13_ELU_SISMO_X _T0_Min	Dead	0.			
P13_ELU_SISMO_Y _T0_Max	Dead	0.			
P13_ELU_SISMO_Y _T0_Min	Dead	0.			
P13_ELU_SISMO_Z _T0_Max	Dead	0.			
P13_ELU_SISMO_Z _T0_Min	Dead	0.			
P13_ELU_SISMO_X _TINF_Max	Dead	0.			
P13_ELU_SISMO_X _TINF_Min	Dead	0.			
P13_ELU_SISMO_Y _TINF_Max	Dead	0.			
P13_ELU_SISMO_Y _TINF_Min	Dead	0.			
P13_ELU_SISMO_Z _TINF_Max	Dead	0.			
P13_ELU_SISMO_Z _TINF_Min	Dead	0.			

Table: Material Properties 01 - General, Part 1 of 2

Table: Material Properties 01 - General, Part 1 of 2

Material	Type	SymType	TempDepen d	Color	GUID
A615Gr60	Rebar	Uniaxial	No	Blue	
A992Fy50	Steel	Isotropic	No	Blue	
HORMIGÓN	Concrete	Isotropic	No	Green	

Table: Material Properties 01 - General, Part 2 of 2

Table: Material Properties 01 - General, Part 2 of 2

Material	Notes
A615Gr60	ASTM A615 Grade 60 09/01/2017 16:59:19
A992Fy50	ASTM A992 Grade 50 09/01/2017 16:56:34
HORMIGÓN	Customary f'c 4000 psi 09/01/2017 16:56:34

Table: Material Properties 02 - Basic Mechanical Properties

Table: Material Properties 02 - Basic Mechanical Properties

Material	UnitWeight KN/m3	UnitMass KN-s2/m4	E1 KN/m2	G12 KN/m2	U12	A1 1/C
A615Gr60	7.6973E+01	7.8490E+00	199947978.8			1.1700E-05
A992Fy50	7.6973E+01	7.8490E+00	199947978.8	76903068.77	0.3	1.1700E-05

**Table: Material Properties 02 - Basic Mechanical Properties**

Material	UnitWeight KN/m3	UnitMass KN-s2/m4	E1 KN/m2	G12 KN/m2	U12	A1 1/C
HORMIGÓN	2.3563E+01	2.4028E+00	28576790.96	11906996.23	0.2	9.9000E-06

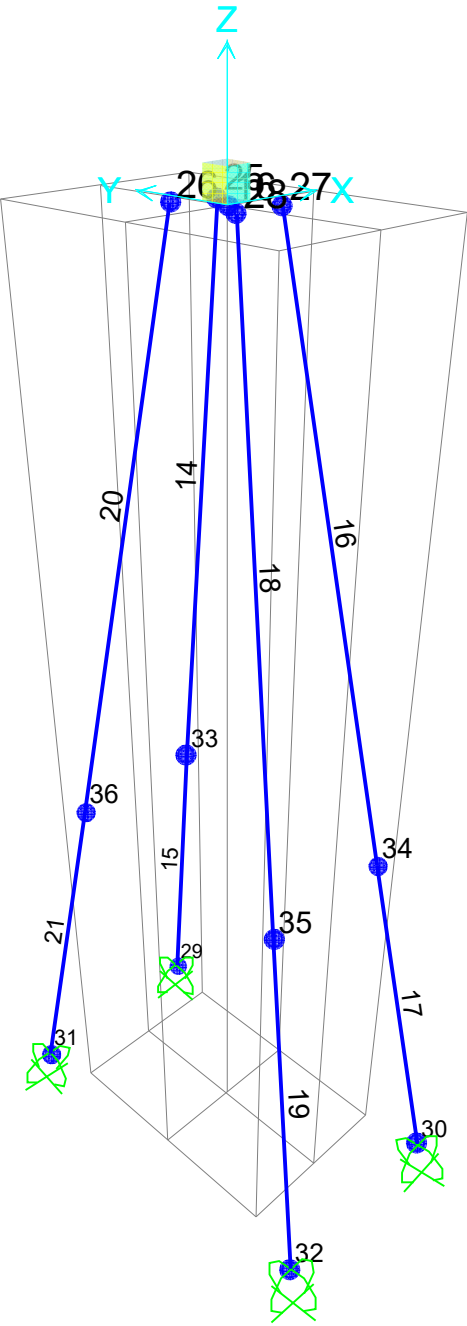
**Table: Material Properties 03b - Concrete Data, Part 1 of 2****Table: Material Properties 03b - Concrete Data, Part 1 of 2**

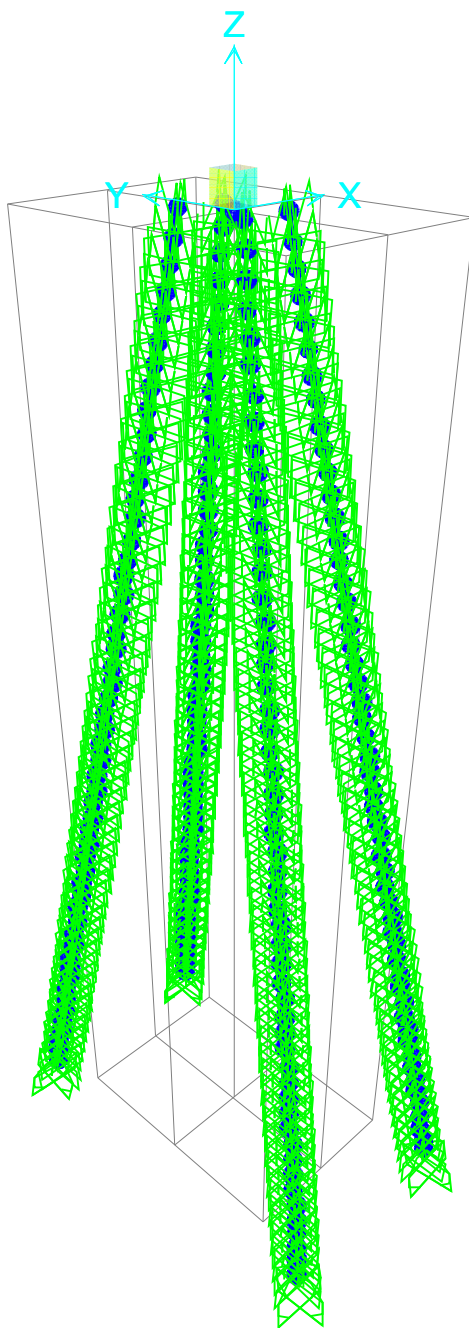
Material	Fc KN/m2	eFc KN/m2	LtWtConc	SSCurveOpt	SSHysType	SFc	SCap	FinalSlope
HORMIGÓN	30000.	30000.	No	Mander	Takeda	0.002219	0.005	-0.1

**Table: Material Properties 03b - Concrete Data, Part 2 of 2****Table: Material Properties 03b - Concrete Data, Part 2 of 2**

Material	FAngle Degrees	DAngle Degrees
HORMIGÓN	0.	0.







**Table: Case - Static 1 - Load Assignments****Table: Case - Static 1 - Load Assignments**

Case	LoadType	LoadName	LoadSF
DEAD	Load pattern	DEAD	1.
P03_ELU_01_T0_Max	Load pattern	P03_ELU_01_T0_Max	1.
P03_ELU_01_T0_Min	Load pattern	P03_ELU_01_T0_Min	1.
P03_ELU_01_TINF_Max	Load pattern	P03_ELU_01_TINF_Max	1.
P03_ELU_01_TINF_Min	Load pattern	P03_ELU_01_TINF_Min	1.
P03_ELU_02_T0_Max	Load pattern	P03_ELU_02_T0_Max	1.
P03_ELU_02_T0_Min	Load pattern	P03_ELU_02_T0_Min	1.
P03_ELU_02_TINF_Max	Load pattern	P03_ELU_02_TINF_Max	1.
P03_ELU_02_TINF_Min	Load pattern	P03_ELU_02_TINF_Min	1.
P03_ELU_03_T0_Max	Load pattern	P03_ELU_03_T0_Max	1.
P03_ELU_03_T0_Min	Load pattern	P03_ELU_03_T0_Min	1.
P03_ELU_03_TINF_Max	Load pattern	P03_ELU_03_TINF_Max	1.
P03_ELU_03_TINF_Min	Load pattern	P03_ELU_03_TINF_Min	1.
P03_ELU_SISMO_X_T0_Max	Load pattern	P03_ELU_SISMO_X_T0_Max	1.
P03_ELU_SISMO_X_T0_Min	Load pattern	P03_ELU_SISMO_X_T0_Min	1.
P03_ELU_SISMO_Y_T0_Max	Load pattern	P03_ELU_SISMO_Y_T0_Max	1.
P03_ELU_SISMO_Y_T0_Min	Load pattern	P03_ELU_SISMO_Y_T0_Min	1.
P03_ELU_SISMO_Z_T0_Max	Load pattern	P03_ELU_SISMO_Z_T0_Max	1.
P03_ELU_SISMO_Z_T0_Min	Load pattern	P03_ELU_SISMO_Z_T0_Min	1.
P03_ELU_SISMO_X_TINF_Max	Load pattern	P03_ELU_SISMO_X_TINF_Max	1.
P03_ELU_SISMO_X_TINF_Min	Load pattern	P03_ELU_SISMO_X_TINF_Min	1.
P03_ELU_SISMO_Y_TINF_Max	Load pattern	P03_ELU_SISMO_Y_TINF_Max	1.
P03_ELU_SISMO_Y_TINF_Min	Load pattern	P03_ELU_SISMO_Y_TINF_Min	1.
P03_ELU_SISMO_Z_TINF_Max	Load pattern	P03_ELU_SISMO_Z_TINF_Max	1.
P03_ELU_SISMO_Z_TINF_Min	Load pattern	P03_ELU_SISMO_Z_TINF_Min	1.
P04_ELU_01_T0_Max	Load pattern	P04_ELU_01_T0_Max	1.
P04_ELU_01_T0_Min	Load pattern	P04_ELU_01_T0_Min	1.
P04_ELU_01_TINF_Max	Load pattern	P04_ELU_01_TINF_Max	1.

Table: Case - Static 1 - Load Assignments

Case	LoadType	LoadName	LoadSF
P04_ELU_01_TINF_Min	Load pattern	P04_ELU_01_TINF_Min	1.
P04_ELU_02_T0_Max	Load pattern	P04_ELU_02_T0_Max	1.
P04_ELU_02_T0_Min	Load pattern	P04_ELU_02_T0_Min	1.
P04_ELU_02_TINF_Max	Load pattern	P04_ELU_02_TINF_Max	1.
P04_ELU_02_TINF_Min	Load pattern	P04_ELU_02_TINF_Min	1.
P04_ELU_03_T0_Max	Load pattern	P04_ELU_03_T0_Max	1.
P04_ELU_03_T0_Min	Load pattern	P04_ELU_03_T0_Min	1.
P04_ELU_03_TINF_Max	Load pattern	P04_ELU_03_TINF_Max	1.
P04_ELU_03_TINF_Min	Load pattern	P04_ELU_03_TINF_Min	1.
P04_ELU_SISMO_X_T0_Max	Load pattern	P04_ELU_SISMO_X_T0_Max	1.
P04_ELU_SISMO_X_T0_Min	Load pattern	P04_ELU_SISMO_X_T0_Min	1.
P04_ELU_SISMO_Y_T0_Max	Load pattern	P04_ELU_SISMO_Y_T0_Max	1.
P04_ELU_SISMO_Y_T0_Min	Load pattern	P04_ELU_SISMO_Y_T0_Min	1.
P04_ELU_SISMO_Z_T0_Max	Load pattern	P04_ELU_SISMO_Z_T0_Max	1.
P04_ELU_SISMO_Z_T0_Min	Load pattern	P04_ELU_SISMO_Z_T0_Min	1.
P04_ELU_SISMO_X_TINF_Max	Load pattern	P04_ELU_SISMO_X_TINF_Max	1.
P04_ELU_SISMO_X_TINF_Min	Load pattern	P04_ELU_SISMO_X_TINF_Min	1.
P04_ELU_SISMO_Y_TINF_Max	Load pattern	P04_ELU_SISMO_Y_TINF_Max	1.
P04_ELU_SISMO_Y_TINF_Min	Load pattern	P04_ELU_SISMO_Y_TINF_Min	1.
P04_ELU_SISMO_Z_TINF_Max	Load pattern	P04_ELU_SISMO_Z_TINF_Max	1.
P04_ELU_SISMO_Z_TINF_Min	Load pattern	P04_ELU_SISMO_Z_TINF_Min	1.
P05_ELU_01_T0_Max	Load pattern	P05_ELU_01_T0_Max	1.
P05_ELU_01_T0_Min	Load pattern	P05_ELU_01_T0_Min	1.
P05_ELU_01_TINF_Max	Load pattern	P05_ELU_01_TINF_Max	1.
P05_ELU_01_TINF_Min	Load pattern	P05_ELU_01_TINF_Min	1.
P05_ELU_02_T0_Max	Load pattern	P05_ELU_02_T0_Max	1.
P05_ELU_02_T0_Min	Load pattern	P05_ELU_02_T0_Min	1.
P05_ELU_02_TINF_Max	Load pattern	P05_ELU_02_TINF_Max	1.
P05_ELU_02_TINF_Min	Load pattern	P05_ELU_02_TINF_Min	1.
P05_ELU_03_T0_Max	Load pattern	P05_ELU_03_T0_Max	1.

Table: Case - Static 1 - Load Assignments

Case	LoadType	LoadName	LoadSF
P05_ELU_03_T0_Mi n	Load pattern	P05_ELU_03_T0_Mi n	1.
P05_ELU_03_TINF_ Max	Load pattern	P05_ELU_03_TINF_ Max	1.
P05_ELU_03_TINF_ Min	Load pattern	P05_ELU_03_TINF_ Min	1.
P05_ELU_SISMO_X _T0_Max	Load pattern	P05_ELU_SISMO_X _T0_Max	1.
P05_ELU_SISMO_X _T0_Min	Load pattern	P05_ELU_SISMO_X _T0_Min	1.
P05_ELU_SISMO_Y _T0_Max	Load pattern	P05_ELU_SISMO_Y _T0_Max	1.
P05_ELU_SISMO_Y _T0_Min	Load pattern	P05_ELU_SISMO_Y _T0_Min	1.
P05_ELU_SISMO_Z _T0_Max	Load pattern	P05_ELU_SISMO_Z _T0_Max	1.
P05_ELU_SISMO_Z _T0_Min	Load pattern	P05_ELU_SISMO_Z _T0_Min	1.
P05_ELU_SISMO_X _TINF_Max	Load pattern	P05_ELU_SISMO_X _TINF_Max	1.
P05_ELU_SISMO_X _TINF_Min	Load pattern	P05_ELU_SISMO_X _TINF_Min	1.
P05_ELU_SISMO_Y _TINF_Max	Load pattern	P05_ELU_SISMO_Y _TINF_Max	1.
P05_ELU_SISMO_Y _TINF_Min	Load pattern	P05_ELU_SISMO_Y _TINF_Min	1.
P05_ELU_SISMO_Z _TINF_Max	Load pattern	P05_ELU_SISMO_Z _TINF_Max	1.
P05_ELU_SISMO_Z _TINF_Min	Load pattern	P05_ELU_SISMO_Z _TINF_Min	1.
P10_ELU_01_T0_M ax	Load pattern	P10_ELU_01_T0_M ax	1.
P10_ELU_01_T0_Mi n	Load pattern	P10_ELU_01_T0_Mi n	1.
P10_ELU_01_TINF_ Max	Load pattern	P10_ELU_01_TINF_ Max	1.
P10_ELU_01_TINF_ Min	Load pattern	P10_ELU_01_TINF_ Min	1.
P10_ELU_02_T0_M ax	Load pattern	P10_ELU_02_T0_M ax	1.
P10_ELU_02_T0_Mi n	Load pattern	P10_ELU_02_T0_Mi n	1.
P10_ELU_02_TINF_ Max	Load pattern	P10_ELU_02_TINF_ Max	1.
P10_ELU_02_TINF_ Min	Load pattern	P10_ELU_02_TINF_ Min	1.
P10_ELU_03_T0_M ax	Load pattern	P10_ELU_03_T0_M ax	1.
P10_ELU_03_T0_Mi n	Load pattern	P10_ELU_03_T0_Mi n	1.
P10_ELU_03_TINF_ Max	Load pattern	P10_ELU_03_TINF_ Max	1.
P10_ELU_03_TINF_ Min	Load pattern	P10_ELU_03_TINF_ Min	1.
P10_ELU_SISMO_X _T0_Max	Load pattern	P10_ELU_SISMO_X _T0_Max	1.
P10_ELU_SISMO_X _T0_Min	Load pattern	P10_ELU_SISMO_X _T0_Min	1.
P10_ELU_SISMO_Y _T0_Max	Load pattern	P10_ELU_SISMO_Y _T0_Max	1.

Table: Case - Static 1 - Load Assignments

Case	LoadType	LoadName	LoadSF
P10_ELU_SISMO_Y _T0_Min	Load pattern	P10_ELU_SISMO_Y _T0_Min	1.
P10_ELU_SISMO_Z _T0_Max	Load pattern	P10_ELU_SISMO_Z _T0_Max	1.
P10_ELU_SISMO_Z _T0_Min	Load pattern	P10_ELU_SISMO_Z _T0_Min	1.
P10_ELU_SISMO_X _TINF_Max	Load pattern	P10_ELU_SISMO_X _TINF_Max	1.
P10_ELU_SISMO_X _TINF_Min	Load pattern	P10_ELU_SISMO_X _TINF_Min	1.
P10_ELU_SISMO_Y _TINF_Max	Load pattern	P10_ELU_SISMO_Y _TINF_Max	1.
P10_ELU_SISMO_Y _TINF_Min	Load pattern	P10_ELU_SISMO_Y _TINF_Min	1.
P10_ELU_SISMO_Z _TINF_Max	Load pattern	P10_ELU_SISMO_Z _TINF_Max	1.
P10_ELU_SISMO_Z _TINF_Min	Load pattern	P10_ELU_SISMO_Z _TINF_Min	1.
P11_ELU_01_T0_M ax	Load pattern	P11_ELU_01_T0_M ax	1.
P11_ELU_01_T0_Mi n	Load pattern	P11_ELU_01_T0_Mi n	1.
P11_ELU_01_TINF_ Max	Load pattern	P11_ELU_01_TINF_ Max	1.
P11_ELU_01_TINF_ Min	Load pattern	P11_ELU_01_TINF_ Min	1.
P11_ELU_02_T0_M ax	Load pattern	P11_ELU_02_T0_M ax	1.
P11_ELU_02_T0_Mi n	Load pattern	P11_ELU_02_T0_Mi n	1.
P11_ELU_02_TINF_ Max	Load pattern	P11_ELU_02_TINF_ Max	1.
P11_ELU_02_TINF_ Min	Load pattern	P11_ELU_02_TINF_ Min	1.
P11_ELU_03_T0_M ax	Load pattern	P11_ELU_03_T0_M ax	1.
P11_ELU_03_T0_Mi n	Load pattern	P11_ELU_03_T0_Mi n	1.
P11_ELU_03_TINF_ Max	Load pattern	P11_ELU_03_TINF_ Max	1.
P11_ELU_03_TINF_ Min	Load pattern	P11_ELU_03_TINF_ Min	1.
P11_ELU_SISMO_X _T0_Max	Load pattern	P11_ELU_SISMO_X _T0_Max	1.
P11_ELU_SISMO_X _T0_Min	Load pattern	P11_ELU_SISMO_X _T0_Min	1.
P11_ELU_SISMO_Y _T0_Max	Load pattern	P11_ELU_SISMO_Y _T0_Max	1.
P11_ELU_SISMO_Y _T0_Min	Load pattern	P11_ELU_SISMO_Y _T0_Min	1.
P11_ELU_SISMO_Z _T0_Max	Load pattern	P11_ELU_SISMO_Z _T0_Max	1.
P11_ELU_SISMO_Z _T0_Min	Load pattern	P11_ELU_SISMO_Z _T0_Min	1.
P11_ELU_SISMO_X _TINF_Max	Load pattern	P11_ELU_SISMO_X _TINF_Max	1.
P11_ELU_SISMO_X _TINF_Min	Load pattern	P11_ELU_SISMO_X _TINF_Min	1.
P11_ELU_SISMO_Y _TINF_Max	Load pattern	P11_ELU_SISMO_Y _TINF_Max	1.

**Table: Case - Static 1 - Load Assignments**

Case	LoadType	LoadName	LoadSF
P11_ELU_SISMO_Y _TINF_Min	Load pattern	P11_ELU_SISMO_Y _TINF_Min	1.
P11_ELU_SISMO_Z _TINF_Max	Load pattern	P11_ELU_SISMO_Z _TINF_Max	1.
P11_ELU_SISMO_Z _TINF_Min	Load pattern	P11_ELU_SISMO_Z _TINF_Min	1.

**Table: Frame Section Assignments****Table: Frame Section Assignments**

Frame	SectionType	AutoSelect	AnalSect	DesignSect	MatProp
14	Circular	N.A.	MICROPILOTE	MICROPILOTE	Default
15	Circular	N.A.	MICROPILOTE	MICROPILOTE	Default
16	Circular	N.A.	MICROPILOTE	MICROPILOTE	Default
17	Circular	N.A.	MICROPILOTE	MICROPILOTE	Default
18	Circular	N.A.	MICROPILOTE	MICROPILOTE	Default
19	Circular	N.A.	MICROPILOTE	MICROPILOTE	Default
20	Circular	N.A.	MICROPILOTE	MICROPILOTE	Default
21	Circular	N.A.	MICROPILOTE	MICROPILOTE	Default

**Table: Frame Section Properties 01 - General, Part 1 of 5****Table: Frame Section Properties 01 - General, Part 1 of 5**

SectionName	Material	Shape	t3 m	Area m2	TorsConst m4	I33 m4
MICROPILOTE	HORMIGÓN	Circle	0.15	0.017671	0.00005	0.000025

**Table: Frame Section Properties 01 - General, Part 2 of 5****Table: Frame Section Properties 01 - General, Part 2 of 5**

SectionName	I22 m4	I23 m4	AS2 m2	AS3 m2	S33 m3	S22 m3	Z33 m3
MICROPILOTE	0.000025	0.	0.015904	0.015904	0.000331	0.000331	0.000563

**Table: Frame Section Properties 01 - General, Part 3 of 5****Table: Frame Section Properties 01 - General, Part 3 of 5**

SectionName	Z22 m3	R33 m	R22 m	ConcCol	ConcBeam	Color	TotalWt KN
MICROPILOTE	0.000563	0.0375	0.0375	Yes	No	Green	42.438

**Table: Frame Section Properties 01 - General, Part 4 of 5****Table: Frame Section Properties 01 - General, Part 4 of 5**

SectionName	TotalMass KN-s2/m	FromFile	AMod	A2Mod	A3Mod	JMod	I2Mod
MICROPILOTE	4.33	No	1.	1.	1.	1.	1.

**Table: Frame Section Properties 01 - General, Part 5 of 5**

Table: Frame Section Properties 01 - General, Part 5 of 5					
SectionName	I3Mod	MMod	WMod	GUID	Notes
MICROPILOTE	1.	1.	1.		Added 09/01/2017 16:59:19

**Table: Frame Spring Assignments**

Table: Frame Spring Assignments					
Frame	Type	Stiffness KN/m/m	SimpleType	Dir1Type	Dir
14	Simple	125.	Tension and Compression	Object Axes	2
14	Simple	125.	Tension and Compression	Object Axes	3
15	Simple	7500.	Tension and Compression	Object Axes	3
15	Simple	7500.	Tension and Compression	Object Axes	2
16	Simple	125.	Tension and Compression	Object Axes	2
16	Simple	125.	Tension and Compression	Object Axes	3
17	Simple	7500.	Tension and Compression	Object Axes	3
17	Simple	7500.	Tension and Compression	Object Axes	2
18	Simple	125.	Tension and Compression	Object Axes	2
18	Simple	125.	Tension and Compression	Object Axes	3
19	Simple	7500.	Tension and Compression	Object Axes	3
19	Simple	7500.	Tension and Compression	Object Axes	2
20	Simple	125.	Tension and Compression	Object Axes	2
20	Simple	125.	Tension and Compression	Object Axes	3
21	Simple	7500.	Tension and Compression	Object Axes	3
21	Simple	7500.	Tension and Compression	Object Axes	2

**Table: Joint Coordinates, Part 1 of 2**

Table: Joint Coordinates, Part 1 of 2							
Joint	CoordSys	CoordType	XorR m	Y m	Z m	SpecialJt	GlobalX m
16	GLOBAL	Cartesian	0.	0.	0.	Yes	0.
25	GLOBAL	Cartesian	0.6	0.85	0.	Yes	0.6
26	GLOBAL	Cartesian	-0.6	0.85	0.	Yes	-0.6
27	GLOBAL	Cartesian	0.6	-0.85	0.	Yes	0.6
28	GLOBAL	Cartesian	-0.6	-0.85	0.	Yes	-0.6
29	GLOBAL	Cartesian	2.78722	5.25817	-25.	Yes	2.78722
30	GLOBAL	Cartesian	2.7872	-5.2582	-25.	Yes	2.7872
31	GLOBAL	Cartesian	-2.7872	5.2582	-25.	Yes	-2.7872
32	GLOBAL	Cartesian	-2.7872	-5.2582	-25.	Yes	-2.7872



Table: Joint Coordinates, Part 1 of 2

Joint	CoordSys	CoordType	XorR m	Y m	Z m	SpecialJt	GlobalX m
33	GLOBAL	Cartesian	1.88762	3.44511	-14.7176	No	1.88762
34	GLOBAL	Cartesian	1.88761	-3.44512	-14.7176	No	1.88761
35	GLOBAL	Cartesian	-1.88761	-3.44512	-14.7176	No	-1.88761
36	GLOBAL	Cartesian	-1.88761	3.44512	-14.7176	No	-1.88761

Table: Joint Coordinates, Part 2 of 2

Table: Joint Coordinates, Part 2 of 2

Joint	GlobalY m	GlobalZ m	GUID
16	0.	0.	1cebf514-d3e4-415a-8a2 c-88e9f88235b2
25	0.85	0.	1cebf514-d3e4-415a-8a2 c-88e9f88235b2
26	0.85	0.	1cebf514-d3e4-415a-8a2 c-88e9f88235b2
27	-0.85	0.	1cebf514-d3e4-415a-8a2 c-88e9f88235b2
28	-0.85	0.	1cebf514-d3e4-415a-8a2 c-88e9f88235b2
29	5.25817	-25.	1cebf514-d3e4-415a-8a2 c-88e9f88235b2
30	-5.2582	-25.	1cebf514-d3e4-415a-8a2 c-88e9f88235b2
31	5.2582	-25.	1cebf514-d3e4-415a-8a2 c-88e9f88235b2
32	-5.2582	-25.	1cebf514-d3e4-415a-8a2 c-88e9f88235b2
33	3.44511	-14.7176	1cebf514-d3e4-415a-8a2 c-88e9f88235b2
34	-3.44512	-14.7176	1cebf514-d3e4-415a-8a2 c-88e9f88235b2
35	-3.44512	-14.7176	1cebf514-d3e4-415a-8a2 c-88e9f88235b2
36	3.44512	-14.7176	1cebf514-d3e4-415a-8a2 c-88e9f88235b2

Table: Joint Loads - Force, Part 1 of 2

Table: Joint Loads - Force, Part 1 of 2

Joint	LoadPat	CoordSys	F1 KN	F2 KN	F3 KN	M1 KN-m	M2 KN-m
16	P03_ELU_01_T0_Max	GLOBAL	-7.399E-10	32.142	-1027.562	-267.7476	-2.937E-09
16	P03_ELU_01_T0_Min	GLOBAL	5.145E-10	32.565	-662.86	-147.4047	2.043E-09
16	P03_ELU_01_TINF_Max	GLOBAL	9.18	32.142	-1030.033	-267.746	35.5266
16	P03_ELU_01_TINF_Min	GLOBAL	9.18	32.565	-665.331	-147.4031	35.5266
16	P03_ELU_02_T0_Max	GLOBAL	-6.671E-10	107.142	-837.242	-539.5306	-2.648E-09
16	P03_ELU_02_T0_Min	GLOBAL	4.455E-10	107.312	-689.68	-491.3921	1.769E-09
16	P03_ELU_02_TINF_Max	GLOBAL	9.18	107.142	-839.713	-539.529	35.5266

Table: Joint Loads - Force, Part 1 of 2

Joint	LoadPat	CoordSys	F1 KN	F2 KN	F3 KN	M1 KN-m	M2 KN-m
16	P03_ELU_02_TINF_Min	GLOBAL	9.18	107.311	-692.151	-491.3905	35.5266
16	P03_ELU_03_T0_Max	GLOBAL	-1.090E-09	32.142	-838.421	-195.5444	-4.327E-09
16	P03_ELU_03_T0_Min	GLOBAL	7.036E-10	32.312	-688.982	-147.4043	2.793E-09
16	P03_ELU_03_TINF_Max	GLOBAL	9.18	32.142	-840.892	-195.5428	35.5266
16	P03_ELU_03_TINF_Min	GLOBAL	9.18	32.312	-691.453	-147.4027	35.5266
16	P03_ELU_SISMO_X_T0_Max	GLOBAL	-5.535E-05	-13.675	-526.204	-65.2412	-8.705E-05
16	P03_ELU_SISMO_X_T0_Min	GLOBAL	5.535E-05	13.675	-523.576	65.2647	8.705E-05
16	P03_ELU_SISMO_Y_T0_Max	GLOBAL	-1.089E-04	-45.582	-525.501	-217.4965	-1.104E-04
16	P03_ELU_SISMO_Y_T0_Min	GLOBAL	1.089E-04	45.582	-524.279	217.5199	1.104E-04
16	P03_ELU_SISMO_Z_T0_Max	GLOBAL	-9.577E-05	-13.675	-526.223	-65.2411	-9.004E-05
16	P03_ELU_SISMO_Z_T0_Min	GLOBAL	9.577E-05	13.675	-523.557	65.2645	9.004E-05
16	P03_ELU_SISMO_X_TINF_Max	GLOBAL	6.8	-13.675	-528.034	-65.24	26.3159
16	P03_ELU_SISMO_X_TINF_Min	GLOBAL	6.8	13.674	-525.406	65.2659	26.3161
16	P03_ELU_SISMO_Y_TINF_Max	GLOBAL	6.8	-45.582	-527.331	-217.4953	26.3159
16	P03_ELU_SISMO_Y_TINF_Min	GLOBAL	6.8	45.581	-526.109	217.5211	26.3161
16	P03_ELU_SISMO_Z_TINF_Max	GLOBAL	6.8	-13.675	-528.053	-65.2399	26.3159
16	P03_ELU_SISMO_Z_TINF_Min	GLOBAL	6.8	13.674	-525.387	65.2657	26.3161
16	P04_ELU_01_T0_Max	GLOBAL	-6.456E-10	31.034	-1054.161	-279.0299	-2.976E-09
16	P04_ELU_01_T0_Min	GLOBAL	4.562E-10	31.381	-673.228	-158.1231	2.103E-09
16	P04_ELU_01_TINF_Max	GLOBAL	9.18	31.033	-1053.225	-279.0286	41.4018
16	P04_ELU_01_TINF_Min	GLOBAL	9.18	31.38	-672.292	-158.1219	41.4018
16	P04_ELU_02_T0_Max	GLOBAL	-5.715E-10	103.446	-858.221	-575.4817	-2.635E-09
16	P04_ELU_02_T0_Min	GLOBAL	3.862E-10	103.585	-703.279	-527.1179	1.780E-09
16	P04_ELU_02_TINF_Max	GLOBAL	9.18	103.446	-857.285	-575.4805	41.4018
16	P04_ELU_02_TINF_Min	GLOBAL	9.18	103.585	-702.343	-527.1167	41.4018
16	P04_ELU_03_T0_Max	GLOBAL	-9.293E-10	31.033	-859.953	-206.4879	-4.284E-09
16	P04_ELU_03_T0_Min	GLOBAL	6.045E-10	31.173	-702.15	-158.1228	2.787E-09
16	P04_ELU_03_TINF_Max	GLOBAL	9.18	31.033	-859.017	-206.4867	41.4018
16	P04_ELU_03_TINF_Min	GLOBAL	9.18	31.172	-701.214	-158.1216	41.4018
16	P04_ELU_SISMO_X_T0_Max	GLOBAL	-1.290E-04	-12.609	-541.916	-66.6434	-2.931E-04

Table: Joint Loads - Force, Part 1 of 2

Joint	LoadPat	CoordSys	F1 KN	F2 KN	F3 KN	M1 KN-m	M2 KN-m
16	P04_ELU_SISMO_X _T0_Min	GLOBAL	1.290E-04	12.609	-532.163	66.666	2.931E-04
16	P04_ELU_SISMO_Y _T0_Max	GLOBAL	-2.761E-04	-42.029	-538.832	-222.1673	-4.101E-04
16	P04_ELU_SISMO_Y _T0_Min	GLOBAL	2.761E-04	42.029	-535.247	222.1899	4.101E-04
16	P04_ELU_SISMO_Z _T0_Max	GLOBAL	-1.390E-04	-12.609	-539.93	-66.6427	-2.923E-04
16	P04_ELU_SISMO_Z _T0_Min	GLOBAL	1.390E-04	12.609	-534.149	66.6653	2.923E-04
16	P04_ELU_SISMO_X _TINF_Max	GLOBAL	6.8	-12.609	-541.223	-66.6425	30.6677
16	P04_ELU_SISMO_X _TINF_Min	GLOBAL	6.8	12.609	-531.469	66.6669	30.6683
16	P04_ELU_SISMO_Y _TINF_Max	GLOBAL	6.8	-42.029	-538.139	-222.1664	30.6676
16	P04_ELU_SISMO_Y _TINF_Min	GLOBAL	6.8	42.029	-534.554	222.1908	30.6684
16	P04_ELU_SISMO_Z _TINF_Max	GLOBAL	6.8	-12.609	-539.237	-66.6417	30.6677
16	P04_ELU_SISMO_Z _TINF_Min	GLOBAL	6.8	12.609	-533.456	66.6662	30.6683
16	P05_ELU_01_T0_M ax	GLOBAL	-5.412E-10	26.934	-1053.297	-271.3987	-2.901E-09
16	P05_ELU_01_T0_Mi n	GLOBAL	3.935E-10	27.139	-590.965	-154.4994	2.109E-09
16	P05_ELU_01_TINF_ Max	GLOBAL	9.18	26.934	-1055.105	-271.398	48.2868
16	P05_ELU_01_TINF_ Min	GLOBAL	9.18	27.139	-592.772	-154.4987	48.2868
16	P05_ELU_02_T0_M ax	GLOBAL	-4.702E-10	90.38	-846.337	-561.7928	-2.520E-09
16	P05_ELU_02_T0_Mi n	GLOBAL	3.259E-10	90.462	-648.669	-515.0325	1.747E-09
16	P05_ELU_02_TINF_ Max	GLOBAL	9.18	90.38	-848.145	-561.7921	48.2868
16	P05_ELU_02_TINF_ Min	GLOBAL	9.18	90.462	-650.476	-515.0318	48.2868
16	P05_ELU_03_T0_M ax	GLOBAL	-7.625E-10	27.057	-851.905	-201.2604	-4.087E-09
16	P05_ELU_03_T0_Mi n	GLOBAL	5.043E-10	27.139	-640.042	-154.4995	2.703E-09
16	P05_ELU_03_TINF_ Max	GLOBAL	9.18	27.057	-853.712	-201.2597	48.2868
16	P05_ELU_03_TINF_ Min	GLOBAL	9.18	27.139	-641.849	-154.4988	48.2868
16	P05_ELU_SISMO_X _T0_Max	GLOBAL	-4.239	-9.994	-538.832	-58.9018	-19.2387
16	P05_ELU_SISMO_X _T0_Min	GLOBAL	4.239	9.994	-498.259	58.9214	19.2387
16	P05_ELU_SISMO_Y _T0_Max	GLOBAL	-1.272	-33.312	-525.732	-196.3576	-5.7717
16	P05_ELU_SISMO_Y _T0_Min	GLOBAL	1.272	33.313	-511.359	196.3772	5.7717
16	P05_ELU_SISMO_Z _T0_Max	GLOBAL	-1.272	-9.994	-529.398	-58.9011	-5.7717
16	P05_ELU_SISMO_Z _T0_Min	GLOBAL	1.272	9.994	-507.692	58.9207	5.7717
16	P05_ELU_SISMO_X _TINF_Max	GLOBAL	2.561	-9.994	-540.171	-58.9013	16.5293

Table: Joint Loads - Force, Part 1 of 2

Joint	LoadPat	CoordSys	F1 KN	F2 KN	F3 KN	M1 KN-m	M2 KN-m
16	P05_ELU_SISMO_X _TINF_Min	GLOBAL	11.039	9.994	-499.597	58.9219	55.0067
16	P05_ELU_SISMO_Y _TINF_Max	GLOBAL	5.528	-33.312	-527.07	-196.3571	29.9963
16	P05_ELU_SISMO_Y _TINF_Min	GLOBAL	8.072	33.312	-512.697	196.3777	41.5397
16	P05_ELU_SISMO_Z _TINF_Max	GLOBAL	5.528	-9.994	-530.737	-58.9006	29.9963
16	P05_ELU_SISMO_Z _TINF_Min	GLOBAL	8.072	9.994	-509.031	58.9212	41.5397
16	P10_ELU_01_T0_M ax	GLOBAL	-3.925E-10	26.34	-1054.764	-261.801	-2.182E-09
16	P10_ELU_01_T0_Mi n	GLOBAL	5.399E-10	26.827	-594.176	-151.6114	3.002E-09
16	P10_ELU_01_TINF_ Max	GLOBAL	-9.18	26.34	-1056.322	-261.7997	-50.1228
16	P10_ELU_01_TINF_ Min	GLOBAL	-9.18	26.826	-595.733	-151.6101	-50.1228
16	P10_ELU_02_T0_M ax	GLOBAL	-3.257E-10	89.226	-847.92	-549.482	-1.811E-09
16	P10_ELU_02_T0_Mi n	GLOBAL	4.696E-10	89.42	-652.189	-505.4052	2.611E-09
16	P10_ELU_02_TINF_ Max	GLOBAL	-9.18	89.225	-849.477	-549.4808	-50.1228
16	P10_ELU_02_TINF_ Min	GLOBAL	-9.18	89.42	-653.746	-505.4039	-50.1228
16	P10_ELU_03_T0_M ax	GLOBAL	-5.041E-10	26.632	-852.947	-195.6891	-2.803E-09
16	P10_ELU_03_T0_Mi n	GLOBAL	7.620E-10	26.827	-644.396	-151.6112	4.236E-09
16	P10_ELU_03_TINF_ Max	GLOBAL	-9.18	26.631	-854.504	-195.6878	-50.1228
16	P10_ELU_03_TINF_ Min	GLOBAL	-9.18	26.826	-645.953	-151.6099	-50.1228
16	P10_ELU_SISMO_X _T0_Max	GLOBAL	-4.553	-9.62	-540.736	-56.422	-21.5015
16	P10_ELU_SISMO_X _T0_Min	GLOBAL	4.553	9.62	-500.016	56.4406	21.5015
16	P10_ELU_SISMO_Y _T0_Max	GLOBAL	-1.366	-32.065	-527.536	-188.0884	-6.4508
16	P10_ELU_SISMO_Y _T0_Min	GLOBAL	1.366	32.066	-513.217	188.107	6.4508
16	P10_ELU_SISMO_Z _T0_Max	GLOBAL	-1.366	-9.62	-531.039	-56.4207	-6.4506
16	P10_ELU_SISMO_Z _T0_Min	GLOBAL	1.366	9.62	-509.714	56.4393	6.4506
16	P10_ELU_SISMO_X _TINF_Max	GLOBAL	-11.353	-9.62	-541.889	-56.4211	-58.6295
16	P10_ELU_SISMO_X _TINF_Min	GLOBAL	-2.247	9.62	-501.17	56.4415	-15.6265
16	P10_ELU_SISMO_Y _TINF_Max	GLOBAL	-8.166	-32.066	-528.689	-188.0875	-43.5788
16	P10_ELU_SISMO_Y _TINF_Min	GLOBAL	-5.434	32.066	-514.37	188.1079	-30.6772
16	P10_ELU_SISMO_Z _TINF_Max	GLOBAL	-8.166	-9.62	-532.192	-56.4198	-43.5786
16	P10_ELU_SISMO_Z _TINF_Min	GLOBAL	-5.434	9.62	-510.867	56.4402	-30.6774
16	P11_ELU_01_T0_M ax	GLOBAL	-4.548E-10	30.38	-1056.657	-273.2104	-1.992E-09

Table: Joint Loads - Force, Part 1 of 2

Joint	LoadPat	CoordSys	F1 KN	F2 KN	F3 KN	M1 KN-m	M2 KN-m
16	P11_ELU_01_T0_Min	GLOBAL	6.436E-10	30.857	-671.735	-150.6891	2.819E-09
16	P11_ELU_01_TINF_Max	GLOBAL	-9.18	30.38	-1058.562	-273.2087	-39.2904
16	P11_ELU_01_TINF_Min	GLOBAL	-9.18	30.857	-673.64	-150.6874	-39.2904
16	P11_ELU_02_T0_Max	GLOBAL	-3.857E-10	101.269	-859.776	-551.3494	-1.689E-09
16	P11_ELU_02_T0_Min	GLOBAL	5.705E-10	101.46	-701.178	-502.3394	2.499E-09
16	P11_ELU_02_TINF_Max	GLOBAL	-9.18	101.268	-861.681	-551.3477	-39.2904
16	P11_ELU_02_TINF_Min	GLOBAL	-9.18	101.459	-703.083	-502.3378	-39.2904
16	P11_ELU_03_T0_Max	GLOBAL	-6.040E-10	30.38	-862.952	-199.7002	-2.645E-09
16	P11_ELU_03_T0_Min	GLOBAL	9.282E-10	30.572	-699.189	-150.6886	4.066E-09
16	P11_ELU_03_TINF_Max	GLOBAL	-9.18	30.38	-864.857	-199.6985	-39.2904
16	P11_ELU_03_TINF_Min	GLOBAL	-9.18	30.571	-701.094	-150.6869	-39.2904
16	P11_ELU_SISMO_X_T0_Max	GLOBAL	-8.128E-05	-12.06	-541.025	-61.9003	-2.109E-04
16	P11_ELU_SISMO_X_T0_Min	GLOBAL	8.128E-05	12.06	-531.24	61.9235	2.109E-04
16	P11_ELU_SISMO_Y_T0_Max	GLOBAL	-9.912E-05	-40.199	-537.94	-206.3577	-1.301E-04
16	P11_ELU_SISMO_Y_T0_Min	GLOBAL	9.912E-05	40.199	-534.324	206.3808	1.301E-04
16	P11_ELU_SISMO_Z_T0_Max	GLOBAL	-9.575E-05	-12.06	-539.074	-61.8996	-1.339E-04
16	P11_ELU_SISMO_Z_T0_Min	GLOBAL	9.575E-05	12.06	-533.19	61.9227	1.339E-04
16	P11_ELU_SISMO_X_TINF_Max	GLOBAL	-6.8	-12.06	-542.436	-61.8991	-29.1042
16	P11_ELU_SISMO_X_TINF_Min	GLOBAL	-6.8	12.06	-532.651	61.9247	-29.1038
16	P11_ELU_SISMO_Y_TINF_Max	GLOBAL	-6.8	-40.199	-539.352	-206.3564	-29.1041
16	P11_ELU_SISMO_Y_TINF_Min	GLOBAL	-6.8	40.199	-535.735	206.382	-29.1039
16	P11_ELU_SISMO_Z_TINF_Max	GLOBAL	-6.8	-12.06	-540.485	-61.8983	-29.1041
16	P11_ELU_SISMO_Z_TINF_Min	GLOBAL	-6.8	12.06	-534.601	61.9239	-29.1039

Table: Joint Loads - Force, Part 2 of 2

Table: Joint Loads - Force, Part 2 of 2

Joint	LoadPat	M3 KN-m	GUID
16	P03_ELU_01_T0_Max	7.711E-14	beadbf55-f501-4948-8ca2-ab731dacc3d
16	P03_ELU_01_T0_Min	2.039E-13	f9a8750c-5614-49be-925c-4c2d35a89bbf
16	P03_ELU_01_TINF_Max	7.704E-14	85676171-1b38-4428-b1f1-ae007cbd659d

Table: Joint Loads - Force, Part 2 of 2

Joint	LoadPat	M3 KN-m	GUID
16	P03_ELU_01_TINF_Min	2.039E-13	d4e469b7-4c79-4eee-9f11-bfb8b82478aa
16	P03_ELU_02_T0_Max	2.571E-13	5027b482-a94e-4bdb-91ad-b964b69022f2
16	P03_ELU_02_T0_Min	3.078E-13	2137b10f-a095-42c1-b4e3-a42dc4e668cb
16	P03_ELU_02_TINF_Max	2.570E-13	f8d25f64-27e7-44cb-ae64-619366df3bf4
16	P03_ELU_02_TINF_Min	3.078E-13	61a3f3c7-1087-444c-b25b-9cff6e3e0a72
16	P03_ELU_03_T0_Max	7.711E-14	1af9e2a0-993b-4898-aa4d-167f70455cb4
16	P03_ELU_03_T0_Min	1.279E-13	dc1aa405-9599-47f8-a89a-5a2d395c568e
16	P03_ELU_03_TINF_Max	7.704E-14	69fbd838-715a-482a-8b02-79ddc829828e
16	P03_ELU_03_TINF_Min	1.278E-13	690060b7-aa62-41ba-ac a7-b64dc4737271
16	P03_ELU_SISMO_X_T0_Max	-2.880E-14	b08a17fc-a445-4eb3-a9d9-9cc52be50fbd
16	P03_ELU_SISMO_X_T0_Min	2.877E-14	31703845-9df9-4631-9f04-b88fbd68ae5e
16	P03_ELU_SISMO_Y_T0_Max	-9.588E-14	7d19d5ca-8a2f-4435-bf87-5c4a3328459e
16	P03_ELU_SISMO_Y_T0_Min	9.586E-14	7ae9880a-f4af-4991-8613-8bc513610b0d
16	P03_ELU_SISMO_Z_T0_Max	-2.878E-14	587096b8-1550-49be-b20c-a324045c0a19
16	P03_ELU_SISMO_Z_T0_Min	2.876E-14	1851c591-c847-497f-9e9e-3095566e7034
16	P03_ELU_SISMO_X_TINF_Max	-2.885E-14	33cfbea3-5a59-4012-b603-a4a66df25779
16	P03_ELU_SISMO_X_TINF_Min	2.872E-14	80b909c9-c25e-47b5-8b00-08af0d86564f
16	P03_ELU_SISMO_Y_TINF_Max	-9.594E-14	76eab533-c1aa-4353-9846-6dd9c8a9afc8
16	P03_ELU_SISMO_Y_TINF_Min	9.580E-14	debd4150-e798-42ea-a257-577d319a104f
16	P03_ELU_SISMO_Z_TINF_Max	-2.883E-14	a7d1d550-a652-4cdb-a446-7b84069a16ab
16	P03_ELU_SISMO_Z_TINF_Min	2.870E-14	bf0c397f-8204-4146-bee4-2f758a5d5455
16	P04_ELU_01_T0_Max	-2.113E-13	7993ed51-6a39-4607-852c-1dcbad21f623
16	P04_ELU_01_T0_Min	-9.684E-14	17bfeb31-9a27-478c-b32f-a57d1557e905
16	P04_ELU_01_TINF_Max	-2.114E-13	e4ba35bf-1a3f-42bb-bc83-0915b71cfb78
16	P04_ELU_01_TINF_Min	-9.690E-14	44016b9a-2370-46b6-a619-e7b9b4af49e5
16	P04_ELU_02_T0_Max	-7.043E-13	0cbbaa80-4328-4c9c-8764-2250feeda95c
16	P04_ELU_02_T0_Min	-6.585E-13	50b00f4b-af81-4419-9b78-82101c3b9c0d
16	P04_ELU_02_TINF_Max	-7.044E-13	41f0390d-fbb4-48c6-b8f3-8f9cce014296
16	P04_ELU_02_TINF_Min	-6.586E-13	0a03d637-14f2-4428-9106-cf4a4e64c94f
16	P04_ELU_03_T0_Max	-2.113E-13	47a369e6-ceaa-440c-bc57-eb198cd08be5

Table: Joint Loads - Force, Part 2 of 2

Joint	LoadPat	M3 KN-m	GUID
16	P04_ELU_03_T0_Min	-1.655E-13	84d2aca6-4826-4a52-a66c-c18ef7159115
16	P04_ELU_03_TINF_Max	-2.114E-13	412cc8df-5d1e-4624-b013-41007e35746c
16	P04_ELU_03_TINF_Min	-1.656E-13	f096a3de-b1e4-4034-afb-d-7867463259fe
16	P04_ELU_SISMO_X_T0_Max	-1.884E-13	3188a7c0-174d-4fe5-bb51-6255e318da54
16	P04_ELU_SISMO_X_T0_Min	1.884E-13	e28a01b2-f12f-46c1-a0d-e-4b09c6efcb63
16	P04_ELU_SISMO_Y_T0_Max	-6.279E-13	d246df57-7799-4da4-a446-c34e370bed60
16	P04_ELU_SISMO_Y_T0_Min	6.279E-13	49421dc2-85d7-4c5c-ac18-de17e5beeb3d2
16	P04_ELU_SISMO_Z_T0_Max	-1.884E-13	534306df-46a4-49ca-a2d8-3605f7e21c06
16	P04_ELU_SISMO_Z_T0_Min	1.884E-13	8ffee8bd-e268-4f6d-9e0b-b75d30cb7067
16	P04_ELU_SISMO_X_TINF_Max	-1.884E-13	560eba69-775d-463c-b5a8-289fd6f6f423
16	P04_ELU_SISMO_X_TINF_Min	1.883E-13	a82de639-1098-4b5d-9585-a6d6691f3fc3
16	P04_ELU_SISMO_Y_TINF_Max	-6.280E-13	833f4321-5fbd-4ea9-bab6-a51855ab0305
16	P04_ELU_SISMO_Y_TINF_Min	6.279E-13	c14e6418-8037-414f-a4d-c-1dca8bc020f8
16	P04_ELU_SISMO_Z_TINF_Max	-1.884E-13	b8735c8e-8d56-4c3f-ac3c-bcb88b78ac0e
16	P04_ELU_SISMO_Z_TINF_Min	1.883E-13	a2efdd30-db79-494d-bd6c-326b947318ca
16	P05_ELU_01_T0_Max	-5.395E-13	17199899-b24d-4a9f-ab22-f9beaa91cb6f
16	P05_ELU_01_T0_Min	-4.592E-13	c294aca8-5a52-4de2-a53d-b93ff8bb944b
16	P05_ELU_01_TINF_Max	-5.395E-13	ceb51c6f-6bde-471c-89a5-aa3e33987272
16	P05_ELU_01_TINF_Min	-4.593E-13	9fb9987a-a4a8-412e-91d1-07c33d9d998a
16	P05_ELU_02_T0_Max	-1.798E-12	0debe5a9-3206-485e-a0bd-447273bf30a7
16	P05_ELU_02_T0_Min	-1.766E-12	11d9d35c-2326-4cf7-824a-3845b219c713
16	P05_ELU_02_TINF_Max	-1.798E-12	c9d85684-4f1e-45d2-bbb-c-b9dc07df1ac0
16	P05_ELU_02_TINF_Min	-1.766E-12	6ab72b03-3ceb-4b89-ab12-87097eec0cbc
16	P05_ELU_03_T0_Max	-5.395E-13	3914dcc4-3b6b-463d-ae7c-7a389422d014
16	P05_ELU_03_T0_Min	-5.073E-13	c36809e5-c209-4eee-a5d8-73395a513fdc
16	P05_ELU_03_TINF_Max	-5.395E-13	62e60f6f-2c46-4387-b9a-e-6d1b5a1a34c3
16	P05_ELU_03_TINF_Min	-5.074E-13	ce682da0-e89a-4f16-9ba6-89b278f14b96
16	P05_ELU_SISMO_X_T0_Max	-3.618E-13	ac952a9b-b986-4509-ba19-1d6bb8d19eff
16	P05_ELU_SISMO_X_T0_Min	3.618E-13	02f521d9-5834-4148-997a-6f585dea08d9
16	P05_ELU_SISMO_Y_T0_Max	-1.206E-12	e1ce4bea-afb9-492b-9570-a06cfe48ee14

Table: Joint Loads - Force, Part 2 of 2

Joint	LoadPat	M3 KN-m	GUID
16	P05_ELU_SISMO_Y _T0_Min	1.206E-12	1a1a7af1-a690-4a59-903 8-ac0c0b7289f4
16	P05_ELU_SISMO_Z _T0_Max	-3.618E-13	ce7d3362-4a03-491d-9e 0a-cf484994f2e8
16	P05_ELU_SISMO_Z _T0_Min	3.618E-13	7cd6d249-5d53-47ac-88 e9-bee34e3530c6
16	P05_ELU_SISMO_X _TINF_Max	-3.619E-13	1edfe572-cea3-4ed9-829 9-2d20de42b6da
16	P05_ELU_SISMO_X _TINF_Min	3.618E-13	73222472-bc22-454e-b6f a-57c144bc8fdf
16	P05_ELU_SISMO_Y _TINF_Max	-1.206E-12	c194b423-cbbc-49d2-b9 25-a659978f936b
16	P05_ELU_SISMO_Y _TINF_Min	1.206E-12	11ef7d24-1c11-40b4-abb 8-d2f5f2db8afb
16	P05_ELU_SISMO_Z _TINF_Max	-3.619E-13	9d5617b4-09fa-44af-941 9-1416ae359977
16	P05_ELU_SISMO_Z _TINF_Min	3.618E-13	99aace60-4b99-47fd-9bf a-e30ec642093c
16	P10_ELU_01_T0_M ax	3.999E-13	ca790279-bc83-494a-88 c8-70719cc6a8c5
16	P10_ELU_01_T0_Mi n	4.915E-13	630d9f86-b38d-4141-bc5 e-85c1a48ea01b
16	P10_ELU_01_TINF_ Max	4.000E-13	9a06ceaf-4bed-4792-844 e-6a6a7a544aaf
16	P10_ELU_01_TINF_ Min	4.916E-13	6ce205f9-6bb0-407c-af0 a-69a91dcbca48
16	P10_ELU_02_T0_M ax	1.602E-12	074c239d-1526-469e-b0 74-ff8b427f089c
16	P10_ELU_02_T0_Mi n	1.638E-12	d42f72a4-4062-496a-83b 8-dba3e7e69baf
16	P10_ELU_02_TINF_ Max	1.602E-12	2e91416a-437b-4a0e-96 11-94974d3e4003
16	P10_ELU_02_TINF_ Min	1.638E-12	b1c0e60e-3558-4d50-80 cb-11ee0d6ff6db
16	P10_ELU_03_T0_M ax	4.549E-13	2bb8aadf-a673-4c7b-bdf 7-b75ac010275f
16	P10_ELU_03_T0_Mi n	4.915E-13	dae1e055-227d-407c-b0 07-0929bb8ed987
16	P10_ELU_03_TINF_ Max	4.549E-13	cfa44463-8efb-4b6b-a96 7-7cb894f64605
16	P10_ELU_03_TINF_ Min	4.916E-13	e3b1f671-73cc-4c93-a05 c-3fd1010d4930
16	P10_ELU_SISMO_X _T0_Max	-3.214E-13	d679d37b-dc17-4ccb-84 1f-7a1b8fba9242
16	P10_ELU_SISMO_X _T0_Min	3.214E-13	8fc0ddca-91e5-4502-ad0 2-0808ce63bc9a
16	P10_ELU_SISMO_Y _T0_Max	-1.071E-12	ba2da4ea-bd4e-4b61-8b 5c-15cf8c0b4f6f
16	P10_ELU_SISMO_Y _T0_Min	1.071E-12	f3c3c366-a14a-4e72-a04 9-2b3d5b5d1007
16	P10_ELU_SISMO_Z _T0_Max	-3.214E-13	2ff012d0-c166-4b07-b18 1-6f8568173e15
16	P10_ELU_SISMO_Z _T0_Min	3.214E-13	880f8d9e-3d4f-43aa-88a 9-3f9fc2495a55
16	P10_ELU_SISMO_X _TINF_Max	-3.213E-13	90f9409e-4f73-4b8c-a5a 7-2218287180e0
16	P10_ELU_SISMO_X _TINF_Min	3.214E-13	78076216-6f16-402f-b29 d-20720f894579
16	P10_ELU_SISMO_Y _TINF_Max	-1.071E-12	50a7c9de-c8fe-42aa-a2d 3-e7dda31cd756



Table: Joint Loads - Force, Part 2 of 2

Joint	LoadPat	M3 KN-m	GUID
16	P10_ELU_SISMO_Y _TINF_Min	1.071E-12	c164493e-7adc-4f4a-871 c-138bde32dffe
16	P10_ELU_SISMO_Z _TINF_Max	-3.213E-13	43dc8fe3-6257-43a4-9f8 2-b92e1500faa1
16	P10_ELU_SISMO_Z _TINF_Min	3.214E-13	cdc6c91e-5301-4a90-b6 13-d11ca3c4c140
16	P11_ELU_01_T0_M ax	-9.687E-15	8cabc428-f8c2-4ef9-9bd 9-c654d6239d66
16	P11_ELU_01_T0_Mi n	1.215E-13	bfb143f1-54b8-4597-9d7 5-2ad58e9696b2
16	P11_ELU_01_TINF_ Max	-9.616E-15	797ad5a8-1116-486c-96 bb-167b124ebc9a
16	P11_ELU_01_TINF_ Min	1.215E-13	3af35a33-7843-4082-b41 b-3df6e80620f2
16	P11_ELU_02_T0_M ax	3.524E-13	cc2b1b75-3114-4ea7-84 91-3aeb679148d1
16	P11_ELU_02_T0_Mi n	4.048E-13	6f6ec5a8-eb4c-4a09-aa1 8-59f4ec351eb4
16	P11_ELU_02_TINF_ Max	3.524E-13	25833a9f-33b3-4530-a61 8-180a9a0db92f
16	P11_ELU_02_TINF_ Min	4.049E-13	e0273dce-2feb-4294-991 f-96fec0e9d286
16	P11_ELU_03_T0_M ax	6.899E-14	90def764-e173-401b-b35 e-45188fa812cc
16	P11_ELU_03_T0_Mi n	1.215E-13	a1d0f759-2d04-4862-a7c 2-464fc218c188
16	P11_ELU_03_TINF_ Max	6.906E-14	f521f419-896c-4bb1-ad2f -7df5926d9486
16	P11_ELU_03_TINF_ Min	1.215E-13	b433881b-6c0e-401e-ac 0c-be07d69fb0b8
16	P11_ELU_SISMO_X _T0_Max	-1.463E-13	b4192ffe-6ed7-44f6-b3be -94e210b361b5
16	P11_ELU_SISMO_X _T0_Min	1.463E-13	3264a01f-9c45-4ced-9c2 c-7c148a155d51
16	P11_ELU_SISMO_Y _T0_Max	-4.876E-13	b1bd3a10-957f-482e-b10 4-9471a9b18265
16	P11_ELU_SISMO_Y _T0_Min	4.876E-13	1c20634b-d227-442d-8d 6f-2b0cc2a4e200
16	P11_ELU_SISMO_Z _T0_Max	-1.463E-13	491772b1-ed2c-4c4f-81d e-873cac81d6cb
16	P11_ELU_SISMO_Z _T0_Min	1.463E-13	c29adc80-dfaa-4f45-a55 6-230eab943de0
16	P11_ELU_SISMO_X _TINF_Max	-1.463E-13	9e20f95d-c780-4a97-ae e-075c9376e2af
16	P11_ELU_SISMO_X _TINF_Min	1.464E-13	200f1bf4-fdbe-465f-9b2e- 40d5a89475f0
16	P11_ELU_SISMO_Y _TINF_Max	-4.876E-13	83252bb4-d284-4063-ac 9e-0252ea8d370e
16	P11_ELU_SISMO_Y _TINF_Min	4.877E-13	eb1f2679-418b-4eea-8c6 8-f21588c838a0
16	P11_ELU_SISMO_Z _TINF_Max	-1.462E-13	d23def5e-d4e8-44a6-80e 5-482f80026344
16	P11_ELU_SISMO_Z _TINF_Min	1.464E-13	ee7089ae-3d1d-41ff-a90 7-bcb62d8415fa

**Table: Load Case Definitions, Part 1 of 3**

Table: Load Case Definitions, Part 1 of 3							
Case	Type	InitialCond	ModalCase	BaseCase	MassSource	DesTypeOpt	DesignType
DEAD	LinStatic	Zero				Prog Det	Dead
MODAL	LinModal	Zero				Prog Det	Other
P03_ELU_01 _T0_Max	LinStatic	Zero				Prog Det	Dead
P03_ELU_01 _T0_Min	LinStatic	Zero				Prog Det	Dead
P03_ELU_01 _TINF_Max	LinStatic	Zero				Prog Det	Dead
P03_ELU_01 _TINF_Min	LinStatic	Zero				Prog Det	Dead
P03_ELU_02 _T0_Max	LinStatic	Zero				Prog Det	Dead
P03_ELU_02 _T0_Min	LinStatic	Zero				Prog Det	Dead
P03_ELU_02 _TINF_Max	LinStatic	Zero				Prog Det	Dead
P03_ELU_02 _TINF_Min	LinStatic	Zero				Prog Det	Dead
P03_ELU_03 _T0_Max	LinStatic	Zero				Prog Det	Dead
P03_ELU_03 _T0_Min	LinStatic	Zero				Prog Det	Dead
P03_ELU_03 _TINF_Max	LinStatic	Zero				Prog Det	Dead
P03_ELU_03 _TINF_Min	LinStatic	Zero				Prog Det	Dead
P03_ELU_SI SMO_X_T0_ Max	LinStatic	Zero				Prog Det	Dead
P03_ELU_SI SMO_X_T0_ Min	LinStatic	Zero				Prog Det	Dead
P03_ELU_SI SMO_Y_T0_ Max	LinStatic	Zero				Prog Det	Dead
P03_ELU_SI SMO_Y_T0_ Min	LinStatic	Zero				Prog Det	Dead
P03_ELU_SI SMO_Z_T0_ Max	LinStatic	Zero				Prog Det	Dead
P03_ELU_SI SMO_Z_T0_ Min	LinStatic	Zero				Prog Det	Dead
P03_ELU_SI SMO_X_TIN F_Max	LinStatic	Zero				Prog Det	Dead
P03_ELU_SI SMO_X_TIN F_Min	LinStatic	Zero				Prog Det	Dead
P03_ELU_SI SMO_Y_TIN F_Max	LinStatic	Zero				Prog Det	Dead
P03_ELU_SI SMO_Y_TIN F_Min	LinStatic	Zero				Prog Det	Dead
P03_ELU_SI SMO_Z_TIN F_Max	LinStatic	Zero				Prog Det	Dead

Table: Load Case Definitions, Part 1 of 3

Case	Type	InitialCond	ModalCase	BaseCase	MassSource	DesTypeOpt	DesignType
P03_ELU_SI SMO_Z_TIN F_Min	LinStatic	Zero				Prog Det	Dead
P04_ELU_01 _T0_Max	LinStatic	Zero				Prog Det	Dead
P04_ELU_01 _T0_Min	LinStatic	Zero				Prog Det	Dead
P04_ELU_01 _TINF_Max	LinStatic	Zero				Prog Det	Dead
P04_ELU_01 _TINF_Min	LinStatic	Zero				Prog Det	Dead
P04_ELU_02 _T0_Max	LinStatic	Zero				Prog Det	Dead
P04_ELU_02 _T0_Min	LinStatic	Zero				Prog Det	Dead
P04_ELU_02 _TINF_Max	LinStatic	Zero				Prog Det	Dead
P04_ELU_02 _TINF_Min	LinStatic	Zero				Prog Det	Dead
P04_ELU_03 _T0_Max	LinStatic	Zero				Prog Det	Dead
P04_ELU_03 _T0_Min	LinStatic	Zero				Prog Det	Dead
P04_ELU_03 _TINF_Max	LinStatic	Zero				Prog Det	Dead
P04_ELU_03 _TINF_Min	LinStatic	Zero				Prog Det	Dead
P04_ELU_SI SMO_X_T0_ Max	LinStatic	Zero				Prog Det	Dead
P04_ELU_SI SMO_X_T0_ Min	LinStatic	Zero				Prog Det	Dead
P04_ELU_SI SMO_Y_T0_ Max	LinStatic	Zero				Prog Det	Dead
P04_ELU_SI SMO_Y_T0_ Min	LinStatic	Zero				Prog Det	Dead
P04_ELU_SI SMO_Z_T0_ Max	LinStatic	Zero				Prog Det	Dead
P04_ELU_SI SMO_Z_T0_ Min	LinStatic	Zero				Prog Det	Dead
P04_ELU_SI SMO_X_TIN F_Max	LinStatic	Zero				Prog Det	Dead
P04_ELU_SI SMO_X_TIN F_Min	LinStatic	Zero				Prog Det	Dead
P04_ELU_SI SMO_Y_TIN F_Max	LinStatic	Zero				Prog Det	Dead
P04_ELU_SI SMO_Y_TIN F_Min	LinStatic	Zero				Prog Det	Dead
P04_ELU_SI SMO_Z_TIN F_Max	LinStatic	Zero				Prog Det	Dead

Table: Load Case Definitions, Part 1 of 3

Case	Type	InitialCond	ModalCase	BaseCase	MassSource	DesTypeOpt	DesignType
P04_ELU_SI SMO_Z_TIN F_Min	LinStatic	Zero				Prog Det	Dead
P05_ELU_01 _T0_Max	LinStatic	Zero				Prog Det	Dead
P05_ELU_01 _T0_Min	LinStatic	Zero				Prog Det	Dead
P05_ELU_01 _TINF_Max	LinStatic	Zero				Prog Det	Dead
P05_ELU_01 _TINF_Min	LinStatic	Zero				Prog Det	Dead
P05_ELU_02 _T0_Max	LinStatic	Zero				Prog Det	Dead
P05_ELU_02 _T0_Min	LinStatic	Zero				Prog Det	Dead
P05_ELU_02 _TINF_Max	LinStatic	Zero				Prog Det	Dead
P05_ELU_02 _TINF_Min	LinStatic	Zero				Prog Det	Dead
P05_ELU_03 _T0_Max	LinStatic	Zero				Prog Det	Dead
P05_ELU_03 _T0_Min	LinStatic	Zero				Prog Det	Dead
P05_ELU_03 _TINF_Max	LinStatic	Zero				Prog Det	Dead
P05_ELU_03 _TINF_Min	LinStatic	Zero				Prog Det	Dead
P05_ELU_SI SMO_X_T0_ Max	LinStatic	Zero				Prog Det	Dead
P05_ELU_SI SMO_X_T0_ Min	LinStatic	Zero				Prog Det	Dead
P05_ELU_SI SMO_Y_T0_ Max	LinStatic	Zero				Prog Det	Dead
P05_ELU_SI SMO_Y_T0_ Min	LinStatic	Zero				Prog Det	Dead
P05_ELU_SI SMO_Z_T0_ Max	LinStatic	Zero				Prog Det	Dead
P05_ELU_SI SMO_Z_T0_ Min	LinStatic	Zero				Prog Det	Dead
P05_ELU_SI SMO_X_TIN F_Max	LinStatic	Zero				Prog Det	Dead
P05_ELU_SI SMO_X_TIN F_Min	LinStatic	Zero				Prog Det	Dead
P05_ELU_SI SMO_Y_TIN F_Max	LinStatic	Zero				Prog Det	Dead
P05_ELU_SI SMO_Y_TIN F_Min	LinStatic	Zero				Prog Det	Dead
P05_ELU_SI SMO_Z_TIN F_Max	LinStatic	Zero				Prog Det	Dead

Table: Load Case Definitions, Part 1 of 3

Case	Type	InitialCond	ModalCase	BaseCase	MassSource	DesTypeOpt	DesignType
P05_ELU_SI SMO_Z_TIN F_Min	LinStatic	Zero				Prog Det	Dead
P10_ELU_01 _T0_Max	LinStatic	Zero				Prog Det	Dead
P10_ELU_01 _T0_Min	LinStatic	Zero				Prog Det	Dead
P10_ELU_01 _TINF_Max	LinStatic	Zero				Prog Det	Dead
P10_ELU_01 _TINF_Min	LinStatic	Zero				Prog Det	Dead
P10_ELU_02 _T0_Max	LinStatic	Zero				Prog Det	Dead
P10_ELU_02 _T0_Min	LinStatic	Zero				Prog Det	Dead
P10_ELU_02 _TINF_Max	LinStatic	Zero				Prog Det	Dead
P10_ELU_02 _TINF_Min	LinStatic	Zero				Prog Det	Dead
P10_ELU_03 _T0_Max	LinStatic	Zero				Prog Det	Dead
P10_ELU_03 _T0_Min	LinStatic	Zero				Prog Det	Dead
P10_ELU_03 _TINF_Max	LinStatic	Zero				Prog Det	Dead
P10_ELU_03 _TINF_Min	LinStatic	Zero				Prog Det	Dead
P10_ELU_SI SMO_X_T0_ Max	LinStatic	Zero				Prog Det	Dead
P10_ELU_SI SMO_X_T0_ Min	LinStatic	Zero				Prog Det	Dead
P10_ELU_SI SMO_Y_T0_ Max	LinStatic	Zero				Prog Det	Dead
P10_ELU_SI SMO_Y_T0_ Min	LinStatic	Zero				Prog Det	Dead
P10_ELU_SI SMO_Z_T0_ Max	LinStatic	Zero				Prog Det	Dead
P10_ELU_SI SMO_Z_T0_ Min	LinStatic	Zero				Prog Det	Dead
P10_ELU_SI SMO_X_TIN F_Max	LinStatic	Zero				Prog Det	Dead
P10_ELU_SI SMO_X_TIN F_Min	LinStatic	Zero				Prog Det	Dead
P10_ELU_SI SMO_Y_TIN F_Max	LinStatic	Zero				Prog Det	Dead
P10_ELU_SI SMO_Y_TIN F_Min	LinStatic	Zero				Prog Det	Dead
P10_ELU_SI SMO_Z_TIN F_Max	LinStatic	Zero				Prog Det	Dead

Table: Load Case Definitions, Part 1 of 3

Case	Type	InitialCond	ModalCase	BaseCase	MassSource	DesTypeOpt	DesignType
P10_ELU_SI SMO_Z_TIN F_Min	LinStatic	Zero				Prog Det	Dead
P11_ELU_01 _T0_Max	LinStatic	Zero				Prog Det	Dead
P11_ELU_01 _T0_Min	LinStatic	Zero				Prog Det	Dead
P11_ELU_01 _TINF_Max	LinStatic	Zero				Prog Det	Dead
P11_ELU_01 _TINF_Min	LinStatic	Zero				Prog Det	Dead
P11_ELU_02 _T0_Max	LinStatic	Zero				Prog Det	Dead
P11_ELU_02 _T0_Min	LinStatic	Zero				Prog Det	Dead
P11_ELU_02 _TINF_Max	LinStatic	Zero				Prog Det	Dead
P11_ELU_02 _TINF_Min	LinStatic	Zero				Prog Det	Dead
P11_ELU_03 _T0_Max	LinStatic	Zero				Prog Det	Dead
P11_ELU_03 _T0_Min	LinStatic	Zero				Prog Det	Dead
P11_ELU_03 _TINF_Max	LinStatic	Zero				Prog Det	Dead
P11_ELU_03 _TINF_Min	LinStatic	Zero				Prog Det	Dead
P11_ELU_SI SMO_X_T0_ Max	LinStatic	Zero				Prog Det	Dead
P11_ELU_SI SMO_X_T0_ Min	LinStatic	Zero				Prog Det	Dead
P11_ELU_SI SMO_Y_T0_ Max	LinStatic	Zero				Prog Det	Dead
P11_ELU_SI SMO_Y_T0_ Min	LinStatic	Zero				Prog Det	Dead
P11_ELU_SI SMO_Z_T0_ Max	LinStatic	Zero				Prog Det	Dead
P11_ELU_SI SMO_Z_T0_ Min	LinStatic	Zero				Prog Det	Dead
P11_ELU_SI SMO_X_TIN F_Max	LinStatic	Zero				Prog Det	Dead
P11_ELU_SI SMO_X_TIN F_Min	LinStatic	Zero				Prog Det	Dead
P11_ELU_SI SMO_Y_TIN F_Max	LinStatic	Zero				Prog Det	Dead
P11_ELU_SI SMO_Y_TIN F_Min	LinStatic	Zero				Prog Det	Dead
P11_ELU_SI SMO_Z_TIN F_Max	LinStatic	Zero				Prog Det	Dead

Table: Load Case Definitions, Part 1 of 3

Case	Type	InitialCond	ModalCase	BaseCase	MassSource	DesTypeOpt	DesignType
P11_ELU_SI SMO_Z_TIN F_Min	LinStatic	Zero				Prog Det	Dead

Table: Load Case Definitions, Part 2 of 3

Table: Load Case Definitions, Part 2 of 3

Case	DesActOpt	DesignAct	AutoType	RunCase	CaseStatus	GUID
DEAD	Prog Det	Non-Composite	None	Yes	Not Run	
MODAL	Prog Det	Other	None	Yes	Not Run	
P03_ELU_01 _T0_Max	Prog Det	Non-Composite	None	Yes	Not Run	
P03_ELU_01 _T0_Min	Prog Det	Non-Composite	None	Yes	Not Run	
P03_ELU_01 _TINF_Max	Prog Det	Non-Composite	None	Yes	Not Run	
P03_ELU_01 _TINF_Min	Prog Det	Non-Composite	None	Yes	Not Run	
P03_ELU_02 _T0_Max	Prog Det	Non-Composite	None	Yes	Not Run	
P03_ELU_02 _T0_Min	Prog Det	Non-Composite	None	Yes	Not Run	
P03_ELU_02 _TINF_Max	Prog Det	Non-Composite	None	Yes	Not Run	
P03_ELU_02 _TINF_Min	Prog Det	Non-Composite	None	Yes	Not Run	
P03_ELU_03 _T0_Max	Prog Det	Non-Composite	None	Yes	Not Run	
P03_ELU_03 _T0_Min	Prog Det	Non-Composite	None	Yes	Not Run	
P03_ELU_03 _TINF_Max	Prog Det	Non-Composite	None	Yes	Not Run	
P03_ELU_03 _TINF_Min	Prog Det	Non-Composite	None	Yes	Not Run	
P03_ELU_SI SMO_X_T0_ Max	Prog Det	Non-Composite	None	Yes	Not Run	
P03_ELU_SI SMO_X_T0_ Min	Prog Det	Non-Composite	None	Yes	Not Run	
P03_ELU_SI SMO_Y_T0_ Max	Prog Det	Non-Composite	None	Yes	Not Run	
P03_ELU_SI SMO_Y_T0_ Min	Prog Det	Non-Composite	None	Yes	Not Run	
P03_ELU_SI SMO_Z_T0_ Max	Prog Det	Non-Composite	None	Yes	Not Run	
P03_ELU_SI SMO_Z_T0_ Min	Prog Det	Non-Composite	None	Yes	Not Run	
P03_ELU_SI SMO_X_TIN F_Max	Prog Det	Non-Composite	None	Yes	Not Run	

Table: Load Case Definitions, Part 2 of 3

Case	DesActOpt	DesignAct	AutoType	RunCase	CaseStatus	GUID
P03_ELU_SI SMO_X_TIN F_Min	Prog Det	Non-Compos ite	None	Yes	Not Run	
P03_ELU_SI SMO_Y_TIN F_Max	Prog Det	Non-Compos ite	None	Yes	Not Run	
P03_ELU_SI SMO_Y_TIN F_Min	Prog Det	Non-Compos ite	None	Yes	Not Run	
P03_ELU_SI SMO_Z_TIN F_Max	Prog Det	Non-Compos ite	None	Yes	Not Run	
P03_ELU_SI SMO_Z_TIN F_Min	Prog Det	Non-Compos ite	None	Yes	Not Run	
P04_ELU_01 _T0_Max	Prog Det	Non-Compos ite	None	Yes	Not Run	
P04_ELU_01 _T0_Min	Prog Det	Non-Compos ite	None	Yes	Not Run	
P04_ELU_01 _TINF_Max	Prog Det	Non-Compos ite	None	Yes	Not Run	
P04_ELU_01 _TINF_Min	Prog Det	Non-Compos ite	None	Yes	Not Run	
P04_ELU_02 _T0_Max	Prog Det	Non-Compos ite	None	Yes	Not Run	
P04_ELU_02 _T0_Min	Prog Det	Non-Compos ite	None	Yes	Not Run	
P04_ELU_02 _TINF_Max	Prog Det	Non-Compos ite	None	Yes	Not Run	
P04_ELU_02 _TINF_Min	Prog Det	Non-Compos ite	None	Yes	Not Run	
P04_ELU_03 _T0_Max	Prog Det	Non-Compos ite	None	Yes	Not Run	
P04_ELU_03 _T0_Min	Prog Det	Non-Compos ite	None	Yes	Not Run	
P04_ELU_03 _TINF_Max	Prog Det	Non-Compos ite	None	Yes	Not Run	
P04_ELU_03 _TINF_Min	Prog Det	Non-Compos ite	None	Yes	Not Run	
P04_ELU_SI SMO_X_T0_ Max	Prog Det	Non-Compos ite	None	Yes	Not Run	
P04_ELU_SI SMO_X_T0_ Min	Prog Det	Non-Compos ite	None	Yes	Not Run	
P04_ELU_SI SMO_Y_T0_ Max	Prog Det	Non-Compos ite	None	Yes	Not Run	
P04_ELU_SI SMO_Y_T0_ Min	Prog Det	Non-Compos ite	None	Yes	Not Run	
P04_ELU_SI SMO_Z_T0_ Max	Prog Det	Non-Compos ite	None	Yes	Not Run	
P04_ELU_SI SMO_Z_T0_ Min	Prog Det	Non-Compos ite	None	Yes	Not Run	
P04_ELU_SI SMO_X_TIN F_Max	Prog Det	Non-Compos ite	None	Yes	Not Run	



Table: Load Case Definitions, Part 2 of 3

Case	DesActOpt	DesignAct	AutoType	RunCase	CaseStatus	GUID
P04_ELU_SI SMO_X_TIN F_Min	Prog Det	Non-Compos ite	None	Yes	Not Run	
P04_ELU_SI SMO_Y_TIN F_Max	Prog Det	Non-Compos ite	None	Yes	Not Run	
P04_ELU_SI SMO_Y_TIN F_Min	Prog Det	Non-Compos ite	None	Yes	Not Run	
P04_ELU_SI SMO_Z_TIN F_Max	Prog Det	Non-Compos ite	None	Yes	Not Run	
P04_ELU_SI SMO_Z_TIN F_Min	Prog Det	Non-Compos ite	None	Yes	Not Run	
P05_ELU_01 _T0_Max	Prog Det	Non-Compos ite	None	Yes	Not Run	
P05_ELU_01 _T0_Min	Prog Det	Non-Compos ite	None	Yes	Not Run	
P05_ELU_01 _TINF_Max	Prog Det	Non-Compos ite	None	Yes	Not Run	
P05_ELU_01 _TINF_Min	Prog Det	Non-Compos ite	None	Yes	Not Run	
P05_ELU_02 _T0_Max	Prog Det	Non-Compos ite	None	Yes	Not Run	
P05_ELU_02 _T0_Min	Prog Det	Non-Compos ite	None	Yes	Not Run	
P05_ELU_02 _TINF_Max	Prog Det	Non-Compos ite	None	Yes	Not Run	
P05_ELU_02 _TINF_Min	Prog Det	Non-Compos ite	None	Yes	Not Run	
P05_ELU_03 _T0_Max	Prog Det	Non-Compos ite	None	Yes	Not Run	
P05_ELU_03 _T0_Min	Prog Det	Non-Compos ite	None	Yes	Not Run	
P05_ELU_03 _TINF_Max	Prog Det	Non-Compos ite	None	Yes	Not Run	
P05_ELU_03 _TINF_Min	Prog Det	Non-Compos ite	None	Yes	Not Run	
P05_ELU_SI SMO_X_T0_ Max	Prog Det	Non-Compos ite	None	Yes	Not Run	
P05_ELU_SI SMO_X_T0_ Min	Prog Det	Non-Compos ite	None	Yes	Not Run	
P05_ELU_SI SMO_Y_T0_ Max	Prog Det	Non-Compos ite	None	Yes	Not Run	
P05_ELU_SI SMO_Y_T0_ Min	Prog Det	Non-Compos ite	None	Yes	Not Run	
P05_ELU_SI SMO_Z_T0_ Max	Prog Det	Non-Compos ite	None	Yes	Not Run	
P05_ELU_SI SMO_Z_T0_ Min	Prog Det	Non-Compos ite	None	Yes	Not Run	
P05_ELU_SI SMO_X_TIN F_Max	Prog Det	Non-Compos ite	None	Yes	Not Run	

Table: Load Case Definitions, Part 2 of 3

Case	DesActOpt	DesignAct	AutoType	RunCase	CaseStatus	GUID
P05_ELU_SI SMO_X_TIN F_Min	Prog Det	Non-Compos ite	None	Yes	Not Run	
P05_ELU_SI SMO_Y_TIN F_Max	Prog Det	Non-Compos ite	None	Yes	Not Run	
P05_ELU_SI SMO_Y_TIN F_Min	Prog Det	Non-Compos ite	None	Yes	Not Run	
P05_ELU_SI SMO_Z_TIN F_Max	Prog Det	Non-Compos ite	None	Yes	Not Run	
P05_ELU_SI SMO_Z_TIN F_Min	Prog Det	Non-Compos ite	None	Yes	Not Run	
P10_ELU_01 _T0_Max	Prog Det	Non-Compos ite	None	Yes	Not Run	
P10_ELU_01 _T0_Min	Prog Det	Non-Compos ite	None	Yes	Not Run	
P10_ELU_01 _TINF_Max	Prog Det	Non-Compos ite	None	Yes	Not Run	
P10_ELU_01 _TINF_Min	Prog Det	Non-Compos ite	None	Yes	Not Run	
P10_ELU_02 _T0_Max	Prog Det	Non-Compos ite	None	Yes	Not Run	
P10_ELU_02 _T0_Min	Prog Det	Non-Compos ite	None	Yes	Not Run	
P10_ELU_02 _TINF_Max	Prog Det	Non-Compos ite	None	Yes	Not Run	
P10_ELU_02 _TINF_Min	Prog Det	Non-Compos ite	None	Yes	Not Run	
P10_ELU_03 _T0_Max	Prog Det	Non-Compos ite	None	Yes	Not Run	
P10_ELU_03 _T0_Min	Prog Det	Non-Compos ite	None	Yes	Not Run	
P10_ELU_03 _TINF_Max	Prog Det	Non-Compos ite	None	Yes	Not Run	
P10_ELU_03 _TINF_Min	Prog Det	Non-Compos ite	None	Yes	Not Run	
P10_ELU_SI SMO_X_T0_ Max	Prog Det	Non-Compos ite	None	Yes	Not Run	
P10_ELU_SI SMO_X_T0_ Min	Prog Det	Non-Compos ite	None	Yes	Not Run	
P10_ELU_SI SMO_Y_T0_ Max	Prog Det	Non-Compos ite	None	Yes	Not Run	
P10_ELU_SI SMO_Y_T0_ Min	Prog Det	Non-Compos ite	None	Yes	Not Run	
P10_ELU_SI SMO_Z_T0_ Max	Prog Det	Non-Compos ite	None	Yes	Not Run	
P10_ELU_SI SMO_Z_T0_ Min	Prog Det	Non-Compos ite	None	Yes	Not Run	
P10_ELU_SI SMO_X_TIN F_Max	Prog Det	Non-Compos ite	None	Yes	Not Run	

Table: Load Case Definitions, Part 2 of 3

Case	DesActOpt	DesignAct	AutoType	RunCase	CaseStatus	GUID
P10_ELU_SI SMO_X_TIN F_Min	Prog Det	Non-Compos ite	None	Yes	Not Run	
P10_ELU_SI SMO_Y_TIN F_Max	Prog Det	Non-Compos ite	None	Yes	Not Run	
P10_ELU_SI SMO_Y_TIN F_Min	Prog Det	Non-Compos ite	None	Yes	Not Run	
P10_ELU_SI SMO_Z_TIN F_Max	Prog Det	Non-Compos ite	None	Yes	Not Run	
P10_ELU_SI SMO_Z_TIN F_Min	Prog Det	Non-Compos ite	None	Yes	Not Run	
P11_ELU_01 _T0_Max	Prog Det	Non-Compos ite	None	Yes	Not Run	
P11_ELU_01 _T0_Min	Prog Det	Non-Compos ite	None	Yes	Not Run	
P11_ELU_01 _TINF_Max	Prog Det	Non-Compos ite	None	Yes	Not Run	
P11_ELU_01 _TINF_Min	Prog Det	Non-Compos ite	None	Yes	Not Run	
P11_ELU_02 _T0_Max	Prog Det	Non-Compos ite	None	Yes	Not Run	
P11_ELU_02 _T0_Min	Prog Det	Non-Compos ite	None	Yes	Not Run	
P11_ELU_02 _TINF_Max	Prog Det	Non-Compos ite	None	Yes	Not Run	
P11_ELU_02 _TINF_Min	Prog Det	Non-Compos ite	None	Yes	Not Run	
P11_ELU_03 _T0_Max	Prog Det	Non-Compos ite	None	Yes	Not Run	
P11_ELU_03 _T0_Min	Prog Det	Non-Compos ite	None	Yes	Not Run	
P11_ELU_03 _TINF_Max	Prog Det	Non-Compos ite	None	Yes	Not Run	
P11_ELU_03 _TINF_Min	Prog Det	Non-Compos ite	None	Yes	Not Run	
P11_ELU_SI SMO_X_T0_ Max	Prog Det	Non-Compos ite	None	Yes	Not Run	
P11_ELU_SI SMO_X_T0_ Min	Prog Det	Non-Compos ite	None	Yes	Not Run	
P11_ELU_SI SMO_Y_T0_ Max	Prog Det	Non-Compos ite	None	Yes	Not Run	
P11_ELU_SI SMO_Y_T0_ Min	Prog Det	Non-Compos ite	None	Yes	Not Run	
P11_ELU_SI SMO_Z_T0_ Max	Prog Det	Non-Compos ite	None	Yes	Not Run	
P11_ELU_SI SMO_Z_T0_ Min	Prog Det	Non-Compos ite	None	Yes	Not Run	
P11_ELU_SI SMO_X_TIN F_Max	Prog Det	Non-Compos ite	None	Yes	Not Run	

Table: Load Case Definitions, Part 2 of 3

Case	DesActOpt	DesignAct	AutoType	RunCase	CaseStatus	GUID
P11_ELU_SI SMO_X_TIN F_Min	Prog Det	Non-Compos ite	None	Yes	Not Run	
P11_ELU_SI SMO_Y_TIN F_Max	Prog Det	Non-Compos ite	None	Yes	Not Run	
P11_ELU_SI SMO_Y_TIN F_Min	Prog Det	Non-Compos ite	None	Yes	Not Run	
P11_ELU_SI SMO_Z_TIN F_Max	Prog Det	Non-Compos ite	None	Yes	Not Run	
P11_ELU_SI SMO_Z_TIN F_Min	Prog Det	Non-Compos ite	None	Yes	Not Run	

Table: Load Case Definitions, Part 3 of 3

Table: Load Case Definitions, Part 3 of 3

Case	Notes
DEAD	
MODAL	
P03_ELU_01 _T0_Max	
P03_ELU_01 _T0_Min	
P03_ELU_01 _TINF_Max	
P03_ELU_01 _TINF_Min	
P03_ELU_02 _T0_Max	
P03_ELU_02 _T0_Min	
P03_ELU_02 _TINF_Max	
P03_ELU_02 _TINF_Min	
P03_ELU_03 _T0_Max	
P03_ELU_03 _T0_Min	
P03_ELU_03 _TINF_Max	
P03_ELU_03 _TINF_Min	
P03_ELU_SI SMO_X_T0_ Max	
P03_ELU_SI SMO_X_T0_ Min	
P03_ELU_SI SMO_Y_T0_ Max	
P03_ELU_SI SMO_Y_T0_ Min	

**Table: Load Case Definitions, Part 3 of 3**

Case	Notes
P03_ELU_SI SMO_Z_T0_ Max	
P03_ELU_SI SMO_Z_T0_ Min	
P03_ELU_SI SMO_X_TIN F_Max	
P03_ELU_SI SMO_X_TIN F_Min	
P03_ELU_SI SMO_Y_TIN F_Max	
P03_ELU_SI SMO_Y_TIN F_Min	
P03_ELU_SI SMO_Z_TIN F_Max	
P03_ELU_SI SMO_Z_TIN F_Min	
P04_ELU_01 _T0_Max	
P04_ELU_01 _T0_Min	
P04_ELU_01 _TINF_Max	
P04_ELU_01 _TINF_Min	
P04_ELU_02 _T0_Max	
P04_ELU_02 _T0_Min	
P04_ELU_02 _TINF_Max	
P04_ELU_02 _TINF_Min	
P04_ELU_03 _T0_Max	
P04_ELU_03 _T0_Min	
P04_ELU_03 _TINF_Max	
P04_ELU_03 _TINF_Min	
P04_ELU_SI SMO_X_T0_ Max	
P04_ELU_SI SMO_X_T0_ Min	
P04_ELU_SI SMO_Y_T0_ Max	
P04_ELU_SI SMO_Y_T0_ Min	

**Table: Load Case Definitions, Part 3 of 3**

Case	Notes
P04_ELU_SI SMO_Z_T0_ Max	
P04_ELU_SI SMO_Z_T0_ Min	
P04_ELU_SI SMO_X_TIN F_Max	
P04_ELU_SI SMO_X_TIN F_Min	
P04_ELU_SI SMO_Y_TIN F_Max	
P04_ELU_SI SMO_Y_TIN F_Min	
P04_ELU_SI SMO_Z_TIN F_Max	
P04_ELU_SI SMO_Z_TIN F_Min	
P05_ELU_01 _T0_Max	
P05_ELU_01 _T0_Min	
P05_ELU_01 _TINF_Max	
P05_ELU_01 _TINF_Min	
P05_ELU_02 _T0_Max	
P05_ELU_02 _T0_Min	
P05_ELU_02 _TINF_Max	
P05_ELU_02 _TINF_Min	
P05_ELU_03 _T0_Max	
P05_ELU_03 _T0_Min	
P05_ELU_03 _TINF_Max	
P05_ELU_03 _TINF_Min	
P05_ELU_SI SMO_X_T0_ Max	
P05_ELU_SI SMO_X_T0_ Min	
P05_ELU_SI SMO_Y_T0_ Max	
P05_ELU_SI SMO_Y_T0_ Min	

**Table: Load Case Definitions, Part 3 of 3**

Case	Notes
P05_ELU_SI	
SMO_Z_T0_	
Max	
P05_ELU_SI	
SMO_Z_T0_	
Min	
P05_ELU_SI	
SMO_X_TIN	
F_Max	
P05_ELU_SI	
SMO_X_TIN	
F_Min	
P05_ELU_SI	
SMO_Y_TIN	
F_Max	
P05_ELU_SI	
SMO_Y_TIN	
F_Min	
P05_ELU_SI	
SMO_Z_TIN	
F_Max	
P05_ELU_SI	
SMO_Z_TIN	
F_Min	
P10_ELU_01	
_T0_Max	
P10_ELU_01	
_T0_Min	
P10_ELU_01	
_TINF_Max	
P10_ELU_01	
_TINF_Min	
P10_ELU_02	
_T0_Max	
P10_ELU_02	
_T0_Min	
P10_ELU_02	
_TINF_Max	
P10_ELU_02	
_TINF_Min	
P10_ELU_03	
_T0_Max	
P10_ELU_03	
_T0_Min	
P10_ELU_03	
_TINF_Max	
P10_ELU_03	
_TINF_Min	
P10_ELU_SI	
SMO_X_T0_	
Max	
P10_ELU_SI	
SMO_X_T0_	
Min	
P10_ELU_SI	
SMO_Y_T0_	
Max	
P10_ELU_SI	
SMO_Y_T0_	
Min	

**Table: Load Case Definitions, Part 3 of 3**

Case	Notes
P10_ELU_SI	
SMO_Z_T0_	
Max	
P10_ELU_SI	
SMO_Z_T0_	
Min	
P10_ELU_SI	
SMO_X_TIN	
F_Max	
P10_ELU_SI	
SMO_X_TIN	
F_Min	
P10_ELU_SI	
SMO_Y_TIN	
F_Max	
P10_ELU_SI	
SMO_Y_TIN	
F_Min	
P10_ELU_SI	
SMO_Z_TIN	
F_Max	
P10_ELU_SI	
SMO_Z_TIN	
F_Min	
P11_ELU_01	
_T0_Max	
P11_ELU_01	
_T0_Min	
P11_ELU_01	
_TINF_Max	
P11_ELU_01	
_TINF_Min	
P11_ELU_02	
_T0_Max	
P11_ELU_02	
_T0_Min	
P11_ELU_02	
_TINF_Max	
P11_ELU_02	
_TINF_Min	
P11_ELU_03	
_T0_Max	
P11_ELU_03	
_T0_Min	
P11_ELU_03	
_TINF_Max	
P11_ELU_03	
_TINF_Min	
P11_ELU_SI	
SMO_X_T0_	
Max	
P11_ELU_SI	
SMO_X_T0_	
Min	
P11_ELU_SI	
SMO_Y_T0_	
Max	
P11_ELU_SI	
SMO_Y_T0_	
Min	



**Table: Load Case Definitions, Part 3 of 3**

Case	Notes
P11_ELU_SI SMO_Z_T0_ Max	
P11_ELU_SI SMO_Z_T0_ Min	
P11_ELU_SI SMO_X_TIN F_Max	
P11_ELU_SI SMO_X_TIN F_Min	
P11_ELU_SI SMO_Y_TIN F_Max	
P11_ELU_SI SMO_Y_TIN F_Min	
P11_ELU_SI SMO_Z_TIN F_Max	
P11_ELU_SI SMO_Z_TIN F_Min	

**Table: Load Pattern Definitions****Table: Load Pattern Definitions**

LoadPat	DesignType	SelfWtMult	AutoLoad	GUID	Notes
DEAD	Dead	1.		a15c2ef6-cbda-447f-962 0-d4140be12a27	
P03_ELU_01_T0_M ax	Dead	0.		299ce17f-749c-4a30-892 f-896b91cc1adc	
P03_ELU_01_T0_Mi n	Dead	0.			
P03_ELU_01_TINF_ Max	Dead	0.			
P03_ELU_01_TINF_ Min	Dead	0.			
P03_ELU_02_T0_M ax	Dead	0.			
P03_ELU_02_T0_Mi n	Dead	0.			
P03_ELU_02_TINF_ Max	Dead	0.			
P03_ELU_02_TINF_ Min	Dead	0.			
P03_ELU_03_T0_M ax	Dead	0.			
P03_ELU_03_T0_Mi n	Dead	0.			
P03_ELU_03_TINF_ Max	Dead	0.			
P03_ELU_03_TINF_ Min	Dead	0.			
P03_ELU_SISMO_X _T0_Max	Dead	0.			

Table: Load Pattern Definitions

LoadPat	DesignType	SelfWtMult	AutoLoad	GUID	Notes
P03_ELU_SISMO_X _T0_Min	Dead	0.			
P03_ELU_SISMO_Y _T0_Max	Dead	0.			
P03_ELU_SISMO_Y _T0_Min	Dead	0.			
P03_ELU_SISMO_Z _T0_Max	Dead	0.			
P03_ELU_SISMO_Z _T0_Min	Dead	0.			
P03_ELU_SISMO_X _TINF_Max	Dead	0.			
P03_ELU_SISMO_X _TINF_Min	Dead	0.			
P03_ELU_SISMO_Y _TINF_Max	Dead	0.			
P03_ELU_SISMO_Y _TINF_Min	Dead	0.			
P03_ELU_SISMO_Z _TINF_Max	Dead	0.			
P03_ELU_SISMO_Z _TINF_Min	Dead	0.			
P04_ELU_01_T0_M ax	Dead	0.			
P04_ELU_01_T0_Mi n	Dead	0.			
P04_ELU_01_TINF_ Max	Dead	0.			
P04_ELU_01_TINF_ Min	Dead	0.			
P04_ELU_02_T0_M ax	Dead	0.			
P04_ELU_02_T0_Mi n	Dead	0.			
P04_ELU_02_TINF_ Max	Dead	0.			
P04_ELU_02_TINF_ Min	Dead	0.			
P04_ELU_03_T0_M ax	Dead	0.			
P04_ELU_03_T0_Mi n	Dead	0.			
P04_ELU_03_TINF_ Max	Dead	0.			
P04_ELU_03_TINF_ Min	Dead	0.			
P04_ELU_SISMO_X _T0_Max	Dead	0.			
P04_ELU_SISMO_X _T0_Min	Dead	0.			
P04_ELU_SISMO_Y _T0_Max	Dead	0.			
P04_ELU_SISMO_Y _T0_Min	Dead	0.			
P04_ELU_SISMO_Z _T0_Max	Dead	0.			
P04_ELU_SISMO_Z _T0_Min	Dead	0.			
P04_ELU_SISMO_X _TINF_Max	Dead	0.			

Table: Load Pattern Definitions

LoadPat	DesignType	SelfWtMult	AutoLoad	GUID	Notes
P04_ELU_SISMO_X	Dead	0.			
_TINF_Min					
P04_ELU_SISMO_Y	Dead	0.			
_TINF_Max					
P04_ELU_SISMO_Y	Dead	0.			
_TINF_Min					
P04_ELU_SISMO_Z	Dead	0.			
_TINF_Max					
P04_ELU_SISMO_Z	Dead	0.			
_TINF_Min					
P05_ELU_01_T0_M	Dead	0.			
ax					
P05_ELU_01_T0_Mi	Dead	0.			
n					
P05_ELU_01_TINF_	Dead	0.			
Max					
P05_ELU_01_TINF_	Dead	0.			
Min					
P05_ELU_02_T0_M	Dead	0.			
ax					
P05_ELU_02_T0_Mi	Dead	0.			
n					
P05_ELU_02_TINF_	Dead	0.			
Max					
P05_ELU_02_TINF_	Dead	0.			
Min					
P05_ELU_03_T0_M	Dead	0.			
ax					
P05_ELU_03_T0_Mi	Dead	0.			
n					
P05_ELU_03_TINF_	Dead	0.			
Max					
P05_ELU_03_TINF_	Dead	0.			
Min					
P05_ELU_SISMO_X	Dead	0.			
_T0_Max					
P05_ELU_SISMO_X	Dead	0.			
_T0_Min					
P05_ELU_SISMO_Y	Dead	0.			
_T0_Max					
P05_ELU_SISMO_Y	Dead	0.			
_T0_Min					
P05_ELU_SISMO_Z	Dead	0.			
_T0_Max					
P05_ELU_SISMO_Z	Dead	0.			
_T0_Min					
P05_ELU_SISMO_X	Dead	0.			
_TINF_Max					
P05_ELU_SISMO_X	Dead	0.			
_TINF_Min					
P05_ELU_SISMO_Y	Dead	0.			
_TINF_Max					
P05_ELU_SISMO_Y	Dead	0.			
_TINF_Min					
P05_ELU_SISMO_Z	Dead	0.			
_TINF_Max					
P05_ELU_SISMO_Z	Dead	0.			
_TINF_Min					
P10_ELU_01_T0_M	Dead	0.			
ax					

Table: Load Pattern Definitions

LoadPat	DesignType	SelfWtMult	AutoLoad	GUID	Notes
P10_ELU_01_T0_Mi n	Dead	0.			
P10_ELU_01_TINF_ Max	Dead	0.			
P10_ELU_01_TINF_ Min	Dead	0.			
P10_ELU_02_T0_M ax	Dead	0.			
P10_ELU_02_T0_Mi n	Dead	0.			
P10_ELU_02_TINF_ Max	Dead	0.			
P10_ELU_02_TINF_ Min	Dead	0.			
P10_ELU_03_T0_M ax	Dead	0.			
P10_ELU_03_T0_Mi n	Dead	0.			
P10_ELU_03_TINF_ Max	Dead	0.			
P10_ELU_03_TINF_ Min	Dead	0.			
P10_ELU_SISMO_X _T0_Max	Dead	0.			
P10_ELU_SISMO_X _T0_Min	Dead	0.			
P10_ELU_SISMO_Y _T0_Max	Dead	0.			
P10_ELU_SISMO_Y _T0_Min	Dead	0.			
P10_ELU_SISMO_Z _T0_Max	Dead	0.			
P10_ELU_SISMO_Z _T0_Min	Dead	0.			
P10_ELU_SISMO_X _TINF_Max	Dead	0.			
P10_ELU_SISMO_X _TINF_Min	Dead	0.			
P10_ELU_SISMO_Y _TINF_Max	Dead	0.			
P10_ELU_SISMO_Y _TINF_Min	Dead	0.			
P10_ELU_SISMO_Z _TINF_Max	Dead	0.			
P10_ELU_SISMO_Z _TINF_Min	Dead	0.			
P11_ELU_01_T0_M ax	Dead	0.			
P11_ELU_01_T0_Mi n	Dead	0.			
P11_ELU_01_TINF_ Max	Dead	0.			
P11_ELU_01_TINF_ Min	Dead	0.			
P11_ELU_02_T0_M ax	Dead	0.			
P11_ELU_02_T0_Mi n	Dead	0.			
P11_ELU_02_TINF_ Max	Dead	0.			

Table: Load Pattern Definitions

LoadPat	DesignType	SelfWtMult	AutoLoad	GUID	Notes
P11_ELU_02_TINF_Min	Dead	0.			
P11_ELU_03_T0_Max	Dead	0.			
P11_ELU_03_T0_Min	Dead	0.			
P11_ELU_03_TINF_Max	Dead	0.			
P11_ELU_03_TINF_Min	Dead	0.			
P11_ELU_SISMO_X_T0_Max	Dead	0.			
P11_ELU_SISMO_X_T0_Min	Dead	0.			
P11_ELU_SISMO_Y_T0_Max	Dead	0.			
P11_ELU_SISMO_Y_T0_Min	Dead	0.			
P11_ELU_SISMO_Z_T0_Max	Dead	0.			
P11_ELU_SISMO_Z_T0_Min	Dead	0.			
P11_ELU_SISMO_X_TINF_Max	Dead	0.			
P11_ELU_SISMO_X_TINF_Min	Dead	0.			
P11_ELU_SISMO_Y_TINF_Max	Dead	0.			
P11_ELU_SISMO_Y_TINF_Min	Dead	0.			
P11_ELU_SISMO_Z_TINF_Max	Dead	0.			
P11_ELU_SISMO_Z_TINF_Min	Dead	0.			

Table: Material Properties 01 - General, Part 1 of 2

Table: Material Properties 01 - General, Part 1 of 2

Material	Type	SymType	TempDepend	Color	GUID
A615Gr60	Rebar	Uniaxial	No	Blue	
A992Fy50	Steel	Isotropic	No	Blue	
HORMIGÓN	Concrete	Isotropic	No	Green	

Table: Material Properties 01 - General, Part 2 of 2

Table: Material Properties 01 - General, Part 2 of 2

Material	Notes
A615Gr60	ASTM A615 Grade 60 09/01/2017 16:59:19
A992Fy50	ASTM A992 Grade 50 09/01/2017 16:56:34

**Table: Material Properties 01 - General, Part 2 of 2**

Material	Notes
HORMIGÓN	Customary f'c 4000 psi 09/01/2017 16:56:34

**Table: Material Properties 02 - Basic Mechanical Properties****Table: Material Properties 02 - Basic Mechanical Properties**

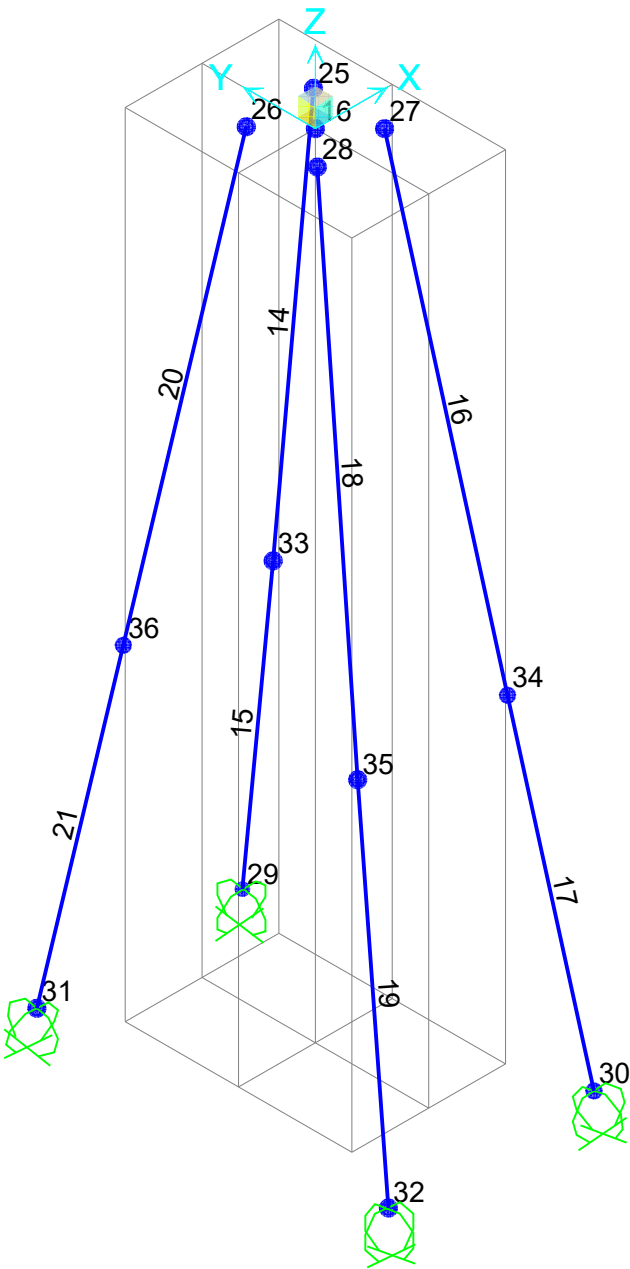
Material	UnitWeight KN/m3	UnitMass KN-s2/m4	E1 KN/m2	G12 KN/m2	U12	A1 1/C
A615Gr60	7.6973E+01	7.8490E+00	199947978.8			1.1700E-05
A992Fy50	7.6973E+01	7.8490E+00	199947978.8	76903068.77	0.3	1.1700E-05
HORMIGÓN	2.3563E+01	2.4028E+00	28576790.96	11906996.23	0.2	9.9000E-06

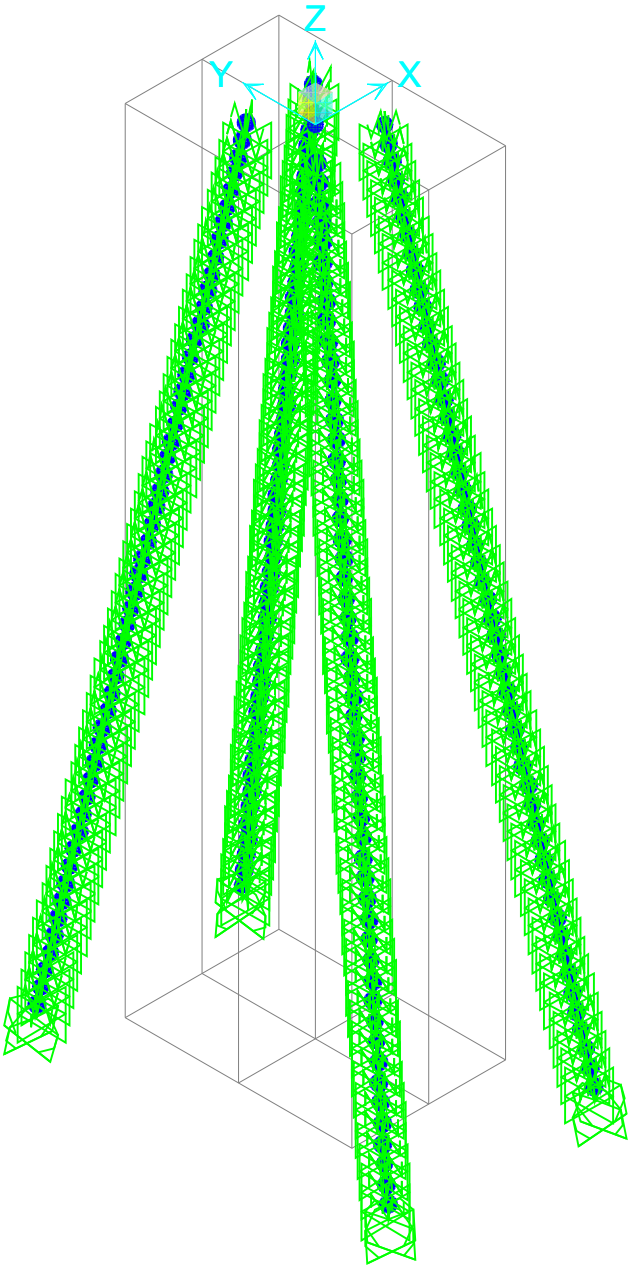
**Table: Material Properties 03b - Concrete Data, Part 1 of 2****Table: Material Properties 03b - Concrete Data, Part 1 of 2**

Material	Fc KN/m2	eFc KN/m2	LtWtConc	SSCurveOpt	SSHysType	SFc	SCap	FinalSlope
HORMIGÓN	30000.	30000.	No	Mander	Takeda	0.002219	0.005	-0.1

**Table: Material Properties 03b - Concrete Data, Part 2 of 2****Table: Material Properties 03b - Concrete Data, Part 2 of 2**

Material	FAngle Degrees	DAngle Degrees
HORMIGÓN	0.	0.







**Table: Case - Static 1 - Load Assignments****Table: Case - Static 1 - Load Assignments**

Case	LoadType	LoadName	LoadSF
DEAD	Load pattern	DEAD	1.
P06_ELU_01_T0_Max	Load pattern	P06_ELU_01_T0_Max	1.
P06_ELU_01_T0_Min	Load pattern	P06_ELU_01_T0_Min	1.
P06_ELU_01_TINF_Max	Load pattern	P06_ELU_01_TINF_Max	1.
P06_ELU_01_TINF_Min	Load pattern	P06_ELU_01_TINF_Min	1.
P06_ELU_02_T0_Max	Load pattern	P06_ELU_02_T0_Max	1.
P06_ELU_02_T0_Min	Load pattern	P06_ELU_02_T0_Min	1.
P06_ELU_02_TINF_Max	Load pattern	P06_ELU_02_TINF_Max	1.
P06_ELU_02_TINF_Min	Load pattern	P06_ELU_02_TINF_Min	1.
P06_ELU_03_T0_Max	Load pattern	P06_ELU_03_T0_Max	1.
P06_ELU_03_T0_Min	Load pattern	P06_ELU_03_T0_Min	1.
P06_ELU_03_TINF_Max	Load pattern	P06_ELU_03_TINF_Max	1.
P06_ELU_03_TINF_Min	Load pattern	P06_ELU_03_TINF_Min	1.
P06_ELU_SISMO_X_T0_Max	Load pattern	P06_ELU_SISMO_X_T0_Max	1.
P06_ELU_SISMO_X_T0_Min	Load pattern	P06_ELU_SISMO_X_T0_Min	1.
P06_ELU_SISMO_Y_T0_Max	Load pattern	P06_ELU_SISMO_Y_T0_Max	1.
P06_ELU_SISMO_Y_T0_Min	Load pattern	P06_ELU_SISMO_Y_T0_Min	1.
P06_ELU_SISMO_Z_T0_Max	Load pattern	P06_ELU_SISMO_Z_T0_Max	1.
P06_ELU_SISMO_Z_T0_Min	Load pattern	P06_ELU_SISMO_Z_T0_Min	1.
P06_ELU_SISMO_X_TINF_Max	Load pattern	P06_ELU_SISMO_X_TINF_Max	1.
P06_ELU_SISMO_X_TINF_Min	Load pattern	P06_ELU_SISMO_X_TINF_Min	1.
P06_ELU_SISMO_Y_TINF_Max	Load pattern	P06_ELU_SISMO_Y_TINF_Max	1.
P06_ELU_SISMO_Y_TINF_Min	Load pattern	P06_ELU_SISMO_Y_TINF_Min	1.
P06_ELU_SISMO_Z_TINF_Max	Load pattern	P06_ELU_SISMO_Z_TINF_Max	1.
P06_ELU_SISMO_Z_TINF_Min	Load pattern	P06_ELU_SISMO_Z_TINF_Min	1.
P09_ELU_01_T0_Max	Load pattern	P09_ELU_01_T0_Max	1.
P09_ELU_01_T0_Min	Load pattern	P09_ELU_01_T0_Min	1.
P09_ELU_01_TINF_Max	Load pattern	P09_ELU_01_TINF_Max	1.

**Table: Case - Static 1 - Load Assignments**

Case	LoadType	LoadName	LoadSF
P09_ELU_01_TINF_Min	Load pattern	P09_ELU_01_TINF_Min	1.
P09_ELU_02_T0_Max	Load pattern	P09_ELU_02_T0_Max	1.
P09_ELU_02_T0_Min	Load pattern	P09_ELU_02_T0_Min	1.
P09_ELU_02_TINF_Max	Load pattern	P09_ELU_02_TINF_Max	1.
P09_ELU_02_TINF_Min	Load pattern	P09_ELU_02_TINF_Min	1.
P09_ELU_03_T0_Max	Load pattern	P09_ELU_03_T0_Max	1.
P09_ELU_03_T0_Min	Load pattern	P09_ELU_03_T0_Min	1.
P09_ELU_03_TINF_Max	Load pattern	P09_ELU_03_TINF_Max	1.
P09_ELU_03_TINF_Min	Load pattern	P09_ELU_03_TINF_Min	1.
P09_ELU_SISMO_X_T0_Max	Load pattern	P09_ELU_SISMO_X_T0_Max	1.
P09_ELU_SISMO_X_T0_Min	Load pattern	P09_ELU_SISMO_X_T0_Min	1.
P09_ELU_SISMO_Y_T0_Max	Load pattern	P09_ELU_SISMO_Y_T0_Max	1.
P09_ELU_SISMO_Y_T0_Min	Load pattern	P09_ELU_SISMO_Y_T0_Min	1.
P09_ELU_SISMO_Z_T0_Max	Load pattern	P09_ELU_SISMO_Z_T0_Max	1.
P09_ELU_SISMO_Z_T0_Min	Load pattern	P09_ELU_SISMO_Z_T0_Min	1.
P09_ELU_SISMO_X_TINF_Max	Load pattern	P09_ELU_SISMO_X_TINF_Max	1.
P09_ELU_SISMO_X_TINF_Min	Load pattern	P09_ELU_SISMO_X_TINF_Min	1.
P09_ELU_SISMO_Y_TINF_Max	Load pattern	P09_ELU_SISMO_Y_TINF_Max	1.
P09_ELU_SISMO_Y_TINF_Min	Load pattern	P09_ELU_SISMO_Y_TINF_Min	1.
P09_ELU_SISMO_Z_TINF_Max	Load pattern	P09_ELU_SISMO_Z_TINF_Max	1.
P09_ELU_SISMO_Z_TINF_Min	Load pattern	P09_ELU_SISMO_Z_TINF_Min	1.

**Table: Frame Section Assignments****Table: Frame Section Assignments**

Frame	SectionType	AutoSelect	AnalSect	DesignSect	MatProp
14	Circular	N.A.	MICROPILOTE	MICROPILOTE	Default
15	Circular	N.A.	MICROPILOTE	MICROPILOTE	Default
16	Circular	N.A.	MICROPILOTE	MICROPILOTE	Default
17	Circular	N.A.	MICROPILOTE	MICROPILOTE	Default
18	Circular	N.A.	MICROPILOTE	MICROPILOTE	Default
19	Circular	N.A.	MICROPILOTE	MICROPILOTE	Default
20	Circular	N.A.	MICROPILOTE	MICROPILOTE	Default
21	Circular	N.A.	MICROPILOTE	MICROPILOTE	Default

**Table: Frame Section Properties 01 - General, Part 1 of 5**

Table: Frame Section Properties 01 - General, Part 1 of 5

SectionName	Material	Shape	t3 m	Area m2	TorsConst m4	I33 m4
MICROPILOTE	HORMIGÓN	Circle	0.15	0.017671	0.00005	0.000025

**Table: Frame Section Properties 01 - General, Part 2 of 5**

Table: Frame Section Properties 01 - General, Part 2 of 5

SectionName	I22 m4	I23 m4	AS2 m2	AS3 m2	S33 m3	S22 m3	Z33 m3
MICROPILOTE	0.000025	0.	0.015904	0.015904	0.000331	0.000331	0.000563

**Table: Frame Section Properties 01 - General, Part 3 of 5**

Table: Frame Section Properties 01 - General, Part 3 of 5

SectionName	Z22 m3	R33 m	R22 m	ConcCol	ConcBeam	Color	TotalWt KN
MICROPILOTE	0.000563	0.0375	0.0375	Yes	No	Green	42.438

**Table: Frame Section Properties 01 - General, Part 4 of 5**

Table: Frame Section Properties 01 - General, Part 4 of 5

SectionName	TotalMass KN-s2/m	FromFile	AMod	A2Mod	A3Mod	JMod	I2Mod
MICROPILOTE	4.33	No	1.	1.	1.	1.	1.

**Table: Frame Section Properties 01 - General, Part 5 of 5**

Table: Frame Section Properties 01 - General, Part 5 of 5

SectionName	I3Mod	MMod	WMod	GUID	Notes
MICROPILOTE	1.	1.	1.		Added 09/01/2017 16:59:19

**Table: Frame Spring Assignments**

Table: Frame Spring Assignments

Frame	Type	Stiffness KN/m/m	SimpleType	Dir1Type	Dir
14	Simple	125.	Tension and Compression	Object Axes	2
14	Simple	125.	Tension and Compression	Object Axes	3
15	Simple	7500.	Tension and Compression	Object Axes	3
15	Simple	7500.	Tension and Compression	Object Axes	2
16	Simple	125.	Tension and Compression	Object Axes	2
16	Simple	125.	Tension and Compression	Object Axes	3
17	Simple	7500.	Tension and Compression	Object Axes	3

Table: Frame Spring Assignments

Frame	Type	Stiffness KN/m/m	SimpleType	Dir1Type	Dir
17	Simple	7500.	Tension and Compression	Object Axes	2
18	Simple	125.	Tension and Compression	Object Axes	2
18	Simple	125.	Tension and Compression	Object Axes	3
19	Simple	7500.	Tension and Compression	Object Axes	3
19	Simple	7500.	Tension and Compression	Object Axes	2
20	Simple	125.	Tension and Compression	Object Axes	2
20	Simple	125.	Tension and Compression	Object Axes	3
21	Simple	7500.	Tension and Compression	Object Axes	3
21	Simple	7500.	Tension and Compression	Object Axes	2

Table: Joint Coordinates, Part 1 of 2

Table: Joint Coordinates, Part 1 of 2

Joint	CoordSys	CoordType	XorR m	Y m	Z m	SpecialJt	GlobalX m
16	GLOBAL	Cartesian	0.	0.	0.	Yes	0.
25	GLOBAL	Cartesian	1.05	1.1	0.	Yes	1.05
26	GLOBAL	Cartesian	-1.05	1.1	0.	Yes	-1.05
27	GLOBAL	Cartesian	1.05	-1.1	0.	Yes	1.05
28	GLOBAL	Cartesian	-1.05	-1.1	0.	Yes	-1.05
29	GLOBAL	Cartesian	3.23722	5.50817	-25.	Yes	3.23722
30	GLOBAL	Cartesian	3.2372	-5.5082	-25.	Yes	3.2372
31	GLOBAL	Cartesian	-3.2372	5.5082	-25.	Yes	-3.2372
32	GLOBAL	Cartesian	-3.2372	-5.5082	-25.	Yes	-3.2372
33	GLOBAL	Cartesian	2.33762	3.69511	-14.7176	No	2.33762
34	GLOBAL	Cartesian	2.33761	-3.69512	-14.7176	No	2.33761
35	GLOBAL	Cartesian	-2.33761	-3.69512	-14.7176	No	-2.33761
36	GLOBAL	Cartesian	-2.33761	3.69512	-14.7176	No	-2.33761

Table: Joint Coordinates, Part 2 of 2

Table: Joint Coordinates, Part 2 of 2

Joint	GlobalY m	GlobalZ m	GUID
16	0.	0.	1cebf514-d3e4-415a-8a2 c-88e9f88235b2
25	1.1	0.	1cebf514-d3e4-415a-8a2 c-88e9f88235b2
26	1.1	0.	1cebf514-d3e4-415a-8a2 c-88e9f88235b2
27	-1.1	0.	1cebf514-d3e4-415a-8a2 c-88e9f88235b2
28	-1.1	0.	1cebf514-d3e4-415a-8a2 c-88e9f88235b2
29	5.50817	-25.	1cebf514-d3e4-415a-8a2 c-88e9f88235b2

Table: Joint Coordinates, Part 2 of 2

Joint	GlobalY m	GlobalZ m	GUID
30	-5.5082	-25.	1cebf514-d3e4-415a-8a2 c-88e9f88235b2
31	5.5082	-25.	1cebf514-d3e4-415a-8a2 c-88e9f88235b2
32	-5.5082	-25.	1cebf514-d3e4-415a-8a2 c-88e9f88235b2
33	3.69511	-14.7176	1cebf514-d3e4-415a-8a2 c-88e9f88235b2
34	-3.69512	-14.7176	1cebf514-d3e4-415a-8a2 c-88e9f88235b2
35	-3.69512	-14.7176	1cebf514-d3e4-415a-8a2 c-88e9f88235b2
36	3.69512	-14.7176	1cebf514-d3e4-415a-8a2 c-88e9f88235b2

Table: Joint Loads - Force, Part 1 of 2

Table: Joint Loads - Force, Part 1 of 2

Joint	LoadPat	CoordSys	F1 KN	F2 KN	F3 KN	M1 KN-m	M2 KN-m
16	P06_ELU_01_T0_M ax	GLOBAL	-4.613E-10	19.042	-1332.632	-243.7978	-2.874E-09
16	P06_ELU_01_T0_Mi n	GLOBAL	3.355E-10	20.46	-701.822	-136.255	2.090E-09
16	P06_ELU_01_TINF_ Max	GLOBAL	11.475	19.042	-1326.927	-243.7976	70.3417
16	P06_ELU_01_TINF_ Min	GLOBAL	11.475	20.46	-696.118	-136.2549	70.3418
16	P06_ELU_02_T0_M ax	GLOBAL	-3.845E-10	67.631	-1059.491	-497.2313	-2.396E-09
16	P06_ELU_02_T0_Mi n	GLOBAL	2.647E-10	68.198	-763.217	-454.2137	1.649E-09
16	P06_ELU_02_TINF_ Max	GLOBAL	11.475	67.63	-1053.786	-497.2311	70.3417
16	P06_ELU_02_TINF_ Min	GLOBAL	11.475	68.198	-757.512	-454.2135	70.3418
16	P06_ELU_03_T0_M ax	GLOBAL	-6.133E-10	19.893	-1089.528	-179.2733	-3.821E-09
16	P06_ELU_03_T0_Mi n	GLOBAL	4.044E-10	20.46	-744.287	-136.2551	2.519E-09
16	P06_ELU_03_TINF_ Max	GLOBAL	11.475	19.893	-1083.823	-179.2731	70.3417
16	P06_ELU_03_TINF_ Min	GLOBAL	11.475	20.46	-738.582	-136.255	70.3418
16	P06_ELU_SISMO_X _T0_Max	GLOBAL	-5.734	-6.374	-675.144	-44.2379	-30.6707
16	P06_ELU_SISMO_X _T0_Min	GLOBAL	5.734	6.375	-558.143	44.2551	30.6707
16	P06_ELU_SISMO_Y _T0_Max	GLOBAL	-1.72	-21.247	-637.114	-147.4741	-9.2013
16	P06_ELU_SISMO_Y _T0_Min	GLOBAL	1.72	21.248	-596.172	147.4913	9.2013
16	P06_ELU_SISMO_Z _T0_Max	GLOBAL	-1.72	-6.374	-646.847	-44.2375	-9.2013
16	P06_ELU_SISMO_Z _T0_Min	GLOBAL	1.72	6.375	-586.44	44.2547	9.2013
16	P06_ELU_SISMO_X _TINF_Max	GLOBAL	2.766	-6.374	-670.918	-44.2378	21.4343

Table: Joint Loads - Force, Part 1 of 2

Joint	LoadPat	CoordSys	F1 KN	F2 KN	F3 KN	M1 KN-m	M2 KN-m
16	P06_ELU_SISMO_X _TINF_Min	GLOBAL	14.234	6.375	-553.917	44.2552	82.7757
16	P06_ELU_SISMO_Y _TINF_Max	GLOBAL	6.78	-21.247	-632.889	-147.474	42.9037
16	P06_ELU_SISMO_Y _TINF_Min	GLOBAL	10.22	21.248	-591.947	147.4915	61.3063
16	P06_ELU_SISMO_Z _TINF_Max	GLOBAL	6.78	-6.374	-642.621	-44.2374	42.9037
16	P06_ELU_SISMO_Z _TINF_Min	GLOBAL	10.22	6.375	-582.214	44.2548	61.3063
16	P09_ELU_01_T0_M ax	GLOBAL	-3.346E-10	19.216	-1330.198	-245.8643	-2.044E-09
16	P09_ELU_01_T0_Mi n	GLOBAL	4.605E-10	20.52	-700.726	-136.1395	2.814E-09
16	P09_ELU_01_TINF_ Max	GLOBAL	-11.475	19.216	-1323.54	-245.8637	-68.9648
16	P09_ELU_01_TINF_ Min	GLOBAL	-11.475	20.519	-694.068	-136.1389	-68.9647
16	P09_ELU_02_T0_M ax	GLOBAL	-2.643E-10	67.875	-1056.887	-497.721	-1.615E-09
16	P09_ELU_02_T0_Mi n	GLOBAL	3.844E-10	68.396	-762.161	-453.8303	2.349E-09
16	P09_ELU_02_TINF_ Max	GLOBAL	-11.475	67.874	-1050.229	-497.7204	-68.9648
16	P09_ELU_02_TINF_ Min	GLOBAL	-11.475	68.396	-755.503	-453.8297	-68.9647
16	P09_ELU_03_T0_M ax	GLOBAL	-4.041E-10	19.998	-1086.236	-180.0311	-2.469E-09
16	P09_ELU_03_T0_Mi n	GLOBAL	6.133E-10	20.519	-743.669	-136.1394	3.747E-09
16	P09_ELU_03_TINF_ Max	GLOBAL	-11.475	19.998	-1079.577	-180.0305	-68.9648
16	P09_ELU_03_TINF_ Min	GLOBAL	-11.475	20.519	-737.011	-136.1388	-68.9647
16	P09_ELU_SISMO_X _T0_Max	GLOBAL	-5.507	-6.312	-673.596	-42.9803	-28.833
16	P09_ELU_SISMO_X _T0_Min	GLOBAL	5.507	6.313	-557.194	42.998	28.833
16	P09_ELU_SISMO_Y _T0_Max	GLOBAL	-1.652	-21.039	-635.657	-143.281	-8.6499
16	P09_ELU_SISMO_Y _T0_Min	GLOBAL	1.652	21.04	-595.133	143.2986	8.6499
16	P09_ELU_SISMO_Z _T0_Max	GLOBAL	-1.652	-6.312	-644.993	-42.9794	-8.6499
16	P09_ELU_SISMO_Z _T0_Min	GLOBAL	1.652	6.313	-585.797	42.997	8.6499
16	P09_ELU_SISMO_X _TINF_Max	GLOBAL	-14.007	-6.312	-668.664	-42.9799	-79.918
16	P09_ELU_SISMO_X _TINF_Min	GLOBAL	-2.993	6.313	-552.262	42.9984	-22.252
16	P09_ELU_SISMO_Y _TINF_Max	GLOBAL	-10.152	-21.039	-630.725	-143.2805	-59.7349
16	P09_ELU_SISMO_Y _TINF_Min	GLOBAL	-6.848	21.04	-590.201	143.299	-42.4351
16	P09_ELU_SISMO_Z _TINF_Max	GLOBAL	-10.152	-6.312	-640.061	-42.9789	-59.7349
16	P09_ELU_SISMO_Z _TINF_Min	GLOBAL	-6.848	6.312	-580.865	42.9975	-42.4351

**Table: Joint Loads - Force, Part 2 of 2**

Table: Joint Loads - Force, Part 2 of 2			
Joint	LoadPat	M3 KN-m	GUID
16	P06_ELU_01_T0_Max	-8.280E-13	beadbf55-f501-4948-8ca2-ab731dacc3d
16	P06_ELU_01_T0_Min	-8.055E-13	f9a8750c-5614-49be-925c-4c2d35a89bbf
16	P06_ELU_01_TINF_Max	-8.281E-13	85676171-1b38-4428-b1f1-ae007cbd659d
16	P06_ELU_01_TINF_Min	-8.056E-13	d4e469b7-4c79-4eee-9f11-bfb8b82478aa
16	P06_ELU_02_T0_Max	-2.760E-12	5027b482-a94e-4bdb-91ad-b964b69022f2
16	P06_ELU_02_T0_Min	-2.751E-12	2137b10f-a095-42c1-b4e3-a42dc4e668cb
16	P06_ELU_02_TINF_Max	-2.760E-12	f8d25f64-27e7-44cb-ae64-619366df3bf4
16	P06_ELU_02_TINF_Min	-2.751E-12	61a3f3c7-1087-444c-b25b-9cff6e3e0a72
16	P06_ELU_03_T0_Max	-8.280E-13	1af9e2a0-993b-4898-aa4d-167f70455cb4
16	P06_ELU_03_T0_Min	-8.190E-13	dc1aa405-9599-47f8-a89a-5a2d395c568e
16	P06_ELU_03_TINF_Max	-8.281E-13	69fbd838-715a-482a-8b02-79ddc829828e
16	P06_ELU_03_TINF_Min	-8.191E-13	690060b7-aa62-41ba-ac a7-b64dc4737271
16	P06_ELU_SISMO_X_T0_Max	-4.669E-13	b08a17fc-a445-4eb3-a9d9-9cc52be50fbd
16	P06_ELU_SISMO_X_T0_Min	4.669E-13	31703845-9df9-4631-9f04-b88fbd68ae5e
16	P06_ELU_SISMO_Y_T0_Max	-1.556E-12	7d19d5ca-8a2f-4435-bf87-5c4a3328459e
16	P06_ELU_SISMO_Y_T0_Min	1.556E-12	7ae9880a-f4af-4991-8613-8bc513610b0d
16	P06_ELU_SISMO_Z_T0_Max	-4.669E-13	587096b8-1550-49be-b20c-a324045c0a19
16	P06_ELU_SISMO_Z_T0_Min	4.669E-13	1851c591-c847-497f-9e9e-3095566e7034
16	P06_ELU_SISMO_X_TINF_Max	-4.670E-13	33cfbea3-5a59-4012-b603-a4a66df25779
16	P06_ELU_SISMO_X_TINF_Min	4.668E-13	80b909c9-c25e-47b5-8b00-08af0d86564f
16	P06_ELU_SISMO_Y_TINF_Max	-1.556E-12	76eab533-c1aa-4353-9846-6dd9c8a9afc8
16	P06_ELU_SISMO_Y_TINF_Min	1.556E-12	debd4150-e798-42ea-a257-577d319a104f
16	P06_ELU_SISMO_Z_TINF_Max	-4.669E-13	a7d1d550-a652-4cdb-a446-7b84069a16ab
16	P06_ELU_SISMO_Z_TINF_Min	4.668E-13	bf0c397f-8204-4146-bee4-2f758a5d5455
16	P09_ELU_01_T0_Max	7.823E-13	7993ed51-6a39-4607-852c-1dcbad21f623
16	P09_ELU_01_T0_Min	8.109E-13	17bfeb31-9a27-478c-b32f-a57d1557e905
16	P09_ELU_01_TINF_Max	7.824E-13	e4ba35bf-1a3f-42bb-bc83-0915b71cfb78
16	P09_ELU_01_TINF_Min	8.110E-13	44016b9a-2370-46b6-a619-e7b9b4af49e5

Table: Joint Loads - Force, Part 2 of 2

Joint	LoadPat	M3 KN-m	GUID
16	P09_ELU_02_T0_Max	2.691E-12	0cbbaa80-4328-4c9c-8764-2250feeda95c
16	P09_ELU_02_T0_Min	2.703E-12	50b00f4b-af81-4419-9b78-82101c3b9c0d
16	P09_ELU_02_TINF_Max	2.691E-12	41f0390d-fbb4-48c6-b8f3-8f9cce014296
16	P09_ELU_02_TINF_Min	2.703E-12	0a03d637-14f2-4428-9106-cf4a4e64c94f
16	P09_ELU_03_T0_Max	7.994E-13	47a369e6-ceaa-440c-bc57-eb198cd08be5
16	P09_ELU_03_T0_Min	8.109E-13	84d2aca6-4826-4a52-a66c-c18ef7159115
16	P09_ELU_03_TINF_Max	7.995E-13	412cc8df-5d1e-4624-b013-41007e35746c
16	P09_ELU_03_TINF_Min	8.110E-13	f096a3de-b1e4-4034-afb-d-7867463259fe
16	P09_ELU_SISMO_X_T0_Max	-4.462E-13	3188a7c0-174d-4fe5-bb51-6255e318da54
16	P09_ELU_SISMO_X_T0_Min	4.462E-13	e28a01b2-f12f-46c1-a0de-4b09c6efcb63
16	P09_ELU_SISMO_Y_T0_Max	-1.487E-12	d246df57-7799-4da4-a446-c34e370bed60
16	P09_ELU_SISMO_Y_T0_Min	1.487E-12	49421dc2-85d7-4c5c-ac18-de17e5beb3d2
16	P09_ELU_SISMO_Z_T0_Max	-4.462E-13	534306df-46a4-49ca-a2d8-3605f7e21c06
16	P09_ELU_SISMO_Z_T0_Min	4.462E-13	8ffee8bd-e268-4f6d-9e0b-b75d30cb7067
16	P09_ELU_SISMO_X_TINF_Max	-4.461E-13	560eba69-775d-463c-b5a8-289fd6f6f423
16	P09_ELU_SISMO_X_TINF_Min	4.463E-13	a82de639-1098-4b5d-9585-a6d6691f3fc3
16	P09_ELU_SISMO_Y_TINF_Max	-1.487E-12	833f4321-5fbd-4ea9-bab6-a51855ab0305
16	P09_ELU_SISMO_Y_TINF_Min	1.487E-12	c14e6418-8037-414f-a4dc-1dca8bc020f8
16	P09_ELU_SISMO_Z_TINF_Max	-4.461E-13	b8735c8e-8d56-4c3f-ac3c-bcb88b78ac0e
16	P09_ELU_SISMO_Z_TINF_Min	4.463E-13	a2efdd30-db79-494d-bd6c-326b947318ca

Table: Load Case Definitions, Part 1 of 3

Table: Load Case Definitions, Part 1 of 3

Case	Type	InitialCond	ModalCase	BaseCase	MassSource	DesTypeOpt	DesignType
DEAD	LinStatic	Zero				Prog Det	Dead
MODAL	LinModal	Zero				Prog Det	Other
P06_ELU_01_T0_Max	LinStatic	Zero				Prog Det	Dead
P06_ELU_01_T0_Min	LinStatic	Zero				Prog Det	Dead
P06_ELU_01_TINF_Max	LinStatic	Zero				Prog Det	Dead
P06_ELU_01_TINF_Min	LinStatic	Zero				Prog Det	Dead
P06_ELU_02_T0_Max	LinStatic	Zero				Prog Det	Dead



Table: Load Case Definitions, Part 1 of 3

Case	Type	InitialCond	ModalCase	BaseCase	MassSource	DesTypeOpt	DesignType
P06_ELU_02 _T0_Min	LinStatic	Zero				Prog Det	Dead
P06_ELU_02 _TINF_Max	LinStatic	Zero				Prog Det	Dead
P06_ELU_02 _TINF_Min	LinStatic	Zero				Prog Det	Dead
P06_ELU_03 _T0_Max	LinStatic	Zero				Prog Det	Dead
P06_ELU_03 _T0_Min	LinStatic	Zero				Prog Det	Dead
P06_ELU_03 _TINF_Max	LinStatic	Zero				Prog Det	Dead
P06_ELU_03 _TINF_Min	LinStatic	Zero				Prog Det	Dead
P06_ELU_SI SMO_X_T0_ Max	LinStatic	Zero				Prog Det	Dead
P06_ELU_SI SMO_X_T0_ Min	LinStatic	Zero				Prog Det	Dead
P06_ELU_SI SMO_Y_T0_ Max	LinStatic	Zero				Prog Det	Dead
P06_ELU_SI SMO_Y_T0_ Min	LinStatic	Zero				Prog Det	Dead
P06_ELU_SI SMO_Z_T0_ Max	LinStatic	Zero				Prog Det	Dead
P06_ELU_SI SMO_Z_T0_ Min	LinStatic	Zero				Prog Det	Dead
P06_ELU_SI SMO_X_TIN F_Max	LinStatic	Zero				Prog Det	Dead
P06_ELU_SI SMO_X_TIN F_Min	LinStatic	Zero				Prog Det	Dead
P06_ELU_SI SMO_Y_TIN F_Max	LinStatic	Zero				Prog Det	Dead
P06_ELU_SI SMO_Y_TIN F_Min	LinStatic	Zero				Prog Det	Dead
P06_ELU_SI SMO_Z_TIN F_Max	LinStatic	Zero				Prog Det	Dead
P06_ELU_SI SMO_Z_TIN F_Min	LinStatic	Zero				Prog Det	Dead
P09_ELU_01 _T0_Max	LinStatic	Zero				Prog Det	Dead
P09_ELU_01 _T0_Min	LinStatic	Zero				Prog Det	Dead
P09_ELU_01 _TINF_Max	LinStatic	Zero				Prog Det	Dead
P09_ELU_01 _TINF_Min	LinStatic	Zero				Prog Det	Dead
P09_ELU_02 _T0_Max	LinStatic	Zero				Prog Det	Dead

Table: Load Case Definitions, Part 1 of 3

Case	Type	InitialCond	ModalCase	BaseCase	MassSource	DesTypeOpt	DesignType
P09_ELU_02 _T0_Min	LinStatic	Zero				Prog Det	Dead
P09_ELU_02 _TINF_Max	LinStatic	Zero				Prog Det	Dead
P09_ELU_02 _TINF_Min	LinStatic	Zero				Prog Det	Dead
P09_ELU_03 _T0_Max	LinStatic	Zero				Prog Det	Dead
P09_ELU_03 _T0_Min	LinStatic	Zero				Prog Det	Dead
P09_ELU_03 _TINF_Max	LinStatic	Zero				Prog Det	Dead
P09_ELU_03 _TINF_Min	LinStatic	Zero				Prog Det	Dead
P09_ELU_SI SMO_X_T0_ Max	LinStatic	Zero				Prog Det	Dead
P09_ELU_SI SMO_X_T0_ Min	LinStatic	Zero				Prog Det	Dead
P09_ELU_SI SMO_Y_T0_ Max	LinStatic	Zero				Prog Det	Dead
P09_ELU_SI SMO_Y_T0_ Min	LinStatic	Zero				Prog Det	Dead
P09_ELU_SI SMO_Z_T0_ Max	LinStatic	Zero				Prog Det	Dead
P09_ELU_SI SMO_Z_T0_ Min	LinStatic	Zero				Prog Det	Dead
P09_ELU_SI SMO_X_TIN F_Max	LinStatic	Zero				Prog Det	Dead
P09_ELU_SI SMO_X_TIN F_Min	LinStatic	Zero				Prog Det	Dead
P09_ELU_SI SMO_Y_TIN F_Max	LinStatic	Zero				Prog Det	Dead
P09_ELU_SI SMO_Y_TIN F_Min	LinStatic	Zero				Prog Det	Dead
P09_ELU_SI SMO_Z_TIN F_Max	LinStatic	Zero				Prog Det	Dead
P09_ELU_SI SMO_Z_TIN F_Min	LinStatic	Zero				Prog Det	Dead

Table: Load Case Definitions, Part 2 of 3

Table: Load Case Definitions, Part 2 of 3

Case	DesActOpt	DesignAct	AutoType	RunCase	CaseStatus	GUID
DEAD	Prog Det	Non-Composite	None	Yes	Finished	
MODAL	Prog Det	Other	None	Yes	Finished	

Table: Load Case Definitions, Part 2 of 3

Case	DesActOpt	DesignAct	AutoType	RunCase	CaseStatus	GUID
P06_ELU_01 _T0_Max	Prog Det	Non-Compos ite	None	Yes	Finished	
P06_ELU_01 _T0_Min	Prog Det	Non-Compos ite	None	Yes	Finished	
P06_ELU_01 _TINF_Max	Prog Det	Non-Compos ite	None	Yes	Finished	
P06_ELU_01 _TINF_Min	Prog Det	Non-Compos ite	None	Yes	Finished	
P06_ELU_02 _T0_Max	Prog Det	Non-Compos ite	None	Yes	Finished	
P06_ELU_02 _T0_Min	Prog Det	Non-Compos ite	None	Yes	Finished	
P06_ELU_02 _TINF_Max	Prog Det	Non-Compos ite	None	Yes	Finished	
P06_ELU_02 _TINF_Min	Prog Det	Non-Compos ite	None	Yes	Finished	
P06_ELU_03 _T0_Max	Prog Det	Non-Compos ite	None	Yes	Finished	
P06_ELU_03 _T0_Min	Prog Det	Non-Compos ite	None	Yes	Finished	
P06_ELU_03 _TINF_Max	Prog Det	Non-Compos ite	None	Yes	Finished	
P06_ELU_03 _TINF_Min	Prog Det	Non-Compos ite	None	Yes	Finished	
P06_ELU_SI SMO_X_T0_ Max	Prog Det	Non-Compos ite	None	Yes	Finished	
P06_ELU_SI SMO_X_T0_ Min	Prog Det	Non-Compos ite	None	Yes	Finished	
P06_ELU_SI SMO_Y_T0_ Max	Prog Det	Non-Compos ite	None	Yes	Finished	
P06_ELU_SI SMO_Y_T0_ Min	Prog Det	Non-Compos ite	None	Yes	Finished	
P06_ELU_SI SMO_Z_T0_ Max	Prog Det	Non-Compos ite	None	Yes	Finished	
P06_ELU_SI SMO_Z_T0_ Min	Prog Det	Non-Compos ite	None	Yes	Finished	
P06_ELU_SI SMO_X_TIN F_Max	Prog Det	Non-Compos ite	None	Yes	Finished	
P06_ELU_SI SMO_X_TIN F_Min	Prog Det	Non-Compos ite	None	Yes	Finished	
P06_ELU_SI SMO_Y_TIN F_Max	Prog Det	Non-Compos ite	None	Yes	Finished	
P06_ELU_SI SMO_Y_TIN F_Min	Prog Det	Non-Compos ite	None	Yes	Finished	
P06_ELU_SI SMO_Z_TIN F_Max	Prog Det	Non-Compos ite	None	Yes	Finished	
P06_ELU_SI SMO_Z_TIN F_Min	Prog Det	Non-Compos ite	None	Yes	Finished	

Table: Load Case Definitions, Part 2 of 3

Case	DesActOpt	DesignAct	AutoType	RunCase	CaseStatus	GUID
P09_ELU_01 _T0_Max	Prog Det	Non-Compos ite	None	Yes	Finished	
P09_ELU_01 _T0_Min	Prog Det	Non-Compos ite	None	Yes	Finished	
P09_ELU_01 _TINF_Max	Prog Det	Non-Compos ite	None	Yes	Finished	
P09_ELU_01 _TINF_Min	Prog Det	Non-Compos ite	None	Yes	Finished	
P09_ELU_02 _T0_Max	Prog Det	Non-Compos ite	None	Yes	Finished	
P09_ELU_02 _T0_Min	Prog Det	Non-Compos ite	None	Yes	Finished	
P09_ELU_02 _TINF_Max	Prog Det	Non-Compos ite	None	Yes	Finished	
P09_ELU_02 _TINF_Min	Prog Det	Non-Compos ite	None	Yes	Finished	
P09_ELU_03 _T0_Max	Prog Det	Non-Compos ite	None	Yes	Finished	
P09_ELU_03 _T0_Min	Prog Det	Non-Compos ite	None	Yes	Finished	
P09_ELU_03 _TINF_Max	Prog Det	Non-Compos ite	None	Yes	Finished	
P09_ELU_03 _TINF_Min	Prog Det	Non-Compos ite	None	Yes	Finished	
P09_ELU_SI SMO_X_T0_ Max	Prog Det	Non-Compos ite	None	Yes	Finished	
P09_ELU_SI SMO_X_T0_ Min	Prog Det	Non-Compos ite	None	Yes	Finished	
P09_ELU_SI SMO_Y_T0_ Max	Prog Det	Non-Compos ite	None	Yes	Finished	
P09_ELU_SI SMO_Y_T0_ Min	Prog Det	Non-Compos ite	None	Yes	Finished	
P09_ELU_SI SMO_Z_T0_ Max	Prog Det	Non-Compos ite	None	Yes	Finished	
P09_ELU_SI SMO_Z_T0_ Min	Prog Det	Non-Compos ite	None	Yes	Finished	
P09_ELU_SI SMO_X_TIN F_Max	Prog Det	Non-Compos ite	None	Yes	Finished	
P09_ELU_SI SMO_X_TIN F_Min	Prog Det	Non-Compos ite	None	Yes	Finished	
P09_ELU_SI SMO_Y_TIN F_Max	Prog Det	Non-Compos ite	None	Yes	Finished	
P09_ELU_SI SMO_Y_TIN F_Min	Prog Det	Non-Compos ite	None	Yes	Finished	
P09_ELU_SI SMO_Z_TIN F_Max	Prog Det	Non-Compos ite	None	Yes	Finished	
P09_ELU_SI SMO_Z_TIN F_Min	Prog Det	Non-Compos ite	None	Yes	Finished	

**Table: Load Case Definitions, Part 3 of 3****Table: Load Case Definitions, Part 3 of 3**

Case	Notes
DEAD	
MODAL	
P06_ELU_01	
_T0_Max	
P06_ELU_01	
_T0_Min	
P06_ELU_01	
_TINF_Max	
P06_ELU_01	
_TINF_Min	
P06_ELU_02	
_T0_Max	
P06_ELU_02	
_T0_Min	
P06_ELU_02	
_TINF_Max	
P06_ELU_02	
_TINF_Min	
P06_ELU_03	
_T0_Max	
P06_ELU_03	
_T0_Min	
P06_ELU_03	
_TINF_Max	
P06_ELU_03	
_TINF_Min	
P06_ELU_SI	
SMO_X_T0_	
Max	
P06_ELU_SI	
SMO_X_T0_	
Min	
P06_ELU_SI	
SMO_Y_T0_	
Max	
P06_ELU_SI	
SMO_Y_T0_	
Min	
P06_ELU_SI	
SMO_Z_T0_	
Max	
P06_ELU_SI	
SMO_Z_T0_	
Min	
P06_ELU_SI	
SMO_X_TIN	
F_Max	
P06_ELU_SI	
SMO_X_TIN	
F_Min	
P06_ELU_SI	
SMO_Y_TIN	
F_Max	
P06_ELU_SI	
SMO_Y_TIN	
F_Min	

**Table: Load Case Definitions, Part 3 of 3**

Case	Notes
P06_ELU_SI SMO_Z_TIN F_Max	
P06_ELU_SI SMO_Z_TIN F_Min	
P09_ELU_01 _T0_Max	
P09_ELU_01 _T0_Min	
P09_ELU_01 _TINF_Max	
P09_ELU_01 _TINF_Min	
P09_ELU_02 _T0_Max	
P09_ELU_02 _T0_Min	
P09_ELU_02 _TINF_Max	
P09_ELU_02 _TINF_Min	
P09_ELU_03 _T0_Max	
P09_ELU_03 _T0_Min	
P09_ELU_03 _TINF_Max	
P09_ELU_03 _TINF_Min	
P09_ELU_SI SMO_X_T0_ Max	
P09_ELU_SI SMO_X_T0_ Min	
P09_ELU_SI SMO_Y_T0_ Max	
P09_ELU_SI SMO_Y_T0_ Min	
P09_ELU_SI SMO_Z_T0_ Max	
P09_ELU_SI SMO_Z_T0_ Min	
P09_ELU_SI SMO_X_TIN F_Max	
P09_ELU_SI SMO_X_TIN F_Min	
P09_ELU_SI SMO_Y_TIN F_Max	
P09_ELU_SI SMO_Y_TIN F_Min	

**Table: Load Case Definitions, Part 3 of 3**

Case	Notes
P09_ELU_SI	
SMO_Z_TIN	
F_Max	
P09_ELU_SI	
SMO_Z_TIN	
F_Min	

**Table: Load Pattern Definitions****Table: Load Pattern Definitions**

LoadPat	DesignType	SelfWtMult	AutoLoad	GUID	Notes
DEAD	Dead	1.		a15c2ef6-cbda-447f-9620-d4140be12a27	
P06_ELU_01_T0_Max	Dead	0.		299ce17f-749c-4a30-892f-896b91cc1adc	
P06_ELU_01_T0_Min	Dead	0.			
P06_ELU_01_TINF_Max	Dead	0.			
P06_ELU_01_TINF_Min	Dead	0.			
P06_ELU_02_T0_Max	Dead	0.			
P06_ELU_02_T0_Min	Dead	0.			
P06_ELU_02_TINF_Max	Dead	0.			
P06_ELU_02_TINF_Min	Dead	0.			
P06_ELU_03_T0_Max	Dead	0.			
P06_ELU_03_T0_Min	Dead	0.			
P06_ELU_03_TINF_Max	Dead	0.			
P06_ELU_03_TINF_Min	Dead	0.			
P06_ELU_SISMO_X_T0_Max	Dead	0.			
P06_ELU_SISMO_X_T0_Min	Dead	0.			
P06_ELU_SISMO_Y_T0_Max	Dead	0.			
P06_ELU_SISMO_Y_T0_Min	Dead	0.			
P06_ELU_SISMO_Z_T0_Max	Dead	0.			
P06_ELU_SISMO_Z_T0_Min	Dead	0.			
P06_ELU_SISMO_X_TINF_Max	Dead	0.			
P06_ELU_SISMO_X_TINF_Min	Dead	0.			
P06_ELU_SISMO_Y_TINF_Max	Dead	0.			
P06_ELU_SISMO_Y_TINF_Min	Dead	0.			

Table: Load Pattern Definitions

LoadPat	DesignType	SelfWtMult	AutoLoad	GUID	Notes
P06_ELU_SISMO_Z _TINF_Max	Dead	0.			
P06_ELU_SISMO_Z _TINF_Min	Dead	0.			
P09_ELU_01_T0_M ax	Dead	0.			
P09_ELU_01_T0_Mi n	Dead	0.			
P09_ELU_01_TINF_ Max	Dead	0.			
P09_ELU_01_TINF_ Min	Dead	0.			
P09_ELU_02_T0_M ax	Dead	0.			
P09_ELU_02_T0_Mi n	Dead	0.			
P09_ELU_02_TINF_ Max	Dead	0.			
P09_ELU_02_TINF_ Min	Dead	0.			
P09_ELU_03_T0_M ax	Dead	0.			
P09_ELU_03_T0_Mi n	Dead	0.			
P09_ELU_03_TINF_ Max	Dead	0.			
P09_ELU_03_TINF_ Min	Dead	0.			
P09_ELU_SISMO_X _T0_Max	Dead	0.			
P09_ELU_SISMO_X _T0_Min	Dead	0.			
P09_ELU_SISMO_Y _T0_Max	Dead	0.			
P09_ELU_SISMO_Y _T0_Min	Dead	0.			
P09_ELU_SISMO_Z _T0_Max	Dead	0.			
P09_ELU_SISMO_Z _T0_Min	Dead	0.			
P09_ELU_SISMO_X _TINF_Max	Dead	0.			
P09_ELU_SISMO_X _TINF_Min	Dead	0.			
P09_ELU_SISMO_Y _TINF_Max	Dead	0.			
P09_ELU_SISMO_Y _TINF_Min	Dead	0.			
P09_ELU_SISMO_Z _TINF_Max	Dead	0.			
P09_ELU_SISMO_Z _TINF_Min	Dead	0.			



**Table: Material Properties 01 - General, Part 1 of 2****Table: Material Properties 01 - General, Part 1 of 2**

Material	Type	SymType	TempDepen d	Color	GUID
A615Gr60	Rebar	Uniaxial	No	Blue	
A992Fy50	Steel	Isotropic	No	Blue	
HORMIGÓN	Concrete	Isotropic	No	Green	

**Table: Material Properties 01 - General, Part 2 of 2****Table: Material Properties 01 - General, Part 2 of 2**

Material	Notes
A615Gr60	ASTM A615 Grade 60 09/01/2017 16:59:19
A992Fy50	ASTM A992 Grade 50 09/01/2017 16:56:34
HORMIGÓN	Customary f'c 4000 psi 09/01/2017 16:56:34

**Table: Material Properties 02 - Basic Mechanical Properties****Table: Material Properties 02 - Basic Mechanical Properties**

Material	UnitWeight KN/m3	UnitMass KN-s2/m4	E1 KN/m2	G12 KN/m2	U12	A1 1/C
A615Gr60	7.6973E+01	7.8490E+00	199947978.8			1.1700E-05
A992Fy50	7.6973E+01	7.8490E+00	199947978.8	76903068.77	0.3	1.1700E-05
HORMIGÓN	2.3563E+01	2.4028E+00	28576790.96	11906996.23	0.2	9.9000E-06

**Table: Material Properties 03b - Concrete Data, Part 1 of 2****Table: Material Properties 03b - Concrete Data, Part 1 of 2**

Material	Fc KN/m2	eFc KN/m2	LtWtConc	SSCurveOpt	SSHysType	SFc	SCap	FinalSlope
HORMIGÓN	30000.	30000.	No	Mander	Takeda	0.002219	0.005	-0.1

**Table: Material Properties 03b - Concrete Data, Part 2 of 2****Table: Material Properties 03b - Concrete Data, Part 2 of 2**

Material	FAngle Degrees	DAngle Degrees
HORMIGÓN	0.	0.

## PASARELA UCA. MICROPILOTES PILAS 1,2,12 Y 13

### MICROPILOTES: COMPROBACIÓN ESTRUCTURAL EN SECCIÓN MAS SOLICITADA

SE PLANTEA EL SIGUIENTE CRITERIO DE INTERACCIÓN DE ESFUERZOS

$$M_d/M_{rd} + N_d/N_{rd} < 1 \text{ y } V_d < 0.5 \cdot V_{rd} \cdot (1 - N_d/N_{rd})$$

El que se cumpla la condición anterior es suficiente para que el punto quede dentro del diagrama de interacción representado en el artículo 6.3.6.5 de la RPX-95

#### Esfuerzos resistentes (según características micro)

Nrd (kN)	466.8	kN
Mrd	21.1	kN*m
Vrd	304.7	kN

VERDADERO VERDADERO

PILA	FRAME	OutputCase	CaseType	Nd	Vd	Md	Cumple 1	Cumple 2
Text	Text	Text	Text	KN	KN	KN-m		
P01	14	_ELU_01_T0_Max	Combination	341.3	4.5	5.4	VERDADERO	VERDADERO
P01	14	_ELU_01_T0_Min	Combination	209.0	0.3	0.3	VERDADERO	VERDADERO
P01	14	_ELU_01_TINF_M	Combination	367.3	4.6	4.4	VERDADERO	VERDADERO
P01	14	_ELU_01_TINF_M	Combination	234.9	1.2	1.3	VERDADERO	VERDADERO
P01	14	_ELU_02_T0_Max	Combination	355.0	0.4	2.3	VERDADERO	VERDADERO
P01	14	_ELU_02_T0_Min	Combination	293.2	1.7	0.8	VERDADERO	VERDADERO
P01	14	_ELU_02_TINF_M	Combination	380.9	1.0	2.5	VERDADERO	VERDADERO
P01	14	_ELU_02_TINF_M	Combination	319.1	2.0	1.3	VERDADERO	VERDADERO
P01	14	_ELU_03_T0_Max	Combination	280.1	1.7	3.1	VERDADERO	VERDADERO
P01	14	_ELU_03_T0_Min	Combination	208.4	0.3	0.3	VERDADERO	VERDADERO
P01	14	_ELU_03_TINF_M	Combination	306.0	2.0	3.3	VERDADERO	VERDADERO
P01	14	_ELU_03_TINF_M	Combination	234.3	1.2	1.3	VERDADERO	VERDADERO
P01	14	_ELU_SISMO_X_T	Combination	143.5	3.9	5.7	VERDADERO	VERDADERO
P01	14	_ELU_SISMO_X_T	Combination	130.6	3.3	4.9	VERDADERO	VERDADERO
P01	14	_ELU_SISMO_Y_T	Combination	158.2	12.3	13.1	VERDADERO	VERDADERO
P01	14	_ELU_SISMO_Y_T	Combination	115.9	11.7	15.6	VERDADERO	VERDADERO
P01	14	_ELU_SISMO_Z_T	Combination	143.7	3.9	5.7	VERDADERO	VERDADERO
P01	14	_ELU_SISMO_Z_T	Combination	130.4	3.3	4.9	VERDADERO	VERDADERO
P01	14	_ELU_SISMO_X_T	Combination	162.7	4.0	5.8	VERDADERO	VERDADERO
P01	14	_ELU_SISMO_X_T	Combination	149.8	3.4	5.0	VERDADERO	VERDADERO
P01	14	_ELU_SISMO_Y_T	Combination	177.4	12.3	11.9	VERDADERO	VERDADERO
P01	14	_ELU_SISMO_Y_T	Combination	135.1	11.7	14.0	VERDADERO	VERDADERO
P01	14	_ELU_SISMO_Z_T	Combination	162.9	4.0	5.8	VERDADERO	VERDADERO
P01	14	_ELU_SISMO_Z_T	Combination	149.6	3.4	5.0	VERDADERO	VERDADERO
P02	14	_ELU_01_T0_Max	Combination	332.1	5.7	6.1	VERDADERO	VERDADERO
P02	14	_ELU_01_T0_Min	Combination	205.5	0.4	1.2	VERDADERO	VERDADERO
P02	14	_ELU_01_TINF_M	Combination	343.8	5.7	5.5	VERDADERO	VERDADERO
P02	14	_ELU_01_TINF_M	Combination	217.2	0.8	1.4	VERDADERO	VERDADERO
P02	14	_ELU_02_T0_Max	Combination	369.7	2.8	4.2	VERDADERO	VERDADERO
P02	14	_ELU_02_T0_Min	Combination	316.5	0.7	3.2	VERDADERO	VERDADERO
P02	14	_ELU_02_TINF_M	Combination	381.4	2.8	3.8	VERDADERO	VERDADERO
P02	14	_ELU_02_TINF_M	Combination	328.2	0.9	3.2	VERDADERO	VERDADERO
P02	14	_ELU_03_T0_Max	Combination	267.1	2.6	4.5	VERDADERO	VERDADERO
P02	14	_ELU_03_T0_Min	Combination	211.2	0.5	1.3	VERDADERO	VERDADERO
P02	14	_ELU_03_TINF_M	Combination	278.8	2.6	4.5	VERDADERO	VERDADERO
P02	14	_ELU_03_TINF_M	Combination	222.9	0.8	1.4	VERDADERO	VERDADERO
P02	14	_ELU_SISMO_X_T	Combination	140.1	4.9	7.1	VERDADERO	VERDADERO
P02	14	_ELU_SISMO_X_T	Combination	120.6	4.3	6.4	VERDADERO	VERDADERO

## PASARELA UCA. MICROPILOTES PILAS 1,2,12 Y 13

### MICROPILOTES: COMPROBACIÓN ESTRUCTURAL EN SECCIÓN MAS SOLICITADA

SE PLANTEA EL SIGUIENTE CRITERIO DE INTERACCIÓN DE ESFUERZOS

$$M_d/M_{rd} + N_d/N_{rd} < 1 \text{ y } V_d < 0.5 \cdot V_{rd} \cdot (1 - N_d/N_{rd})$$

El que se cumpla la condición anterior es suficiente para que el punto quede dentro del diagrama de interacción representado en el artículo 6.3.6.5 de la RPX-95

#### Esfuerzos resistentes (según características micro)

Nrd (kN)	466.8	kN
Mrd	21.1	kN*m
Vrd	304.7	kN

VERDADERO VERDADERO

PILA	FRAME	OutputCase	CaseType	Nd	Vd	Md	Cumple 1	Cumple 2
Text	Text	Text	Text	KN	KN	KN-m		
P02	14	_ELU_SISMO_Y_T	Combination	162.4	15.6	13.5	VERDADERO	VERDADERO
P02	14	_ELU_SISMO_Y_T	Combination	98.3	15.0	16.2	VERDADERO	VERDADERO
P02	14	_ELU_SISMO_Z_T	Combination	140.2	4.9	7.1	VERDADERO	VERDADERO
P02	14	_ELU_SISMO_Z_T	Combination	120.5	4.3	6.4	VERDADERO	VERDADERO
P02	14	_ELU_SISMO_X_T	Combination	148.7	4.9	7.2	VERDADERO	VERDADERO
P02	14	_ELU_SISMO_X_T	Combination	129.3	4.3	6.4	VERDADERO	VERDADERO
P02	14	_ELU_SISMO_Y_T	Combination	171.0	15.6	12.2	VERDADERO	VERDADERO
P02	14	_ELU_SISMO_Y_T	Combination	107.0	15.0	16.2	VERDADERO	VERDADERO
P02	14	_ELU_SISMO_Z_T	Combination	148.9	4.9	7.2	VERDADERO	VERDADERO
P02	14	_ELU_SISMO_Z_T	Combination	129.2	4.3	6.4	VERDADERO	VERDADERO
P12	14	_ELU_01_T0_Max	Combination	336.6	6.3	5.4	VERDADERO	VERDADERO
P12	14	_ELU_01_T0_Min	Combination	207.1	0.8	1.7	VERDADERO	VERDADERO
P12	14	_ELU_01_TINF_M	Combination	318.9	6.3	6.0	VERDADERO	VERDADERO
P12	14	_ELU_01_TINF_M	Combination	189.4	1.3	2.0	VERDADERO	VERDADERO
P12	14	_ELU_02_T0_Max	Combination	378.2	4.2	3.7	VERDADERO	VERDADERO
P12	14	_ELU_02_T0_Min	Combination	323.3	2.0	5.2	VERDADERO	VERDADERO
P12	14	_ELU_02_TINF_M	Combination	360.5	4.3	4.6	VERDADERO	VERDADERO
P12	14	_ELU_02_TINF_M	Combination	305.6	2.2	5.3	VERDADERO	VERDADERO
P12	14	_ELU_03_T0_Max	Combination	270.9	3.0	5.2	VERDADERO	VERDADERO
P12	14	_ELU_03_T0_Min	Combination	212.7	0.8	1.8	VERDADERO	VERDADERO
P12	14	_ELU_03_TINF_M	Combination	253.2	3.2	5.3	VERDADERO	VERDADERO
P12	14	_ELU_03_TINF_M	Combination	195.0	1.3	2.1	VERDADERO	VERDADERO
P12	14	_ELU_SISMO_X_T	Combination	141.4	4.9	7.2	VERDADERO	VERDADERO
P12	14	_ELU_SISMO_X_T	Combination	120.1	4.3	6.5	VERDADERO	VERDADERO
P12	14	_ELU_SISMO_Y_T	Combination	165.3	15.7	12.3	VERDADERO	VERDADERO
P12	14	_ELU_SISMO_Y_T	Combination	96.3	15.1	16.4	VERDADERO	VERDADERO
P12	14	_ELU_SISMO_Z_T	Combination	141.3	4.9	7.2	VERDADERO	VERDADERO
P12	14	_ELU_SISMO_Z_T	Combination	120.2	4.3	6.5	VERDADERO	VERDADERO
P12	14	_ELU_SISMO_X_T	Combination	128.3	5.0	7.2	VERDADERO	VERDADERO
P12	14	_ELU_SISMO_X_T	Combination	107.0	4.4	6.6	VERDADERO	VERDADERO
P12	14	_ELU_SISMO_Y_T	Combination	152.2	15.7	13.7	VERDADERO	VERDADERO
P12	14	_ELU_SISMO_Y_T	Combination	83.2	15.2	16.4	VERDADERO	VERDADERO
P12	14	_ELU_SISMO_Z_T	Combination	128.2	5.0	7.2	VERDADERO	VERDADERO
P12	14	_ELU_SISMO_Z_T	Combination	107.1	4.4	6.6	VERDADERO	VERDADERO
P13	14	_ELU_01_T0_Max	Combination	345.0	4.4	5.3	VERDADERO	VERDADERO
P13	14	_ELU_01_T0_Min	Combination	214.1	0.2	0.7	VERDADERO	VERDADERO
P13	14	_ELU_01_TINF_M	Combination	337.6	4.7	5.4	VERDADERO	VERDADERO
P13	14	_ELU_01_TINF_M	Combination	206.7	1.4	1.6	VERDADERO	VERDADERO

## PASARELA UCA. MICROPILOTES PILAS 1,2,12 Y 13

### MICROPILOTES: COMPROBACIÓN ESTRUCTURAL EN SECCIÓN MAS SOLICITADA

SE PLANTEA EL SIGUIENTE CRITERIO DE INTERACCIÓN DE ESFUERZOS

$$M_d/M_{rd} + N_d/N_{rd} < 1 \text{ y } V_d < 0.5 \cdot V_{rd} \cdot (1 - N_d/N_{rd})$$

El que se cumpla la condición anterior es suficiente para que el punto quede dentro del diagrama de interacción representado en el artículo 6.3.6.5 de la RPX-95

#### Esfuerzos resistentes (según características micro)

Nrd (kN)	466.8	kN
Mrd	21.1	kN*m
Vrd	304.7	kN

VERDADERO VERDADERO

PILA	FRAME	OutputCase	CaseType	Nd	Vd	Md	Cumple 1	Cumple 2
Text	Text	Text	Text	KN	KN	KN-m		
P13	14	_ELU_02_T0_Max	Combination	367.0	1.2	3.6	VERDADERO	VERDADERO
P13	14	_ELU_02_T0_Min	Combination	305.2	0.8	1.0	VERDADERO	VERDADERO
P13	14	_ELU_02_TINF_M	Combination	359.7	1.9	4.0	VERDADERO	VERDADERO
P13	14	_ELU_02_TINF_M	Combination	297.9	1.7	1.9	VERDADERO	VERDADERO
P13	14	_ELU_03_T0_Max	Combination	285.5	1.9	3.3	VERDADERO	VERDADERO
P13	14	_ELU_03_T0_Min	Combination	213.3	0.2	0.7	VERDADERO	VERDADERO
P13	14	_ELU_03_TINF_M	Combination	278.2	2.4	3.7	VERDADERO	VERDADERO
P13	14	_ELU_03_TINF_M	Combination	205.9	1.4	1.6	VERDADERO	VERDADERO
P13	14	_ELU_SISMO_X_T	Combination	146.5	4.3	6.2	VERDADERO	VERDADERO
P13	14	_ELU_SISMO_X_T	Combination	131.2	3.7	5.5	VERDADERO	VERDADERO
P13	14	_ELU_SISMO_Y_T	Combination	164.2	13.5	13.1	VERDADERO	VERDADERO
P13	14	_ELU_SISMO_Y_T	Combination	113.6	12.9	15.5	VERDADERO	VERDADERO
P13	14	_ELU_SISMO_Z_T	Combination	146.7	4.3	6.2	VERDADERO	VERDADERO
P13	14	_ELU_SISMO_Z_T	Combination	131.1	3.7	5.5	VERDADERO	VERDADERO
P13	14	_ELU_SISMO_X_T	Combination	141.1	4.4	6.3	VERDADERO	VERDADERO
P13	14	_ELU_SISMO_X_T	Combination	125.8	3.8	5.6	VERDADERO	VERDADERO
P13	14	_ELU_SISMO_Y_T	Combination	158.7	13.6	13.1	VERDADERO	VERDADERO
P13	14	_ELU_SISMO_Y_T	Combination	108.2	13.0	15.5	VERDADERO	VERDADERO
P13	14	_ELU_SISMO_Z_T	Combination	141.2	4.4	6.3	VERDADERO	VERDADERO
P13	14	_ELU_SISMO_Z_T	Combination	125.7	3.8	5.6	VERDADERO	VERDADERO
P01	16	_ELU_01_T0_Max	Combination	216.0	3.3	5.9	VERDADERO	VERDADERO
P01	16	_ELU_01_T0_Min	Combination	139.5	1.0	0.8	VERDADERO	VERDADERO
P01	16	_ELU_01_TINF_M	Combination	241.9	3.5	6.0	VERDADERO	VERDADERO
P01	16	_ELU_01_TINF_M	Combination	165.4	1.6	1.6	VERDADERO	VERDADERO
P01	16	_ELU_02_T0_Max	Combination	101.0	0.8	1.0	VERDADERO	VERDADERO
P01	16	_ELU_02_T0_Min	Combination	61.5	2.5	1.7	VERDADERO	VERDADERO
P01	16	_ELU_02_TINF_M	Combination	126.9	1.5	1.7	VERDADERO	VERDADERO
P01	16	_ELU_02_TINF_M	Combination	87.5	2.8	2.2	VERDADERO	VERDADERO
P01	16	_ELU_03_T0_Max	Combination	188.3	0.7	1.8	VERDADERO	VERDADERO
P01	16	_ELU_03_T0_Min	Combination	138.9	1.0	0.8	VERDADERO	VERDADERO
P01	16	_ELU_03_TINF_M	Combination	214.2	1.3	2.2	VERDADERO	VERDADERO
P01	16	_ELU_03_TINF_M	Combination	164.8	1.6	1.6	VERDADERO	VERDADERO
P01	16	_ELU_SISMO_X_T	Combination	130.8	3.3	4.9	VERDADERO	VERDADERO
P01	16	_ELU_SISMO_X_T	Combination	143.2	3.9	5.7	VERDADERO	VERDADERO
P01	16	_ELU_SISMO_Y_T	Combination	116.1	11.7	15.6	VERDADERO	VERDADERO
P01	16	_ELU_SISMO_Y_T	Combination	158.0	12.3	13.1	VERDADERO	VERDADERO
P01	16	_ELU_SISMO_Z_T	Combination	131.0	3.3	4.9	VERDADERO	VERDADERO
P01	16	_ELU_SISMO_Z_T	Combination	143.0	3.9	5.7	VERDADERO	VERDADERO

## PASARELA UCA. MICROPILOTES PILAS 1,2,12 Y 13

### MICROPILOTES: COMPROBACIÓN ESTRUCTURAL EN SECCIÓN MAS SOLICITADA

SE PLANTEA EL SIGUIENTE CRITERIO DE INTERACCIÓN DE ESFUERZOS

$$M_d/M_{rd} + N_d/N_{rd} < 1 \text{ y } V_d < 0.5 \cdot V_{rd} \cdot (1 - N_d/N_{rd})$$

El que se cumpla la condición anterior es suficiente para que el punto quede dentro del diagrama de interacción representado en el artículo 6.3.6.5 de la RPX-95

#### Esfuerzos resistentes (según características micro)

Nrd (kN)	466.8	kN
Mrd	21.1	kN*m
Vrd	304.7	kN

VERDADERO VERDADERO

PILA	FRAME	OutputCase	CaseType	Nd	Vd	Md	Cumple 1	Cumple 2
Text	Text	Text	Text	KN	KN	KN-m		
P01	16	_ELU_SISMO_X_T	Combination	150.0	3.4	5.0	VERDADERO	VERDADERO
P01	16	_ELU_SISMO_X_T	Combination	162.4	4.0	5.8	VERDADERO	VERDADERO
P01	16	_ELU_SISMO_Y_T	Combination	135.3	11.7	14.0	VERDADERO	VERDADERO
P01	16	_ELU_SISMO_Y_T	Combination	177.2	12.3	11.9	VERDADERO	VERDADERO
P01	16	_ELU_SISMO_Z_T	Combination	150.2	3.4	5.0	VERDADERO	VERDADERO
P01	16	_ELU_SISMO_Z_T	Combination	162.2	4.0	5.8	VERDADERO	VERDADERO
P02	16	_ELU_01_T0_Max	Combination	181.5	4.5	7.9	VERDADERO	VERDADERO
P02	16	_ELU_01_T0_Min	Combination	116.5	0.3	0.4	VERDADERO	VERDADERO
P02	16	_ELU_01_TINF_M	Combination	193.2	4.6	7.9	VERDADERO	VERDADERO
P02	16	_ELU_01_TINF_M	Combination	128.1	0.9	0.9	VERDADERO	VERDADERO
P02	16	_ELU_02_T0_Max	Combination	48.8	1.8	5.3	VERDADERO	VERDADERO
P02	16	_ELU_02_T0_Min	Combination	20.3	0.1	2.3	VERDADERO	VERDADERO
P02	16	_ELU_02_TINF_M	Combination	60.5	2.0	5.4	VERDADERO	VERDADERO
P02	16	_ELU_02_TINF_M	Combination	32.0	0.9	2.5	VERDADERO	VERDADERO
P02	16	_ELU_03_T0_Max	Combination	153.5	1.6	3.4	VERDADERO	VERDADERO
P02	16	_ELU_03_T0_Min	Combination	122.2	0.3	0.4	VERDADERO	VERDADERO
P02	16	_ELU_03_TINF_M	Combination	165.2	1.8	3.4	VERDADERO	VERDADERO
P02	16	_ELU_03_TINF_M	Combination	133.9	0.9	0.9	VERDADERO	VERDADERO
P02	16	_ELU_SISMO_X_T	Combination	120.9	4.3	6.4	VERDADERO	VERDADERO
P02	16	_ELU_SISMO_X_T	Combination	139.8	4.9	7.1	VERDADERO	VERDADERO
P02	16	_ELU_SISMO_Y_T	Combination	98.5	15.0	16.2	VERDADERO	VERDADERO
P02	16	_ELU_SISMO_Y_T	Combination	162.2	15.6	13.5	VERDADERO	VERDADERO
P02	16	_ELU_SISMO_Z_T	Combination	121.0	4.3	6.4	VERDADERO	VERDADERO
P02	16	_ELU_SISMO_Z_T	Combination	139.7	4.9	7.1	VERDADERO	VERDADERO
P02	16	_ELU_SISMO_X_T	Combination	129.6	4.3	6.4	VERDADERO	VERDADERO
P02	16	_ELU_SISMO_X_T	Combination	148.5	4.9	7.2	VERDADERO	VERDADERO
P02	16	_ELU_SISMO_Y_T	Combination	107.2	15.0	16.2	VERDADERO	VERDADERO
P02	16	_ELU_SISMO_Y_T	Combination	170.8	15.6	12.2	VERDADERO	VERDADERO
P02	16	_ELU_SISMO_Z_T	Combination	129.7	4.3	6.4	VERDADERO	VERDADERO
P02	16	_ELU_SISMO_Z_T	Combination	148.3	4.9	7.2	VERDADERO	VERDADERO
P12	16	_ELU_01_T0_Max	Combination	179.4	5.1	8.8	VERDADERO	VERDADERO
P12	16	_ELU_01_T0_Min	Combination	113.7	0.1	0.9	VERDADERO	VERDADERO
P12	16	_ELU_01_TINF_M	Combination	161.7	5.3	8.9	VERDADERO	VERDADERO
P12	16	_ELU_01_TINF_M	Combination	96.0	1.0	1.4	VERDADERO	VERDADERO
P12	16	_ELU_02_T0_Max	Combination	42.4	3.2	7.4	VERDADERO	VERDADERO
P12	16	_ELU_02_T0_Min	Combination	13.1	1.2	4.3	VERDADERO	VERDADERO
P12	16	_ELU_02_TINF_M	Combination	24.7	3.4	7.5	VERDADERO	VERDADERO
P12	16	_ELU_02_TINF_M	Combination	-4.6	1.5	4.4	VERDADERO	VERDADERO

## PASARELA UCA. MICROPILOTES PILAS 1,2,12 Y 13

### MICROPILOTES: COMPROBACIÓN ESTRUCTURAL EN SECCIÓN MAS SOLICITADA

SE PLANTEA EL SIGUIENTE CRITERIO DE INTERACCIÓN DE ESFUERZOS

$$M_d/M_{rd} + N_d/N_{rd} < 1 \text{ y } V_d < 0.5 \cdot V_{rd} \cdot (1 - N_d/N_{rd})$$

El que se cumpla la condición anterior es suficiente para que el punto quede dentro del diagrama de interacción representado en el artículo 6.3.6.5 de la RPX-95

#### Esfuerzos resistentes (según características micro)

Nrd (kN)	466.8	kN
Mrd	21.1	kN*m
Vrd	304.7	kN

VERDADERO VERDADERO

PILA	FRAME	OutputCase	CaseType	Nd	Vd	Md	Cumple 1	Cumple 2
Text	Text	Text	Text	KN	KN	KN-m		
P12	16	_ELU_03_T0_Max	Combination	152.2	2.1	4.1	VERDADERO	VERDADERO
P12	16	_ELU_03_T0_Min	Combination	119.5	0.2	1.0	VERDADERO	VERDADERO
P12	16	_ELU_03_TINF_M	Combination	134.5	2.4	4.3	VERDADERO	VERDADERO
P12	16	_ELU_03_TINF_M	Combination	101.8	1.0	1.4	VERDADERO	VERDADERO
P12	16	_ELU_SISMO_X_T	Combination	120.8	4.3	6.5	VERDADERO	VERDADERO
P12	16	_ELU_SISMO_X_T	Combination	140.8	4.9	7.2	VERDADERO	VERDADERO
P12	16	_ELU_SISMO_Y_T	Combination	96.5	15.1	16.4	VERDADERO	VERDADERO
P12	16	_ELU_SISMO_Y_T	Combination	165.0	15.7	12.3	VERDADERO	VERDADERO
P12	16	_ELU_SISMO_Z_T	Combination	120.7	4.3	6.5	VERDADERO	VERDADERO
P12	16	_ELU_SISMO_Z_T	Combination	140.8	4.9	7.2	VERDADERO	VERDADERO
P12	16	_ELU_SISMO_X_T	Combination	107.7	4.4	6.6	VERDADERO	VERDADERO
P12	16	_ELU_SISMO_X_T	Combination	127.7	5.0	7.2	VERDADERO	VERDADERO
P12	16	_ELU_SISMO_Y_T	Combination	83.4	15.2	16.4	VERDADERO	VERDADERO
P12	16	_ELU_SISMO_Y_T	Combination	151.9	15.7	13.7	VERDADERO	VERDADERO
P12	16	_ELU_SISMO_Z_T	Combination	107.6	4.4	6.6	VERDADERO	VERDADERO
P12	16	_ELU_SISMO_Z_T	Combination	127.7	5.0	7.2	VERDADERO	VERDADERO
P13	16	_ELU_01_T0_Max	Combination	218.6	3.2	5.8	VERDADERO	VERDADERO
P13	16	_ELU_01_T0_Min	Combination	138.6	0.7	0.4	VERDADERO	VERDADERO
P13	16	_ELU_01_TINF_M	Combination	211.3	3.5	6.0	VERDADERO	VERDADERO
P13	16	_ELU_01_TINF_M	Combination	131.3	1.5	1.5	VERDADERO	VERDADERO
P13	16	_ELU_02_T0_Max	Combination	95.2	0.1	2.4	VERDADERO	VERDADERO
P13	16	_ELU_02_T0_Min	Combination	53.8	1.5	0.1	VERDADERO	VERDADERO
P13	16	_ELU_02_TINF_M	Combination	87.8	1.3	2.8	VERDADERO	VERDADERO
P13	16	_ELU_02_TINF_M	Combination	46.4	1.9	1.3	VERDADERO	VERDADERO
P13	16	_ELU_03_T0_Max	Combination	189.7	0.8	2.1	VERDADERO	VERDADERO
P13	16	_ELU_03_T0_Min	Combination	137.8	0.7	0.4	VERDADERO	VERDADERO
P13	16	_ELU_03_TINF_M	Combination	182.4	1.6	2.5	VERDADERO	VERDADERO
P13	16	_ELU_03_TINF_M	Combination	130.5	1.5	1.5	VERDADERO	VERDADERO
P13	16	_ELU_SISMO_X_T	Combination	131.4	3.7	5.5	VERDADERO	VERDADERO
P13	16	_ELU_SISMO_X_T	Combination	146.3	4.3	6.2	VERDADERO	VERDADERO
P13	16	_ELU_SISMO_Y_T	Combination	113.7	12.9	15.5	VERDADERO	VERDADERO
P13	16	_ELU_SISMO_Y_T	Combination	164.0	13.5	13.1	VERDADERO	VERDADERO
P13	16	_ELU_SISMO_Z_T	Combination	131.5	3.7	5.5	VERDADERO	VERDADERO
P13	16	_ELU_SISMO_Z_T	Combination	146.2	4.3	6.2	VERDADERO	VERDADERO
P13	16	_ELU_SISMO_X_T	Combination	126.0	3.8	5.6	VERDADERO	VERDADERO
P13	16	_ELU_SISMO_X_T	Combination	140.9	4.4	6.3	VERDADERO	VERDADERO
P13	16	_ELU_SISMO_Y_T	Combination	108.3	13.0	15.5	VERDADERO	VERDADERO
P13	16	_ELU_SISMO_Y_T	Combination	158.6	13.6	13.1	VERDADERO	VERDADERO



## PASARELA UCA. MICROPILOTES PILAS 1,2,12 Y 13

### MICROPILOTES: COMPROBACIÓN ESTRUCTURAL EN SECCIÓN MAS SOLICITADA

SE PLANTEA EL SIGUIENTE CRITERIO DE INTERACCIÓN DE ESFUERZOS

$$M_d/M_{rd} + N_d/N_{rd} < 1 \text{ y } V_d < 0.5 \cdot V_{rd} \cdot (1 - N_d/N_{rd})$$

El que se cumpla la condición anterior es suficiente para que el punto quede dentro del diagrama de interacción representado en el artículo 6.3.6.5 de la RPX-95

#### Esfuerzos resistentes (según características micro)

Nrd (kN)	466.8	kN
Mrd	21.1	kN*m
Vrd	304.7	kN

VERDADERO VERDADERO

PILA	FRAME	OutputCase	CaseType	Nd	Vd	Md	Cumple 1	Cumple 2
Text	Text	Text	Text	KN	KN	KN-m		
P13	16	_ELU_SISMO_Z_T	Combination	126.1	3.8	5.6	VERDADERO	VERDADERO
P13	16	_ELU_SISMO_Z_T	Combination	140.8	4.4	6.3	VERDADERO	VERDADERO
P01	18	_ELU_01_T0_Max	Combination	216.0	3.3	5.9	VERDADERO	VERDADERO
P01	18	_ELU_01_T0_Min	Combination	139.5	1.0	0.8	VERDADERO	VERDADERO
P01	18	_ELU_01_TINF_M	Combination	211.2	3.7	6.2	VERDADERO	VERDADERO
P01	18	_ELU_01_TINF_M	Combination	134.6	1.8	1.9	VERDADERO	VERDADERO
P01	18	_ELU_02_T0_Max	Combination	101.0	0.8	1.0	VERDADERO	VERDADERO
P01	18	_ELU_02_T0_Min	Combination	61.5	2.5	1.7	VERDADERO	VERDADERO
P01	18	_ELU_02_TINF_M	Combination	96.2	1.7	2.0	VERDADERO	VERDADERO
P01	18	_ELU_02_TINF_M	Combination	56.7	2.9	2.3	VERDADERO	VERDADERO
P01	18	_ELU_03_T0_Max	Combination	188.3	0.7	1.8	VERDADERO	VERDADERO
P01	18	_ELU_03_T0_Min	Combination	138.9	1.0	0.8	VERDADERO	VERDADERO
P01	18	_ELU_03_TINF_M	Combination	183.4	1.7	2.6	VERDADERO	VERDADERO
P01	18	_ELU_03_TINF_M	Combination	134.0	1.8	1.9	VERDADERO	VERDADERO
P01	18	_ELU_SISMO_X_T	Combination	130.8	3.3	4.9	VERDADERO	VERDADERO
P01	18	_ELU_SISMO_X_T	Combination	143.2	3.9	5.7	VERDADERO	VERDADERO
P01	18	_ELU_SISMO_Y_T	Combination	116.1	11.7	15.6	VERDADERO	VERDADERO
P01	18	_ELU_SISMO_Y_T	Combination	158.0	12.3	13.1	VERDADERO	VERDADERO
P01	18	_ELU_SISMO_Z_T	Combination	131.0	3.3	4.9	VERDADERO	VERDADERO
P01	18	_ELU_SISMO_Z_T	Combination	143.0	3.9	5.7	VERDADERO	VERDADERO
P01	18	_ELU_SISMO_X_T	Combination	127.2	3.5	5.1	VERDADERO	VERDADERO
P01	18	_ELU_SISMO_X_T	Combination	139.6	4.1	5.8	VERDADERO	VERDADERO
P01	18	_ELU_SISMO_Y_T	Combination	112.5	11.7	15.6	VERDADERO	VERDADERO
P01	18	_ELU_SISMO_Y_T	Combination	154.4	12.3	13.2	VERDADERO	VERDADERO
P01	18	_ELU_SISMO_Z_T	Combination	127.5	3.5	5.1	VERDADERO	VERDADERO
P01	18	_ELU_SISMO_Z_T	Combination	139.4	4.1	5.8	VERDADERO	VERDADERO
P02	18	_ELU_01_T0_Max	Combination	181.5	4.5	7.9	VERDADERO	VERDADERO
P02	18	_ELU_01_T0_Min	Combination	116.5	0.3	0.4	VERDADERO	VERDADERO
P02	18	_ELU_01_TINF_M	Combination	164.6	4.7	8.0	VERDADERO	VERDADERO
P02	18	_ELU_01_TINF_M	Combination	99.6	1.1	1.2	VERDADERO	VERDADERO
P02	18	_ELU_02_T0_Max	Combination	48.8	1.8	5.3	VERDADERO	VERDADERO
P02	18	_ELU_02_T0_Min	Combination	20.3	0.1	2.3	VERDADERO	VERDADERO
P02	18	_ELU_02_TINF_M	Combination	32.0	2.1	5.4	VERDADERO	VERDADERO
P02	18	_ELU_02_TINF_M	Combination	3.5	1.0	2.5	VERDADERO	VERDADERO
P02	18	_ELU_03_T0_Max	Combination	153.5	1.6	3.4	VERDADERO	VERDADERO
P02	18	_ELU_03_T0_Min	Combination	122.2	0.3	0.4	VERDADERO	VERDADERO
P02	18	_ELU_03_TINF_M	Combination	136.6	2.0	3.6	VERDADERO	VERDADERO
P02	18	_ELU_03_TINF_M	Combination	105.4	1.1	1.2	VERDADERO	VERDADERO

## PASARELA UCA. MICROPILOTES PILAS 1,2,12 Y 13

### MICROPILOTES: COMPROBACIÓN ESTRUCTURAL EN SECCIÓN MAS SOLICITADA

SE PLANTEA EL SIGUIENTE CRITERIO DE INTERACCIÓN DE ESFUERZOS

$$M_d/M_{rd} + N_d/N_{rd} < 1 \text{ y } V_d < 0.5 \cdot V_{rd} \cdot (1 - N_d/N_{rd})$$

El que se cumpla la condición anterior es suficiente para que el punto quede dentro del diagrama de interacción representado en el artículo 6.3.6.5 de la RPX-95

#### Esfuerzos resistentes (según características micro)

Nrd (kN)	466.8	kN
Mrd	21.1	kN*m
Vrd	304.7	kN

VERDADERO VERDADERO

PILA	FRAME	OutputCase	CaseType	Nd	Vd	Md	Cumple 1	Cumple 2
Text	Text	Text	Text	KN	KN	KN-m		
P02	18	_ELU_SISMO_X_T	Combination	120.9	4.3	6.4	VERDADERO	VERDADERO
P02	18	_ELU_SISMO_X_T	Combination	139.8	4.9	7.1	VERDADERO	VERDADERO
P02	18	_ELU_SISMO_Y_T	Combination	98.5	15.0	16.2	VERDADERO	VERDADERO
P02	18	_ELU_SISMO_Y_T	Combination	162.2	15.6	13.5	VERDADERO	VERDADERO
P02	18	_ELU_SISMO_Z_T	Combination	121.0	4.3	6.4	VERDADERO	VERDADERO
P02	18	_ELU_SISMO_Z_T	Combination	139.7	4.9	7.1	VERDADERO	VERDADERO
P02	18	_ELU_SISMO_X_T	Combination	108.4	4.4	6.5	VERDADERO	VERDADERO
P02	18	_ELU_SISMO_X_T	Combination	127.3	4.9	7.2	VERDADERO	VERDADERO
P02	18	_ELU_SISMO_Y_T	Combination	86.0	15.0	16.2	VERDADERO	VERDADERO
P02	18	_ELU_SISMO_Y_T	Combination	149.7	15.6	13.5	VERDADERO	VERDADERO
P02	18	_ELU_SISMO_Z_T	Combination	108.6	4.4	6.5	VERDADERO	VERDADERO
P02	18	_ELU_SISMO_Z_T	Combination	127.2	4.9	7.2	VERDADERO	VERDADERO
P12	18	_ELU_01_T0_Max	Combination	179.4	5.1	8.8	VERDADERO	VERDADERO
P12	18	_ELU_01_T0_Min	Combination	113.7	0.1	0.9	VERDADERO	VERDADERO
P12	18	_ELU_01_TINF_M	Combination	192.0	5.2	8.8	VERDADERO	VERDADERO
P12	18	_ELU_01_TINF_M	Combination	126.3	0.8	1.1	VERDADERO	VERDADERO
P12	18	_ELU_02_T0_Max	Combination	42.4	3.2	7.4	VERDADERO	VERDADERO
P12	18	_ELU_02_T0_Min	Combination	13.1	1.2	4.3	VERDADERO	VERDADERO
P12	18	_ELU_02_TINF_M	Combination	55.0	3.3	7.5	VERDADERO	VERDADERO
P12	18	_ELU_02_TINF_M	Combination	25.7	1.5	4.3	VERDADERO	VERDADERO
P12	18	_ELU_03_T0_Max	Combination	152.2	2.1	4.1	VERDADERO	VERDADERO
P12	18	_ELU_03_T0_Min	Combination	119.5	0.2	1.0	VERDADERO	VERDADERO
P12	18	_ELU_03_TINF_M	Combination	164.8	2.2	4.1	VERDADERO	VERDADERO
P12	18	_ELU_03_TINF_M	Combination	132.1	0.7	1.2	VERDADERO	VERDADERO
P12	18	_ELU_SISMO_X_T	Combination	120.8	4.3	6.5	VERDADERO	VERDADERO
P12	18	_ELU_SISMO_X_T	Combination	140.8	4.9	7.2	VERDADERO	VERDADERO
P12	18	_ELU_SISMO_Y_T	Combination	96.5	15.1	16.4	VERDADERO	VERDADERO
P12	18	_ELU_SISMO_Y_T	Combination	165.0	15.7	12.3	VERDADERO	VERDADERO
P12	18	_ELU_SISMO_Z_T	Combination	120.7	4.3	6.5	VERDADERO	VERDADERO
P12	18	_ELU_SISMO_Z_T	Combination	140.8	4.9	7.2	VERDADERO	VERDADERO
P12	18	_ELU_SISMO_X_T	Combination	130.1	4.4	6.5	VERDADERO	VERDADERO
P12	18	_ELU_SISMO_X_T	Combination	150.1	4.9	7.2	VERDADERO	VERDADERO
P12	18	_ELU_SISMO_Y_T	Combination	105.9	15.1	14.8	VERDADERO	VERDADERO
P12	18	_ELU_SISMO_Y_T	Combination	174.3	15.7	12.3	VERDADERO	VERDADERO
P12	18	_ELU_SISMO_Z_T	Combination	130.1	4.4	6.5	VERDADERO	VERDADERO
P12	18	_ELU_SISMO_Z_T	Combination	150.1	4.9	7.2	VERDADERO	VERDADERO
P13	18	_ELU_01_T0_Max	Combination	218.6	3.2	5.8	VERDADERO	VERDADERO
P13	18	_ELU_01_T0_Min	Combination	138.6	0.7	0.4	VERDADERO	VERDADERO



## PASARELA UCA. MICROPILOTES PILAS 1,2,12 Y 13

### MICROPILOTES: COMPROBACIÓN ESTRUCTURAL EN SECCIÓN MAS SOLICITADA

SE PLANTEA EL SIGUIENTE CRITERIO DE INTERACCIÓN DE ESFUERZOS

$$M_d/M_{rd} + N_d/N_{rd} < 1 \text{ y } V_d < 0.5 \cdot V_{rd} \cdot (1 - N_d/N_{rd})$$

El que se cumpla la condición anterior es suficiente para que el punto quede dentro del diagrama de interacción representado en el artículo 6.3.6.5 de la RPX-95

#### Esfuerzos resistentes (según características micro)

Nrd (kN)	466.8	kN
Mrd	21.1	kN*m
Vrd	304.7	kN

VERDADERO VERDADERO

PILA	FRAME	OutputCase	CaseType	Nd	Vd	Md	Cumple 1	Cumple 2
Text	Text	Text	Text	KN	KN	KN-m		
P13	18	_ELU_01_TINF_M	Combination	247.0	3.3	5.8	VERDADERO	VERDADERO
P13	18	_ELU_01_TINF_M	Combination	167.0	1.3	1.1	VERDADERO	VERDADERO
P13	18	_ELU_02_T0_Max	Combination	95.2	0.1	2.4	VERDADERO	VERDADERO
P13	18	_ELU_02_T0_Min	Combination	53.8	1.5	0.1	VERDADERO	VERDADERO
P13	18	_ELU_02_TINF_M	Combination	123.5	1.1	2.6	VERDADERO	VERDADERO
P13	18	_ELU_02_TINF_M	Combination	82.1	1.9	1.2	VERDADERO	VERDADERO
P13	18	_ELU_03_T0_Max	Combination	189.7	0.8	2.1	VERDADERO	VERDADERO
P13	18	_ELU_03_T0_Min	Combination	137.8	0.7	0.4	VERDADERO	VERDADERO
P13	18	_ELU_03_TINF_M	Combination	218.1	1.2	2.2	VERDADERO	VERDADERO
P13	18	_ELU_03_TINF_M	Combination	166.2	1.3	1.1	VERDADERO	VERDADERO
P13	18	_ELU_SISMO_X_T	Combination	131.4	3.7	5.5	VERDADERO	VERDADERO
P13	18	_ELU_SISMO_X_T	Combination	146.3	4.3	6.2	VERDADERO	VERDADERO
P13	18	_ELU_SISMO_Y_T	Combination	113.7	12.9	15.5	VERDADERO	VERDADERO
P13	18	_ELU_SISMO_Y_T	Combination	164.0	13.5	13.1	VERDADERO	VERDADERO
P13	18	_ELU_SISMO_Z_T	Combination	131.5	3.7	5.5	VERDADERO	VERDADERO
P13	18	_ELU_SISMO_Z_T	Combination	146.2	4.3	6.2	VERDADERO	VERDADERO
P13	18	_ELU_SISMO_X_T	Combination	152.4	3.7	5.5	VERDADERO	VERDADERO
P13	18	_ELU_SISMO_X_T	Combination	167.4	4.4	6.3	VERDADERO	VERDADERO
P13	18	_ELU_SISMO_Y_T	Combination	134.8	12.9	13.9	VERDADERO	VERDADERO
P13	18	_ELU_SISMO_Y_T	Combination	185.0	13.6	11.8	VERDADERO	VERDADERO
P13	18	_ELU_SISMO_Z_T	Combination	152.6	3.7	5.5	VERDADERO	VERDADERO
P13	18	_ELU_SISMO_Z_T	Combination	167.2	4.4	6.3	VERDADERO	VERDADERO
P01	20	_ELU_01_T0_Max	Combination	341.3	4.5	5.4	VERDADERO	VERDADERO
P01	20	_ELU_01_T0_Min	Combination	209.0	0.3	0.3	VERDADERO	VERDADERO
P01	20	_ELU_01_TINF_M	Combination	336.5	4.8	5.6	VERDADERO	VERDADERO
P01	20	_ELU_01_TINF_M	Combination	204.1	1.6	1.8	VERDADERO	VERDADERO
P01	20	_ELU_02_T0_Max	Combination	355.0	0.4	2.3	VERDADERO	VERDADERO
P01	20	_ELU_02_T0_Min	Combination	293.2	1.7	0.8	VERDADERO	VERDADERO
P01	20	_ELU_02_TINF_M	Combination	350.1	1.8	3.0	VERDADERO	VERDADERO
P01	20	_ELU_02_TINF_M	Combination	288.3	2.4	2.1	VERDADERO	VERDADERO
P01	20	_ELU_03_T0_Max	Combination	280.1	1.7	3.1	VERDADERO	VERDADERO
P01	20	_ELU_03_T0_Min	Combination	208.4	0.3	0.3	VERDADERO	VERDADERO
P01	20	_ELU_03_TINF_M	Combination	275.2	2.4	3.6	VERDADERO	VERDADERO
P01	20	_ELU_03_TINF_M	Combination	203.5	1.6	1.8	VERDADERO	VERDADERO
P01	20	_ELU_SISMO_X_T	Combination	143.5	3.9	5.7	VERDADERO	VERDADERO
P01	20	_ELU_SISMO_X_T	Combination	130.6	3.3	4.9	VERDADERO	VERDADERO
P01	20	_ELU_SISMO_Y_T	Combination	158.2	12.3	13.1	VERDADERO	VERDADERO
P01	20	_ELU_SISMO_Y_T	Combination	115.9	11.7	15.6	VERDADERO	VERDADERO

## PASARELA UCA. MICROPILOTES PILAS 1,2,12 Y 13

### MICROPILOTES: COMPROBACIÓN ESTRUCTURAL EN SECCIÓN MAS SOLICITADA

SE PLANTEA EL SIGUIENTE CRITERIO DE INTERACCIÓN DE ESFUERZOS

$$M_d/M_{rd} + N_d/N_{rd} < 1 \text{ y } V_d < 0.5 \cdot V_{rd} \cdot (1 - N_d/N_{rd})$$

El que se cumpla la condición anterior es suficiente para que el punto quede dentro del diagrama de interacción representado en el artículo 6.3.6.5 de la RPX-95

#### Esfuerzos resistentes (según características micro)

Nrd (kN)	466.8	kN
Mrd	21.1	kN*m
Vrd	304.7	kN

VERDADERO VERDADERO

PILA	FRAME	OutputCase	CaseType	Nd	Vd	Md	Cumple 1	Cumple 2
Text	Text	Text	Text	KN	KN	KN-m		
P01	20	_ELU_SISMO_Z_T	Combination	143.7	3.9	5.7	VERDADERO	VERDADERO
P01	20	_ELU_SISMO_Z_T	Combination	130.4	3.3	4.9	VERDADERO	VERDADERO
P01	20	_ELU_SISMO_X_T	Combination	139.9	4.1	5.8	VERDADERO	VERDADERO
P01	20	_ELU_SISMO_X_T	Combination	127.0	3.5	5.1	VERDADERO	VERDADERO
P01	20	_ELU_SISMO_Y_T	Combination	154.6	12.3	13.2	VERDADERO	VERDADERO
P01	20	_ELU_SISMO_Y_T	Combination	112.3	11.7	15.6	VERDADERO	VERDADERO
P01	20	_ELU_SISMO_Z_T	Combination	140.1	4.1	5.8	VERDADERO	VERDADERO
P01	20	_ELU_SISMO_Z_T	Combination	126.8	3.5	5.1	VERDADERO	VERDADERO
P02	20	_ELU_01_T0_Max	Combination	332.1	5.7	6.1	VERDADERO	VERDADERO
P02	20	_ELU_01_T0_Min	Combination	205.5	0.4	1.2	VERDADERO	VERDADERO
P02	20	_ELU_01_TINF_M	Combination	315.3	5.8	6.8	VERDADERO	VERDADERO
P02	20	_ELU_01_TINF_M	Combination	188.6	1.2	1.7	VERDADERO	VERDADERO
P02	20	_ELU_02_T0_Max	Combination	369.7	2.8	4.2	VERDADERO	VERDADERO
P02	20	_ELU_02_T0_Min	Combination	316.5	0.7	3.2	VERDADERO	VERDADERO
P02	20	_ELU_02_TINF_M	Combination	352.8	3.0	4.8	VERDADERO	VERDADERO
P02	20	_ELU_02_TINF_M	Combination	299.7	1.4	3.4	VERDADERO	VERDADERO
P02	20	_ELU_03_T0_Max	Combination	267.1	2.6	4.5	VERDADERO	VERDADERO
P02	20	_ELU_03_T0_Min	Combination	211.2	0.5	1.3	VERDADERO	VERDADERO
P02	20	_ELU_03_TINF_M	Combination	250.2	2.8	4.6	VERDADERO	VERDADERO
P02	20	_ELU_03_TINF_M	Combination	194.3	1.2	1.7	VERDADERO	VERDADERO
P02	20	_ELU_SISMO_X_T	Combination	140.1	4.9	7.1	VERDADERO	VERDADERO
P02	20	_ELU_SISMO_X_T	Combination	120.6	4.3	6.4	VERDADERO	VERDADERO
P02	20	_ELU_SISMO_Y_T	Combination	162.4	15.6	13.5	VERDADERO	VERDADERO
P02	20	_ELU_SISMO_Y_T	Combination	98.3	15.0	16.2	VERDADERO	VERDADERO
P02	20	_ELU_SISMO_Z_T	Combination	140.2	4.9	7.1	VERDADERO	VERDADERO
P02	20	_ELU_SISMO_Z_T	Combination	120.5	4.3	6.4	VERDADERO	VERDADERO
P02	20	_ELU_SISMO_X_T	Combination	127.6	4.9	7.2	VERDADERO	VERDADERO
P02	20	_ELU_SISMO_X_T	Combination	108.1	4.4	6.5	VERDADERO	VERDADERO
P02	20	_ELU_SISMO_Y_T	Combination	149.9	15.6	13.5	VERDADERO	VERDADERO
P02	20	_ELU_SISMO_Y_T	Combination	85.8	15.0	16.2	VERDADERO	VERDADERO
P02	20	_ELU_SISMO_Z_T	Combination	127.7	4.9	7.2	VERDADERO	VERDADERO
P02	20	_ELU_SISMO_Z_T	Combination	108.0	4.4	6.5	VERDADERO	VERDADERO
P12	20	_ELU_01_T0_Max	Combination	336.6	6.3	5.4	VERDADERO	VERDADERO
P12	20	_ELU_01_T0_Min	Combination	207.1	0.8	1.7	VERDADERO	VERDADERO
P12	20	_ELU_01_TINF_M	Combination	349.2	6.3	4.9	VERDADERO	VERDADERO
P12	20	_ELU_01_TINF_M	Combination	219.7	1.0	1.8	VERDADERO	VERDADERO
P12	20	_ELU_02_T0_Max	Combination	378.2	4.2	3.7	VERDADERO	VERDADERO
P12	20	_ELU_02_T0_Min	Combination	323.3	2.0	5.2	VERDADERO	VERDADERO

## PASARELA UCA. MICROPILOTES PILAS 1,2,12 Y 13

### MICROPILOTES: COMPROBACIÓN ESTRUCTURAL EN SECCIÓN MAS SOLICITADA

SE PLANTEA EL SIGUIENTE CRITERIO DE INTERACCIÓN DE ESFUERZOS

$$M_d/M_{rd} + N_d/N_{rd} < 1 \text{ y } V_d < 0.5 \cdot V_{rd} \cdot (1 - N_d/N_{rd})$$

El que se cumpla la condición anterior es suficiente para que el punto quede dentro del diagrama de interacción representado en el artículo 6.3.6.5 de la RPX-95

#### Esfuerzos resistentes (según características micro)

Nrd (kN)	466.8	kN
Mrd	21.1	kN*m
Vrd	304.7	kN

VERDADERO VERDADERO

PILA	FRAME	OutputCase	CaseType	Nd	Vd	Md	Cumple 1	Cumple 2
Text	Text	Text	Text	KN	KN	KN-m		
P12	20	_ELU_02_TINF_M	Combination	390.7	4.2	3.7	FALSO	VERDADERO
P12	20	_ELU_02_TINF_M	Combination	335.9	2.0	5.2	VERDADERO	VERDADERO
P12	20	_ELU_03_T0_Max	Combination	270.9	3.0	5.2	VERDADERO	VERDADERO
P12	20	_ELU_03_T0_Min	Combination	212.7	0.8	1.8	VERDADERO	VERDADERO
P12	20	_ELU_03_TINF_M	Combination	283.5	3.1	5.2	VERDADERO	VERDADERO
P12	20	_ELU_03_TINF_M	Combination	225.3	1.0	1.9	VERDADERO	VERDADERO
P12	20	_ELU_SISMO_X_T	Combination	141.4	4.9	7.2	VERDADERO	VERDADERO
P12	20	_ELU_SISMO_X_T	Combination	120.1	4.3	6.5	VERDADERO	VERDADERO
P12	20	_ELU_SISMO_Y_T	Combination	165.3	15.7	12.3	VERDADERO	VERDADERO
P12	20	_ELU_SISMO_Y_T	Combination	96.3	15.1	16.4	VERDADERO	VERDADERO
P12	20	_ELU_SISMO_Z_T	Combination	141.3	4.9	7.2	VERDADERO	VERDADERO
P12	20	_ELU_SISMO_Z_T	Combination	120.2	4.3	6.5	VERDADERO	VERDADERO
P12	20	_ELU_SISMO_X_T	Combination	150.7	4.9	7.2	VERDADERO	VERDADERO
P12	20	_ELU_SISMO_X_T	Combination	129.5	4.4	6.5	VERDADERO	VERDADERO
P12	20	_ELU_SISMO_Y_T	Combination	174.6	15.7	12.3	VERDADERO	VERDADERO
P12	20	_ELU_SISMO_Y_T	Combination	105.6	15.1	14.8	VERDADERO	VERDADERO
P12	20	_ELU_SISMO_Z_T	Combination	150.7	4.9	7.2	VERDADERO	VERDADERO
P12	20	_ELU_SISMO_Z_T	Combination	129.5	4.4	6.5	VERDADERO	VERDADERO
P13	20	_ELU_01_T0_Max	Combination	345.0	4.4	5.3	VERDADERO	VERDADERO
P13	20	_ELU_01_T0_Min	Combination	214.1	0.2	0.7	VERDADERO	VERDADERO
P13	20	_ELU_01_TINF_M	Combination	373.3	4.5	3.9	VERDADERO	VERDADERO
P13	20	_ELU_01_TINF_M	Combination	242.5	0.9	1.1	VERDADERO	VERDADERO
P13	20	_ELU_02_T0_Max	Combination	367.0	1.2	3.6	VERDADERO	VERDADERO
P13	20	_ELU_02_T0_Min	Combination	305.2	0.8	1.0	VERDADERO	VERDADERO
P13	20	_ELU_02_TINF_M	Combination	395.4	1.4	3.0	VERDADERO	VERDADERO
P13	20	_ELU_02_TINF_M	Combination	333.6	1.1	1.3	VERDADERO	VERDADERO
P13	20	_ELU_03_T0_Max	Combination	285.5	1.9	3.3	VERDADERO	VERDADERO
P13	20	_ELU_03_T0_Min	Combination	213.3	0.2	0.7	VERDADERO	VERDADERO
P13	20	_ELU_03_TINF_M	Combination	313.9	2.1	3.5	VERDADERO	VERDADERO
P13	20	_ELU_03_TINF_M	Combination	241.6	0.9	1.1	VERDADERO	VERDADERO
P13	20	_ELU_SISMO_X_T	Combination	146.5	4.3	6.2	VERDADERO	VERDADERO
P13	20	_ELU_SISMO_X_T	Combination	131.2	3.7	5.5	VERDADERO	VERDADERO
P13	20	_ELU_SISMO_Y_T	Combination	164.2	13.5	13.1	VERDADERO	VERDADERO
P13	20	_ELU_SISMO_Y_T	Combination	113.6	12.9	15.5	VERDADERO	VERDADERO
P13	20	_ELU_SISMO_Z_T	Combination	146.7	4.3	6.2	VERDADERO	VERDADERO
P13	20	_ELU_SISMO_Z_T	Combination	131.1	3.7	5.5	VERDADERO	VERDADERO
P13	20	_ELU_SISMO_X_T	Combination	167.6	4.4	6.3	VERDADERO	VERDADERO
P13	20	_ELU_SISMO_X_T	Combination	152.2	3.7	5.5	VERDADERO	VERDADERO

PASARELA UCA. MICROPILOTES PILAS 1,2,12 Y 13

MICROPILOTES: COMPROBACIÓN ESTRUCTURAL EN SECCIÓN MAS SOLICITADA

SE PLANTEA EL SIGUIENTE CRITERIO DE INTERACCIÓN DE ESFUERZOS

Md/Mrd + Nd/Nrd < 1 y Vd < 0.5\*Vrd\*(1-Nd/Nrd)

El que se cumpla la condición anterior es suficiente para que el punto quede dentro del diagrama de interacción representado en el artículo 6.3.6.5 de la RPX-95

Esfuerzos resistentes (según características micro)

Nrd (kN)	466.8	kN
Mrd	21.1	kN*m
Vrd	304.7	kN

							VERDADERO	VERDADERO
PILA	FRAME	OutputCase	CaseType	Nd	Vd	Md	Cumple 1	Cumple 2
Text	Text	Text	Text	KN	KN	KN-m		
P13	20	_ELU_SISMO_Y_T	Combination	185.2	13.6	11.8	VERDADERO	VERDADERO
P13	20	_ELU_SISMO_Y_T	Combination	134.6	12.9	13.9	VERDADERO	VERDADERO
P13	20	_ELU_SISMO_Z_T	Combination	167.7	4.4	6.3	VERDADERO	VERDADERO
P13	20	_ELU_SISMO_Z_T	Combination	152.1	3.7	5.5	VERDADERO	VERDADERO

## PASARELA UCA. MICROPILOTES PILAS 3,4,5,10 Y 11

### MICROPILOTES: COMPROBACIÓN ESTRUCTURAL EN SECCIÓN MAS SOLICITADA

SE PLANTEA EL SIGUIENTE CRITERIO DE INTERACCIÓN DE ESFUERZOS

$$M_d/M_{rd} + N_d/N_{rd} < 1 \text{ y } V_d < 0.5 \cdot V_{rd} \cdot (1 - N_d/N_{rd})$$

El que se cumpla la condición anterior es suficiente para que el punto quede dentro del diagrama de interacción representado en el artículo 6.3.6.5 de la RPX-95

#### Esfuerzos resistentes (según características micro)

Nrd (kN)	466.8	kN
Mrd	21.1	kN*m
Vrd	304.7	kN

VERDADERO VERDADERO

PILA	FRAME	OutputCase	CaseType	Nd	Vd	Md	Cumple 1	Cumple 2
Text	Text	Text	Text	KN	KN	KN-m		
P03	14	ELU_01_T0_Max	Combination	333.1	4.7	5.4	VERDADERO	VERDADERO
P03	14	ELU_01_T0_Min	Combination	213.0	0.2	0.6	VERDADERO	VERDADERO
P03	14	ELU_01_TINF_Ma	Combination	350.1	4.7	4.9	VERDADERO	VERDADERO
P03	14	ELU_01_TINF_Mi	Combination	230.0	0.5	0.7	VERDADERO	VERDADERO
P03	14	ELU_02_T0_Max	Combination	371.0	1.3	3.8	VERDADERO	VERDADERO
P03	14	ELU_02_T0_Min	Combination	322.6	0.8	1.0	VERDADERO	VERDADERO
P03	14	ELU_02_TINF_Ma	Combination	388.0	1.3	3.4	VERDADERO	VERDADERO
P03	14	ELU_02_TINF_Mi	Combination	339.6	0.8	1.0	VERDADERO	VERDADERO
P03	14	ELU_03_T0_Max	Combination	268.5	1.9	3.4	VERDADERO	VERDADERO
P03	14	ELU_03_T0_Min	Combination	219.6	0.2	0.6	VERDADERO	VERDADERO
P03	14	ELU_03_TINF_Ma	Combination	285.5	2.0	3.4	VERDADERO	VERDADERO
P03	14	ELU_03_TINF_Mi	Combination	236.6	0.5	0.7	VERDADERO	VERDADERO
P03	14	ELU_SISMO_X_T0	Combination	144.3	5.1	7.3	VERDADERO	VERDADERO
P03	14	ELU_SISMO_X_T0	Combination	123.0	4.5	6.6	VERDADERO	VERDADERO
P03	14	ELU_SISMO_Y_T0	Combination	168.2	16.4	12.5	VERDADERO	VERDADERO
P03	14	ELU_SISMO_Y_T0	Combination	99.1	15.8	15.0	VERDADERO	VERDADERO
P03	14	ELU_SISMO_Z_T0	Combination	144.3	5.1	7.3	VERDADERO	VERDADERO
P03	14	ELU_SISMO_Z_T0	Combination	123.0	4.5	6.6	VERDADERO	VERDADERO
P03	14	ELU_SISMO_X_TI	Combination	156.9	5.1	7.3	VERDADERO	VERDADERO
P03	14	ELU_SISMO_X_TI	Combination	135.6	4.5	6.6	VERDADERO	VERDADERO
P03	14	ELU_SISMO_Y_TI	Combination	180.8	16.4	12.5	VERDADERO	VERDADERO
P03	14	ELU_SISMO_Y_TI	Combination	111.7	15.8	15.0	VERDADERO	VERDADERO
P03	14	ELU_SISMO_Z_TI	Combination	156.9	5.1	7.3	VERDADERO	VERDADERO
P03	14	ELU_SISMO_Z_TI	Combination	135.6	4.5	6.6	VERDADERO	VERDADERO
P04	14	ELU_01_T0_Max	Combination	342.1	5.3	5.5	VERDADERO	VERDADERO
P04	14	ELU_01_T0_Min	Combination	217.7	0.6	1.4	VERDADERO	VERDADERO
P04	14	ELU_01_TINF_Ma	Combination	360.2	5.3	4.5	VERDADERO	VERDADERO
P04	14	ELU_01_TINF_Mi	Combination	235.8	0.7	1.4	VERDADERO	VERDADERO
P04	14	ELU_02_T0_Max	Combination	383.3	3.2	3.5	VERDADERO	VERDADERO
P04	14	ELU_02_T0_Min	Combination	332.9	1.3	3.9	VERDADERO	VERDADERO
P04	14	ELU_02_TINF_Ma	Combination	395.5	3.2	3.2	VERDADERO	VERDADERO
P04	14	ELU_02_TINF_Mi	Combination	351.1	1.3	3.9	VERDADERO	VERDADERO
P04	14	ELU_03_T0_Max	Combination	276.1	2.5	4.3	VERDADERO	VERDADERO
P04	14	ELU_03_T0_Min	Combination	225.0	0.7	1.5	VERDADERO	VERDADERO
P04	14	ELU_03_TINF_Ma	Combination	294.3	2.6	4.3	VERDADERO	VERDADERO
P04	14	ELU_03_TINF_Mi	Combination	243.1	0.8	1.5	VERDADERO	VERDADERO
P04	14	ELU_SISMO_X_T0	Combination	149.0	5.0	7.1	VERDADERO	VERDADERO
P04	14	ELU_SISMO_X_T0	Combination	124.5	4.4	6.4	VERDADERO	VERDADERO
P04	14	ELU_SISMO_Y_T0	Combination	173.8	15.9	12.2	VERDADERO	VERDADERO
P04	14	ELU_SISMO_Y_T0	Combination	99.7	15.3	16.2	VERDADERO	VERDADERO

## PASARELA UCA. MICROPILOTES PILAS 3,4,5,10 Y 11

### MICROPILOTES: COMPROBACIÓN ESTRUCTURAL EN SECCIÓN MAS SOLICITADA

SE PLANTEA EL SIGUIENTE CRITERIO DE INTERACCIÓN DE ESFUERZOS

$$M_d/M_{rd} + N_d/N_{rd} < 1 \text{ y } V_d < 0.5 \cdot V_{rd} \cdot (1 - N_d/N_{rd})$$

El que se cumpla la condición anterior es suficiente para que el punto quede dentro del diagrama de interacción representado en el artículo 6.3.6.5 de la RPX-95

#### Esfuerzos resistentes (según características micro)

Nrd (kN)	466.8	kN
Mrd	21.1	kN*m
Vrd	304.7	kN

VERDADERO VERDADERO

PILA	FRAME	OutputCase	CaseType	Nd	Vd	Md	Cumple 1	Cumple 2
Text	Text	Text	Text	KN	KN	KN-m		
P04	14	ELU_SISMO_Z_T0	Combination	148.5	5.0	7.1	VERDADERO	VERDADERO
P04	14	ELU_SISMO_Z_T0	Combination	125.0	4.4	6.4	VERDADERO	VERDADERO
P04	14	ELU_SISMO_X_TI	Combination	162.4	5.0	7.2	VERDADERO	VERDADERO
P04	14	ELU_SISMO_X_TI	Combination	138.0	4.4	6.4	VERDADERO	VERDADERO
P04	14	ELU_SISMO_Y_TI	Combination	187.3	15.9	12.2	VERDADERO	VERDADERO
P04	14	ELU_SISMO_Y_TI	Combination	113.1	15.3	14.5	VERDADERO	VERDADERO
P04	14	ELU_SISMO_Z_TI	Combination	161.9	5.0	7.2	VERDADERO	VERDADERO
P04	14	ELU_SISMO_Z_TI	Combination	138.5	4.4	6.4	VERDADERO	VERDADERO
P05	14	ELU_01_T0_Max	Combination	338.7	5.7	5.3	VERDADERO	VERDADERO
P05	14	ELU_01_T0_Min	Combination	194.5	1.2	2.2	VERDADERO	VERDADERO
P05	14	ELU_01_TINF_Ma	Combination	360.0	5.8	4.8	VERDADERO	VERDADERO
P05	14	ELU_01_TINF_Mi	Combination	215.8	1.2	2.2	VERDADERO	VERDADERO
P05	14	ELU_02_T0_Max	Combination	372.9	5.0	3.9	VERDADERO	VERDADERO
P05	14	ELU_02_T0_Min	Combination	312.0	3.2	6.4	VERDADERO	VERDADERO
P05	14	ELU_02_TINF_Ma	Combination	394.1	5.0	3.0	VERDADERO	VERDADERO
P05	14	ELU_02_TINF_Mi	Combination	333.2	3.2	5.8	VERDADERO	VERDADERO
P05	14	ELU_03_T0_Max	Combination	271.6	3.0	5.0	VERDADERO	VERDADERO
P05	14	ELU_03_T0_Min	Combination	207.0	1.2	2.2	VERDADERO	VERDADERO
P05	14	ELU_03_TINF_Ma	Combination	292.8	3.1	5.0	VERDADERO	VERDADERO
P05	14	ELU_03_TINF_Mi	Combination	228.3	1.2	2.3	VERDADERO	VERDADERO
P05	14	ELU_SISMO_X_T0	Combination	138.8	4.2	6.0	VERDADERO	VERDADERO
P05	14	ELU_SISMO_X_T0	Combination	125.3	3.6	5.3	VERDADERO	VERDADERO
P05	14	ELU_SISMO_Y_T0	Combination	165.0	13.4	12.7	VERDADERO	VERDADERO
P05	14	ELU_SISMO_Y_T0	Combination	99.1	12.8	15.1	VERDADERO	VERDADERO
P05	14	ELU_SISMO_Z_T0	Combination	142.3	4.2	6.0	VERDADERO	VERDADERO
P05	14	ELU_SISMO_Z_T0	Combination	121.8	3.7	5.4	VERDADERO	VERDADERO
P05	14	ELU_SISMO_X_TI	Combination	154.5	4.2	6.1	VERDADERO	VERDADERO
P05	14	ELU_SISMO_X_TI	Combination	141.0	3.6	5.3	VERDADERO	VERDADERO
P05	14	ELU_SISMO_Y_TI	Combination	180.7	13.4	12.7	VERDADERO	VERDADERO
P05	14	ELU_SISMO_Y_TI	Combination	114.9	12.8	15.1	VERDADERO	VERDADERO
P05	14	ELU_SISMO_Z_TI	Combination	158.1	4.3	6.1	VERDADERO	VERDADERO
P05	14	ELU_SISMO_Z_TI	Combination	137.5	3.6	5.3	VERDADERO	VERDADERO
P10	14	ELU_01_T0_Max	Combination	336.7	5.5	5.6	VERDADERO	VERDADERO
P10	14	ELU_01_T0_Min	Combination	194.6	1.1	2.1	VERDADERO	VERDADERO
P10	14	ELU_01_TINF_Ma	Combination	315.7	5.5	6.2	VERDADERO	VERDADERO
P10	14	ELU_01_TINF_Mi	Combination	173.6	1.2	2.1	VERDADERO	VERDADERO
P10	14	ELU_02_T0_Max	Combination	370.1	4.8	4.2	VERDADERO	VERDADERO
P10	14	ELU_02_T0_Min	Combination	310.3	3.0	6.1	VERDADERO	VERDADERO
P10	14	ELU_02_TINF_Ma	Combination	349.1	4.8	5.1	VERDADERO	VERDADERO
P10	14	ELU_02_TINF_Mi	Combination	289.3	3.0	6.1	VERDADERO	VERDADERO



## PASARELA UCA. MICROPILOTES PILAS 3,4,5,10 Y 11

### MICROPILOTES: COMPROBACIÓN ESTRUCTURAL EN SECCIÓN MAS SOLICITADA

SE PLANTEA EL SIGUIENTE CRITERIO DE INTERACCIÓN DE ESFUERZOS

$$M_d/M_{rd} + N_d/N_{rd} < 1 \text{ y } V_d < 0.5 \cdot V_{rd} \cdot (1 - N_d/N_{rd})$$

El que se cumpla la condición anterior es suficiente para que el punto quede dentro del diagrama de interacción representado en el artículo 6.3.6.5 de la RPX-95

#### Esfuerzos resistentes (según características micro)

Nrd (kN)	466.8	kN
Mrd	21.1	kN*m
Vrd	304.7	kN

VERDADERO VERDADERO

PILA	FRAME	OutputCase	CaseType	Nd	Vd	Md	Cumple 1	Cumple 2
Text	Text	Text	Text	KN	KN	KN-m		
P10	14	ELU_03_T0_Max	Combination	270.4	2.9	4.8	VERDADERO	VERDADERO
P10	14	ELU_03_T0_Min	Combination	207.4	1.2	2.2	VERDADERO	VERDADERO
P10	14	ELU_03_TINF_Ma	Combination	249.4	2.9	4.7	VERDADERO	VERDADERO
P10	14	ELU_03_TINF_Mi	Combination	186.4	1.2	2.1	VERDADERO	VERDADERO
P10	14	ELU_SISMO_X_T0	Combination	137.9	4.1	5.8	VERDADERO	VERDADERO
P10	14	ELU_SISMO_X_T0	Combination	127.1	3.5	5.1	VERDADERO	VERDADERO
P10	14	ELU_SISMO_Y_T0	Combination	163.7	12.9	13.5	VERDADERO	VERDADERO
P10	14	ELU_SISMO_Y_T0	Combination	101.4	12.3	16.1	VERDADERO	VERDADERO
P10	14	ELU_SISMO_Z_T0	Combination	142.0	4.1	5.8	VERDADERO	VERDADERO
P10	14	ELU_SISMO_Z_T0	Combination	123.0	3.5	5.1	VERDADERO	VERDADERO
P10	14	ELU_SISMO_X_TI	Combination	122.3	4.1	5.8	VERDADERO	VERDADERO
P10	14	ELU_SISMO_X_TI	Combination	111.6	3.5	5.2	VERDADERO	VERDADERO
P10	14	ELU_SISMO_Y_TI	Combination	148.1	12.9	13.5	VERDADERO	VERDADERO
P10	14	ELU_SISMO_Y_TI	Combination	85.8	12.3	16.1	VERDADERO	VERDADERO
P10	14	ELU_SISMO_Z_TI	Combination	126.5	4.1	5.8	VERDADERO	VERDADERO
P10	14	ELU_SISMO_Z_TI	Combination	107.4	3.5	5.2	VERDADERO	VERDADERO
P11	14	ELU_01_T0_Max	Combination	341.2	5.2	5.4	VERDADERO	VERDADERO
P11	14	ELU_01_T0_Min	Combination	215.5	0.5	1.1	VERDADERO	VERDADERO
P11	14	ELU_01_TINF_Ma	Combination	324.0	5.3	6.0	VERDADERO	VERDADERO
P11	14	ELU_01_TINF_Mi	Combination	198.3	1.0	1.3	VERDADERO	VERDADERO
P11	14	ELU_02_T0_Max	Combination	377.5	2.7	3.9	VERDADERO	VERDADERO
P11	14	ELU_02_T0_Min	Combination	326.1	0.8	3.0	VERDADERO	VERDADERO
P11	14	ELU_02_TINF_Ma	Combination	360.4	2.9	4.8	VERDADERO	VERDADERO
P11	14	ELU_02_TINF_Mi	Combination	308.9	1.2	3.1	VERDADERO	VERDADERO
P11	14	ELU_03_T0_Max	Combination	275.1	2.4	4.1	VERDADERO	VERDADERO
P11	14	ELU_03_T0_Min	Combination	222.3	0.5	1.2	VERDADERO	VERDADERO
P11	14	ELU_03_TINF_Ma	Combination	258.0	2.6	4.1	VERDADERO	VERDADERO
P11	14	ELU_03_TINF_Mi	Combination	205.2	1.0	1.4	VERDADERO	VERDADERO
P11	14	ELU_SISMO_X_T0	Combination	147.9	4.7	6.7	VERDADERO	VERDADERO
P11	14	ELU_SISMO_X_T0	Combination	125.2	4.1	6.0	VERDADERO	VERDADERO
P11	14	ELU_SISMO_Y_T0	Combination	170.6	15.0	12.8	VERDADERO	VERDADERO
P11	14	ELU_SISMO_Y_T0	Combination	102.4	14.4	15.2	VERDADERO	VERDADERO
P11	14	ELU_SISMO_Z_T0	Combination	147.4	4.7	6.7	VERDADERO	VERDADERO
P11	14	ELU_SISMO_Z_T0	Combination	125.7	4.1	6.0	VERDADERO	VERDADERO
P11	14	ELU_SISMO_X_TI	Combination	135.2	4.7	6.7	VERDADERO	VERDADERO
P11	14	ELU_SISMO_X_TI	Combination	112.5	4.2	6.1	VERDADERO	VERDADERO
P11	14	ELU_SISMO_Y_TI	Combination	157.9	15.0	12.7	VERDADERO	VERDADERO
P11	14	ELU_SISMO_Y_TI	Combination	89.7	14.4	16.9	VERDADERO	VERDADERO
P11	14	ELU_SISMO_Z_TI	Combination	134.7	4.7	6.7	VERDADERO	VERDADERO
P11	14	ELU_SISMO_Z_TI	Combination	113.0	4.2	6.1	VERDADERO	VERDADERO

## PASARELA UCA. MICROPILOTES PILAS 3,4,5,10 Y 11

### MICROPILOTES: COMPROBACIÓN ESTRUCTURAL EN SECCIÓN MAS SOLICITADA

SE PLANTEA EL SIGUIENTE CRITERIO DE INTERACCIÓN DE ESFUERZOS

$$M_d/M_{rd} + N_d/N_{rd} < 1 \text{ y } V_d < 0.5 \cdot V_{rd} \cdot (1 - N_d/N_{rd})$$

El que se cumpla la condición anterior es suficiente para que el punto quede dentro del diagrama de interacción representado en el artículo 6.3.6.5 de la RPX-95

#### Esfuerzos resistentes (según características micro)

Nrd (kN)	466.8	kN
Mrd	21.1	kN*m
Vrd	304.7	kN

VERDADERO VERDADERO

PILA	FRAME	OutputCase	CaseType	Nd	Vd	Md	Cumple 1	Cumple 2
Text	Text	Text	Text	KN	KN	KN-m		
P03	16	ELU_01_T0_Max	Combination	190.3	3.5	6.1	VERDADERO	VERDADERO
P03	16	ELU_01_T0_Min	Combination	124.6	0.8	0.4	VERDADERO	VERDADERO
P03	16	ELU_01_TINF_Ma	Combination	207.3	3.6	6.1	VERDADERO	VERDADERO
P03	16	ELU_01_TINF_Mi	Combination	141.6	1.0	0.7	VERDADERO	VERDADERO
P03	16	ELU_02_T0_Max	Combination	55.4	0.3	2.6	VERDADERO	VERDADERO
P03	16	ELU_02_T0_Min	Combination	28.7	1.4	0.0	VERDADERO	VERDADERO
P03	16	ELU_02_TINF_Ma	Combination	72.4	0.8	2.7	VERDADERO	VERDADERO
P03	16	ELU_02_TINF_Mi	Combination	45.7	1.6	0.7	VERDADERO	VERDADERO
P03	16	ELU_03_T0_Max	Combination	158.5	1.0	2.2	VERDADERO	VERDADERO
P03	16	ELU_03_T0_Min	Combination	131.3	0.7	0.4	VERDADERO	VERDADERO
P03	16	ELU_03_TINF_Ma	Combination	175.5	1.1	2.3	VERDADERO	VERDADERO
P03	16	ELU_03_TINF_Mi	Combination	148.3	1.0	0.7	VERDADERO	VERDADERO
P03	16	ELU_SISMO_X_T0	Combination	123.7	4.5	6.6	VERDADERO	VERDADERO
P03	16	ELU_SISMO_X_T0	Combination	143.7	5.1	7.3	VERDADERO	VERDADERO
P03	16	ELU_SISMO_Y_T0	Combination	99.4	15.8	15.0	VERDADERO	VERDADERO
P03	16	ELU_SISMO_Y_T0	Combination	167.9	16.4	12.5	VERDADERO	VERDADERO
P03	16	ELU_SISMO_Z_T0	Combination	123.7	4.5	6.6	VERDADERO	VERDADERO
P03	16	ELU_SISMO_Z_T0	Combination	143.7	5.1	7.3	VERDADERO	VERDADERO
P03	16	ELU_SISMO_X_TI	Combination	136.3	4.5	6.6	VERDADERO	VERDADERO
P03	16	ELU_SISMO_X_TI	Combination	156.2	5.1	7.3	VERDADERO	VERDADERO
P03	16	ELU_SISMO_Y_TI	Combination	112.0	15.8	15.0	VERDADERO	VERDADERO
P03	16	ELU_SISMO_Y_TI	Combination	180.5	16.4	12.5	VERDADERO	VERDADERO
P03	16	ELU_SISMO_Z_TI	Combination	136.3	4.5	6.6	VERDADERO	VERDADERO
P03	16	ELU_SISMO_Z_TI	Combination	156.2	5.1	7.3	VERDADERO	VERDADERO
P04	16	ELU_01_T0_Max	Combination	194.9	4.1	7.0	VERDADERO	VERDADERO
P04	16	ELU_01_T0_Min	Combination	125.2	0.2	0.5	VERDADERO	VERDADERO
P04	16	ELU_01_TINF_Ma	Combination	213.0	4.1	6.9	VERDADERO	VERDADERO
P04	16	ELU_01_TINF_Mi	Combination	143.3	0.5	0.5	VERDADERO	VERDADERO
P04	16	ELU_02_T0_Max	Combination	53.8	2.2	5.5	VERDADERO	VERDADERO
P04	16	ELU_02_T0_Min	Combination	25.3	0.5	2.9	VERDADERO	VERDADERO
P04	16	ELU_02_TINF_Ma	Combination	71.9	2.3	5.5	VERDADERO	VERDADERO
P04	16	ELU_02_TINF_Mi	Combination	43.4	0.8	2.9	VERDADERO	VERDADERO
P04	16	ELU_03_T0_Max	Combination	161.9	1.6	3.1	VERDADERO	VERDADERO
P04	16	ELU_03_T0_Min	Combination	132.6	0.2	0.5	VERDADERO	VERDADERO
P04	16	ELU_03_TINF_Ma	Combination	180.0	1.6	3.1	VERDADERO	VERDADERO
P04	16	ELU_03_TINF_Mi	Combination	150.8	0.5	0.6	VERDADERO	VERDADERO
P04	16	ELU_SISMO_X_T0	Combination	127.0	4.4	6.4	VERDADERO	VERDADERO
P04	16	ELU_SISMO_X_T0	Combination	146.5	5.0	7.1	VERDADERO	VERDADERO
P04	16	ELU_SISMO_Y_T0	Combination	100.6	15.3	16.2	VERDADERO	VERDADERO
P04	16	ELU_SISMO_Y_T0	Combination	172.9	15.9	12.2	VERDADERO	VERDADERO



## PASARELA UCA. MICROPILOTES PILAS 3,4,5,10 Y 11

### MICROPILOTES: COMPROBACIÓN ESTRUCTURAL EN SECCIÓN MAS SOLICITADA

SE PLANTEA EL SIGUIENTE CRITERIO DE INTERACCIÓN DE ESFUERZOS

$$M_d/M_{rd} + N_d/N_{rd} < 1 \text{ y } V_d < 0.5 \cdot V_{rd} \cdot (1 - N_d/N_{rd})$$

El que se cumpla la condición anterior es suficiente para que el punto quede dentro del diagrama de interacción representado en el artículo 6.3.6.5 de la RPX-95

#### Esfuerzos resistentes (según características micro)

Nrd (kN)	466.8	kN
Mrd	21.1	kN*m
Vrd	304.7	kN

VERDADERO VERDADERO

PILA	FRAME	OutputCase	CaseType	Nd	Vd	Md	Cumple 1	Cumple 2
Text	Text	Text	Text	KN	KN	KN-m		
P04	16	ELU_SISMO_Z_T0	Combination	126.5	4.4	6.4	VERDADERO	VERDADERO
P04	16	ELU_SISMO_Z_T0	Combination	147.0	5.0	7.1	VERDADERO	VERDADERO
P04	16	ELU_SISMO_X_TI	Combination	140.5	4.4	6.4	VERDADERO	VERDADERO
P04	16	ELU_SISMO_X_TI	Combination	160.0	5.0	7.2	VERDADERO	VERDADERO
P04	16	ELU_SISMO_Y_TI	Combination	114.0	15.3	14.5	VERDADERO	VERDADERO
P04	16	ELU_SISMO_Y_TI	Combination	186.4	15.9	12.2	VERDADERO	VERDADERO
P04	16	ELU_SISMO_Z_TI	Combination	140.0	4.4	6.4	VERDADERO	VERDADERO
P04	16	ELU_SISMO_Z_TI	Combination	160.5	5.0	7.2	VERDADERO	VERDADERO
P05	16	ELU_01_T0_Max	Combination	197.7	4.6	7.5	VERDADERO	VERDADERO
P05	16	ELU_01_T0_Min	Combination	106.5	0.5	1.4	VERDADERO	VERDADERO
P05	16	ELU_01_TINF_Ma	Combination	218.9	4.5	7.5	VERDADERO	VERDADERO
P05	16	ELU_01_TINF_Mi	Combination	127.7	0.6	1.3	VERDADERO	VERDADERO
P05	16	ELU_02_T0_Max	Combination	58.2	4.1	8.0	VERDADERO	VERDADERO
P05	16	ELU_02_T0_Min	Combination	18.4	2.4	5.5	VERDADERO	VERDADERO
P05	16	ELU_02_TINF_Ma	Combination	79.4	4.0	7.9	VERDADERO	VERDADERO
P05	16	ELU_02_TINF_Mi	Combination	39.7	2.4	5.5	VERDADERO	VERDADERO
P05	16	ELU_03_T0_Max	Combination	162.3	2.1	3.8	VERDADERO	VERDADERO
P05	16	ELU_03_T0_Min	Combination	119.0	0.5	1.4	VERDADERO	VERDADERO
P05	16	ELU_03_TINF_Ma	Combination	183.6	2.1	3.7	VERDADERO	VERDADERO
P05	16	ELU_03_TINF_Mi	Combination	140.2	0.5	1.3	VERDADERO	VERDADERO
P05	16	ELU_SISMO_X_T0	Combination	118.6	3.7	5.4	VERDADERO	VERDADERO
P05	16	ELU_SISMO_X_T0	Combination	145.5	4.2	6.0	VERDADERO	VERDADERO
P05	16	ELU_SISMO_Y_T0	Combination	97.7	12.8	15.1	VERDADERO	VERDADERO
P05	16	ELU_SISMO_Y_T0	Combination	166.4	13.4	12.7	VERDADERO	VERDADERO
P05	16	ELU_SISMO_Z_T0	Combination	122.2	3.7	5.4	VERDADERO	VERDADERO
P05	16	ELU_SISMO_Z_T0	Combination	141.9	4.2	6.0	VERDADERO	VERDADERO
P05	16	ELU_SISMO_X_TI	Combination	134.3	3.6	5.3	VERDADERO	VERDADERO
P05	16	ELU_SISMO_X_TI	Combination	161.2	4.3	6.1	VERDADERO	VERDADERO
P05	16	ELU_SISMO_Y_TI	Combination	113.4	12.8	15.1	VERDADERO	VERDADERO
P05	16	ELU_SISMO_Y_TI	Combination	182.1	13.4	12.7	VERDADERO	VERDADERO
P05	16	ELU_SISMO_Z_TI	Combination	137.9	3.6	5.3	VERDADERO	VERDADERO
P05	16	ELU_SISMO_Z_TI	Combination	157.7	4.3	6.1	VERDADERO	VERDADERO
P10	16	ELU_01_T0_Max	Combination	200.5	4.3	7.2	VERDADERO	VERDADERO
P10	16	ELU_01_T0_Min	Combination	108.0	0.5	1.3	VERDADERO	VERDADERO
P10	16	ELU_01_TINF_Ma	Combination	179.5	4.4	7.2	VERDADERO	VERDADERO
P10	16	ELU_01_TINF_Mi	Combination	87.0	0.7	1.4	VERDADERO	VERDADERO
P10	16	ELU_02_T0_Max	Combination	61.7	3.8	7.6	VERDADERO	VERDADERO
P10	16	ELU_02_T0_Min	Combination	21.8	2.3	5.2	VERDADERO	VERDADERO
P10	16	ELU_02_TINF_Ma	Combination	40.7	3.9	7.6	VERDADERO	VERDADERO
P10	16	ELU_02_TINF_Mi	Combination	0.8	2.3	5.3	VERDADERO	VERDADERO

## PASARELA UCA. MICROPILOTES PILAS 3,4,5,10 Y 11

### MICROPILOTES: COMPROBACIÓN ESTRUCTURAL EN SECCIÓN MAS SOLICITADA

SE PLANTEA EL SIGUIENTE CRITERIO DE INTERACCIÓN DE ESFUERZOS

$$M_d/M_{rd} + N_d/N_{rd} < 1 \text{ y } V_d < 0.5 \cdot V_{rd} \cdot (1 - N_d/N_{rd})$$

El que se cumpla la condición anterior es suficiente para que el punto quede dentro del diagrama de interacción representado en el artículo 6.3.6.5 de la RPX-95

#### Esfuerzos resistentes (según características micro)

Nrd (kN)	466.8	kN
Mrd	21.1	kN*m
Vrd	304.7	kN

VERDADERO VERDADERO

PILA	FRAME	OutputCase	CaseType	Nd	Vd	Md	Cumple 1	Cumple 2
Text	Text	Text	Text	KN	KN	KN-m		
P10	16	ELU_03_T0_Max	Combination	164.0	2.0	3.6	VERDADERO	VERDADERO
P10	16	ELU_03_T0_Min	Combination	120.8	0.5	1.3	VERDADERO	VERDADERO
P10	16	ELU_03_TINF_Ma	Combination	143.0	2.1	3.7	VERDADERO	VERDADERO
P10	16	ELU_03_TINF_Mi	Combination	99.8	0.7	1.3	VERDADERO	VERDADERO
P10	16	ELU_SISMO_X_T0	Combination	118.6	3.5	5.1	VERDADERO	VERDADERO
P10	16	ELU_SISMO_X_T0	Combination	146.4	4.1	5.8	VERDADERO	VERDADERO
P10	16	ELU_SISMO_Y_T0	Combination	99.3	12.3	16.1	VERDADERO	VERDADERO
P10	16	ELU_SISMO_Y_T0	Combination	165.7	12.9	13.5	VERDADERO	VERDADERO
P10	16	ELU_SISMO_Z_T0	Combination	122.8	3.5	5.1	VERDADERO	VERDADERO
P10	16	ELU_SISMO_Z_T0	Combination	142.3	4.1	5.8	VERDADERO	VERDADERO
P10	16	ELU_SISMO_X_TI	Combination	103.0	3.6	5.2	VERDADERO	VERDADERO
P10	16	ELU_SISMO_X_TI	Combination	130.9	4.0	5.8	VERDADERO	VERDADERO
P10	16	ELU_SISMO_Y_TI	Combination	83.8	12.3	16.1	VERDADERO	VERDADERO
P10	16	ELU_SISMO_Y_TI	Combination	150.1	12.9	13.5	VERDADERO	VERDADERO
P10	16	ELU_SISMO_Z_TI	Combination	107.2	3.6	5.2	VERDADERO	VERDADERO
P10	16	ELU_SISMO_Z_TI	Combination	126.7	4.0	5.8	VERDADERO	VERDADERO
P11	16	ELU_01_T0_Max	Combination	197.0	4.0	6.8	VERDADERO	VERDADERO
P11	16	ELU_01_T0_Min	Combination	126.7	0.4	0.3	VERDADERO	VERDADERO
P11	16	ELU_01_TINF_Ma	Combination	179.9	4.1	6.9	VERDADERO	VERDADERO
P11	16	ELU_01_TINF_Mi	Combination	109.5	0.9	0.7	VERDADERO	VERDADERO
P11	16	ELU_02_T0_Max	Combination	60.4	1.7	4.7	VERDADERO	VERDADERO
P11	16	ELU_02_T0_Min	Combination	31.1	0.0	2.1	VERDADERO	VERDADERO
P11	16	ELU_02_TINF_Ma	Combination	43.2	1.9	4.8	VERDADERO	VERDADERO
P11	16	ELU_02_TINF_Mi	Combination	13.9	0.7	2.2	VERDADERO	VERDADERO
P11	16	ELU_03_T0_Max	Combination	164.4	1.5	2.9	VERDADERO	VERDADERO
P11	16	ELU_03_T0_Min	Combination	133.8	0.3	0.3	VERDADERO	VERDADERO
P11	16	ELU_03_TINF_Ma	Combination	147.2	1.7	3.0	VERDADERO	VERDADERO
P11	16	ELU_03_TINF_Mi	Combination	116.6	0.9	0.8	VERDADERO	VERDADERO
P11	16	ELU_SISMO_X_T0	Combination	127.7	4.1	6.0	VERDADERO	VERDADERO
P11	16	ELU_SISMO_X_T0	Combination	145.4	4.7	6.7	VERDADERO	VERDADERO
P11	16	ELU_SISMO_Y_T0	Combination	103.4	14.4	15.2	VERDADERO	VERDADERO
P11	16	ELU_SISMO_Y_T0	Combination	169.7	15.0	12.7	VERDADERO	VERDADERO
P11	16	ELU_SISMO_Z_T0	Combination	127.2	4.1	6.0	VERDADERO	VERDADERO
P11	16	ELU_SISMO_Z_T0	Combination	145.9	4.7	6.7	VERDADERO	VERDADERO
P11	16	ELU_SISMO_X_TI	Combination	115.0	4.2	6.1	VERDADERO	VERDADERO
P11	16	ELU_SISMO_X_TI	Combination	132.7	4.7	6.7	VERDADERO	VERDADERO
P11	16	ELU_SISMO_Y_TI	Combination	90.6	14.4	16.9	VERDADERO	VERDADERO
P11	16	ELU_SISMO_Y_TI	Combination	157.0	15.0	12.7	VERDADERO	VERDADERO
P11	16	ELU_SISMO_Z_TI	Combination	114.5	4.2	6.1	VERDADERO	VERDADERO
P11	16	ELU_SISMO_Z_TI	Combination	133.2	4.7	6.7	VERDADERO	VERDADERO

## PASARELA UCA. MICROPILOTES PILAS 3,4,5,10 Y 11

### MICROPILOTES: COMPROBACIÓN ESTRUCTURAL EN SECCIÓN MAS SOLICITADA

SE PLANTEA EL SIGUIENTE CRITERIO DE INTERACCIÓN DE ESFUERZOS

$$M_d/M_{rd} + N_d/N_{rd} < 1 \text{ y } V_d < 0.5 \cdot V_{rd} \cdot (1 - N_d/N_{rd})$$

El que se cumpla la condición anterior es suficiente para que el punto quede dentro del diagrama de interacción representado en el artículo 6.3.6.5 de la RPX-95

#### Esfuerzos resistentes (según características micro)

Nrd (kN)	466.8	kN
Mrd	21.1	kN*m
Vrd	304.7	kN

VERDADERO VERDADERO

PILA	FRAME	OutputCase	CaseType	Nd	Vd	Md	Cumple 1	Cumple 2
Text	Text	Text	Text	KN	KN	KN-m		
P03	18	ELU_01_T0_Max	Combination	190.3	3.5	6.1	VERDADERO	VERDADERO
P03	18	ELU_01_T0_Min	Combination	124.6	0.8	0.4	VERDADERO	VERDADERO
P03	18	ELU_01_TINF_Ma	Combination	174.6	3.7	6.2	VERDADERO	VERDADERO
P03	18	ELU_01_TINF_Mi	Combination	108.9	1.2	0.9	VERDADERO	VERDADERO
P03	18	ELU_02_T0_Max	Combination	55.4	0.3	2.6	VERDADERO	VERDADERO
P03	18	ELU_02_T0_Min	Combination	28.7	1.4	0.0	VERDADERO	VERDADERO
P03	18	ELU_02_TINF_Ma	Combination	39.7	0.9	2.8	VERDADERO	VERDADERO
P03	18	ELU_02_TINF_Mi	Combination	13.0	1.6	0.8	VERDADERO	VERDADERO
P03	18	ELU_03_T0_Max	Combination	158.5	1.0	2.2	VERDADERO	VERDADERO
P03	18	ELU_03_T0_Min	Combination	131.3	0.7	0.4	VERDADERO	VERDADERO
P03	18	ELU_03_TINF_Ma	Combination	142.8	1.4	2.4	VERDADERO	VERDADERO
P03	18	ELU_03_TINF_Mi	Combination	115.6	1.1	0.9	VERDADERO	VERDADERO
P03	18	ELU_SISMO_X_T0	Combination	123.7	4.5	6.6	VERDADERO	VERDADERO
P03	18	ELU_SISMO_X_T0	Combination	143.7	5.1	7.3	VERDADERO	VERDADERO
P03	18	ELU_SISMO_Y_T0	Combination	99.4	15.8	15.0	VERDADERO	VERDADERO
P03	18	ELU_SISMO_Y_T0	Combination	167.9	16.4	12.5	VERDADERO	VERDADERO
P03	18	ELU_SISMO_Z_T0	Combination	123.7	4.5	6.6	VERDADERO	VERDADERO
P03	18	ELU_SISMO_Z_T0	Combination	143.7	5.1	7.3	VERDADERO	VERDADERO
P03	18	ELU_SISMO_X_TI	Combination	112.0	4.6	6.7	VERDADERO	VERDADERO
P03	18	ELU_SISMO_X_TI	Combination	132.0	5.1	7.3	VERDADERO	VERDADERO
P03	18	ELU_SISMO_Y_TI	Combination	87.8	15.8	16.7	VERDADERO	VERDADERO
P03	18	ELU_SISMO_Y_TI	Combination	156.3	16.4	13.9	VERDADERO	VERDADERO
P03	18	ELU_SISMO_Z_TI	Combination	112.0	4.6	6.7	VERDADERO	VERDADERO
P03	18	ELU_SISMO_Z_TI	Combination	132.0	5.1	7.3	VERDADERO	VERDADERO
P04	18	ELU_01_T0_Max	Combination	194.9	4.1	7.0	VERDADERO	VERDADERO
P04	18	ELU_01_T0_Min	Combination	125.2	0.2	0.5	VERDADERO	VERDADERO
P04	18	ELU_01_TINF_Ma	Combination	176.2	4.2	7.0	VERDADERO	VERDADERO
P04	18	ELU_01_TINF_Mi	Combination	106.6	0.7	0.8	VERDADERO	VERDADERO
P04	18	ELU_02_T0_Max	Combination	53.8	2.2	5.5	VERDADERO	VERDADERO
P04	18	ELU_02_T0_Min	Combination	25.3	0.5	2.9	VERDADERO	VERDADERO
P04	18	ELU_02_TINF_Ma	Combination	35.2	2.4	5.6	VERDADERO	VERDADERO
P04	18	ELU_02_TINF_Mi	Combination	6.6	0.8	3.0	VERDADERO	VERDADERO
P04	18	ELU_03_T0_Max	Combination	161.9	1.6	3.1	VERDADERO	VERDADERO
P04	18	ELU_03_T0_Min	Combination	132.6	0.2	0.5	VERDADERO	VERDADERO
P04	18	ELU_03_TINF_Ma	Combination	143.3	1.8	3.2	VERDADERO	VERDADERO
P04	18	ELU_03_TINF_Mi	Combination	114.0	0.8	0.8	VERDADERO	VERDADERO
P04	18	ELU_SISMO_X_T0	Combination	127.0	4.4	6.4	VERDADERO	VERDADERO
P04	18	ELU_SISMO_X_T0	Combination	146.5	5.0	7.1	VERDADERO	VERDADERO
P04	18	ELU_SISMO_Y_T0	Combination	100.6	15.3	16.2	VERDADERO	VERDADERO
P04	18	ELU_SISMO_Y_T0	Combination	172.9	15.9	12.2	VERDADERO	VERDADERO

## PASARELA UCA. MICROPILOTES PILAS 3,4,5,10 Y 11

### MICROPILOTES: COMPROBACIÓN ESTRUCTURAL EN SECCIÓN MAS SOLICITADA

SE PLANTEA EL SIGUIENTE CRITERIO DE INTERACCIÓN DE ESFUERZOS

$$M_d/M_{rd} + N_d/N_{rd} < 1 \text{ y } V_d < 0.5 \cdot V_{rd} \cdot (1 - N_d/N_{rd})$$

El que se cumpla la condición anterior es suficiente para que el punto quede dentro del diagrama de interacción representado en el artículo 6.3.6.5 de la RPX-95

#### Esfuerzos resistentes (según características micro)

Nrd (kN)	466.8	kN
Mrd	21.1	kN*m
Vrd	304.7	kN

VERDADERO VERDADERO

PILA	FRAME	OutputCase	CaseType	Nd	Vd	Md	Cumple 1	Cumple 2
Text	Text	Text	Text	KN	KN	KN-m		
P04	18	ELU_SISMO_Z_T0	Combination	126.5	4.4	6.4	VERDADERO	VERDADERO
P04	18	ELU_SISMO_Z_T0	Combination	147.0	5.0	7.1	VERDADERO	VERDADERO
P04	18	ELU_SISMO_X_TI	Combination	113.2	4.4	6.5	VERDADERO	VERDADERO
P04	18	ELU_SISMO_X_TI	Combination	132.7	5.0	7.1	VERDADERO	VERDADERO
P04	18	ELU_SISMO_Y_TI	Combination	86.8	15.3	16.2	VERDADERO	VERDADERO
P04	18	ELU_SISMO_Y_TI	Combination	159.1	15.9	13.5	VERDADERO	VERDADERO
P04	18	ELU_SISMO_Z_TI	Combination	112.7	4.4	6.5	VERDADERO	VERDADERO
P04	18	ELU_SISMO_Z_TI	Combination	133.2	5.0	7.1	VERDADERO	VERDADERO
P05	18	ELU_01_T0_Max	Combination	197.7	4.6	7.5	VERDADERO	VERDADERO
P05	18	ELU_01_T0_Min	Combination	106.5	0.5	1.4	VERDADERO	VERDADERO
P05	18	ELU_01_TINF_Ma	Combination	177.4	4.7	7.6	VERDADERO	VERDADERO
P05	18	ELU_01_TINF_Mi	Combination	86.2	0.8	1.5	VERDADERO	VERDADERO
P05	18	ELU_02_T0_Max	Combination	58.2	4.1	8.0	VERDADERO	VERDADERO
P05	18	ELU_02_T0_Min	Combination	18.4	2.4	5.5	VERDADERO	VERDADERO
P05	18	ELU_02_TINF_Ma	Combination	37.9	4.1	8.0	VERDADERO	VERDADERO
P05	18	ELU_02_TINF_Mi	Combination	-1.9	2.5	5.6	VERDADERO	VERDADERO
P05	18	ELU_03_T0_Max	Combination	162.3	2.1	3.8	VERDADERO	VERDADERO
P05	18	ELU_03_T0_Min	Combination	119.0	0.5	1.4	VERDADERO	VERDADERO
P05	18	ELU_03_TINF_Ma	Combination	142.0	2.2	3.9	VERDADERO	VERDADERO
P05	18	ELU_03_TINF_Mi	Combination	98.7	0.8	1.4	VERDADERO	VERDADERO
P05	18	ELU_SISMO_X_T0	Combination	135.7	3.6	5.3	VERDADERO	VERDADERO
P05	18	ELU_SISMO_X_T0	Combination	128.5	4.2	6.0	VERDADERO	VERDADERO
P05	18	ELU_SISMO_Y_T0	Combination	102.8	12.8	15.1	VERDADERO	VERDADERO
P05	18	ELU_SISMO_Y_T0	Combination	161.3	13.4	12.7	VERDADERO	VERDADERO
P05	18	ELU_SISMO_Z_T0	Combination	127.3	3.6	5.3	VERDADERO	VERDADERO
P05	18	ELU_SISMO_Z_T0	Combination	136.8	4.2	6.0	VERDADERO	VERDADERO
P05	18	ELU_SISMO_X_TI	Combination	120.6	3.7	5.4	VERDADERO	VERDADERO
P05	18	ELU_SISMO_X_TI	Combination	113.4	4.2	6.0	VERDADERO	VERDADERO
P05	18	ELU_SISMO_Y_TI	Combination	87.8	12.9	16.8	VERDADERO	VERDADERO
P05	18	ELU_SISMO_Y_TI	Combination	146.3	13.4	14.1	VERDADERO	VERDADERO
P05	18	ELU_SISMO_Z_TI	Combination	112.2	3.7	5.4	VERDADERO	VERDADERO
P05	18	ELU_SISMO_Z_TI	Combination	121.8	4.2	6.0	VERDADERO	VERDADERO
P10	18	ELU_01_T0_Max	Combination	200.5	4.3	7.2	VERDADERO	VERDADERO
P10	18	ELU_01_T0_Min	Combination	108.0	0.5	1.3	VERDADERO	VERDADERO
P10	18	ELU_01_TINF_Ma	Combination	222.3	4.3	7.1	VERDADERO	VERDADERO
P10	18	ELU_01_TINF_Mi	Combination	129.8	0.5	1.3	VERDADERO	VERDADERO
P10	18	ELU_02_T0_Max	Combination	61.7	3.8	7.6	VERDADERO	VERDADERO
P10	18	ELU_02_T0_Min	Combination	21.9	2.3	5.2	VERDADERO	VERDADERO
P10	18	ELU_02_TINF_Ma	Combination	83.5	3.8	7.5	VERDADERO	VERDADERO
P10	18	ELU_02_TINF_Mi	Combination	43.7	2.3	5.2	VERDADERO	VERDADERO

## PASARELA UCA. MICROPILOTES PILAS 3,4,5,10 Y 11

### MICROPILOTES: COMPROBACIÓN ESTRUCTURAL EN SECCIÓN MAS SOLICITADA

SE PLANTEA EL SIGUIENTE CRITERIO DE INTERACCIÓN DE ESFUERZOS

$$M_d/M_{rd} + N_d/N_{rd} < 1 \text{ y } V_d < 0.5 \cdot V_{rd} \cdot (1 - N_d/N_{rd})$$

El que se cumpla la condición anterior es suficiente para que el punto quede dentro del diagrama de interacción representado en el artículo 6.3.6.5 de la RPX-95

#### Esfuerzos resistentes (según características micro)

Nrd (kN)	466.8	kN
Mrd	21.1	kN*m
Vrd	304.7	kN

VERDADERO VERDADERO

PILA	FRAME	OutputCase	CaseType	Nd	Vd	Md	Cumple 1	Cumple 2
Text	Text	Text	Text	KN	KN	KN-m		
P10	18	ELU_03_T0_Max	Combination	164.0	2.0	3.6	VERDADERO	VERDADERO
P10	18	ELU_03_T0_Min	Combination	120.8	0.5	1.3	VERDADERO	VERDADERO
P10	18	ELU_03_TINF_Ma	Combination	185.8	1.9	3.5	VERDADERO	VERDADERO
P10	18	ELU_03_TINF_Mi	Combination	142.6	0.5	1.2	VERDADERO	VERDADERO
P10	18	ELU_SISMO_X_T0	Combination	137.5	3.5	5.1	VERDADERO	VERDADERO
P10	18	ELU_SISMO_X_T0	Combination	127.5	4.1	5.8	VERDADERO	VERDADERO
P10	18	ELU_SISMO_Y_T0	Combination	105.0	12.3	16.1	VERDADERO	VERDADERO
P10	18	ELU_SISMO_Y_T0	Combination	160.0	12.9	13.5	VERDADERO	VERDADERO
P10	18	ELU_SISMO_Z_T0	Combination	128.4	3.5	5.1	VERDADERO	VERDADERO
P10	18	ELU_SISMO_Z_T0	Combination	136.6	4.1	5.8	VERDADERO	VERDADERO
P10	18	ELU_SISMO_X_TI	Combination	153.7	3.5	5.0	VERDADERO	VERDADERO
P10	18	ELU_SISMO_X_TI	Combination	143.7	4.1	5.8	VERDADERO	VERDADERO
P10	18	ELU_SISMO_Y_TI	Combination	121.2	12.3	14.4	VERDADERO	VERDADERO
P10	18	ELU_SISMO_Y_TI	Combination	176.2	12.9	12.2	VERDADERO	VERDADERO
P10	18	ELU_SISMO_Z_TI	Combination	144.6	3.5	5.1	VERDADERO	VERDADERO
P10	18	ELU_SISMO_Z_TI	Combination	152.8	4.1	5.8	VERDADERO	VERDADERO
P11	18	ELU_01_T0_Max	Combination	197.0	4.0	6.8	VERDADERO	VERDADERO
P11	18	ELU_01_T0_Min	Combination	126.7	0.4	0.3	VERDADERO	VERDADERO
P11	18	ELU_01_TINF_Ma	Combination	215.2	4.0	6.8	VERDADERO	VERDADERO
P11	18	ELU_01_TINF_Mi	Combination	144.8	0.6	0.4	VERDADERO	VERDADERO
P11	18	ELU_02_T0_Max	Combination	60.4	1.7	4.7	VERDADERO	VERDADERO
P11	18	ELU_02_T0_Min	Combination	31.1	0.0	2.1	VERDADERO	VERDADERO
P11	18	ELU_02_TINF_Ma	Combination	78.5	1.8	4.7	VERDADERO	VERDADERO
P11	18	ELU_02_TINF_Mi	Combination	49.2	0.6	2.1	VERDADERO	VERDADERO
P11	18	ELU_03_T0_Max	Combination	164.4	1.5	2.9	VERDADERO	VERDADERO
P11	18	ELU_03_T0_Min	Combination	133.8	0.3	0.3	VERDADERO	VERDADERO
P11	18	ELU_03_TINF_Ma	Combination	182.5	1.5	2.9	VERDADERO	VERDADERO
P11	18	ELU_03_TINF_Mi	Combination	151.9	0.6	0.4	VERDADERO	VERDADERO
P11	18	ELU_SISMO_X_T0	Combination	127.7	4.1	6.0	VERDADERO	VERDADERO
P11	18	ELU_SISMO_X_T0	Combination	145.4	4.7	6.7	VERDADERO	VERDADERO
P11	18	ELU_SISMO_Y_T0	Combination	103.4	14.4	15.2	VERDADERO	VERDADERO
P11	18	ELU_SISMO_Y_T0	Combination	169.7	15.0	12.7	VERDADERO	VERDADERO
P11	18	ELU_SISMO_Z_T0	Combination	127.2	4.1	6.0	VERDADERO	VERDADERO
P11	18	ELU_SISMO_Z_T0	Combination	145.9	4.7	6.7	VERDADERO	VERDADERO
P11	18	ELU_SISMO_X_TI	Combination	141.1	4.1	6.0	VERDADERO	VERDADERO
P11	18	ELU_SISMO_X_TI	Combination	158.8	4.7	6.8	VERDADERO	VERDADERO
P11	18	ELU_SISMO_Y_TI	Combination	116.8	14.4	15.2	VERDADERO	VERDADERO
P11	18	ELU_SISMO_Y_TI	Combination	183.2	15.0	12.8	VERDADERO	VERDADERO
P11	18	ELU_SISMO_Z_TI	Combination	140.6	4.1	6.0	VERDADERO	VERDADERO
P11	18	ELU_SISMO_Z_TI	Combination	159.3	4.7	6.8	VERDADERO	VERDADERO



## PASARELA UCA. MICROPILOTES PILAS 3,4,5,10 Y 11

### MICROPILOTES: COMPROBACIÓN ESTRUCTURAL EN SECCIÓN MAS SOLICITADA

SE PLANTEA EL SIGUIENTE CRITERIO DE INTERACCIÓN DE ESFUERZOS

$$M_d/M_{rd} + N_d/N_{rd} < 1 \text{ y } V_d < 0.5 \cdot V_{rd} \cdot (1 - N_d/N_{rd})$$

El que se cumpla la condición anterior es suficiente para que el punto quede dentro del diagrama de interacción representado en el artículo 6.3.6.5 de la RPX-95

#### Esfuerzos resistentes (según características micro)

Nrd (kN)	466.8	kN
Mrd	21.1	kN*m
Vrd	304.7	kN

VERDADERO VERDADERO

PILA	FRAME	OutputCase	CaseType	Nd	Vd	Md	Cumple 1	Cumple 2
Text	Text	Text	Text	KN	KN	KN-m		
P03	20	ELU_01_T0_Max	Combination	333.1	4.7	5.4	VERDADERO	VERDADERO
P03	20	ELU_01_T0_Min	Combination	213.0	0.2	0.6	VERDADERO	VERDADERO
P03	20	ELU_01_TINF_Ma	Combination	317.4	4.8	6.1	VERDADERO	VERDADERO
P03	20	ELU_01_TINF_Mi	Combination	197.3	1.0	1.1	VERDADERO	VERDADERO
P03	20	ELU_02_T0_Max	Combination	371.0	1.3	3.8	VERDADERO	VERDADERO
P03	20	ELU_02_T0_Min	Combination	322.6	0.8	1.0	VERDADERO	VERDADERO
P03	20	ELU_02_TINF_Ma	Combination	355.3	1.6	3.9	VERDADERO	VERDADERO
P03	20	ELU_02_TINF_Mi	Combination	306.9	1.3	1.5	VERDADERO	VERDADERO
P03	20	ELU_03_T0_Max	Combination	268.5	1.9	3.4	VERDADERO	VERDADERO
P03	20	ELU_03_T0_Min	Combination	219.6	0.2	0.6	VERDADERO	VERDADERO
P03	20	ELU_03_TINF_Ma	Combination	252.8	2.2	3.5	VERDADERO	VERDADERO
P03	20	ELU_03_TINF_Mi	Combination	203.9	1.0	1.1	VERDADERO	VERDADERO
P03	20	ELU_SISMO_X_T0	Combination	144.3	5.1	7.3	VERDADERO	VERDADERO
P03	20	ELU_SISMO_X_T0	Combination	123.0	4.5	6.6	VERDADERO	VERDADERO
P03	20	ELU_SISMO_Y_T0	Combination	168.2	16.4	12.5	VERDADERO	VERDADERO
P03	20	ELU_SISMO_Y_T0	Combination	99.1	15.8	15.0	VERDADERO	VERDADERO
P03	20	ELU_SISMO_Z_T0	Combination	144.3	5.1	7.3	VERDADERO	VERDADERO
P03	20	ELU_SISMO_Z_T0	Combination	123.0	4.5	6.6	VERDADERO	VERDADERO
P03	20	ELU_SISMO_X_TI	Combination	132.7	5.1	7.3	VERDADERO	VERDADERO
P03	20	ELU_SISMO_X_TI	Combination	111.4	4.6	6.7	VERDADERO	VERDADERO
P03	20	ELU_SISMO_Y_TI	Combination	156.6	16.4	13.9	VERDADERO	VERDADERO
P03	20	ELU_SISMO_Y_TI	Combination	87.5	15.8	16.7	VERDADERO	VERDADERO
P03	20	ELU_SISMO_Z_TI	Combination	132.7	5.1	7.3	VERDADERO	VERDADERO
P03	20	ELU_SISMO_Z_TI	Combination	111.4	4.6	6.7	VERDADERO	VERDADERO
P04	20	ELU_01_T0_Max	Combination	342.1	5.3	5.5	VERDADERO	VERDADERO
P04	20	ELU_01_T0_Min	Combination	217.7	0.6	1.4	VERDADERO	VERDADERO
P04	20	ELU_01_TINF_Ma	Combination	323.4	5.3	6.1	VERDADERO	VERDADERO
P04	20	ELU_01_TINF_Mi	Combination	199.1	1.0	1.5	VERDADERO	VERDADERO
P04	20	ELU_02_T0_Max	Combination	383.3	3.2	3.5	VERDADERO	VERDADERO
P04	20	ELU_02_T0_Min	Combination	332.9	1.3	3.9	VERDADERO	VERDADERO
P04	20	ELU_02_TINF_Ma	Combination	364.7	3.3	4.4	VERDADERO	VERDADERO
P04	20	ELU_02_TINF_Mi	Combination	314.3	1.6	3.9	VERDADERO	VERDADERO
P04	20	ELU_03_T0_Max	Combination	276.1	2.5	4.3	VERDADERO	VERDADERO
P04	20	ELU_03_T0_Min	Combination	225.0	0.7	1.5	VERDADERO	VERDADERO
P04	20	ELU_03_TINF_Ma	Combination	257.5	2.7	4.3	VERDADERO	VERDADERO
P04	20	ELU_03_TINF_Mi	Combination	206.4	1.0	1.6	VERDADERO	VERDADERO
P04	20	ELU_SISMO_X_T0	Combination	149.0	5.0	7.1	VERDADERO	VERDADERO
P04	20	ELU_SISMO_X_T0	Combination	124.5	4.4	6.4	VERDADERO	VERDADERO
P04	20	ELU_SISMO_Y_T0	Combination	173.8	15.9	12.2	VERDADERO	VERDADERO
P04	20	ELU_SISMO_Y_T0	Combination	99.7	15.3	16.2	VERDADERO	VERDADERO

## PASARELA UCA. MICROPILOTES PILAS 3,4,5,10 Y 11

### MICROPILOTES: COMPROBACIÓN ESTRUCTURAL EN SECCIÓN MAS SOLICITADA

SE PLANTEA EL SIGUIENTE CRITERIO DE INTERACCIÓN DE ESFUERZOS

$$M_d/M_{rd} + N_d/N_{rd} < 1 \text{ y } V_d < 0.5 \cdot V_{rd} \cdot (1 - N_d/N_{rd})$$

El que se cumpla la condición anterior es suficiente para que el punto quede dentro del diagrama de interacción representado en el artículo 6.3.6.5 de la RPX-95

#### Esfuerzos resistentes (según características micro)

Nrd (kN)	466.8	kN
Mrd	21.1	kN*m
Vrd	304.7	kN

VERDADERO VERDADERO

PILA	FRAME	OutputCase	CaseType	Nd	Vd	Md	Cumple 1	Cumple 2
Text	Text	Text	Text	KN	KN	KN-m		
P04	20	ELU_SISMO_Z_TO	Combination	148.5	5.0	7.1	VERDADERO	VERDADERO
P04	20	ELU_SISMO_Z_TO	Combination	125.0	4.4	6.4	VERDADERO	VERDADERO
P04	20	ELU_SISMO_X_TI	Combination	135.2	5.0	7.1	VERDADERO	VERDADERO
P04	20	ELU_SISMO_X_TI	Combination	110.7	4.5	6.5	VERDADERO	VERDADERO
P04	20	ELU_SISMO_Y_TI	Combination	160.1	15.9	13.5	VERDADERO	VERDADERO
P04	20	ELU_SISMO_Y_TI	Combination	85.9	15.3	16.2	VERDADERO	VERDADERO
P04	20	ELU_SISMO_Z_TI	Combination	134.7	5.0	7.1	VERDADERO	VERDADERO
P04	20	ELU_SISMO_Z_TI	Combination	111.2	4.4	6.5	VERDADERO	VERDADERO
P05	20	ELU_01_TO_Max	Combination	338.7	5.7	5.3	VERDADERO	VERDADERO
P05	20	ELU_01_TO_Min	Combination	194.5	1.2	2.2	VERDADERO	VERDADERO
P05	20	ELU_01_TINF_Ma	Combination	318.4	5.8	6.5	VERDADERO	VERDADERO
P05	20	ELU_01_TINF_Mi	Combination	174.2	1.3	2.2	VERDADERO	VERDADERO
P05	20	ELU_02_TO_Max	Combination	372.9	5.0	4.4	FALSO	VERDADERO
P05	20	ELU_02_TO_Min	Combination	312.0	3.2	6.4	VERDADERO	VERDADERO
P05	20	ELU_02_TINF_Ma	Combination	352.6	5.0	4.8	VERDADERO	VERDADERO
P05	20	ELU_02_TINF_Mi	Combination	291.7	3.2	6.4	VERDADERO	VERDADERO
P05	20	ELU_03_TO_Max	Combination	271.6	3.0	5.0	VERDADERO	VERDADERO
P05	20	ELU_03_TO_Min	Combination	207.0	1.2	2.2	VERDADERO	VERDADERO
P05	20	ELU_03_TINF_Ma	Combination	251.3	3.1	4.9	VERDADERO	VERDADERO
P05	20	ELU_03_TINF_Mi	Combination	186.7	1.3	2.2	VERDADERO	VERDADERO
P05	20	ELU_SISMO_X_TO	Combination	155.8	4.2	6.1	VERDADERO	VERDADERO
P05	20	ELU_SISMO_X_TO	Combination	108.3	3.7	5.4	VERDADERO	VERDADERO
P05	20	ELU_SISMO_Y_TO	Combination	170.1	13.4	12.7	VERDADERO	VERDADERO
P05	20	ELU_SISMO_Y_TO	Combination	94.0	12.8	16.8	VERDADERO	VERDADERO
P05	20	ELU_SISMO_Z_TO	Combination	147.5	4.2	6.1	VERDADERO	VERDADERO
P05	20	ELU_SISMO_Z_TO	Combination	116.6	3.7	5.4	VERDADERO	VERDADERO
P05	20	ELU_SISMO_X_TI	Combination	140.8	4.2	6.0	VERDADERO	VERDADERO
P05	20	ELU_SISMO_X_TI	Combination	93.2	3.8	5.4	VERDADERO	VERDADERO
P05	20	ELU_SISMO_Y_TI	Combination	155.0	13.4	14.1	VERDADERO	VERDADERO
P05	20	ELU_SISMO_Y_TI	Combination	79.0	12.9	16.8	VERDADERO	VERDADERO
P05	20	ELU_SISMO_Z_TI	Combination	132.4	4.2	6.0	VERDADERO	VERDADERO
P05	20	ELU_SISMO_Z_TI	Combination	101.6	3.7	5.4	VERDADERO	VERDADERO
P10	20	ELU_01_TO_Max	Combination	336.7	5.5	5.6	VERDADERO	VERDADERO
P10	20	ELU_01_TO_Min	Combination	194.6	1.1	2.1	VERDADERO	VERDADERO
P10	20	ELU_01_TINF_Ma	Combination	358.5	5.5	4.6	VERDADERO	VERDADERO
P10	20	ELU_01_TINF_Mi	Combination	216.4	1.2	2.2	VERDADERO	VERDADERO
P10	20	ELU_02_TO_Max	Combination	370.1	4.8	4.2	VERDADERO	VERDADERO
P10	20	ELU_02_TO_Min	Combination	310.3	3.0	6.1	VERDADERO	VERDADERO
P10	20	ELU_02_TINF_Ma	Combination	391.9	4.8	3.2	VERDADERO	VERDADERO
P10	20	ELU_02_TINF_Mi	Combination	332.1	3.0	5.6	VERDADERO	VERDADERO

## PASARELA UCA. MICROPILOTES PILAS 3,4,5,10 Y 11

### MICROPILOTES: COMPROBACIÓN ESTRUCTURAL EN SECCIÓN MAS SOLICITADA

SE PLANTEA EL SIGUIENTE CRITERIO DE INTERACCIÓN DE ESFUERZOS

$$M_d/M_{rd} + N_d/N_{rd} < 1 \text{ y } V_d < 0.5 \cdot V_{rd} \cdot (1 - N_d/N_{rd})$$

El que se cumpla la condición anterior es suficiente para que el punto quede dentro del diagrama de interacción representado en el artículo 6.3.6.5 de la RPX-95

#### Esfuerzos resistentes (según características micro)

Nrd (kN)	466.8	kN
Mrd	21.1	kN*m
Vrd	304.7	kN

VERDADERO VERDADERO

PILA	FRAME	OutputCase	CaseType	Nd	Vd	Md	Cumple 1	Cumple 2
Text	Text	Text	Text	KN	KN	KN-m		
P10	20	ELU_03_T0_Max	Combination	270.4	2.9	4.8	VERDADERO	VERDADERO
P10	20	ELU_03_T0_Min	Combination	207.4	1.2	2.2	VERDADERO	VERDADERO
P10	20	ELU_03_TINF_Ma	Combination	292.2	3.0	4.8	VERDADERO	VERDADERO
P10	20	ELU_03_TINF_Mi	Combination	229.2	1.2	2.2	VERDADERO	VERDADERO
P10	20	ELU_SISMO_X_T0	Combination	156.8	4.1	5.9	VERDADERO	VERDADERO
P10	20	ELU_SISMO_X_T0	Combination	108.2	3.5	5.2	VERDADERO	VERDADERO
P10	20	ELU_SISMO_Y_T0	Combination	169.3	12.9	12.2	VERDADERO	VERDADERO
P10	20	ELU_SISMO_Y_T0	Combination	95.7	12.3	16.1	VERDADERO	VERDADERO
P10	20	ELU_SISMO_Z_T0	Combination	147.7	4.1	5.8	VERDADERO	VERDADERO
P10	20	ELU_SISMO_Z_T0	Combination	117.3	3.5	5.1	VERDADERO	VERDADERO
P10	20	ELU_SISMO_X_TI	Combination	173.0	4.1	5.9	VERDADERO	VERDADERO
P10	20	ELU_SISMO_X_TI	Combination	124.4	3.5	5.1	VERDADERO	VERDADERO
P10	20	ELU_SISMO_Y_TI	Combination	185.5	12.9	12.2	VERDADERO	VERDADERO
P10	20	ELU_SISMO_Y_TI	Combination	111.8	12.3	14.5	VERDADERO	VERDADERO
P10	20	ELU_SISMO_Z_TI	Combination	163.9	4.1	5.9	VERDADERO	VERDADERO
P10	20	ELU_SISMO_Z_TI	Combination	133.5	3.5	5.1	VERDADERO	VERDADERO
P11	20	ELU_01_T0_Max	Combination	341.2	5.2	5.4	VERDADERO	VERDADERO
P11	20	ELU_01_T0_Min	Combination	215.5	0.5	1.1	VERDADERO	VERDADERO
P11	20	ELU_01_TINF_Ma	Combination	359.3	5.2	4.4	VERDADERO	VERDADERO
P11	20	ELU_01_TINF_Mi	Combination	233.6	0.6	1.2	VERDADERO	VERDADERO
P11	20	ELU_02_T0_Max	Combination	377.5	2.7	3.9	VERDADERO	VERDADERO
P11	20	ELU_02_T0_Min	Combination	326.1	0.8	3.0	VERDADERO	VERDADERO
P11	20	ELU_02_TINF_Ma	Combination	395.7	2.7	3.1	VERDADERO	VERDADERO
P11	20	ELU_02_TINF_Mi	Combination	344.2	0.9	3.1	VERDADERO	VERDADERO
P11	20	ELU_03_T0_Max	Combination	275.1	2.4	4.1	VERDADERO	VERDADERO
P11	20	ELU_03_T0_Min	Combination	222.3	0.5	1.2	VERDADERO	VERDADERO
P11	20	ELU_03_TINF_Ma	Combination	293.3	2.5	4.1	VERDADERO	VERDADERO
P11	20	ELU_03_TINF_Mi	Combination	240.5	0.7	1.3	VERDADERO	VERDADERO
P11	20	ELU_SISMO_X_T0	Combination	147.9	4.7	6.7	VERDADERO	VERDADERO
P11	20	ELU_SISMO_X_T0	Combination	125.2	4.1	6.0	VERDADERO	VERDADERO
P11	20	ELU_SISMO_Y_T0	Combination	170.6	15.0	12.8	VERDADERO	VERDADERO
P11	20	ELU_SISMO_Y_T0	Combination	102.4	14.4	15.2	VERDADERO	VERDADERO
P11	20	ELU_SISMO_Z_T0	Combination	147.4	4.7	6.7	VERDADERO	VERDADERO
P11	20	ELU_SISMO_Z_T0	Combination	125.7	4.1	6.0	VERDADERO	VERDADERO
P11	20	ELU_SISMO_X_TI	Combination	161.3	4.7	6.8	VERDADERO	VERDADERO
P11	20	ELU_SISMO_X_TI	Combination	138.6	4.1	6.0	VERDADERO	VERDADERO
P11	20	ELU_SISMO_Y_TI	Combination	184.1	15.0	12.8	VERDADERO	VERDADERO
P11	20	ELU_SISMO_Y_TI	Combination	115.9	14.4	15.2	VERDADERO	VERDADERO
P11	20	ELU_SISMO_Z_TI	Combination	160.8	4.7	6.8	VERDADERO	VERDADERO
P11	20	ELU_SISMO_Z_TI	Combination	139.1	4.1	6.0	VERDADERO	VERDADERO



## PASARELA UCA. MICROPILOTES PILAS 6 Y 9

### MICROPILOTES: COMPROBACIÓN ESTRUCTURAL EN SECCIÓN MAS SOLICITADA

SE PLANTEA EL SIGUIENTE CRITERIO DE INTERACCIÓN DE ESFUERZOS

$$M_d/M_{rd} + N_d/N_{rd} < 1 \text{ y } V_d < 0.5 \cdot V_{rd} \cdot (1 - N_d/N_{rd})$$

El que se cumpla la condición anterior es suficiente para que el punto quede dentro del diagrama de interacción representado en el artículo 6.3.6.5 de la RPX-95

#### Esfuerzos resistentes (según características micro)

Nrd (kN)	466.8	kN
Mrd	21.1	kN*m
Vrd	304.7	kN

VERDADERO VERDADERO

PILA	FRAME	OutputCase	CaseType	Nd	Vd	Md	Cumple 1	Cumple 2
Text	Text	Text	Text	KN	KN	KN-m		
P06	14	ELU_01_T0_Max	Combination	389.9	4.5	3.2	VERDADERO	VERDADERO
P06	14	ELU_01_T0_Min	Combination	209.6	0.7	1.2	VERDADERO	VERDADERO
P06	14	ELU_01_TINF_Ma	Combination	406.8	4.5	2.6	VERDADERO	VERDADERO
P06	14	ELU_01_TINF_Mi	Combination	226.5	1.1	1.5	VERDADERO	VERDADERO
P06	14	ELU_02_T0_Max	Combination	380.6	2.8	3.7	VERDADERO	VERDADERO
P06	14	ELU_02_T0_Min	Combination	297.3	1.3	2.8	VERDADERO	VERDADERO
P06	14	ELU_02_TINF_Ma	Combination	397.5	2.9	3.0	VERDADERO	VERDADERO
P06	14	ELU_02_TINF_Mi	Combination	314.2	1.5	2.9	VERDADERO	VERDADERO
P06	14	ELU_03_T0_Max	Combination	316.2	2.3	3.4	VERDADERO	VERDADERO
P06	14	ELU_03_T0_Min	Combination	220.4	0.7	1.2	VERDADERO	VERDADERO
P06	14	ELU_03_TINF_Ma	Combination	333.1	2.4	3.5	VERDADERO	VERDADERO
P06	14	ELU_03_TINF_Mi	Combination	237.3	1.1	1.6	VERDADERO	VERDADERO
P06	14	ELU_SISMO_X_T0	Combination	170.2	3.0	4.1	VERDADERO	VERDADERO
P06	14	ELU_SISMO_X_T0	Combination	143.8	2.3	3.2	VERDADERO	VERDADERO
P06	14	ELU_SISMO_Y_T0	Combination	181.5	8.7	12.2	VERDADERO	VERDADERO
P06	14	ELU_SISMO_Y_T0	Combination	132.6	8.0	11.3	VERDADERO	VERDADERO
P06	14	ELU_SISMO_Z_T0	Combination	168.8	2.9	4.0	VERDADERO	VERDADERO
P06	14	ELU_SISMO_Z_T0	Combination	145.3	2.2	3.1	VERDADERO	VERDADERO
P06	14	ELU_SISMO_X_TI	Combination	182.8	2.9	4.0	VERDADERO	VERDADERO
P06	14	ELU_SISMO_X_TI	Combination	156.4	2.6	3.5	VERDADERO	VERDADERO
P06	14	ELU_SISMO_Y_TI	Combination	194.0	8.7	12.2	VERDADERO	VERDADERO
P06	14	ELU_SISMO_Y_TI	Combination	145.1	8.1	11.4	VERDADERO	VERDADERO
P06	14	ELU_SISMO_Z_TI	Combination	181.3	2.9	4.0	VERDADERO	VERDADERO
P06	14	ELU_SISMO_Z_TI	Combination	157.8	2.3	3.3	VERDADERO	VERDADERO
P09	14	ELU_01_T0_Max	Combination	389.7	4.5	3.2	VERDADERO	VERDADERO
P09	14	ELU_01_T0_Min	Combination	209.3	0.7	1.2	VERDADERO	VERDADERO
P09	14	ELU_01_TINF_Ma	Combination	369.9	4.7	4.0	VERDADERO	VERDADERO
P09	14	ELU_01_TINF_Mi	Combination	189.6	1.5	1.9	VERDADERO	VERDADERO
P09	14	ELU_02_T0_Max	Combination	380.1	2.8	3.6	VERDADERO	VERDADERO
P09	14	ELU_02_T0_Min	Combination	297.0	1.2	2.8	VERDADERO	VERDADERO
P09	14	ELU_02_TINF_Ma	Combination	360.3	3.2	4.7	VERDADERO	VERDADERO
P09	14	ELU_02_TINF_Mi	Combination	277.3	1.9	3.2	VERDADERO	VERDADERO
P09	14	ELU_03_T0_Max	Combination	315.5	2.3	3.4	VERDADERO	VERDADERO
P09	14	ELU_03_T0_Min	Combination	220.3	0.7	1.2	VERDADERO	VERDADERO
P09	14	ELU_03_TINF_Ma	Combination	295.8	2.7	3.8	VERDADERO	VERDADERO
P09	14	ELU_03_TINF_Mi	Combination	200.5	1.5	1.9	VERDADERO	VERDADERO
P09	14	ELU_SISMO_X_T0	Combination	170.1	2.9	4.0	VERDADERO	VERDADERO
P09	14	ELU_SISMO_X_T0	Combination	143.4	2.2	3.1	VERDADERO	VERDADERO

## PASARELA UCA. MICROPILOTES PILAS 6 Y 9

### MICROPILOTES: COMPROBACIÓN ESTRUCTURAL EN SECCIÓN MAS SOLICITADA

SE PLANTEA EL SIGUIENTE CRITERIO DE INTERACCIÓN DE ESFUERZOS

$$M_d/M_{rd} + N_d/N_{rd} < 1 \text{ y } V_d < 0.5 \cdot V_{rd} \cdot (1 - N_d/N_{rd})$$

El que se cumpla la condición anterior es suficiente para que el punto quede dentro del diagrama de interacción representado en el artículo 6.3.6.5 de la RPX-95

#### Esfuerzos resistentes (según características micro)

Nrd (kN)	466.8	kN
Mrd	21.1	kN*m
Vrd	304.7	kN

VERDADERO VERDADERO

PILA	FRAME	OutputCase	CaseType	Nd	Vd	Md	Cumple 1	Cumple 2
Text	Text	Text	Text	KN	KN	KN-m		
P09	14	ELU_SISMO_Y_T0	Combination	180.5	8.6	11.9	VERDADERO	VERDADERO
P09	14	ELU_SISMO_Y_T0	Combination	132.9	7.9	11.1	VERDADERO	VERDADERO
P09	14	ELU_SISMO_Z_T0	Combination	168.2	2.8	3.9	VERDADERO	VERDADERO
P09	14	ELU_SISMO_Z_T0	Combination	145.2	2.1	3.1	VERDADERO	VERDADERO
P09	14	ELU_SISMO_X_TI	Combination	155.4	3.3	4.3	VERDADERO	VERDADERO
P09	14	ELU_SISMO_X_TI	Combination	128.7	2.2	3.1	VERDADERO	VERDADERO
P09	14	ELU_SISMO_Y_TI	Combination	165.9	8.6	12.0	VERDADERO	VERDADERO
P09	14	ELU_SISMO_Y_TI	Combination	118.3	7.9	11.2	VERDADERO	VERDADERO
P09	14	ELU_SISMO_Z_TI	Combination	153.6	3.1	4.1	VERDADERO	VERDADERO
P09	14	ELU_SISMO_Z_TI	Combination	130.6	2.3	3.2	VERDADERO	VERDADERO
P06	16	ELU_01_T0_Max	Combination	288.9	3.0	4.8	VERDADERO	VERDADERO
P06	16	ELU_01_T0_Min	Combination	147.8	0.2	0.3	VERDADERO	VERDADERO
P06	16	ELU_01_TINF_Ma	Combination	305.8	3.1	4.8	VERDADERO	VERDADERO
P06	16	ELU_01_TINF_Mi	Combination	164.8	1.0	1.1	VERDADERO	VERDADERO
P06	16	ELU_02_T0_Max	Combination	159.0	1.6	3.6	VERDADERO	VERDADERO
P06	16	ELU_02_T0_Min	Combination	91.4	0.4	1.8	VERDADERO	VERDADERO
P06	16	ELU_02_TINF_Ma	Combination	175.9	1.9	3.7	VERDADERO	VERDADERO
P06	16	ELU_02_TINF_Mi	Combination	108.3	1.1	2.1	VERDADERO	VERDADERO
P06	16	ELU_03_T0_Max	Combination	238.7	1.1	2.0	VERDADERO	VERDADERO
P06	16	ELU_03_T0_Min	Combination	158.7	0.2	0.3	VERDADERO	VERDADERO
P06	16	ELU_03_TINF_Ma	Combination	255.6	1.4	2.1	VERDADERO	VERDADERO
P06	16	ELU_03_TINF_Mi	Combination	175.6	1.0	1.1	VERDADERO	VERDADERO
P06	16	ELU_SISMO_X_T0	Combination	157.2	2.3	3.2	VERDADERO	VERDADERO
P06	16	ELU_SISMO_X_T0	Combination	156.9	2.9	3.9	VERDADERO	VERDADERO
P06	16	ELU_SISMO_Y_T0	Combination	138.1	8.0	11.3	VERDADERO	VERDADERO
P06	16	ELU_SISMO_Y_T0	Combination	176.0	8.7	12.1	VERDADERO	VERDADERO
P06	16	ELU_SISMO_Z_T0	Combination	155.8	2.2	3.1	VERDADERO	VERDADERO
P06	16	ELU_SISMO_Z_T0	Combination	158.3	2.8	3.9	VERDADERO	VERDADERO
P06	16	ELU_SISMO_X_TI	Combination	169.8	2.1	3.1	VERDADERO	VERDADERO
P06	16	ELU_SISMO_X_TI	Combination	169.4	3.1	4.2	VERDADERO	VERDADERO
P06	16	ELU_SISMO_Y_TI	Combination	150.6	8.0	11.3	VERDADERO	VERDADERO
P06	16	ELU_SISMO_Y_TI	Combination	188.5	8.7	12.2	VERDADERO	VERDADERO
P06	16	ELU_SISMO_Z_TI	Combination	168.3	2.2	3.1	VERDADERO	VERDADERO
P06	16	ELU_SISMO_Z_TI	Combination	170.9	3.0	4.1	VERDADERO	VERDADERO
P09	16	ELU_01_T0_Max	Combination	287.8	3.0	4.8	VERDADERO	VERDADERO
P09	16	ELU_01_T0_Min	Combination	147.6	0.2	0.3	VERDADERO	VERDADERO
P09	16	ELU_01_TINF_Ma	Combination	268.0	3.4	5.1	VERDADERO	VERDADERO
P09	16	ELU_01_TINF_Mi	Combination	127.8	1.3	1.5	VERDADERO	VERDADERO

## PASARELA UCA. MICROPILOTES PILAS 6 Y 9

### MICROPILOTES: COMPROBACIÓN ESTRUCTURAL EN SECCIÓN MAS SOLICITADA

SE PLANTEA EL SIGUIENTE CRITERIO DE INTERACCIÓN DE ESFUERZOS

$$M_d/M_{rd} + N_d/N_{rd} < 1 \text{ y } V_d < 0.5 \cdot V_{rd} \cdot (1 - N_d/N_{rd})$$

El que se cumpla la condición anterior es suficiente para que el punto quede dentro del diagrama de interacción representado en el artículo 6.3.6.5 de la RPX-95

#### Esfuerzos resistentes (según características micro)

Nrd (kN)	466.8	kN
Mrd	21.1	kN*m
Vrd	304.7	kN

VERDADERO VERDADERO

PILA	FRAME	OutputCase	CaseType	Nd	Vd	Md	Cumple 1	Cumple 2
Text	Text	Text	Text	KN	KN	KN-m		
P09	16	ELU_02_T0_Max	Combination	158.2	1.6	3.5	VERDADERO	VERDADERO
P09	16	ELU_02_T0_Min	Combination	91.2	0.4	1.7	VERDADERO	VERDADERO
P09	16	ELU_02_TINF_Ma	Combination	138.4	2.1	3.9	VERDADERO	VERDADERO
P09	16	ELU_02_TINF_Mi	Combination	71.4	1.3	2.2	VERDADERO	VERDADERO
P09	16	ELU_03_T0_Max	Combination	237.7	1.1	2.0	VERDADERO	VERDADERO
P09	16	ELU_03_T0_Min	Combination	158.5	0.2	0.3	VERDADERO	VERDADERO
P09	16	ELU_03_TINF_Ma	Combination	217.9	1.8	2.5	VERDADERO	VERDADERO
P09	16	ELU_03_TINF_Mi	Combination	138.7	1.3	1.5	VERDADERO	VERDADERO
P09	16	ELU_SISMO_X_T0	Combination	157.5	2.2	3.2	VERDADERO	VERDADERO
P09	16	ELU_SISMO_X_T0	Combination	155.9	2.8	3.9	VERDADERO	VERDADERO
P09	16	ELU_SISMO_Y_T0	Combination	138.6	7.9	11.1	VERDADERO	VERDADERO
P09	16	ELU_SISMO_Y_T0	Combination	174.9	8.5	11.9	VERDADERO	VERDADERO
P09	16	ELU_SISMO_Z_T0	Combination	155.6	2.1	3.1	VERDADERO	VERDADERO
P09	16	ELU_SISMO_Z_T0	Combination	157.8	2.8	3.8	VERDADERO	VERDADERO
P09	16	ELU_SISMO_X_TI	Combination	142.9	2.7	3.6	VERDADERO	VERDADERO
P09	16	ELU_SISMO_X_TI	Combination	141.3	2.8	3.8	VERDADERO	VERDADERO
P09	16	ELU_SISMO_Y_TI	Combination	123.9	8.0	11.2	VERDADERO	VERDADERO
P09	16	ELU_SISMO_Y_TI	Combination	160.2	8.6	11.9	VERDADERO	VERDADERO
P09	16	ELU_SISMO_Z_TI	Combination	141.0	2.4	3.3	VERDADERO	VERDADERO
P09	16	ELU_SISMO_Z_TI	Combination	143.2	2.9	3.9	VERDADERO	VERDADERO
P06	18	ELU_01_T0_Max	Combination	288.9	3.0	4.8	VERDADERO	VERDADERO
P06	18	ELU_01_T0_Min	Combination	147.8	0.2	0.3	VERDADERO	VERDADERO
P06	18	ELU_01_TINF_Ma	Combination	269.0	3.3	5.1	VERDADERO	VERDADERO
P06	18	ELU_01_TINF_Mi	Combination	128.0	1.3	1.5	VERDADERO	VERDADERO
P06	18	ELU_02_T0_Max	Combination	159.0	1.6	3.6	VERDADERO	VERDADERO
P06	18	ELU_02_T0_Min	Combination	91.4	0.4	1.8	VERDADERO	VERDADERO
P06	18	ELU_02_TINF_Ma	Combination	139.2	2.1	3.9	VERDADERO	VERDADERO
P06	18	ELU_02_TINF_Mi	Combination	71.6	1.3	2.3	VERDADERO	VERDADERO
P06	18	ELU_03_T0_Max	Combination	238.7	1.1	2.0	VERDADERO	VERDADERO
P06	18	ELU_03_T0_Min	Combination	158.7	0.2	0.3	VERDADERO	VERDADERO
P06	18	ELU_03_TINF_Ma	Combination	218.9	1.7	2.5	VERDADERO	VERDADERO
P06	18	ELU_03_TINF_Mi	Combination	138.8	1.3	1.5	VERDADERO	VERDADERO
P06	18	ELU_SISMO_X_T0	Combination	173.6	2.2	3.1	VERDADERO	VERDADERO
P06	18	ELU_SISMO_X_T0	Combination	140.4	2.9	4.0	VERDADERO	VERDADERO
P06	18	ELU_SISMO_Y_T0	Combination	143.0	8.0	11.3	VERDADERO	VERDADERO
P06	18	ELU_SISMO_Y_T0	Combination	171.1	8.7	12.1	VERDADERO	VERDADERO
P06	18	ELU_SISMO_Z_T0	Combination	160.7	2.1	3.1	VERDADERO	VERDADERO
P06	18	ELU_SISMO_Z_T0	Combination	153.4	2.9	3.9	VERDADERO	VERDADERO

## PASARELA UCA. MICROPILOTES PILAS 6 Y 9

### MICROPILOTES: COMPROBACIÓN ESTRUCTURAL EN SECCIÓN MAS SOLICITADA

SE PLANTEA EL SIGUIENTE CRITERIO DE INTERACCIÓN DE ESFUERZOS

$$M_d/M_{rd} + N_d/N_{rd} < 1 \text{ y } V_d < 0.5 \cdot V_{rd} \cdot (1 - N_d/N_{rd})$$

El que se cumpla la condición anterior es suficiente para que el punto quede dentro del diagrama de interacción representado en el artículo 6.3.6.5 de la RPX-95

#### Esfuerzos resistentes (según características micro)

Nrd (kN)	466.8	kN
Mrd	21.1	kN*m
Vrd	304.7	kN

VERDADERO VERDADERO

PILA	FRAME	OutputCase	CaseType	Nd	Vd	Md	Cumple 1	Cumple 2
Text	Text	Text	Text	KN	KN	KN-m		
P06	18	ELU_SISMO_X_TI	Combination	158.9	2.2	3.1	VERDADERO	VERDADERO
P06	18	ELU_SISMO_X_TI	Combination	125.8	3.2	4.3	VERDADERO	VERDADERO
P06	18	ELU_SISMO_Y_TI	Combination	128.3	8.1	11.4	VERDADERO	VERDADERO
P06	18	ELU_SISMO_Y_TI	Combination	156.4	8.8	12.2	VERDADERO	VERDADERO
P06	18	ELU_SISMO_Z_TI	Combination	146.0	2.3	3.2	VERDADERO	VERDADERO
P06	18	ELU_SISMO_Z_TI	Combination	138.7	3.1	4.1	VERDADERO	VERDADERO
P09	18	ELU_01_T0_Max	Combination	287.8	3.0	4.8	VERDADERO	VERDADERO
P09	18	ELU_01_T0_Min	Combination	147.6	0.2	0.3	VERDADERO	VERDADERO
P09	18	ELU_01_TINF_Ma	Combination	304.2	3.1	4.9	VERDADERO	VERDADERO
P09	18	ELU_01_TINF_Mi	Combination	163.9	1.0	1.1	VERDADERO	VERDADERO
P09	18	ELU_02_T0_Max	Combination	158.2	1.6	3.5	VERDADERO	VERDADERO
P09	18	ELU_02_T0_Min	Combination	91.2	0.4	1.7	VERDADERO	VERDADERO
P09	18	ELU_02_TINF_Ma	Combination	174.6	1.9	3.7	VERDADERO	VERDADERO
P09	18	ELU_02_TINF_Mi	Combination	107.5	1.1	2.0	VERDADERO	VERDADERO
P09	18	ELU_03_T0_Max	Combination	237.7	1.1	2.0	VERDADERO	VERDADERO
P09	18	ELU_03_T0_Min	Combination	158.5	0.2	0.3	VERDADERO	VERDADERO
P09	18	ELU_03_TINF_Ma	Combination	254.1	1.4	2.2	VERDADERO	VERDADERO
P09	18	ELU_03_TINF_Mi	Combination	174.9	1.0	1.1	VERDADERO	VERDADERO
P09	18	ELU_SISMO_X_T0	Combination	173.0	2.1	3.0	VERDADERO	VERDADERO
P09	18	ELU_SISMO_X_T0	Combination	140.4	2.9	3.9	VERDADERO	VERDADERO
P09	18	ELU_SISMO_Y_T0	Combination	143.2	7.8	11.1	VERDADERO	VERDADERO
P09	18	ELU_SISMO_Y_T0	Combination	170.2	8.5	11.9	VERDADERO	VERDADERO
P09	18	ELU_SISMO_Z_T0	Combination	160.3	2.1	3.0	VERDADERO	VERDADERO
P09	18	ELU_SISMO_Z_T0	Combination	153.1	2.8	3.9	VERDADERO	VERDADERO
P09	18	ELU_SISMO_X_TI	Combination	185.1	2.5	3.3	VERDADERO	VERDADERO
P09	18	ELU_SISMO_X_TI	Combination	152.6	2.8	3.8	VERDADERO	VERDADERO
P09	18	ELU_SISMO_Y_TI	Combination	155.4	7.9	11.1	VERDADERO	VERDADERO
P09	18	ELU_SISMO_Y_TI	Combination	182.3	8.5	11.9	VERDADERO	VERDADERO
P09	18	ELU_SISMO_Z_TI	Combination	172.4	2.3	3.2	VERDADERO	VERDADERO
P09	18	ELU_SISMO_Z_TI	Combination	165.3	2.8	3.9	VERDADERO	VERDADERO
P06	20	ELU_01_T0_Max	Combination	389.9	4.5	3.2	VERDADERO	VERDADERO
P06	20	ELU_01_T0_Min	Combination	209.6	0.7	1.2	VERDADERO	VERDADERO
P06	20	ELU_01_TINF_Ma	Combination	370.1	4.7	4.0	VERDADERO	VERDADERO
P06	20	ELU_01_TINF_Mi	Combination	189.8	1.5	1.9	VERDADERO	VERDADERO
P06	20	ELU_02_T0_Max	Combination	380.6	2.8	3.7	VERDADERO	VERDADERO
P06	20	ELU_02_T0_Min	Combination	297.3	1.3	2.8	VERDADERO	VERDADERO
P06	20	ELU_02_TINF_Ma	Combination	360.8	3.2	4.7	VERDADERO	VERDADERO
P06	20	ELU_02_TINF_Mi	Combination	277.5	1.9	3.2	VERDADERO	VERDADERO

## PASARELA UCA. MICROPILOTES PILAS 6 Y 9

### MICROPILOTES: COMPROBACIÓN ESTRUCTURAL EN SECCIÓN MAS SOLICITADA

SE PLANTEA EL SIGUIENTE CRITERIO DE INTERACCIÓN DE ESFUERZOS

$$M_d/M_{rd} + N_d/N_{rd} < 1 \text{ y } V_d < 0.5 \cdot V_{rd} \cdot (1 - N_d/N_{rd})$$

El que se cumpla la condición anterior es suficiente para que el punto quede dentro del diagrama de interacción representado en el artículo 6.3.6.5 de la RPX-95

#### Esfuerzos resistentes (según características micro)

Nrd (kN)	466.8	kN
Mrd	21.1	kN*m
Vrd	304.7	kN

VERDADERO VERDADERO

PILA	FRAME	OutputCase	CaseType	Nd	Vd	Md	Cumple 1	Cumple 2
Text	Text	Text	Text	KN	KN	KN-m		
P06	20	ELU_03_T0_Max	Combination	316.2	2.3	3.4	VERDADERO	VERDADERO
P06	20	ELU_03_T0_Min	Combination	220.4	0.7	1.2	VERDADERO	VERDADERO
P06	20	ELU_03_TINF_Ma	Combination	296.4	2.7	3.8	VERDADERO	VERDADERO
P06	20	ELU_03_TINF_Mi	Combination	200.6	1.5	1.9	VERDADERO	VERDADERO
P06	20	ELU_SISMO_X_T0	Combination	186.7	2.9	4.0	VERDADERO	VERDADERO
P06	20	ELU_SISMO_X_T0	Combination	127.4	2.3	3.3	VERDADERO	VERDADERO
P06	20	ELU_SISMO_Y_T0	Combination	186.4	8.7	12.2	VERDADERO	VERDADERO
P06	20	ELU_SISMO_Y_T0	Combination	127.7	8.0	11.3	VERDADERO	VERDADERO
P06	20	ELU_SISMO_Z_T0	Combination	173.7	2.9	4.0	VERDADERO	VERDADERO
P06	20	ELU_SISMO_Z_T0	Combination	140.4	2.2	3.2	VERDADERO	VERDADERO
P06	20	ELU_SISMO_X_TI	Combination	172.0	2.9	4.0	VERDADERO	VERDADERO
P06	20	ELU_SISMO_X_TI	Combination	112.7	2.8	3.7	VERDADERO	VERDADERO
P06	20	ELU_SISMO_Y_TI	Combination	171.7	8.7	12.2	VERDADERO	VERDADERO
P06	20	ELU_SISMO_Y_TI	Combination	113.0	8.1	11.4	VERDADERO	VERDADERO
P06	20	ELU_SISMO_Z_TI	Combination	159.0	3.0	4.0	VERDADERO	VERDADERO
P06	20	ELU_SISMO_Z_TI	Combination	125.7	2.5	3.4	VERDADERO	VERDADERO
P09	20	ELU_01_T0_Max	Combination	389.7	4.5	3.2	VERDADERO	VERDADERO
P09	20	ELU_01_T0_Min	Combination	209.3	0.7	1.2	VERDADERO	VERDADERO
P09	20	ELU_01_TINF_Ma	Combination	406.1	4.6	2.6	VERDADERO	VERDADERO
P09	20	ELU_01_TINF_Mi	Combination	225.7	1.1	1.5	VERDADERO	VERDADERO
P09	20	ELU_02_T0_Max	Combination	380.1	2.8	3.6	VERDADERO	VERDADERO
P09	20	ELU_02_T0_Min	Combination	297.0	1.2	2.8	VERDADERO	VERDADERO
P09	20	ELU_02_TINF_Ma	Combination	396.5	2.9	3.0	VERDADERO	VERDADERO
P09	20	ELU_02_TINF_Mi	Combination	313.4	1.5	2.9	VERDADERO	VERDADERO
P09	20	ELU_03_T0_Max	Combination	315.5	2.3	3.4	VERDADERO	VERDADERO
P09	20	ELU_03_T0_Min	Combination	220.3	0.7	1.2	VERDADERO	VERDADERO
P09	20	ELU_03_TINF_Ma	Combination	331.9	2.4	3.6	VERDADERO	VERDADERO
P09	20	ELU_03_TINF_Mi	Combination	236.6	1.1	1.6	VERDADERO	VERDADERO
P09	20	ELU_SISMO_X_T0	Combination	185.6	2.9	3.9	VERDADERO	VERDADERO
P09	20	ELU_SISMO_X_T0	Combination	127.9	2.3	3.2	VERDADERO	VERDADERO
P09	20	ELU_SISMO_Y_T0	Combination	185.2	8.5	11.9	VERDADERO	VERDADERO
P09	20	ELU_SISMO_Y_T0	Combination	128.3	7.9	11.1	VERDADERO	VERDADERO
P09	20	ELU_SISMO_Z_T0	Combination	172.9	2.8	3.9	VERDADERO	VERDADERO
P09	20	ELU_SISMO_Z_T0	Combination	140.6	2.2	3.1	VERDADERO	VERDADERO
P09	20	ELU_SISMO_X_TI	Combination	197.7	3.1	4.2	VERDADERO	VERDADERO
P09	20	ELU_SISMO_X_TI	Combination	140.0	2.1	3.1	VERDADERO	VERDADERO
P09	20	ELU_SISMO_Y_TI	Combination	197.3	8.6	12.0	VERDADERO	VERDADERO
P09	20	ELU_SISMO_Y_TI	Combination	140.4	7.9	11.1	VERDADERO	VERDADERO

PASARELA UCA. MICROPILOTES PILAS 6 Y 9

MICROPILOTES: COMPROBACIÓN ESTRUCTURAL EN SECCIÓN MAS SOLICITADA

SE PLANTEA EL SIGUIENTE CRITERIO DE INTERACCIÓN DE ESFUERZOS

Md/Mrd + Nd/Nrd < 1 y Vd < 0.5\*Vrd\*(1-Nd/Nrd)

El que se cumpla la condición anterior es suficiente para que el punto quede dentro del diagrama de interacción representado en el artículo 6.3.6.5 de la RPX-95

Esfuerzos resistentes (según características micro)

Nrd (kN)	466.8	kN
Mrd	21.1	kN*m
Vrd	304.7	kN

							VERDADERO	VERDADERO
PILA	FRAME	OutputCase	CaseType	Nd	Vd	Md	Cumple 1	Cumple 2
Text	Text	Text	Text	KN	KN	KN-m		
P09	20	ELU_SISMO_Z_TI	Combination	185.0	3.0	4.0	VERDADERO	VERDADERO
P09	20	ELU_SISMO_Z_TI	Combination	152.7	2.2	3.1	VERDADERO	VERDADERO

## RESISTENCIAS ESTRUCTURALES DE LOS MICROS

Coeficientes de seguridad

	Persistente	Sismo
$\gamma_c$	1.50	1.30

### LECHADA

Diámetro de la perforación	180.00	mm
$f_{ck}$ lechada de hormigón	30.00	Mpa
Area sección hormigón (bruta)	25446.90	mm <sup>2</sup>
Area sección hormigón (neta)	22478.10	mm <sup>2</sup>

### TUBERÍA

Diámetro exterior tubería	114.00	mm
Diámetro interior tubería	96.00	mm
$f_{yd}$ acero tubería	486.96	Mpa (en persistente)
$f_{yd}$ acero tubería	560.00	Mpa (en sismo)
Reducción de espesor	1.20	mm
Coeficiente $F_{uc}$	1.00	
Area sección tubular (sin reduccion)	2968.81	mm <sup>2</sup>
Area sección tubular (con reduccion)	2543.56	mm <sup>2</sup>
Cumple sección para cálculo plástico	VERDADERO	
$W_{pl}$	84198.82	mm <sup>3</sup>

### ARMADURA

Nº de redondos	0.00	
Diámetro redondos	20.00	mm
Area de armadura	0.00	mm <sup>2</sup>
$f_{yd}$ acero	400.00	Mpa
Coeficiente $F_e$	1.3	
Coeficiente R	0.665	(Fangos y turbas)

## RESISTENCIAS ESTRUCTURALES DEL MICROPILETE

	Persistente	Sismo	
$N_{c,rd}$ (kN)	690.9	795.1	kN
$M_{c,rd}$	41.0	47.2	kN*m
$V_{pl,rd}$	455.3	523.5	kN



## CÁLCULO DE LA ADHERENCIA O ANCLAJE MICROPILOTES

% del axil que se transmite a través del tubo y las barras	100%	
Diámetro exterior del micro	180.00	mm
Diámetro exterior tubo	114.00	mm
Diámetro interior tubo	96.00	mm
Area transversal de tubo	29.69	cm <sup>2</sup>
LONGITUD DEL TUBO METIDA EN ENCEPADO	0.80	M
Número de redondos soldados al tubo	0.00	
Diámetro de los redondos	16.00	mm
Longitud LIBRE de los redondos	0.10	M
Tensión de adherencia de diseño tubo-hormigón	21.25	kp/cm <sup>2</sup>
Tensión de adherencia de diseño barras-hormigón	53.30	kp/cm <sup>2</sup>
Coeficiente de minoración de la adherencia	1.50	
Resistencia característica del hormigón de zapata	300.00	kp/cm <sup>2</sup>
Límite elástica de la armadura de anclaje	5100.00	kp/cm <sup>2</sup>
Límite elástico del acero del tubo	5600.00	kp/cm <sup>2</sup>
m (parámetro de longitud de anclaje)	13.00	
Carga máxima de cada redondo (teórica) en diseño	8.92	tn
Carga tomada por adherencia de cada redondo en diseño	2.68	tn
Carga a efectos de cálculo de cada barra	2.68	tn
Carga tomada por todos los redondos (cálculo)	0.00	tn
Carga máxima de tubo (teórica) en diseño	144.57	tn
Carga tomada por adherencia del tubo	60.90	tn
Carga a efectos de cálculo del tubo	60.90	tn
RESISTENCIA DE DISEÑO DEL ANCLAJE	60.90	ton



## PERFIL GEOTÉCNICO CONSIDERADO PARA EL CÁLCULO DE LOS MICROPILOTES

Datos obtenidos de la interpretación de los sondeos S-2E y S-6E

(\*) Obtenido según Guía de Micropilotes. Figura 3.3 para Arenas y Gravas, inyección IU

Estrato	Espesor	Descripción	Nspt	rf,lim (kPa) (*)
1	15	Marisma	0	0
2	6.50	Arena limosa-arcilla	35.00	180.00

Coeficiente Fr	1.65
----------------	------

Longitud de micropilote	21.50 m
Diámetro de la perforación	0.18 m

Resistencia al hundimiento Rcd	400.98 kN
--------------------------------	-----------

Máximo axil de diseño	350.00 kN (ver tabla comprobación axiles)
Incremento por rozamiento negativo	25.00 kN
Cumple hundimiento?	VERDADERO

## COEFICIENTES DE REACCIÓN LATERAL DEL TERRENO PARA EL CÁLCULO DE LOS MICROS

Estrato	Espesor	Descripción	Nspt	Su (kPa)	Er (kN/ml/ml)
1	15	Marisma	0	2.5	125
2	6.50	Arena limosa-arcilla	35	150	7500

## CÁLCULO ARMADO ENCEPADOS PILAS 7 Y 8

Máxima compresión micropilote (diseño)	400.00	kN
Máxima tracción micropilote (diseño)	200.00	kN
Canto encepado	1.00	m

## CALCULO ARMADURA LONGITUDINAL

Vuelo longitudinal medio micropilotes	1.35	m
Dimensión longitudinal pilar	1.00	m
Nº total de micropilotes por hilera transversal (a cada lado)	14.00	
Tracción total longitudinal	7628.48	kN
f <sub>yd</sub> armadura	400.00	MPa
A <sub>s,nec</sub>	19071.21	mm <sup>2</sup>
Numero de barras del 25	38	

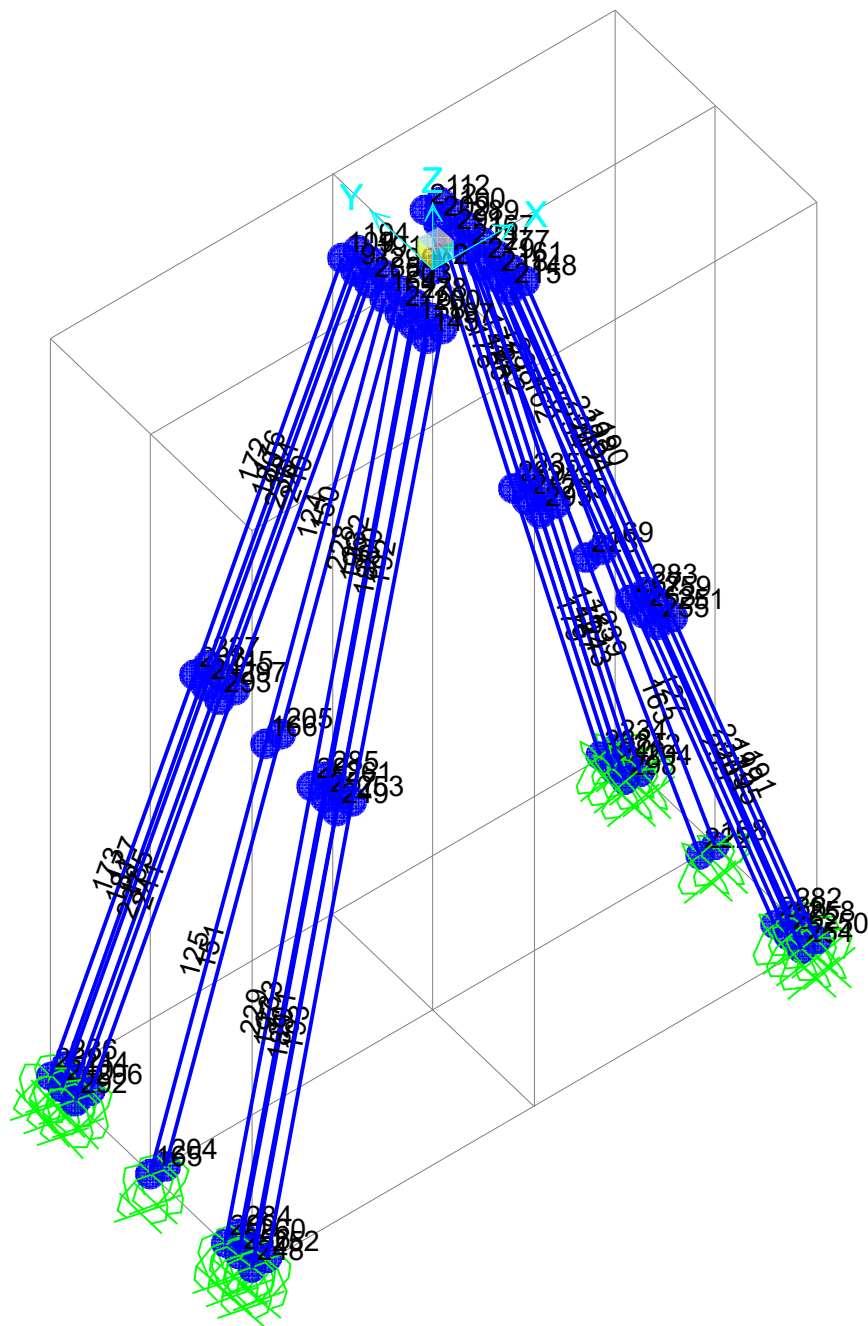
## CALCULO ARMADURA TRANSVERSAL

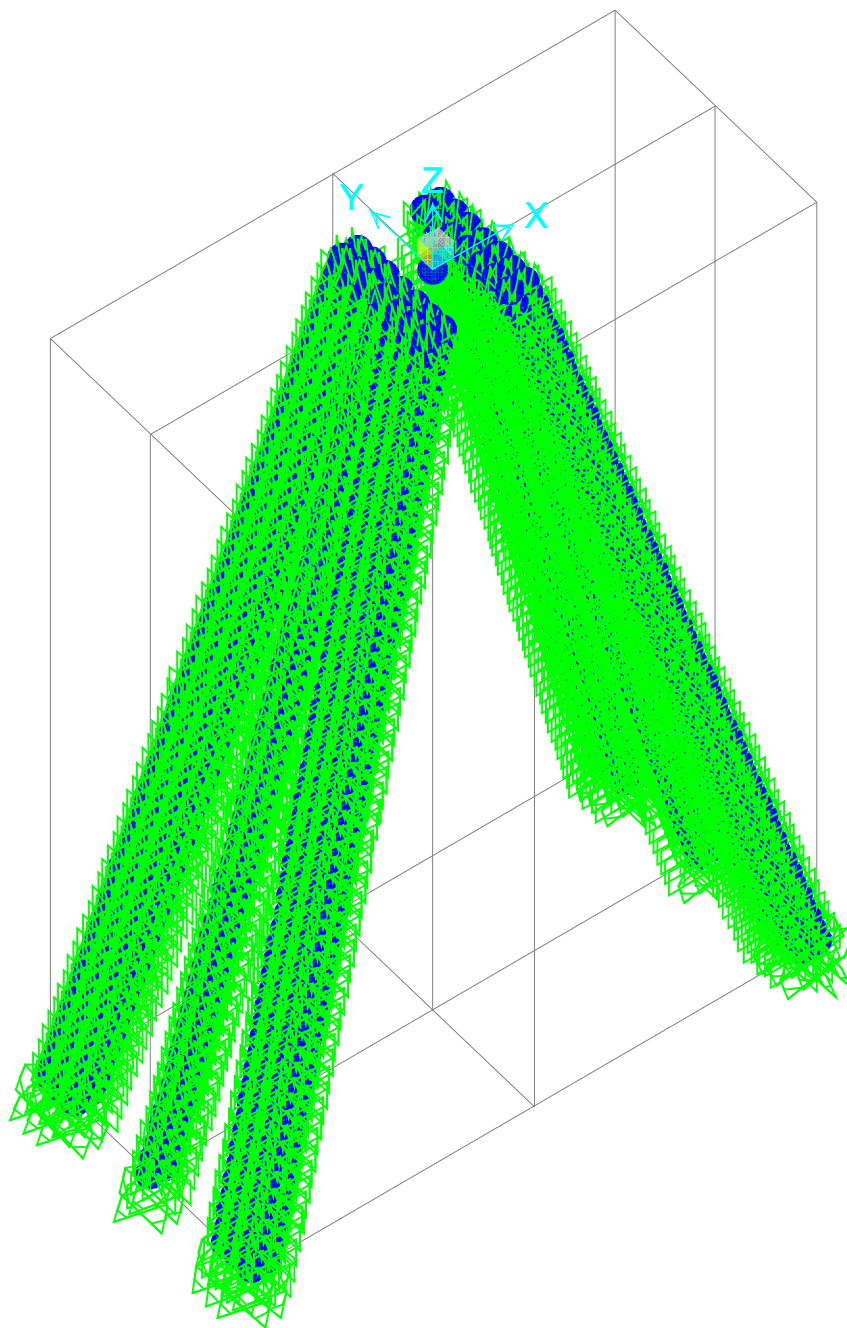
Vuelo transversal medio micropilotes	1.00	m
Dimensión transversal pilar	1.50	m
Nº total de micropilotes por hilera longitudinal	12.00	
Tracción total longitudinal	3715.17	kN
f <sub>yd</sub> armadura	400.00	MPa
A <sub>s,nec</sub>	9287.93	mm <sup>2</sup>
Numero de barras del 25	18	
Armadura secundaria transversal	2321.98	mm <sup>2</sup>
Numero de barras del 20	7	

## COMPROBACIÓN A RASANTE CUÑA DE APOYO

Fuerza tangencial máxima	1700.00	kN
Fuerza normal concomitante	1500.00	kN
Area de la junta	2.48	m2
Tensión rasante	0.68	mPa
fct,d	1.35	mPa
Se considera rugosidad alta		
Coeficiente $\beta$	0.80	
Tensión rasante de agotamiento sin armadura	1.02	mPa

Considerando rugosidad alta, no sería en principio necesario disponer armadura de cosido de la junta





**Table: Case - Static 1 - Load Assignments****Table: Case - Static 1 - Load Assignments**

Case	LoadType	LoadName	LoadSF
DEAD	Load pattern	DEAD	1.
7_ELU_01_T0_Max	Load pattern	7_ELU_01_T0_Max	1.
7_ELU_01_T0_Min	Load pattern	7_ELU_01_T0_Min	1.
7_ELU_01_TINF_Ma x	Load pattern	7_ELU_01_TINF_Ma x	1.
7_ELU_01_TINF_Mi n	Load pattern	7_ELU_01_TINF_Mi n	1.
7_ELU_02_T0_Max	Load pattern	7_ELU_02_T0_Max	1.
7_ELU_02_T0_Min	Load pattern	7_ELU_02_T0_Min	1.
7_ELU_02_TINF_Ma x	Load pattern	7_ELU_02_TINF_Ma x	1.
7_ELU_02_TINF_Mi n	Load pattern	7_ELU_02_TINF_Mi n	1.
7_ELU_03_T0_Max	Load pattern	7_ELU_03_T0_Max	1.
7_ELU_03_T0_Min	Load pattern	7_ELU_03_T0_Min	1.
7_ELU_03_TINF_Ma x	Load pattern	7_ELU_03_TINF_Ma x	1.
7_ELU_03_TINF_Mi n	Load pattern	7_ELU_03_TINF_Mi n	1.
7_ELU_SISMO_X_T 0_Max	Load pattern	7_ELU_SISMO_X_T 0_Max	1.
7_ELU_SISMO_X_T 0_Min	Load pattern	7_ELU_SISMO_X_T 0_Min	1.
7_ELU_SISMO_X_TI NF_Max	Load pattern	7_ELU_SISMO_X_TI NF_Max	1.
7_ELU_SISMO_X_TI NF_Min	Load pattern	7_ELU_SISMO_X_TI NF_Min	1.
7_ELU_SISMO_Y_T 0_Max	Load pattern	7_ELU_SISMO_Y_T 0_Max	1.
7_ELU_SISMO_Y_T 0_Min	Load pattern	7_ELU_SISMO_Y_T 0_Min	1.
7_ELU_SISMO_Y_TI NF_Max	Load pattern	7_ELU_SISMO_Y_TI NF_Max	1.
7_ELU_SISMO_Y_TI NF_Min	Load pattern	7_ELU_SISMO_Y_TI NF_Min	1.
7_ELU_SISMO_Z_T 0_Max	Load pattern	7_ELU_SISMO_Z_T 0_Max	1.
7_ELU_SISMO_Z_T 0_Min	Load pattern	7_ELU_SISMO_Z_T 0_Min	1.
7_ELU_SISMO_Z_TI NF_Max	Load pattern	7_ELU_SISMO_Z_TI NF_Max	1.
7_ELU_SISMO_Z_TI NF_Min	Load pattern	7_ELU_SISMO_Z_TI NF_Min	1.
8_ELU_01_T0_Max	Load pattern	8_ELU_01_T0_Max	1.
8_ELU_01_T0_Min	Load pattern	8_ELU_01_T0_Min	1.
8_ELU_01_TINF_Ma x	Load pattern	8_ELU_01_TINF_Ma x	1.
8_ELU_01_TINF_Mi n	Load pattern	8_ELU_01_TINF_Mi n	1.
8_ELU_02_T0_Max	Load pattern	8_ELU_02_T0_Max	1.
8_ELU_02_T0_Min	Load pattern	8_ELU_02_T0_Min	1.
8_ELU_02_TINF_Ma x	Load pattern	8_ELU_02_TINF_Ma x	1.

**Table: Case - Static 1 - Load Assignments**

Case	LoadType	LoadName	LoadSF
8_ELU_02_TINF_Min	Load pattern	8_ELU_02_TINF_Min	1.
8_ELU_03_T0_Max	Load pattern	8_ELU_03_T0_Max	1.
8_ELU_03_T0_Min	Load pattern	8_ELU_03_T0_Min	1.
8_ELU_03_TINF_Max	Load pattern	8_ELU_03_TINF_Max	1.
8_ELU_03_TINF_Min	Load pattern	8_ELU_03_TINF_Min	1.
8_ELU_SISMO_X_T0_Max	Load pattern	8_ELU_SISMO_X_T0_Max	1.
8_ELU_SISMO_X_T0_Min	Load pattern	8_ELU_SISMO_X_T0_Min	1.
8_ELU_SISMO_X_T1_NF_Max	Load pattern	8_ELU_SISMO_X_T1_NF_Max	1.
8_ELU_SISMO_X_T1_NF_Min	Load pattern	8_ELU_SISMO_X_T1_NF_Min	1.
8_ELU_SISMO_Y_T0_Max	Load pattern	8_ELU_SISMO_Y_T0_Max	1.
8_ELU_SISMO_Y_T0_Min	Load pattern	8_ELU_SISMO_Y_T0_Min	1.
8_ELU_SISMO_Y_T1_NF_Max	Load pattern	8_ELU_SISMO_Y_T1_NF_Max	1.
8_ELU_SISMO_Y_T1_NF_Min	Load pattern	8_ELU_SISMO_Y_T1_NF_Min	1.
8_ELU_SISMO_Z_T0_Max	Load pattern	8_ELU_SISMO_Z_T0_Max	1.
8_ELU_SISMO_Z_T0_Min	Load pattern	8_ELU_SISMO_Z_T0_Min	1.
8_ELU_SISMO_Z_T1_NF_Max	Load pattern	8_ELU_SISMO_Z_T1_NF_Max	1.
8_ELU_SISMO_Z_T1_NF_Min	Load pattern	8_ELU_SISMO_Z_T1_NF_Min	1.

**Table: Frame Section Assignments****Table: Frame Section Assignments**

Frame	SectionType	AutoSelect	AnalSect	DesignSect	MatProp
124	Circular	N.A.	MICROPILOTE	MICROPILOTE	Default
125	Circular	N.A.	MICROPILOTE	MICROPILOTE	Default
126	Circular	N.A.	MICROPILOTE	MICROPILOTE	Default
127	Circular	N.A.	MICROPILOTE	MICROPILOTE	Default
150	Circular	N.A.	MICROPILOTE	MICROPILOTE	Default
151	Circular	N.A.	MICROPILOTE	MICROPILOTE	Default
162	Circular	N.A.	MICROPILOTE	MICROPILOTE	Default
163	Circular	N.A.	MICROPILOTE	MICROPILOTE	Default
172	Circular	N.A.	MICROPILOTE	MICROPILOTE	Default
173	Circular	N.A.	MICROPILOTE	MICROPILOTE	Default
174	Circular	N.A.	MICROPILOTE	MICROPILOTE	Default
175	Circular	N.A.	MICROPILOTE	MICROPILOTE	Default
176	Circular	N.A.	MICROPILOTE	MICROPILOTE	Default
177	Circular	N.A.	MICROPILOTE	MICROPILOTE	Default
178	Circular	N.A.	MICROPILOTE	MICROPILOTE	Default
179	Circular	N.A.	MICROPILOTE	MICROPILOTE	Default
180	Circular	N.A.	MICROPILOTE	MICROPILOTE	Default
181	Circular	N.A.	MICROPILOTE	MICROPILOTE	Default

Table: Frame Section Assignments

Frame	SectionType	AutoSelect	AnalSect	DesignSect	MatProp
182	Circular	N.A.	MICROPILOTE	MICROPILOTE	Default
183	Circular	N.A.	MICROPILOTE	MICROPILOTE	Default
184	Circular	N.A.	MICROPILOTE	MICROPILOTE	Default
185	Circular	N.A.	MICROPILOTE	MICROPILOTE	Default
186	Circular	N.A.	MICROPILOTE	MICROPILOTE	Default
187	Circular	N.A.	MICROPILOTE	MICROPILOTE	Default
188	Circular	N.A.	MICROPILOTE	MICROPILOTE	Default
189	Circular	N.A.	MICROPILOTE	MICROPILOTE	Default
190	Circular	N.A.	MICROPILOTE	MICROPILOTE	Default
191	Circular	N.A.	MICROPILOTE	MICROPILOTE	Default
192	Circular	N.A.	MICROPILOTE	MICROPILOTE	Default
193	Circular	N.A.	MICROPILOTE	MICROPILOTE	Default
194	Circular	N.A.	MICROPILOTE	MICROPILOTE	Default
195	Circular	N.A.	MICROPILOTE	MICROPILOTE	Default
196	Circular	N.A.	MICROPILOTE	MICROPILOTE	Default
197	Circular	N.A.	MICROPILOTE	MICROPILOTE	Default
198	Circular	N.A.	MICROPILOTE	MICROPILOTE	Default
199	Circular	N.A.	MICROPILOTE	MICROPILOTE	Default
200	Circular	N.A.	MICROPILOTE	MICROPILOTE	Default
201	Circular	N.A.	MICROPILOTE	MICROPILOTE	Default
202	Circular	N.A.	MICROPILOTE	MICROPILOTE	Default
203	Circular	N.A.	MICROPILOTE	MICROPILOTE	Default
228	Circular	N.A.	MICROPILOTE	MICROPILOTE	Default
229	Circular	N.A.	MICROPILOTE	MICROPILOTE	Default
230	Circular	N.A.	MICROPILOTE	MICROPILOTE	Default
231	Circular	N.A.	MICROPILOTE	MICROPILOTE	Default
232	Circular	N.A.	MICROPILOTE	MICROPILOTE	Default
233	Circular	N.A.	MICROPILOTE	MICROPILOTE	Default
234	Circular	N.A.	MICROPILOTE	MICROPILOTE	Default
235	Circular	N.A.	MICROPILOTE	MICROPILOTE	Default
236	Circular	N.A.	MICROPILOTE	MICROPILOTE	Default
237	Circular	N.A.	MICROPILOTE	MICROPILOTE	Default
238	Circular	N.A.	MICROPILOTE	MICROPILOTE	Default
239	Circular	N.A.	MICROPILOTE	MICROPILOTE	Default
240	Circular	N.A.	MICROPILOTE	MICROPILOTE	Default
241	Circular	N.A.	MICROPILOTE	MICROPILOTE	Default
242	Circular	N.A.	MICROPILOTE	MICROPILOTE	Default
243	Circular	N.A.	MICROPILOTE	MICROPILOTE	Default

Table: Frame Section Properties 01 - General, Part 1 of 5

Table: Frame Section Properties 01 - General, Part 1 of 5

SectionName	Material	Shape	t3	Area	TorsConst	I33
			m	m2	m4	m4
MICROPILOTE	HORMIGÓN	Circle	0.18	0.025447	0.000103	0.000052

Table: Frame Section Properties 01 - General, Part 2 of 5

Table: Frame Section Properties 01 - General, Part 2 of 5

SectionName	I22	I23	AS2	AS3	S33	S22	Z33
	m4	m4	m2	m2	m3	m3	m3
MICROPILOTE	0.000052	0.	0.022902	0.022902	0.000573	0.000573	0.000972



**Table: Frame Section Properties 01 - General, Part 3 of 5**

Table: Frame Section Properties 01 - General, Part 3 of 5

SectionName	Z22 m3	R33 m	R22 m	ConcCol	ConcBeam	Color	TotalWt KN
MICROPILOTE	0.000972	0.045	0.045	Yes	No	Red	525.478

**Table: Frame Section Properties 01 - General, Part 4 of 5**

Table: Frame Section Properties 01 - General, Part 4 of 5

SectionName	TotalMass KN-s2/m	FromFile	AMod	A2Mod	A3Mod	JMod	I2Mod
MICROPILOTE	53.58	No	1.	1.	1.	1.	1.

**Table: Frame Section Properties 01 - General, Part 5 of 5**

Table: Frame Section Properties 01 - General, Part 5 of 5

SectionName	I3Mod	MMod	WMod	GUID	Notes
MICROPILOTE	1.	1.	1.		Added 09/01/2017 9:22:10

**Table: Frame Spring Assignments**

Table: Frame Spring Assignments

Frame	Type	Stiffness KN/m/m	SimpleType	Dir1Type	Dir
124	Simple	125.	Tension and Compression	Object Axes	2
124	Simple	125.	Tension and Compression	Object Axes	3
125	Simple	7500.	Tension and Compression	Object Axes	3
125	Simple	7500.	Tension and Compression	Object Axes	2
126	Simple	125.	Tension and Compression	Object Axes	2
126	Simple	125.	Tension and Compression	Object Axes	3
127	Simple	7500.	Tension and Compression	Object Axes	3
127	Simple	7500.	Tension and Compression	Object Axes	2
150	Simple	125.	Tension and Compression	Object Axes	2
150	Simple	125.	Tension and Compression	Object Axes	3
151	Simple	7500.	Tension and Compression	Object Axes	3
151	Simple	7500.	Tension and Compression	Object Axes	2
162	Simple	125.	Tension and Compression	Object Axes	2
162	Simple	125.	Tension and Compression	Object Axes	3
163	Simple	7500.	Tension and Compression	Object Axes	3

Table: Frame Spring Assignments

Frame	Type	Stiffness KN/m/m	SimpleType	Dir1Type	Dir
163	Simple	7500.	Tension and Compression	Object Axes	2
172	Simple	125.	Tension and Compression	Object Axes	2
172	Simple	125.	Tension and Compression	Object Axes	3
173	Simple	7500.	Tension and Compression	Object Axes	3
173	Simple	7500.	Tension and Compression	Object Axes	2
174	Simple	125.	Tension and Compression	Object Axes	2
174	Simple	125.	Tension and Compression	Object Axes	3
175	Simple	7500.	Tension and Compression	Object Axes	3
175	Simple	7500.	Tension and Compression	Object Axes	2
176	Simple	125.	Tension and Compression	Object Axes	2
176	Simple	125.	Tension and Compression	Object Axes	3
177	Simple	7500.	Tension and Compression	Object Axes	3
177	Simple	7500.	Tension and Compression	Object Axes	2
178	Simple	125.	Tension and Compression	Object Axes	2
178	Simple	125.	Tension and Compression	Object Axes	3
179	Simple	7500.	Tension and Compression	Object Axes	3
179	Simple	7500.	Tension and Compression	Object Axes	2
180	Simple	125.	Tension and Compression	Object Axes	2
180	Simple	125.	Tension and Compression	Object Axes	3
181	Simple	7500.	Tension and Compression	Object Axes	3
181	Simple	7500.	Tension and Compression	Object Axes	2
182	Simple	125.	Tension and Compression	Object Axes	2
182	Simple	125.	Tension and Compression	Object Axes	3
183	Simple	7500.	Tension and Compression	Object Axes	3
183	Simple	7500.	Tension and Compression	Object Axes	2
184	Simple	125.	Tension and Compression	Object Axes	2
184	Simple	125.	Tension and Compression	Object Axes	3
185	Simple	7500.	Tension and Compression	Object Axes	3
185	Simple	7500.	Tension and Compression	Object Axes	2
186	Simple	125.	Tension and Compression	Object Axes	2

Table: Frame Spring Assignments

Frame	Type	Stiffness KN/m/m	SimpleType	Dir1Type	Dir
186	Simple	125.	Tension and Compression	Object Axes	3
187	Simple	7500.	Tension and Compression	Object Axes	3
187	Simple	7500.	Tension and Compression	Object Axes	2
188	Simple	125.	Tension and Compression	Object Axes	2
188	Simple	125.	Tension and Compression	Object Axes	3
189	Simple	7500.	Tension and Compression	Object Axes	3
189	Simple	7500.	Tension and Compression	Object Axes	2
190	Simple	125.	Tension and Compression	Object Axes	2
190	Simple	125.	Tension and Compression	Object Axes	3
191	Simple	7500.	Tension and Compression	Object Axes	3
191	Simple	7500.	Tension and Compression	Object Axes	2
192	Simple	125.	Tension and Compression	Object Axes	2
192	Simple	125.	Tension and Compression	Object Axes	3
193	Simple	7500.	Tension and Compression	Object Axes	3
193	Simple	7500.	Tension and Compression	Object Axes	2
194	Simple	125.	Tension and Compression	Object Axes	2
194	Simple	125.	Tension and Compression	Object Axes	3
195	Simple	7500.	Tension and Compression	Object Axes	3
195	Simple	7500.	Tension and Compression	Object Axes	2
196	Simple	125.	Tension and Compression	Object Axes	2
196	Simple	125.	Tension and Compression	Object Axes	3
197	Simple	7500.	Tension and Compression	Object Axes	3
197	Simple	7500.	Tension and Compression	Object Axes	2
198	Simple	125.	Tension and Compression	Object Axes	2
198	Simple	125.	Tension and Compression	Object Axes	3
199	Simple	7500.	Tension and Compression	Object Axes	3
199	Simple	7500.	Tension and Compression	Object Axes	2
200	Simple	125.	Tension and Compression	Object Axes	2
200	Simple	125.	Tension and Compression	Object Axes	3
201	Simple	7500.	Tension and Compression	Object Axes	3

Table: Frame Spring Assignments

Frame	Type	Stiffness KN/m/m	SimpleType	Dir1Type	Dir
201	Simple	7500.	Tension and Compression	Object Axes	2
202	Simple	125.	Tension and Compression	Object Axes	2
202	Simple	125.	Tension and Compression	Object Axes	3
203	Simple	7500.	Tension and Compression	Object Axes	3
203	Simple	7500.	Tension and Compression	Object Axes	2
228	Simple	125.	Tension and Compression	Object Axes	2
228	Simple	125.	Tension and Compression	Object Axes	3
229	Simple	7500.	Tension and Compression	Object Axes	3
229	Simple	7500.	Tension and Compression	Object Axes	2
230	Simple	125.	Tension and Compression	Object Axes	2
230	Simple	125.	Tension and Compression	Object Axes	3
231	Simple	7500.	Tension and Compression	Object Axes	3
231	Simple	7500.	Tension and Compression	Object Axes	2
232	Simple	125.	Tension and Compression	Object Axes	2
232	Simple	125.	Tension and Compression	Object Axes	3
233	Simple	7500.	Tension and Compression	Object Axes	3
233	Simple	7500.	Tension and Compression	Object Axes	2
234	Simple	125.	Tension and Compression	Object Axes	2
234	Simple	125.	Tension and Compression	Object Axes	3
235	Simple	7500.	Tension and Compression	Object Axes	3
235	Simple	7500.	Tension and Compression	Object Axes	2
236	Simple	125.	Tension and Compression	Object Axes	2
236	Simple	125.	Tension and Compression	Object Axes	3
237	Simple	7500.	Tension and Compression	Object Axes	3
237	Simple	7500.	Tension and Compression	Object Axes	2
238	Simple	125.	Tension and Compression	Object Axes	2
238	Simple	125.	Tension and Compression	Object Axes	3
239	Simple	7500.	Tension and Compression	Object Axes	3
239	Simple	7500.	Tension and Compression	Object Axes	2
240	Simple	125.	Tension and Compression	Object Axes	2

Table: Frame Spring Assignments

Frame	Type	Stiffness KN/m/m	SimpleType	Dir1Type	Dir
240	Simple	125.	Tension and Compression	Object Axes	3
241	Simple	7500.	Tension and Compression	Object Axes	3
241	Simple	7500.	Tension and Compression	Object Axes	2
242	Simple	125.	Tension and Compression	Object Axes	2
242	Simple	125.	Tension and Compression	Object Axes	3
243	Simple	7500.	Tension and Compression	Object Axes	3
243	Simple	7500.	Tension and Compression	Object Axes	2

Table: Joint Coordinates, Part 1 of 2

Table: Joint Coordinates, Part 1 of 2

Joint	CoordSys	CoordType	XorR m	Y m	Z m	SpecialJt	GlobalX m
72	GLOBAL	Cartesian	0.	0.	0.	Yes	0.
97	GLOBAL	Cartesian	-1.6	1.2	0.	No	-1.6
100	GLOBAL	Cartesian	1.6	1.2	0.	No	1.6
109	GLOBAL	Cartesian	-1.6	1.75	0.	No	-1.6
112	GLOBAL	Cartesian	1.6	1.75	0.	No	1.6
145	GLOBAL	Cartesian	-1.6	-1.75	0.	No	-1.6
148	GLOBAL	Cartesian	1.6	-1.75	0.	No	1.6
158	GLOBAL	Cartesian	-1.6	-1.2	0.	No	-1.6
161	GLOBAL	Cartesian	1.6	-1.2	0.	No	1.6
164	GLOBAL	Cartesian	-1.6	0.	0.	Yes	-1.6
165	GLOBAL	Cartesian	-9.2352	4.441E-16	-28.4948	Yes	-9.2352
166	GLOBAL	Cartesian	-5.48231	4.441E-16	-14.48888	No	-5.48231
167	GLOBAL	Cartesian	1.6	0.	0.	Yes	1.6
168	GLOBAL	Cartesian	9.2352	4.441E-16	-28.4948	Yes	9.2352
169	GLOBAL	Cartesian	5.48231	4.441E-16	-14.48888	No	5.48231
191	GLOBAL	Cartesian	-1.1	1.2	0.	No	-1.1
194	GLOBAL	Cartesian	-1.1	1.75	0.	No	-1.1
197	GLOBAL	Cartesian	-1.1	-1.75	0.	No	-1.1
200	GLOBAL	Cartesian	-1.1	-1.2	0.	No	-1.1
203	GLOBAL	Cartesian	-1.1	0.	0.	Yes	-1.1
204	GLOBAL	Cartesian	-8.7352	4.441E-16	-28.4948	Yes	-8.7352
205	GLOBAL	Cartesian	-4.98231	4.441E-16	-14.48888	No	-4.98231
209	GLOBAL	Cartesian	1.1	1.2	0.	No	1.1
212	GLOBAL	Cartesian	1.1	1.75	0.	No	1.1
215	GLOBAL	Cartesian	1.1	-1.75	0.	No	1.1
218	GLOBAL	Cartesian	1.1	-1.2	0.	No	1.1
221	GLOBAL	Cartesian	1.1	0.	0.	Yes	1.1
222	GLOBAL	Cartesian	8.7352	4.441E-16	-28.4948	Yes	8.7352
223	GLOBAL	Cartesian	4.98231	4.441E-16	-14.48888	No	4.98231
232	GLOBAL	Cartesian	-9.2352	4.23349	-28.38637	No	-9.2352
233	GLOBAL	Cartesian	-5.48231	3.01279	-14.43375	No	-5.48231
234	GLOBAL	Cartesian	9.2352	4.23349	-28.38637	No	9.2352
235	GLOBAL	Cartesian	5.48231	3.01279	-14.43375	No	5.48231
236	GLOBAL	Cartesian	-8.7352	4.23349	-28.38637	No	-8.7352
237	GLOBAL	Cartesian	-4.98231	3.01279	-14.43375	No	-4.98231

Table: Joint Coordinates, Part 1 of 2

Joint	CoordSys	CoordType	XorR m	Y m	Z m	SpecialJt	GlobalX m
238	GLOBAL	Cartesian	8.7352	4.23349	-28.38637	No	8.7352
239	GLOBAL	Cartesian	4.98231	3.01279	-14.43375	No	4.98231
240	GLOBAL	Cartesian	-9.2352	3.68349	-28.38637	Yes	-9.2352
241	GLOBAL	Cartesian	-5.48231	2.46279	-14.43375	No	-5.48231
242	GLOBAL	Cartesian	9.2352	3.68349	-28.38637	Yes	9.2352
243	GLOBAL	Cartesian	5.48231	2.46279	-14.43375	No	5.48231
244	GLOBAL	Cartesian	-8.7352	3.68349	-28.38637	Yes	-8.7352
245	GLOBAL	Cartesian	-4.98231	2.46279	-14.43375	No	-4.98231
246	GLOBAL	Cartesian	8.7352	3.68349	-28.38637	Yes	8.7352
247	GLOBAL	Cartesian	4.98231	2.46279	-14.43375	No	4.98231
248	GLOBAL	Cartesian	-9.2352	-4.23349	-28.38637	Yes	-9.2352
249	GLOBAL	Cartesian	-5.48231	-3.01279	-14.43375	No	-5.48231
250	GLOBAL	Cartesian	9.2352	-4.23349	-28.38637	Yes	9.2352
251	GLOBAL	Cartesian	5.48231	-3.01279	-14.43375	No	5.48231
252	GLOBAL	Cartesian	-8.7352	-4.23349	-28.38637	Yes	-8.7352
253	GLOBAL	Cartesian	-4.98231	-3.01279	-14.43375	No	-4.98231
254	GLOBAL	Cartesian	8.7352	-4.23349	-28.38637	Yes	8.7352
255	GLOBAL	Cartesian	4.98231	-3.01279	-14.43375	No	4.98231
256	GLOBAL	Cartesian	-9.2352	-3.68349	-28.38637	No	-9.2352
257	GLOBAL	Cartesian	-5.48231	-2.46279	-14.43375	No	-5.48231
258	GLOBAL	Cartesian	9.2352	-3.68349	-28.38637	No	9.2352
259	GLOBAL	Cartesian	5.48231	-2.46279	-14.43375	No	5.48231
260	GLOBAL	Cartesian	-8.7352	-3.68349	-28.38637	No	-8.7352
261	GLOBAL	Cartesian	-4.98231	-2.46279	-14.43375	No	-4.98231
262	GLOBAL	Cartesian	8.7352	-3.68349	-28.38637	No	8.7352
263	GLOBAL	Cartesian	4.98231	-2.46279	-14.43375	No	4.98231
276	GLOBAL	Cartesian	-1.6	-0.65	0.	No	-1.6
277	GLOBAL	Cartesian	1.6	-0.65	0.	No	1.6
278	GLOBAL	Cartesian	-1.1	-0.65	0.	No	-1.1
279	GLOBAL	Cartesian	1.1	-0.65	0.	No	1.1
280	GLOBAL	Cartesian	-9.2352	-3.13349	-28.38637	No	-9.2352
281	GLOBAL	Cartesian	-5.48231	-1.91279	-14.43375	No	-5.48231
282	GLOBAL	Cartesian	9.2352	-3.13349	-28.38637	No	9.2352
283	GLOBAL	Cartesian	5.48231	-1.91279	-14.43375	No	5.48231
284	GLOBAL	Cartesian	-8.7352	-3.13349	-28.38637	No	-8.7352
285	GLOBAL	Cartesian	-4.98231	-1.91279	-14.43375	No	-4.98231
286	GLOBAL	Cartesian	8.7352	-3.13349	-28.38637	No	8.7352
287	GLOBAL	Cartesian	4.98231	-1.91279	-14.43375	No	4.98231
288	GLOBAL	Cartesian	-1.6	0.65	0.	No	-1.6
289	GLOBAL	Cartesian	1.6	0.65	0.	No	1.6
290	GLOBAL	Cartesian	-1.1	0.65	0.	No	-1.1
291	GLOBAL	Cartesian	1.1	0.65	0.	No	1.1
292	GLOBAL	Cartesian	-9.2352	3.13349	-28.38637	Yes	-9.2352
293	GLOBAL	Cartesian	-5.48231	1.91279	-14.43375	No	-5.48231
294	GLOBAL	Cartesian	9.2352	3.13349	-28.38637	Yes	9.2352
295	GLOBAL	Cartesian	5.48231	1.91279	-14.43375	No	5.48231
296	GLOBAL	Cartesian	-8.7352	3.13349	-28.38637	Yes	-8.7352
297	GLOBAL	Cartesian	-4.98231	1.91279	-14.43375	No	-4.98231
298	GLOBAL	Cartesian	8.7352	3.13349	-28.38637	Yes	8.7352
299	GLOBAL	Cartesian	4.98231	1.91279	-14.43375	No	4.98231

**Table: Joint Coordinates, Part 2 of 2**

Table: Joint Coordinates, Part 2 of 2			
Joint	GlobalY m	GlobalZ m	GUID
72	0.	0.	70d108fe-c2df-46c6-a26 b-abda5f3fc4e8
97	1.2	0.	70d108fe-c2df-46c6-a26 b-abda5f3fc4e8
100	1.2	0.	70d108fe-c2df-46c6-a26 b-abda5f3fc4e8
109	1.75	0.	70d108fe-c2df-46c6-a26 b-abda5f3fc4e8
112	1.75	0.	70d108fe-c2df-46c6-a26 b-abda5f3fc4e8
145	-1.75	0.	70d108fe-c2df-46c6-a26 b-abda5f3fc4e8
148	-1.75	0.	70d108fe-c2df-46c6-a26 b-abda5f3fc4e8
158	-1.2	0.	70d108fe-c2df-46c6-a26 b-abda5f3fc4e8
161	-1.2	0.	70d108fe-c2df-46c6-a26 b-abda5f3fc4e8
164	0.	0.	70d108fe-c2df-46c6-a26 b-abda5f3fc4e8
165	4.441E-16	-28.4948	70d108fe-c2df-46c6-a26 b-abda5f3fc4e8
166	4.441E-16	-14.48888	70d108fe-c2df-46c6-a26 b-abda5f3fc4e8
167	0.	0.	70d108fe-c2df-46c6-a26 b-abda5f3fc4e8
168	4.441E-16	-28.4948	70d108fe-c2df-46c6-a26 b-abda5f3fc4e8
169	4.441E-16	-14.48888	70d108fe-c2df-46c6-a26 b-abda5f3fc4e8
191	1.2	0.	70d108fe-c2df-46c6-a26 b-abda5f3fc4e8
194	1.75	0.	70d108fe-c2df-46c6-a26 b-abda5f3fc4e8
197	-1.75	0.	70d108fe-c2df-46c6-a26 b-abda5f3fc4e8
200	-1.2	0.	70d108fe-c2df-46c6-a26 b-abda5f3fc4e8
203	0.	0.	70d108fe-c2df-46c6-a26 b-abda5f3fc4e8
204	4.441E-16	-28.4948	70d108fe-c2df-46c6-a26 b-abda5f3fc4e8
205	4.441E-16	-14.48888	70d108fe-c2df-46c6-a26 b-abda5f3fc4e8
209	1.2	0.	70d108fe-c2df-46c6-a26 b-abda5f3fc4e8
212	1.75	0.	70d108fe-c2df-46c6-a26 b-abda5f3fc4e8
215	-1.75	0.	70d108fe-c2df-46c6-a26 b-abda5f3fc4e8
218	-1.2	0.	70d108fe-c2df-46c6-a26 b-abda5f3fc4e8
221	0.	0.	70d108fe-c2df-46c6-a26 b-abda5f3fc4e8
222	4.441E-16	-28.4948	70d108fe-c2df-46c6-a26 b-abda5f3fc4e8
223	4.441E-16	-14.48888	70d108fe-c2df-46c6-a26 b-abda5f3fc4e8

Table: Joint Coordinates, Part 2 of 2

Joint	GlobalY m	GlobalZ m	GUID
232	4.23349	-28.38637	70d108fe-c2df-46c6-a26 b-abda5f3fc4e8
233	3.01279	-14.43375	70d108fe-c2df-46c6-a26 b-abda5f3fc4e8
234	4.23349	-28.38637	70d108fe-c2df-46c6-a26 b-abda5f3fc4e8
235	3.01279	-14.43375	70d108fe-c2df-46c6-a26 b-abda5f3fc4e8
236	4.23349	-28.38637	70d108fe-c2df-46c6-a26 b-abda5f3fc4e8
237	3.01279	-14.43375	70d108fe-c2df-46c6-a26 b-abda5f3fc4e8
238	4.23349	-28.38637	70d108fe-c2df-46c6-a26 b-abda5f3fc4e8
239	3.01279	-14.43375	70d108fe-c2df-46c6-a26 b-abda5f3fc4e8
240	3.68349	-28.38637	70d108fe-c2df-46c6-a26 b-abda5f3fc4e8
241	2.46279	-14.43375	70d108fe-c2df-46c6-a26 b-abda5f3fc4e8
242	3.68349	-28.38637	70d108fe-c2df-46c6-a26 b-abda5f3fc4e8
243	2.46279	-14.43375	70d108fe-c2df-46c6-a26 b-abda5f3fc4e8
244	3.68349	-28.38637	70d108fe-c2df-46c6-a26 b-abda5f3fc4e8
245	2.46279	-14.43375	70d108fe-c2df-46c6-a26 b-abda5f3fc4e8
246	3.68349	-28.38637	70d108fe-c2df-46c6-a26 b-abda5f3fc4e8
247	2.46279	-14.43375	70d108fe-c2df-46c6-a26 b-abda5f3fc4e8
248	-4.23349	-28.38637	70d108fe-c2df-46c6-a26 b-abda5f3fc4e8
249	-3.01279	-14.43375	70d108fe-c2df-46c6-a26 b-abda5f3fc4e8
250	-4.23349	-28.38637	70d108fe-c2df-46c6-a26 b-abda5f3fc4e8
251	-3.01279	-14.43375	70d108fe-c2df-46c6-a26 b-abda5f3fc4e8
252	-4.23349	-28.38637	70d108fe-c2df-46c6-a26 b-abda5f3fc4e8
253	-3.01279	-14.43375	70d108fe-c2df-46c6-a26 b-abda5f3fc4e8
254	-4.23349	-28.38637	70d108fe-c2df-46c6-a26 b-abda5f3fc4e8
255	-3.01279	-14.43375	70d108fe-c2df-46c6-a26 b-abda5f3fc4e8
256	-3.68349	-28.38637	70d108fe-c2df-46c6-a26 b-abda5f3fc4e8
257	-2.46279	-14.43375	70d108fe-c2df-46c6-a26 b-abda5f3fc4e8
258	-3.68349	-28.38637	70d108fe-c2df-46c6-a26 b-abda5f3fc4e8
259	-2.46279	-14.43375	70d108fe-c2df-46c6-a26 b-abda5f3fc4e8
260	-3.68349	-28.38637	70d108fe-c2df-46c6-a26 b-abda5f3fc4e8
261	-2.46279	-14.43375	70d108fe-c2df-46c6-a26 b-abda5f3fc4e8



Table: Joint Coordinates, Part 2 of 2

Joint	GlobalY m	GlobalZ m	GUID
262	-3.68349	-28.38637	70d108fe-c2df-46c6-a26 b-abda5f3fc4e8
263	-2.46279	-14.43375	70d108fe-c2df-46c6-a26 b-abda5f3fc4e8
276	-0.65	0.	70d108fe-c2df-46c6-a26 b-abda5f3fc4e8
277	-0.65	0.	70d108fe-c2df-46c6-a26 b-abda5f3fc4e8
278	-0.65	0.	70d108fe-c2df-46c6-a26 b-abda5f3fc4e8
279	-0.65	0.	70d108fe-c2df-46c6-a26 b-abda5f3fc4e8
280	-3.13349	-28.38637	70d108fe-c2df-46c6-a26 b-abda5f3fc4e8
281	-1.91279	-14.43375	70d108fe-c2df-46c6-a26 b-abda5f3fc4e8
282	-3.13349	-28.38637	70d108fe-c2df-46c6-a26 b-abda5f3fc4e8
283	-1.91279	-14.43375	70d108fe-c2df-46c6-a26 b-abda5f3fc4e8
284	-3.13349	-28.38637	70d108fe-c2df-46c6-a26 b-abda5f3fc4e8
285	-1.91279	-14.43375	70d108fe-c2df-46c6-a26 b-abda5f3fc4e8
286	-3.13349	-28.38637	70d108fe-c2df-46c6-a26 b-abda5f3fc4e8
287	-1.91279	-14.43375	70d108fe-c2df-46c6-a26 b-abda5f3fc4e8
288	0.65	0.	70d108fe-c2df-46c6-a26 b-abda5f3fc4e8
289	0.65	0.	70d108fe-c2df-46c6-a26 b-abda5f3fc4e8
290	0.65	0.	70d108fe-c2df-46c6-a26 b-abda5f3fc4e8
291	0.65	0.	70d108fe-c2df-46c6-a26 b-abda5f3fc4e8
292	3.13349	-28.38637	70d108fe-c2df-46c6-a26 b-abda5f3fc4e8
293	1.91279	-14.43375	70d108fe-c2df-46c6-a26 b-abda5f3fc4e8
294	3.13349	-28.38637	70d108fe-c2df-46c6-a26 b-abda5f3fc4e8
295	1.91279	-14.43375	70d108fe-c2df-46c6-a26 b-abda5f3fc4e8
296	3.13349	-28.38637	70d108fe-c2df-46c6-a26 b-abda5f3fc4e8
297	1.91279	-14.43375	70d108fe-c2df-46c6-a26 b-abda5f3fc4e8
298	3.13349	-28.38637	70d108fe-c2df-46c6-a26 b-abda5f3fc4e8
299	1.91279	-14.43375	70d108fe-c2df-46c6-a26 b-abda5f3fc4e8

**Table: Joint Loads - Force, Part 1 of 2**

Table: Joint Loads - Force, Part 1 of 2							
Joint	LoadPat	CoordSys	F1 KN	F2 KN	F3 KN	M1 KN-m	M2 KN-m
72	7_ELU_01_T0_Max	GLOBAL	-1682.433	109.837	-2461.531	-1215.5978	-5480.6218
72	7_ELU_01_T0_Min	GLOBAL	-14.401	110.451	-1633.241	-872.1502	1775.7495
72	7_ELU_01_TINF_Max	GLOBAL	-1656.044	109.836	-2466.704	-1215.5973	-5313.8723
72	7_ELU_01_TINF_Min	GLOBAL	11.988	110.451	-1638.414	-872.1497	1942.4989
72	7_ELU_02_T0_Max	GLOBAL	-1192.706	366.126	-2006.988	-3044.7004	-3890.6363
72	7_ELU_02_T0_Min	GLOBAL	-221.842	366.372	-1641.94	-2907.3204	767.3247
72	7_ELU_02_TINF_Max	GLOBAL	-1166.317	366.126	-2012.16	-3044.6999	-3723.8868
72	7_ELU_02_TINF_Min	GLOBAL	-195.453	366.372	-1647.113	-2907.3199	934.0742
72	7_ELU_03_T0_Max	GLOBAL	-1402.426	109.837	-2021.45	-1009.5347	-5104.4129
72	7_ELU_03_T0_Min	GLOBAL	-93.155	110.083	-1618.826	-872.1536	1510.042
72	7_ELU_03_TINF_Max	GLOBAL	-1376.037	109.837	-2026.623	-1009.5341	-4937.6634
72	7_ELU_03_TINF_Min	GLOBAL	-66.766	110.083	-1623.999	-872.153	1676.7915
72	7_ELU_SISMO_X_T0_Max	GLOBAL	-780.278	-39.602	-1276.749	-319.3422	-2659.1921
72	7_ELU_SISMO_X_T0_Min	GLOBAL	-38.418	39.601	-1215.575	319.4261	1154.3004
72	7_ELU_SISMO_X_TINF_Max	GLOBAL	-760.731	-39.602	-1280.581	-319.3418	-2535.674
72	7_ELU_SISMO_X_TINF_Min	GLOBAL	-18.871	39.601	-1219.407	319.4265	1277.8186
72	7_ELU_SISMO_Y_T0_Max	GLOBAL	-530.635	-132.001	-1262.625	-1064.5295	-1349.686
72	7_ELU_SISMO_Y_T0_Min	GLOBAL	-288.062	131.999	-1229.699	1064.6134	-155.2056
72	7_ELU_SISMO_Y_TINF_Max	GLOBAL	-511.087	-132.001	-1266.457	-1064.5291	-1226.1679
72	7_ELU_SISMO_Y_TINF_Min	GLOBAL	-268.514	131.999	-1233.531	1064.6138	-31.6875
72	7_ELU_SISMO_Z_T0_Max	GLOBAL	-563.962	-39.604	-1286.893	-319.3571	-1433.6619
72	7_ELU_SISMO_Z_T0_Min	GLOBAL	-254.735	39.603	-1205.431	319.4411	-71.2297
72	7_ELU_SISMO_Z_TINF_Max	GLOBAL	-544.414	-39.604	-1290.725	-319.3567	-1310.1438
72	7_ELU_SISMO_Z_TINF_Min	GLOBAL	-235.187	39.603	-1209.263	319.4415	52.2884
72	8_ELU_01_T0_Max	GLOBAL	15.216	110.353	-2461.439	-1218.2017	-1771.7357
72	8_ELU_01_T0_Min	GLOBAL	1681.619	110.957	-1633.315	-875.4013	5476.8353
72	8_ELU_01_TINF_Max	GLOBAL	-20.327	110.353	-2466.575	-1218.1996	-1985.6766
72	8_ELU_01_TINF_Min	GLOBAL	1646.077	110.957	-1638.451	-875.3993	5262.8944
72	8_ELU_02_T0_Max	GLOBAL	222.167	367.849	-2006.845	-3055.2784	-765.9705
72	8_ELU_02_T0_Min	GLOBAL	1192.381	368.091	-1642.088	-2918.1574	3889.4359
72	8_ELU_02_TINF_Max	GLOBAL	186.625	367.849	-2011.982	-3055.2763	-979.9114
72	8_ELU_02_TINF_Min	GLOBAL	1156.839	368.091	-1647.225	-2918.1553	3675.495
72	8_ELU_03_T0_Max	GLOBAL	93.48	110.354	-2021.211	-1012.5265	-1508.9313
72	8_ELU_03_T0_Min	GLOBAL	1402.1	110.596	-1619.127	-875.4045	5103.5971

Table: Joint Loads - Force, Part 1 of 2

Joint	LoadPat	CoordSys	F1 KN	F2 KN	F3 KN	M1 KN-m	M2 KN-m
72	8_ELU_03_TINF_Max	GLOBAL	57.938	110.353	-2026.348	-1012.5244	-1722.8721
72	8_ELU_03_TINF_Min	GLOBAL	1366.558	110.595	-1624.263	-875.4025	4889.6562
72	8_ELU_SISMO_X_T0_Max	GLOBAL	39.85	-36.598	-1276.817	-296.6605	-1146.8145
72	8_ELU_SISMO_X_T0_Min	GLOBAL	778.847	36.597	-1215.461	296.7444	2651.6268
72	8_ELU_SISMO_X_T1_NF_Max	GLOBAL	13.522	-36.598	-1280.622	-296.659	-1305.2892
72	8_ELU_SISMO_X_T1_NF_Min	GLOBAL	752.519	36.596	-1219.266	296.7459	2493.152
72	8_ELU_SISMO_Y_T0_Max	GLOBAL	288.492	-121.985	-1262.608	-988.9142	157.4038
72	8_ELU_SISMO_Y_T0_Min	GLOBAL	530.205	121.984	-1229.671	988.9981	1347.4084
72	8_ELU_SISMO_Y_T1_NF_Max	GLOBAL	262.164	-121.985	-1266.413	-988.9127	-1.0709
72	8_ELU_SISMO_Y_T1_NF_Min	GLOBAL	503.877	121.983	-1233.476	988.9996	1188.9337
72	8_ELU_SISMO_Z_T0_Max	GLOBAL	255.166	-36.599	-1286.804	-296.6721	73.3617
72	8_ELU_SISMO_Z_T0_Min	GLOBAL	563.531	36.598	-1205.475	296.756	1431.4506
72	8_ELU_SISMO_Z_T1_NF_Max	GLOBAL	228.839	-36.6	-1290.608	-296.6706	-85.113
72	8_ELU_SISMO_Z_T1_NF_Min	GLOBAL	537.203	36.598	-1209.28	296.7575	1272.9758

Table: Joint Loads - Force, Part 2 of 2

Table: Joint Loads - Force, Part 2 of 2

Joint	LoadPat	M3 KN-m	GUID
72	7_ELU_01_T0_Max	0.	d9393085-05c8-4dd3-9803-6ce276e6c72e
72	7_ELU_01_T0_Min	0.	a8127f37-382c-44bb-894e-71b2c7cfbfb
72	7_ELU_01_TINF_Max	0.	4901192c-a278-4d89-a3a2-7ce7e08f1a8f
72	7_ELU_01_TINF_Min	0.	42fde746-cc6f-4ade-bdc3-364dd937ed85
72	7_ELU_02_T0_Max	0.	e2e4b50d-9a2c-4ed3-883a-d879fab6be72
72	7_ELU_02_T0_Min	0.	c633746f-9f12-45e3-9c09-258e4659c611
72	7_ELU_02_TINF_Max	0.	339e6bc5-3763-48af-932c-d86905ea7d86
72	7_ELU_02_TINF_Min	0.	ffb7f23b-b00b-44e4-b3d9-9e5d8723f075
72	7_ELU_03_T0_Max	0.	414344b2-6640-420b-a20a-ca467e8b43ee
72	7_ELU_03_T0_Min	0.	0e48574c-9085-4ab3-bb12-7a79a72c16e9
72	7_ELU_03_TINF_Max	0.	199026bc-52de-463c-853c-f0f78ad7f45e
72	7_ELU_03_TINF_Min	0.	762fe3e2-1202-4585-a803-7d8326cc8746

Table: Joint Loads - Force, Part 2 of 2

Joint	LoadPat	M3 KN-m	GUID
72	7_ELU_SISMO_X_T 0_Max	0.	65fa291f-be86-43ac-8d2 c-bdd8c2a7e376
72	7_ELU_SISMO_X_T 0_Min	0.	a82e1fd5-f496-4d6f-9619 -2f746be51843
72	7_ELU_SISMO_X_TI NF_Max	0.	eb8996fa-2581-41aa-a86 2-cec7643c2658
72	7_ELU_SISMO_X_TI NF_Min	0.	f9e9aa37-aa0a-4891-adc a-c7885680b2a3
72	7_ELU_SISMO_Y_T 0_Max	0.	8b1fc136-c8d7-4949-8e9 1-bf3ab670b259
72	7_ELU_SISMO_Y_T 0_Min	0.	cd13d0ae-3be1-4b69-b3 2b-2a5924d659a0
72	7_ELU_SISMO_Y_TI NF_Max	0.	c3b96e06-30d5-416a-a1 54-d64c28599e4a
72	7_ELU_SISMO_Y_TI NF_Min	0.	1772191c-1c57-4499-8d 75-be968d6343a2
72	7_ELU_SISMO_Z_T 0_Max	0.	82d6ef5d-841e-4c87-b4c 6-7bc26b513018
72	7_ELU_SISMO_Z_T 0_Min	0.	d3dfc3b6-03f4-4594-993 5-efb3717e6fc4
72	7_ELU_SISMO_Z_TI NF_Max	0.	2292e360-363c-4234-97 a0-9708d38fe22a
72	7_ELU_SISMO_Z_TI NF_Min	0.	91bd7e7b-d5f0-41ec-899 5-0351e72545a8
72	8_ELU_01_T0_Max	0.	a5672a43-9d8c-43f4-9aa 3-8de34fde6988
72	8_ELU_01_T0_Min	0.	cbb557dc-b3d3-4902-ae a9-47eaa634d1ec
72	8_ELU_01_TINF_Ma x	0.	4f15ac0b-133d-4758-b5c 2-fdb09a3d6c3a
72	8_ELU_01_TINF_Mi n	0.	fd873ccb-371f-4520-8cf8 -46f4741d8eb9
72	8_ELU_02_T0_Max	0.	7ed9fc5b-550d-42cb-b28 7-cf88266c093c
72	8_ELU_02_T0_Min	0.	66bff98a-562f-4a20-81a2 -6864a7390a31
72	8_ELU_02_TINF_Ma x	0.	e961a67c-9a4a-4963-b0 45-6774b21e3a4c
72	8_ELU_02_TINF_Mi n	0.	0fc11fd0-93ce-4dba-a6a 1-8e0590dc5470
72	8_ELU_03_T0_Max	0.	9b5c70bf-1d66-4c33-be2 5-aaf6e27ea526
72	8_ELU_03_T0_Min	0.	44141262-6acc-4b91-88 12-3df92b4302c3
72	8_ELU_03_TINF_Ma x	0.	286276ac-61e6-4620-ae e5-883239c9ae51
72	8_ELU_03_TINF_Mi n	0.	c59b6b6a-2232-453d-ae d6-dd5f53817d01
72	8_ELU_SISMO_X_T 0_Max	0.	c3e2f303-40f2-4e54-b0f6 -70729c1294a1
72	8_ELU_SISMO_X_T 0_Min	0.	fd7555cb-2723-478c-8e1 8-47f8d19e189e
72	8_ELU_SISMO_X_TI NF_Max	0.	d1218eb9-20a2-443e-9d ce-9a39ca4d371f
72	8_ELU_SISMO_X_TI NF_Min	0.	1ce3cd05-e13e-4c1a-80 84-4e521c828594
72	8_ELU_SISMO_Y_T 0_Max	0.	7da48dd3-d3f6-4539-bdd 4-3376b921b5ff
72	8_ELU_SISMO_Y_T 0_Min	0.	7ce94639-49de-4d9c-be a4-b19c32f8045e

Table: Joint Loads - Force, Part 2 of 2

Joint	LoadPat	M3 KN-m	GUID
72	8_ELU_SISMO_Y_TI NF_Max	0.	a2773513-6920-450f-af1 d-10a890a454a6
72	8_ELU_SISMO_Y_TI NF_Min	0.	911317bc-f6cc-4e0f-9f9d -bf02dc366fb0
72	8_ELU_SISMO_Z_T 0_Max	0.	7b823300-24f7-486d-9d2 d-ae1fa4951f9d
72	8_ELU_SISMO_Z_T 0_Min	0.	4708adfd-3e9f-4760-b71 5-acb16adb8190
72	8_ELU_SISMO_Z_TI NF_Max	0.	f4eeaece-a65f-4995-bc6 4-d2ce2bf8b91d
72	8_ELU_SISMO_Z_TI NF_Min	0.	9ae835f7-aae1-4f6e-a00 9-24345578b0df

Table: Load Case Definitions, Part 1 of 3

Table: Load Case Definitions, Part 1 of 3

Case	Type	InitialCond	ModalCase	BaseCase	MassSource	DesTypeOpt	DesignType
DEAD	LinStatic	Zero				Prog Det	Dead
MODAL	LinModal	Zero				Prog Det	Other
7_ELU_01_T 0_Max	LinStatic	Zero				Prog Det	Dead
7_ELU_01_T 0_Min	LinStatic	Zero				Prog Det	Dead
7_ELU_01_T INF_Max	LinStatic	Zero				Prog Det	Dead
7_ELU_01_T INF_Min	LinStatic	Zero				Prog Det	Dead
7_ELU_02_T 0_Max	LinStatic	Zero				Prog Det	Dead
7_ELU_02_T 0_Min	LinStatic	Zero				Prog Det	Dead
7_ELU_02_T INF_Max	LinStatic	Zero				Prog Det	Dead
7_ELU_02_T INF_Min	LinStatic	Zero				Prog Det	Dead
7_ELU_03_T 0_Max	LinStatic	Zero				Prog Det	Dead
7_ELU_03_T 0_Min	LinStatic	Zero				Prog Det	Dead
7_ELU_03_T INF_Max	LinStatic	Zero				Prog Det	Dead
7_ELU_03_T INF_Min	LinStatic	Zero				Prog Det	Dead
7_ELU_SIS MO_X_TO_M ax	LinStatic	Zero				Prog Det	Dead
7_ELU_SIS MO_X_TO_M in	LinStatic	Zero				Prog Det	Dead
7_ELU_SIS MO_X_TINF _Max	LinStatic	Zero				Prog Det	Dead
7_ELU_SIS MO_X_TINF _Min	LinStatic	Zero				Prog Det	Dead

Table: Load Case Definitions, Part 1 of 3

Case	Type	InitialCond	ModalCase	BaseCase	MassSource	DesTypeOpt	DesignType
7_ELU_SIS MO_Y_TO_M ax	LinStatic	Zero				Prog Det	Dead
7_ELU_SIS MO_Y_TO_M in	LinStatic	Zero				Prog Det	Dead
7_ELU_SIS MO_Y_TINF _Max	LinStatic	Zero				Prog Det	Dead
7_ELU_SIS MO_Y_TINF _Min	LinStatic	Zero				Prog Det	Dead
7_ELU_SIS MO_Z_TO_M ax	LinStatic	Zero				Prog Det	Dead
7_ELU_SIS MO_Z_TO_M in	LinStatic	Zero				Prog Det	Dead
7_ELU_SIS MO_Z_TINF _Max	LinStatic	Zero				Prog Det	Dead
7_ELU_SIS MO_Z_TINF _Min	LinStatic	Zero				Prog Det	Dead
8_ELU_01_T 0_Max	LinStatic	Zero				Prog Det	Dead
8_ELU_01_T 0_Min	LinStatic	Zero				Prog Det	Dead
8_ELU_01_T INF_Max	LinStatic	Zero				Prog Det	Dead
8_ELU_01_T INF_Min	LinStatic	Zero				Prog Det	Dead
8_ELU_02_T 0_Max	LinStatic	Zero				Prog Det	Dead
8_ELU_02_T 0_Min	LinStatic	Zero				Prog Det	Dead
8_ELU_02_T INF_Max	LinStatic	Zero				Prog Det	Dead
8_ELU_02_T INF_Min	LinStatic	Zero				Prog Det	Dead
8_ELU_03_T 0_Max	LinStatic	Zero				Prog Det	Dead
8_ELU_03_T 0_Min	LinStatic	Zero				Prog Det	Dead
8_ELU_03_T INF_Max	LinStatic	Zero				Prog Det	Dead
8_ELU_03_T INF_Min	LinStatic	Zero				Prog Det	Dead
8_ELU_SIS MO_X_TO_M ax	LinStatic	Zero				Prog Det	Dead
8_ELU_SIS MO_X_TO_M in	LinStatic	Zero				Prog Det	Dead
8_ELU_SIS MO_X_TINF _Max	LinStatic	Zero				Prog Det	Dead
8_ELU_SIS MO_X_TINF _Min	LinStatic	Zero				Prog Det	Dead

Table: Load Case Definitions, Part 1 of 3

Case	Type	InitialCond	ModalCase	BaseCase	MassSource	DesTypeOpt	DesignType
8_ELU_SIS MO_Y_TO_M ax	LinStatic	Zero				Prog Det	Dead
8_ELU_SIS MO_Y_TO_M in	LinStatic	Zero				Prog Det	Dead
8_ELU_SIS MO_Y_TINF _Max	LinStatic	Zero				Prog Det	Dead
8_ELU_SIS MO_Y_TINF _Min	LinStatic	Zero				Prog Det	Dead
8_ELU_SIS MO_Z_TO_M ax	LinStatic	Zero				Prog Det	Dead
8_ELU_SIS MO_Z_TO_M in	LinStatic	Zero				Prog Det	Dead
8_ELU_SIS MO_Z_TINF _Max	LinStatic	Zero				Prog Det	Dead
8_ELU_SIS MO_Z_TINF _Min	LinStatic	Zero				Prog Det	Dead

Table: Load Case Definitions, Part 2 of 3

Table: Load Case Definitions, Part 2 of 3

Case	DesActOpt	DesignAct	AutoType	RunCase	CaseStatus	GUID
DEAD	Prog Det	Non-Composite	None	Yes	Finished	
MODAL	Prog Det	Other	None	Yes	Finished	
7_ELU_01_T 0_Max	Prog Det	Non-Composite	None	Yes	Finished	
7_ELU_01_T 0_Min	Prog Det	Non-Composite	None	Yes	Finished	
7_ELU_01_T INF_Max	Prog Det	Non-Composite	None	Yes	Finished	
7_ELU_01_T INF_Min	Prog Det	Non-Composite	None	Yes	Finished	
7_ELU_02_T 0_Max	Prog Det	Non-Composite	None	Yes	Finished	
7_ELU_02_T 0_Min	Prog Det	Non-Composite	None	Yes	Finished	
7_ELU_02_T INF_Max	Prog Det	Non-Composite	None	Yes	Finished	
7_ELU_02_T INF_Min	Prog Det	Non-Composite	None	Yes	Finished	
7_ELU_03_T 0_Max	Prog Det	Non-Composite	None	Yes	Finished	
7_ELU_03_T 0_Min	Prog Det	Non-Composite	None	Yes	Finished	
7_ELU_03_T INF_Max	Prog Det	Non-Composite	None	Yes	Finished	
7_ELU_03_T INF_Min	Prog Det	Non-Composite	None	Yes	Finished	

Table: Load Case Definitions, Part 2 of 3

Case	DesActOpt	DesignAct	AutoType	RunCase	CaseStatus	GUID
7_ELU_SIS MO_X_TO_M ax	Prog Det	Non-Compos ite	None	Yes	Finished	
7_ELU_SIS MO_X_TO_M in	Prog Det	Non-Compos ite	None	Yes	Finished	
7_ELU_SIS MO_X_TINF _Max	Prog Det	Non-Compos ite	None	Yes	Finished	
7_ELU_SIS MO_X_TINF _Min	Prog Det	Non-Compos ite	None	Yes	Finished	
7_ELU_SIS MO_Y_TO_M ax	Prog Det	Non-Compos ite	None	Yes	Finished	
7_ELU_SIS MO_Y_TO_M in	Prog Det	Non-Compos ite	None	Yes	Finished	
7_ELU_SIS MO_Y_TINF _Max	Prog Det	Non-Compos ite	None	Yes	Finished	
7_ELU_SIS MO_Y_TINF _Min	Prog Det	Non-Compos ite	None	Yes	Finished	
7_ELU_SIS MO_Z_TO_M ax	Prog Det	Non-Compos ite	None	Yes	Finished	
7_ELU_SIS MO_Z_TO_M in	Prog Det	Non-Compos ite	None	Yes	Finished	
7_ELU_SIS MO_Z_TINF _Max	Prog Det	Non-Compos ite	None	Yes	Finished	
7_ELU_SIS MO_Z_TINF _Min	Prog Det	Non-Compos ite	None	Yes	Finished	
8_ELU_01_T 0_Max	Prog Det	Non-Compos ite	None	Yes	Finished	
8_ELU_01_T 0_Min	Prog Det	Non-Compos ite	None	Yes	Finished	
8_ELU_01_T INF_Max	Prog Det	Non-Compos ite	None	Yes	Finished	
8_ELU_01_T INF_Min	Prog Det	Non-Compos ite	None	Yes	Finished	
8_ELU_02_T 0_Max	Prog Det	Non-Compos ite	None	Yes	Finished	
8_ELU_02_T 0_Min	Prog Det	Non-Compos ite	None	Yes	Finished	
8_ELU_02_T INF_Max	Prog Det	Non-Compos ite	None	Yes	Finished	
8_ELU_02_T INF_Min	Prog Det	Non-Compos ite	None	Yes	Finished	
8_ELU_03_T 0_Max	Prog Det	Non-Compos ite	None	Yes	Finished	
8_ELU_03_T 0_Min	Prog Det	Non-Compos ite	None	Yes	Finished	
8_ELU_03_T INF_Max	Prog Det	Non-Compos ite	None	Yes	Finished	
8_ELU_03_T INF_Min	Prog Det	Non-Compos ite	None	Yes	Finished	



Table: Load Case Definitions, Part 2 of 3

Case	DesActOpt	DesignAct	AutoType	RunCase	CaseStatus	GUID
8_ELU_SIS MO_X_TO_M ax	Prog Det	Non-Compos ite	None	Yes	Finished	
8_ELU_SIS MO_X_TO_M in	Prog Det	Non-Compos ite	None	Yes	Finished	
8_ELU_SIS MO_X_TINF _Max	Prog Det	Non-Compos ite	None	Yes	Finished	
8_ELU_SIS MO_X_TINF _Min	Prog Det	Non-Compos ite	None	Yes	Finished	
8_ELU_SIS MO_Y_TO_M ax	Prog Det	Non-Compos ite	None	Yes	Finished	
8_ELU_SIS MO_Y_TO_M in	Prog Det	Non-Compos ite	None	Yes	Finished	
8_ELU_SIS MO_Y_TINF _Max	Prog Det	Non-Compos ite	None	Yes	Finished	
8_ELU_SIS MO_Y_TINF _Min	Prog Det	Non-Compos ite	None	Yes	Finished	
8_ELU_SIS MO_Z_TO_M ax	Prog Det	Non-Compos ite	None	Yes	Finished	
8_ELU_SIS MO_Z_TO_M in	Prog Det	Non-Compos ite	None	Yes	Finished	
8_ELU_SIS MO_Z_TINF _Max	Prog Det	Non-Compos ite	None	Yes	Finished	
8_ELU_SIS MO_Z_TINF _Min	Prog Det	Non-Compos ite	None	Yes	Finished	

Table: Load Case Definitions, Part 3 of 3

Table: Load Case Definitions, Part 3 of 3

Case	Notes
DEAD	
MODAL	
7_ELU_01_T 0_Max	
7_ELU_01_T 0_Min	
7_ELU_01_T INF_Max	
7_ELU_01_T INF_Min	
7_ELU_02_T 0_Max	
7_ELU_02_T 0_Min	
7_ELU_02_T INF_Max	

**Table: Load Case Definitions, Part 3 of 3**

Case	Notes
7_ELU_02_T	
INF_Min	
7_ELU_03_T	
0_Max	
7_ELU_03_T	
0_Min	
7_ELU_03_T	
INF_Max	
7_ELU_03_T	
INF_Min	
7_ELU_SIS	
MO_X_T0_M	
ax	
7_ELU_SIS	
MO_X_T0_M	
in	
7_ELU_SIS	
MO_X_TINF	
_Max	
7_ELU_SIS	
MO_X_TINF	
_Min	
7_ELU_SIS	
MO_Y_T0_M	
ax	
7_ELU_SIS	
MO_Y_T0_M	
in	
7_ELU_SIS	
MO_Y_TINF	
_Max	
7_ELU_SIS	
MO_Y_TINF	
_Min	
7_ELU_SIS	
MO_Z_T0_M	
ax	
7_ELU_SIS	
MO_Z_T0_M	
in	
7_ELU_SIS	
MO_Z_TINF	
_Max	
7_ELU_SIS	
MO_Z_TINF	
_Min	
8_ELU_01_T	
0_Max	
8_ELU_01_T	
0_Min	
8_ELU_01_T	
INF_Max	
8_ELU_01_T	
INF_Min	
8_ELU_02_T	
0_Max	
8_ELU_02_T	
0_Min	
8_ELU_02_T	
INF_Max	

**Table: Load Case Definitions, Part 3 of 3**

Case	Notes
8_ELU_02_T INF_Min	
8_ELU_03_T 0_Max	
8_ELU_03_T 0_Min	
8_ELU_03_T INF_Max	
8_ELU_03_T INF_Min	
8_ELU_SIS MO_X_T0_M ax	
8_ELU_SIS MO_X_T0_M in	
8_ELU_SIS MO_X_TINF _Max	
8_ELU_SIS MO_X_TINF _Min	
8_ELU_SIS MO_Y_T0_M ax	
8_ELU_SIS MO_Y_T0_M in	
8_ELU_SIS MO_Y_TINF _Max	
8_ELU_SIS MO_Y_TINF _Min	
8_ELU_SIS MO_Z_T0_M ax	
8_ELU_SIS MO_Z_T0_M in	
8_ELU_SIS MO_Z_TINF _Max	
8_ELU_SIS MO_Z_TINF _Min	

**Table: Load Pattern Definitions****Table: Load Pattern Definitions**

LoadPat	DesignType	SelfWtMult	AutoLoad	GUID	Notes
7_ELU_01_T0_Max	Dead	0.		5bc239df-565d-46aa-a2c 2-09e647f91a87	
7_ELU_01_T0_Min	Dead	0.			
7_ELU_01_TINF_Ma x	Dead	0.			
7_ELU_01_TINF_Mi n	Dead	0.			

Table: Load Pattern Definitions

LoadPat	DesignType	SelfWtMult	AutoLoad	GUID	Notes
7_ELU_02_T0_Max	Dead	0.			
7_ELU_02_T0_Min	Dead	0.			
7_ELU_02_TINF_Ma x	Dead	0.			
7_ELU_02_TINF_Mi n	Dead	0.			
7_ELU_03_T0_Max	Dead	0.			
7_ELU_03_T0_Min	Dead	0.			
7_ELU_03_TINF_Ma x	Dead	0.			
7_ELU_03_TINF_Mi n	Dead	0.			
7_ELU_SISMO_X_T 0_Max	Dead	0.			
7_ELU_SISMO_X_T 0_Min	Dead	0.			
7_ELU_SISMO_X_TI NF_Max	Dead	0.			
7_ELU_SISMO_X_TI NF_Min	Dead	0.			
7_ELU_SISMO_Y_T 0_Max	Dead	0.			
7_ELU_SISMO_Y_T 0_Min	Dead	0.			
7_ELU_SISMO_Y_TI NF_Max	Dead	0.			
7_ELU_SISMO_Y_TI NF_Min	Dead	0.			
7_ELU_SISMO_Z_T 0_Max	Dead	0.			
7_ELU_SISMO_Z_T 0_Min	Dead	0.			
7_ELU_SISMO_Z_TI NF_Max	Dead	0.			
7_ELU_SISMO_Z_TI NF_Min	Dead	0.			
8_ELU_01_T0_Max	Dead	0.			
8_ELU_01_T0_Min	Dead	0.			
8_ELU_01_TINF_Ma x	Dead	0.			
8_ELU_01_TINF_Mi n	Dead	0.			
8_ELU_02_T0_Max	Dead	0.			
8_ELU_02_T0_Min	Dead	0.			
8_ELU_02_TINF_Ma x	Dead	0.			
8_ELU_02_TINF_Mi n	Dead	0.			
8_ELU_03_T0_Max	Dead	0.			
8_ELU_03_T0_Min	Dead	0.			
8_ELU_03_TINF_Ma x	Dead	0.			
8_ELU_03_TINF_Mi n	Dead	0.			
8_ELU_SISMO_X_T 0_Max	Dead	0.			
8_ELU_SISMO_X_T 0_Min	Dead	0.			

Table: Load Pattern Definitions

LoadPat	DesignType	SelfWtMult	AutoLoad	GUID	Notes
8_ELU_SISMO_X_TI NF_Max	Dead	0.			
8_ELU_SISMO_X_TI NF_Min	Dead	0.			
8_ELU_SISMO_Y_T 0_Max	Dead	0.			
8_ELU_SISMO_Y_T 0_Min	Dead	0.			
8_ELU_SISMO_Y_TI NF_Max	Dead	0.			
8_ELU_SISMO_Y_TI NF_Min	Dead	0.			
8_ELU_SISMO_Z_T 0_Max	Dead	0.			
8_ELU_SISMO_Z_T 0_Min	Dead	0.			
8_ELU_SISMO_Z_TI NF_Max	Dead	0.			
8_ELU_SISMO_Z_TI NF_Min	Dead	0.			

Table: Material Properties 01 - General, Part 1 of 2

Table: Material Properties 01 - General, Part 1 of 2

Material	Type	SymType	TempDepen d	Color	GUID
A615Gr60	Rebar	Uniaxial	No	Cyan	
A992Fy50	Steel	Isotropic	No	Cyan	
HORMIGÓN	Concrete	Isotropic	No	Red	

Table: Material Properties 01 - General, Part 2 of 2

Table: Material Properties 01 - General, Part 2 of  
2

Material	Notes
A615Gr60	ASTM A615 Grade 60 09/01/2017 9:22:10
A992Fy50	ASTM A992 Grade 50 09/01/2017 9:20:20
HORMIGÓN	Customary f'c 4000 psi 09/01/2017 9:20:20

Table: Material Properties 02 - Basic Mechanical Properties

Table: Material Properties 02 - Basic Mechanical Properties

Material	UnitWeight KN/m3	UnitMass KN-s2/m4	E1 KN/m2	G12 KN/m2	U12	A1 1/C
A615Gr60	7.6973E+01	7.8490E+00	199947978.8			1.1700E-05
A992Fy50	7.6973E+01	7.8490E+00	199947978.8	76903068.77	0.3	1.1700E-05
HORMIGÓN	2.5000E+01	2.5493E+00	28576790.96	11906996.23	0.2	9.9000E-06

**Table: Material Properties 03b - Concrete Data, Part 1 of 2****Table: Material Properties 03b - Concrete Data, Part 1 of 2**

Material	Fc KN/m2	eFc KN/m2	LtWtConc	SSCurveOpt	SSHysType	SFc	SCap	FinalSlope
HORMIGÓN	30000.	30000.	No	Mander	Takeda	0.002219	0.005	-0.1

**Table: Material Properties 03b - Concrete Data, Part 2 of 2****Table: Material Properties 03b - Concrete  
Data, Part 2 of 2**

Material	FAngle Degrees	DAngle Degrees
HORMIGÓN	0.	0.

## PASARELA UCA. MICROPILOTES PILAS P7 Y P8

### MICROPILOTES: COMPROBACIÓN ESTRUCTURAL EN SECCIÓN MAS SOLICITADA

SE PLANTEA EL SIGUIENTE CRITERIO DE INTERACCIÓN DE ESFUERZOS

$$M_d/M_{rd} + N_d/N_{rd} < 1 \text{ y } V_d < 0.5 \cdot V_{rd} \cdot (1 - N_d/N_{rd})$$

El que se cumpla la condición anterior es suficiente para que el punto quede dentro del diagrama de interacción representado en el artículo 6.3.6.5 de la RPX-95

#### Esfuerzos resistentes (según características micro)

Nrd (kN)	690.9	kN
Mrd	41.0	kN*m
Vrd	455.3	kN

VERDADERO VERDADERO

PILA	FRAME	OutputCase	CaseType	Nd	Vd	Md	Cumple 1	Cumple 2
Text	Text	Text	Text	KN	KN	KN-m		
7	124	ELU_01_T0_Max	Combination	247.3	13.8	21.5	VERDADERO	VERDADERO
7	126	ELU_01_T0_Max	Combination	-64.3	14.4	22.3	VERDADERO	VERDADERO
7	150	ELU_01_T0_Max	Combination	284.8	13.7	21.3	VERDADERO	VERDADERO
7	162	ELU_01_T0_Max	Combination	-101.8	14.3	22.1	VERDADERO	VERDADERO
7	172	ELU_01_T0_Max	Combination	301.9	13.6	21.2	VERDADERO	VERDADERO
7	174	ELU_01_T0_Max	Combination	-10.7	14.6	22.5	VERDADERO	VERDADERO
7	176	ELU_01_T0_Max	Combination	339.2	13.5	21.0	VERDADERO	VERDADERO
7	178	ELU_01_T0_Max	Combination	-48.0	14.4	22.3	VERDADERO	VERDADERO
7	180	ELU_01_T0_Max	Combination	287.7	13.7	21.3	VERDADERO	VERDADERO
7	182	ELU_01_T0_Max	Combination	-24.8	14.5	22.5	VERDADERO	VERDADERO
7	184	ELU_01_T0_Max	Combination	325.1	13.6	21.1	VERDADERO	VERDADERO
7	186	ELU_01_T0_Max	Combination	-62.1	14.4	22.3	VERDADERO	VERDADERO
7	188	ELU_01_T0_Max	Combination	193.0	14.0	21.7	VERDADERO	VERDADERO
7	190	ELU_01_T0_Max	Combination	-119.5	14.2	22.0	VERDADERO	VERDADERO
7	192	ELU_01_T0_Max	Combination	230.3	13.9	21.5	VERDADERO	VERDADERO
7	194	ELU_01_T0_Max	Combination	-156.9	14.1	21.9	VERDADERO	VERDADERO
7	196	ELU_01_T0_Max	Combination	207.1	13.9	21.6	VERDADERO	VERDADERO
7	198	ELU_01_T0_Max	Combination	-105.4	14.3	22.1	VERDADERO	VERDADERO
7	200	ELU_01_T0_Max	Combination	244.4	13.8	21.4	VERDADERO	VERDADERO
7	202	ELU_01_T0_Max	Combination	-142.7	14.2	21.9	VERDADERO	VERDADERO
7	228	ELU_01_T0_Max	Combination	221.2	13.9	21.6	VERDADERO	VERDADERO
7	230	ELU_01_T0_Max	Combination	-91.3	14.3	22.2	VERDADERO	VERDADERO
7	232	ELU_01_T0_Max	Combination	258.6	13.8	21.4	VERDADERO	VERDADERO
7	234	ELU_01_T0_Max	Combination	-128.6	14.2	22.0	VERDADERO	VERDADERO
7	236	ELU_01_T0_Max	Combination	273.6	13.7	21.3	VERDADERO	VERDADERO
7	238	ELU_01_T0_Max	Combination	-38.9	14.5	22.4	VERDADERO	VERDADERO
7	240	ELU_01_T0_Max	Combination	310.9	13.6	21.1	VERDADERO	VERDADERO
7	242	ELU_01_T0_Max	Combination	-76.2	14.3	22.2	VERDADERO	VERDADERO
7	124	ELU_01_T0_Min	Combination	1.3	8.1	14.0	VERDADERO	VERDADERO
7	126	ELU_01_T0_Min	Combination	120.2	8.5	14.6	VERDADERO	VERDADERO
7	150	ELU_01_T0_Min	Combination	58.3	7.9	13.8	VERDADERO	VERDADERO
7	162	ELU_01_T0_Min	Combination	63.1	8.3	14.3	VERDADERO	VERDADERO
7	172	ELU_01_T0_Min	Combination	40.9	8.0	13.9	VERDADERO	VERDADERO
7	174	ELU_01_T0_Min	Combination	158.5	8.5	14.7	VERDADERO	VERDADERO
7	176	ELU_01_T0_Min	Combination	97.8	7.8	13.6	VERDADERO	VERDADERO
7	178	ELU_01_T0_Min	Combination	101.6	8.4	14.4	VERDADERO	VERDADERO
7	180	ELU_01_T0_Min	Combination	32.6	8.0	13.9	VERDADERO	VERDADERO
7	182	ELU_01_T0_Min	Combination	150.1	8.5	14.6	VERDADERO	VERDADERO
7	184	ELU_01_T0_Min	Combination	89.5	7.8	13.6	VERDADERO	VERDADERO
7	186	ELU_01_T0_Min	Combination	93.3	8.3	14.4	VERDADERO	VERDADERO

## PASARELA UCA. MICROPILOTES PILAS P7 Y P8

### MICROPILOTES: COMPROBACIÓN ESTRUCTURAL EN SECCIÓN MAS SOLICITADA

SE PLANTEA EL SIGUIENTE CRITERIO DE INTERACCIÓN DE ESFUERZOS

$$M_d/M_{rd} + N_d/N_{rd} < 1 \text{ y } V_d < 0.5 \cdot V_{rd} \cdot (1 - N_d/N_{rd})$$

El que se cumpla la condición anterior es suficiente para que el punto quede dentro del diagrama de interacción representado en el artículo 6.3.6.5 de la RPX-95

#### Esfuerzos resistentes (según características micro)

Nrd (kN)	690.9	kN
Mrd	41.0	kN*m
Vrd	455.3	kN

VERDADERO VERDADERO

PILA	FRAME	OutputCase	CaseType	Nd	Vd	Md	Cumple 1	Cumple 2
Text	Text	Text	Text	KN	KN	KN-m		
7	188	ELU_01_TO_Min	Combination	-37.5	8.2	14.1	VERDADERO	VERDADERO
7	190	ELU_01_TO_Min	Combination	80.0	8.4	14.4	VERDADERO	VERDADERO
7	192	ELU_01_TO_Min	Combination	19.4	8.0	13.9	VERDADERO	VERDADERO
7	194	ELU_01_TO_Min	Combination	23.2	8.2	14.2	VERDADERO	VERDADERO
7	196	ELU_01_TO_Min	Combination	-29.2	8.2	14.1	VERDADERO	VERDADERO
7	198	ELU_01_TO_Min	Combination	88.4	8.4	14.5	VERDADERO	VERDADERO
7	200	ELU_01_TO_Min	Combination	27.7	8.0	13.8	VERDADERO	VERDADERO
7	202	ELU_01_TO_Min	Combination	31.5	8.2	14.2	VERDADERO	VERDADERO
7	228	ELU_01_TO_Min	Combination	-20.8	8.1	14.1	VERDADERO	VERDADERO
7	230	ELU_01_TO_Min	Combination	96.7	8.5	14.5	VERDADERO	VERDADERO
7	232	ELU_01_TO_Min	Combination	36.0	8.0	13.8	VERDADERO	VERDADERO
7	234	ELU_01_TO_Min	Combination	39.8	8.3	14.2	VERDADERO	VERDADERO
7	236	ELU_01_TO_Min	Combination	24.3	8.1	13.9	VERDADERO	VERDADERO
7	238	ELU_01_TO_Min	Combination	141.8	8.5	14.6	VERDADERO	VERDADERO
7	240	ELU_01_TO_Min	Combination	81.2	7.9	13.7	VERDADERO	VERDADERO
7	242	ELU_01_TO_Min	Combination	85.0	8.3	14.3	VERDADERO	VERDADERO
7	124	ELU_01_TINF_M	Combination	242.4	13.9	21.7	VERDADERO	VERDADERO
7	126	ELU_01_TINF_M	Combination	-59.0	14.5	22.6	VERDADERO	VERDADERO
7	150	ELU_01_TINF_M	Combination	281.8	13.8	21.5	VERDADERO	VERDADERO
7	162	ELU_01_TINF_M	Combination	-98.4	14.4	22.4	VERDADERO	VERDADERO
7	172	ELU_01_TINF_M	Combination	296.9	13.8	21.5	VERDADERO	VERDADERO
7	174	ELU_01_TINF_M	Combination	-5.4	14.7	22.8	VERDADERO	VERDADERO
7	176	ELU_01_TINF_M	Combination	336.2	13.6	21.3	VERDADERO	VERDADERO
7	178	ELU_01_TINF_M	Combination	-44.6	14.6	22.6	VERDADERO	VERDADERO
7	180	ELU_01_TINF_M	Combination	282.8	13.8	21.5	VERDADERO	VERDADERO
7	182	ELU_01_TINF_M	Combination	-19.5	14.6	22.7	VERDADERO	VERDADERO
7	184	ELU_01_TINF_M	Combination	322.1	13.7	21.3	VERDADERO	VERDADERO
7	186	ELU_01_TINF_M	Combination	-58.7	14.5	22.6	VERDADERO	VERDADERO
7	188	ELU_01_TINF_M	Combination	188.1	14.1	22.0	VERDADERO	VERDADERO
7	190	ELU_01_TINF_M	Combination	-114.2	14.4	22.3	VERDADERO	VERDADERO
7	192	ELU_01_TINF_M	Combination	227.3	14.0	21.8	VERDADERO	VERDADERO
7	194	ELU_01_TINF_M	Combination	-153.5	14.2	22.1	VERDADERO	VERDADERO
7	196	ELU_01_TINF_M	Combination	202.2	14.1	21.9	VERDADERO	VERDADERO
7	198	ELU_01_TINF_M	Combination	-100.1	14.4	22.4	VERDADERO	VERDADERO
7	200	ELU_01_TINF_M	Combination	241.4	13.9	21.7	VERDADERO	VERDADERO
7	202	ELU_01_TINF_M	Combination	-139.3	14.3	22.2	VERDADERO	VERDADERO
7	228	ELU_01_TINF_M	Combination	216.3	14.0	21.8	VERDADERO	VERDADERO
7	230	ELU_01_TINF_M	Combination	-86.0	14.5	22.5	VERDADERO	VERDADERO
7	232	ELU_01_TINF_M	Combination	255.6	13.9	21.6	VERDADERO	VERDADERO
7	234	ELU_01_TINF_M	Combination	-125.2	14.3	22.3	VERDADERO	VERDADERO



## PASARELA UCA. MICROPILOTES PILAS P7 Y P8

### MICROPILOTES: COMPROBACIÓN ESTRUCTURAL EN SECCIÓN MAS SOLICITADA

SE PLANTEA EL SIGUIENTE CRITERIO DE INTERACCIÓN DE ESFUERZOS

$$M_d/M_{rd} + N_d/N_{rd} < 1 \text{ y } V_d < 0.5 \cdot V_{rd} \cdot (1 - N_d/N_{rd})$$

El que se cumpla la condición anterior es suficiente para que el punto quede dentro del diagrama de interacción representado en el artículo 6.3.6.5 de la RPX-95

#### Esfuerzos resistentes (según características micro)

Nrd (kN)	690.9	kN
Mrd	41.0	kN*m
Vrd	455.3	kN

VERDADERO VERDADERO

PILA	FRAME	OutputCase	CaseType	Nd	Vd	Md	Cumple 1	Cumple 2
Text	Text	Text	Text	KN	KN	KN-m		
7	236	ELU_01_TINF_M	Combination	268.7	13.9	21.6	VERDADERO	VERDADERO
7	238	ELU_01_TINF_M	Combination	-33.6	14.6	22.7	VERDADERO	VERDADERO
7	240	ELU_01_TINF_M	Combination	307.9	13.7	21.4	VERDADERO	VERDADERO
7	242	ELU_01_TINF_M	Combination	-72.9	14.5	22.5	VERDADERO	VERDADERO
7	124	ELU_01_TINF_M	Combination	-3.7	8.2	14.3	VERDADERO	VERDADERO
7	126	ELU_01_TINF_M	Combination	125.5	8.6	14.9	VERDADERO	VERDADERO
7	150	ELU_01_TINF_M	Combination	55.3	8.0	14.0	VERDADERO	VERDADERO
7	162	ELU_01_TINF_M	Combination	66.5	8.4	14.6	VERDADERO	VERDADERO
7	172	ELU_01_TINF_M	Combination	36.0	8.1	14.1	VERDADERO	VERDADERO
7	174	ELU_01_TINF_M	Combination	163.8	8.7	14.9	VERDADERO	VERDADERO
7	176	ELU_01_TINF_M	Combination	94.8	7.9	13.8	VERDADERO	VERDADERO
7	178	ELU_01_TINF_M	Combination	105.0	8.5	14.7	VERDADERO	VERDADERO
7	180	ELU_01_TINF_M	Combination	27.7	8.2	14.2	VERDADERO	VERDADERO
7	182	ELU_01_TINF_M	Combination	155.5	8.7	14.9	VERDADERO	VERDADERO
7	184	ELU_01_TINF_M	Combination	86.5	8.0	13.9	VERDADERO	VERDADERO
7	186	ELU_01_TINF_M	Combination	96.7	8.5	14.6	VERDADERO	VERDADERO
7	188	ELU_01_TINF_M	Combination	-42.4	8.3	14.4	VERDADERO	VERDADERO
7	190	ELU_01_TINF_M	Combination	85.3	8.5	14.7	VERDADERO	VERDADERO
7	192	ELU_01_TINF_M	Combination	16.4	8.1	14.1	VERDADERO	VERDADERO
7	194	ELU_01_TINF_M	Combination	26.6	8.3	14.4	VERDADERO	VERDADERO
7	196	ELU_01_TINF_M	Combination	-34.1	8.3	14.4	VERDADERO	VERDADERO
7	198	ELU_01_TINF_M	Combination	93.7	8.6	14.8	VERDADERO	VERDADERO
7	200	ELU_01_TINF_M	Combination	24.7	8.1	14.1	VERDADERO	VERDADERO
7	202	ELU_01_TINF_M	Combination	34.9	8.4	14.5	VERDADERO	VERDADERO
7	228	ELU_01_TINF_M	Combination	-25.8	8.3	14.3	VERDADERO	VERDADERO
7	230	ELU_01_TINF_M	Combination	102.0	8.6	14.8	VERDADERO	VERDADERO
7	232	ELU_01_TINF_M	Combination	33.0	8.1	14.1	VERDADERO	VERDADERO
7	234	ELU_01_TINF_M	Combination	43.2	8.4	14.5	VERDADERO	VERDADERO
7	236	ELU_01_TINF_M	Combination	19.4	8.2	14.2	VERDADERO	VERDADERO
7	238	ELU_01_TINF_M	Combination	147.1	8.6	14.9	VERDADERO	VERDADERO
7	240	ELU_01_TINF_M	Combination	78.2	8.0	13.9	VERDADERO	VERDADERO
7	242	ELU_01_TINF_M	Combination	88.3	8.4	14.6	VERDADERO	VERDADERO
7	124	ELU_02_TO_Max	Combination	185.3	10.9	16.2	VERDADERO	VERDADERO
7	126	ELU_02_TO_Max	Combination	-36.0	11.3	16.9	VERDADERO	VERDADERO
7	150	ELU_02_TO_Max	Combination	211.7	10.8	16.1	VERDADERO	VERDADERO
7	162	ELU_02_TO_Max	Combination	-62.4	11.2	16.7	VERDADERO	VERDADERO
7	172	ELU_02_TO_Max	Combination	322.1	10.4	15.6	VERDADERO	VERDADERO
7	174	ELU_02_TO_Max	Combination	100.2	11.6	17.3	VERDADERO	VERDADERO
7	176	ELU_02_TO_Max	Combination	348.4	10.3	15.4	VERDADERO	VERDADERO
7	178	ELU_02_TO_Max	Combination	73.9	11.5	17.2	VERDADERO	VERDADERO

## PASARELA UCA. MICROPILOTES PILAS P7 Y P8

### MICROPILOTES: COMPROBACIÓN ESTRUCTURAL EN SECCIÓN MAS SOLICITADA

SE PLANTEA EL SIGUIENTE CRITERIO DE INTERACCIÓN DE ESFUERZOS

$$M_d/M_{rd} + N_d/N_{rd} < 1 \text{ y } V_d < 0.5 \cdot V_{rd} \cdot (1 - N_d/N_{rd})$$

El que se cumpla la condición anterior es suficiente para que el punto quede dentro del diagrama de interacción representado en el artículo 6.3.6.5 de la RPX-95

#### Esfuerzos resistentes (según características micro)

Nrd (kN)	690.9	kN
Mrd	41.0	kN*m
Vrd	455.3	kN

VERDADERO VERDADERO

PILA	FRAME	OutputCase	CaseType	Nd	Vd	Md	Cumple 1	Cumple 2
Text	Text	Text	Text	KN	KN	KN-m		
7	180	ELU_02_T0_Max	Combination	291.9	10.5	15.7	VERDADERO	VERDADERO
7	182	ELU_02_T0_Max	Combination	70.0	11.5	17.2	VERDADERO	VERDADERO
7	184	ELU_02_T0_Max	Combination	318.2	10.4	15.6	VERDADERO	VERDADERO
7	186	ELU_02_T0_Max	Combination	43.7	11.4	17.1	VERDADERO	VERDADERO
7	188	ELU_02_T0_Max	Combination	48.5	11.2	16.7	VERDADERO	VERDADERO
7	190	ELU_02_T0_Max	Combination	-173.4	10.9	16.3	VERDADERO	VERDADERO
7	192	ELU_02_T0_Max	Combination	74.8	11.1	16.6	VERDADERO	VERDADERO
7	194	ELU_02_T0_Max	Combination	-199.7	10.8	16.2	VERDADERO	VERDADERO
7	196	ELU_02_T0_Max	Combination	78.7	11.1	16.6	VERDADERO	VERDADERO
7	198	ELU_02_T0_Max	Combination	-143.3	11.0	16.4	VERDADERO	VERDADERO
7	200	ELU_02_T0_Max	Combination	104.9	11.1	16.5	VERDADERO	VERDADERO
7	202	ELU_02_T0_Max	Combination	-169.5	10.9	16.3	VERDADERO	VERDADERO
7	228	ELU_02_T0_Max	Combination	108.8	11.0	16.5	VERDADERO	VERDADERO
7	230	ELU_02_T0_Max	Combination	-113.1	11.1	16.6	VERDADERO	VERDADERO
7	232	ELU_02_T0_Max	Combination	135.1	11.0	16.4	VERDADERO	VERDADERO
7	234	ELU_02_T0_Max	Combination	-139.4	11.0	16.5	VERDADERO	VERDADERO
7	236	ELU_02_T0_Max	Combination	261.7	10.6	15.9	VERDADERO	VERDADERO
7	238	ELU_02_T0_Max	Combination	39.8	11.4	17.0	VERDADERO	VERDADERO
7	240	ELU_02_T0_Max	Combination	288.0	10.5	15.7	VERDADERO	VERDADERO
7	242	ELU_02_T0_Max	Combination	13.5	11.3	16.9	VERDADERO	VERDADERO
7	124	ELU_02_T0_Min	Combination	31.9	9.7	15.4	VERDADERO	VERDADERO
7	126	ELU_02_T0_Min	Combination	90.2	10.0	15.9	VERDADERO	VERDADERO
7	150	ELU_02_T0_Min	Combination	83.2	9.5	15.2	VERDADERO	VERDADERO
7	162	ELU_02_T0_Min	Combination	38.9	9.9	15.7	VERDADERO	VERDADERO
7	172	ELU_02_T0_Min	Combination	163.0	9.3	14.9	VERDADERO	VERDADERO
7	174	ELU_02_T0_Min	Combination	220.1	10.2	16.2	VERDADERO	VERDADERO
7	176	ELU_02_T0_Min	Combination	214.1	9.2	14.6	VERDADERO	VERDADERO
7	178	ELU_02_T0_Min	Combination	168.9	10.1	16.0	VERDADERO	VERDADERO
7	180	ELU_02_T0_Min	Combination	135.1	9.4	15.0	VERDADERO	VERDADERO
7	182	ELU_02_T0_Min	Combination	192.2	10.1	16.1	VERDADERO	VERDADERO
7	184	ELU_02_T0_Min	Combination	186.3	9.3	14.8	VERDADERO	VERDADERO
7	186	ELU_02_T0_Min	Combination	141.1	10.0	15.9	VERDADERO	VERDADERO
7	188	ELU_02_T0_Min	Combination	-98.4	9.9	15.8	VERDADERO	VERDADERO
7	190	ELU_02_T0_Min	Combination	-41.4	9.7	15.5	VERDADERO	VERDADERO
7	192	ELU_02_T0_Min	Combination	-47.3	9.8	15.6	VERDADERO	VERDADERO
7	194	ELU_02_T0_Min	Combination	-92.5	9.6	15.2	VERDADERO	VERDADERO
7	196	ELU_02_T0_Min	Combination	-70.6	9.8	15.7	VERDADERO	VERDADERO
7	198	ELU_02_T0_Min	Combination	-13.5	9.8	15.6	VERDADERO	VERDADERO
7	200	ELU_02_T0_Min	Combination	-19.4	9.7	15.5	VERDADERO	VERDADERO
7	202	ELU_02_T0_Min	Combination	-64.7	9.7	15.3	VERDADERO	VERDADERO

## PASARELA UCA. MICROPILOTES PILAS P7 Y P8

### MICROPILOTES: COMPROBACIÓN ESTRUCTURAL EN SECCIÓN MAS SOLICITADA

SE PLANTEA EL SIGUIENTE CRITERIO DE INTERACCIÓN DE ESFUERZOS

$$M_d/M_{rd} + N_d/N_{rd} < 1 \text{ y } V_d < 0.5 \cdot V_{rd} \cdot (1 - N_d/N_{rd})$$

El que se cumpla la condición anterior es suficiente para que el punto quede dentro del diagrama de interacción representado en el artículo 6.3.6.5 de la RPX-95

#### Esfuerzos resistentes (según características micro)

Nrd (kN)	690.9	kN
Mrd	41.0	kN*m
Vrd	455.3	kN

VERDADERO VERDADERO

PILA	FRAME	OutputCase	CaseType	Nd	Vd	Md	Cumple 1	Cumple 2
Text	Text	Text	Text	KN	KN	KN-m		
7	228	ELU_02_T0_Min	Combination	-42.7	9.8	15.5	VERDADERO	VERDADERO
7	230	ELU_02_T0_Min	Combination	14.3	9.9	15.7	VERDADERO	VERDADERO
7	232	ELU_02_T0_Min	Combination	8.4	9.7	15.4	VERDADERO	VERDADERO
7	234	ELU_02_T0_Min	Combination	-36.8	9.8	15.5	VERDADERO	VERDADERO
7	236	ELU_02_T0_Min	Combination	107.3	9.5	15.1	VERDADERO	VERDADERO
7	238	ELU_02_T0_Min	Combination	164.4	10.1	16.0	VERDADERO	VERDADERO
7	240	ELU_02_T0_Min	Combination	158.4	9.4	14.9	VERDADERO	VERDADERO
7	242	ELU_02_T0_Min	Combination	113.2	9.9	15.8	VERDADERO	VERDADERO
7	124	ELU_02_TINF_M	Combination	180.3	11.0	16.5	VERDADERO	VERDADERO
7	126	ELU_02_TINF_M	Combination	-30.7	11.4	17.1	VERDADERO	VERDADERO
7	150	ELU_02_TINF_M	Combination	208.6	10.9	16.3	VERDADERO	VERDADERO
7	162	ELU_02_TINF_M	Combination	-59.0	11.3	17.0	VERDADERO	VERDADERO
7	172	ELU_02_TINF_M	Combination	317.2	10.6	15.8	VERDADERO	VERDADERO
7	174	ELU_02_TINF_M	Combination	105.5	11.7	17.5	VERDADERO	VERDADERO
7	176	ELU_02_TINF_M	Combination	345.4	10.5	15.7	VERDADERO	VERDADERO
7	178	ELU_02_TINF_M	Combination	77.3	11.6	17.4	VERDADERO	VERDADERO
7	180	ELU_02_TINF_M	Combination	287.0	10.7	16.0	VERDADERO	VERDADERO
7	182	ELU_02_TINF_M	Combination	75.3	11.6	17.4	VERDADERO	VERDADERO
7	184	ELU_02_TINF_M	Combination	315.2	10.6	15.8	VERDADERO	VERDADERO
7	186	ELU_02_TINF_M	Combination	47.1	11.5	17.3	VERDADERO	VERDADERO
7	188	ELU_02_TINF_M	Combination	43.6	11.3	17.0	VERDADERO	VERDADERO
7	190	ELU_02_TINF_M	Combination	-168.1	11.1	16.6	VERDADERO	VERDADERO
7	192	ELU_02_TINF_M	Combination	71.8	11.2	16.9	VERDADERO	VERDADERO
7	194	ELU_02_TINF_M	Combination	-196.3	11.0	16.4	VERDADERO	VERDADERO
7	196	ELU_02_TINF_M	Combination	73.7	11.2	16.8	VERDADERO	VERDADERO
7	198	ELU_02_TINF_M	Combination	-137.9	11.2	16.7	VERDADERO	VERDADERO
7	200	ELU_02_TINF_M	Combination	101.9	11.2	16.7	VERDADERO	VERDADERO
7	202	ELU_02_TINF_M	Combination	-166.2	11.1	16.6	VERDADERO	VERDADERO
7	228	ELU_02_TINF_M	Combination	103.9	11.2	16.7	VERDADERO	VERDADERO
7	230	ELU_02_TINF_M	Combination	-107.8	11.3	16.9	VERDADERO	VERDADERO
7	232	ELU_02_TINF_M	Combination	132.1	11.1	16.6	VERDADERO	VERDADERO
7	234	ELU_02_TINF_M	Combination	-136.0	11.2	16.7	VERDADERO	VERDADERO
7	236	ELU_02_TINF_M	Combination	256.8	10.8	16.1	VERDADERO	VERDADERO
7	238	ELU_02_TINF_M	Combination	45.1	11.5	17.3	VERDADERO	VERDADERO
7	240	ELU_02_TINF_M	Combination	285.0	10.7	16.0	VERDADERO	VERDADERO
7	242	ELU_02_TINF_M	Combination	16.9	11.5	17.2	VERDADERO	VERDADERO
7	124	ELU_02_TINF_M	Combination	26.9	9.8	15.6	VERDADERO	VERDADERO
7	126	ELU_02_TINF_M	Combination	95.5	10.1	16.2	VERDADERO	VERDADERO
7	150	ELU_02_TINF_M	Combination	80.2	9.7	15.4	VERDADERO	VERDADERO
7	162	ELU_02_TINF_M	Combination	42.3	10.0	15.9	VERDADERO	VERDADERO

## PASARELA UCA. MICROPILOTES PILAS P7 Y P8

### MICROPILOTES: COMPROBACIÓN ESTRUCTURAL EN SECCIÓN MAS SOLICITADA

SE PLANTEA EL SIGUIENTE CRITERIO DE INTERACCIÓN DE ESFUERZOS

$$M_d/M_{rd} + N_d/N_{rd} < 1 \text{ y } V_d < 0.5 \cdot V_{rd} \cdot (1 - N_d/N_{rd})$$

El que se cumpla la condición anterior es suficiente para que el punto quede dentro del diagrama de interacción representado en el artículo 6.3.6.5 de la RPX-95

#### Esfuerzos resistentes (según características micro)

Nrd (kN)	690.9	kN
Mrd	41.0	kN*m
Vrd	455.3	kN

VERDADERO VERDADERO

PILA	FRAME	OutputCase	CaseType	Nd	Vd	Md	Cumple 1	Cumple 2
Text	Text	Text	Text	KN	KN	KN-m		
7	172	ELU_02_TINF_M	Combination	158.1	9.5	15.1	VERDADERO	VERDADERO
7	174	ELU_02_TINF_M	Combination	225.4	10.3	16.5	VERDADERO	VERDADERO
7	176	ELU_02_TINF_M	Combination	211.1	9.3	14.9	VERDADERO	VERDADERO
7	178	ELU_02_TINF_M	Combination	172.3	10.2	16.3	VERDADERO	VERDADERO
7	180	ELU_02_TINF_M	Combination	130.2	9.6	15.3	VERDADERO	VERDADERO
7	182	ELU_02_TINF_M	Combination	197.5	10.2	16.4	VERDADERO	VERDADERO
7	184	ELU_02_TINF_M	Combination	183.3	9.4	15.0	VERDADERO	VERDADERO
7	186	ELU_02_TINF_M	Combination	144.4	10.1	16.2	VERDADERO	VERDADERO
7	188	ELU_02_TINF_M	Combination	-103.4	10.0	16.0	VERDADERO	VERDADERO
7	190	ELU_02_TINF_M	Combination	-36.1	9.9	15.7	VERDADERO	VERDADERO
7	192	ELU_02_TINF_M	Combination	-50.3	9.9	15.8	VERDADERO	VERDADERO
7	194	ELU_02_TINF_M	Combination	-89.1	9.7	15.5	VERDADERO	VERDADERO
7	196	ELU_02_TINF_M	Combination	-75.5	10.0	15.9	VERDADERO	VERDADERO
7	198	ELU_02_TINF_M	Combination	-8.2	10.0	15.8	VERDADERO	VERDADERO
7	200	ELU_02_TINF_M	Combination	-22.4	9.8	15.7	VERDADERO	VERDADERO
7	202	ELU_02_TINF_M	Combination	-61.3	9.8	15.6	VERDADERO	VERDADERO
7	228	ELU_02_TINF_M	Combination	-47.7	9.9	15.8	VERDADERO	VERDADERO
7	230	ELU_02_TINF_M	Combination	19.6	10.0	16.0	VERDADERO	VERDADERO
7	232	ELU_02_TINF_M	Combination	5.4	9.8	15.6	VERDADERO	VERDADERO
7	234	ELU_02_TINF_M	Combination	-33.4	9.9	15.7	VERDADERO	VERDADERO
7	236	ELU_02_TINF_M	Combination	102.4	9.6	15.4	VERDADERO	VERDADERO
7	238	ELU_02_TINF_M	Combination	169.7	10.2	16.3	VERDADERO	VERDADERO
7	240	ELU_02_TINF_M	Combination	155.4	9.5	15.1	VERDADERO	VERDADERO
7	242	ELU_02_TINF_M	Combination	116.6	10.0	16.1	VERDADERO	VERDADERO
7	124	ELU_03_TO_Max	Combination	222.9	9.2	13.8	VERDADERO	VERDADERO
7	126	ELU_03_TO_Max	Combination	-72.6	9.7	14.5	VERDADERO	VERDADERO
7	150	ELU_03_TO_Max	Combination	237.5	9.2	13.8	VERDADERO	VERDADERO
7	162	ELU_03_TO_Max	Combination	-87.1	9.7	14.5	VERDADERO	VERDADERO
7	172	ELU_03_TO_Max	Combination	268.1	9.1	13.6	VERDADERO	VERDADERO
7	174	ELU_03_TO_Max	Combination	-27.8	9.8	14.7	VERDADERO	VERDADERO
7	176	ELU_03_TO_Max	Combination	282.6	9.0	13.5	VERDADERO	VERDADERO
7	178	ELU_03_TO_Max	Combination	-42.3	9.8	14.6	VERDADERO	VERDADERO
7	180	ELU_03_TO_Max	Combination	257.4	9.1	13.7	VERDADERO	VERDADERO
7	182	ELU_03_TO_Max	Combination	-38.4	9.8	14.7	VERDADERO	VERDADERO
7	184	ELU_03_TO_Max	Combination	271.9	9.1	13.6	VERDADERO	VERDADERO
7	186	ELU_03_TO_Max	Combination	-52.9	9.7	14.6	VERDADERO	VERDADERO
7	188	ELU_03_TO_Max	Combination	177.5	9.4	14.0	VERDADERO	VERDADERO
7	190	ELU_03_TO_Max	Combination	-118.4	9.6	14.3	VERDADERO	VERDADERO
7	192	ELU_03_TO_Max	Combination	192.0	9.3	14.0	VERDADERO	VERDADERO
7	194	ELU_03_TO_Max	Combination	-132.8	9.5	14.3	VERDADERO	VERDADERO

## PASARELA UCA. MICROPILOTES PILAS P7 Y P8

### MICROPILOTES: COMPROBACIÓN ESTRUCTURAL EN SECCIÓN MAS SOLICITADA

SE PLANTEA EL SIGUIENTE CRITERIO DE INTERACCIÓN DE ESFUERZOS

$$M_d/M_{rd} + N_d/N_{rd} < 1 \text{ y } V_d < 0.5 \cdot V_{rd} \cdot (1 - N_d/N_{rd})$$

El que se cumpla la condición anterior es suficiente para que el punto quede dentro del diagrama de interacción representado en el artículo 6.3.6.5 de la RPX-95

#### Esfuerzos resistentes (según características micro)

Nrd (kN)	690.9	kN
Mrd	41.0	kN*m
Vrd	455.3	kN

VERDADERO VERDADERO

PILA	FRAME	OutputCase	CaseType	Nd	Vd	Md	Cumple 1	Cumple 2
Text	Text	Text	Text	KN	KN	KN-m		
7	196	ELU_03_T0_Max	Combination	188.2	9.3	14.0	VERDADERO	VERDADERO
7	198	ELU_03_T0_Max	Combination	-107.7	9.6	14.4	VERDADERO	VERDADERO
7	200	ELU_03_T0_Max	Combination	202.6	9.3	13.9	VERDADERO	VERDADERO
7	202	ELU_03_T0_Max	Combination	-122.2	9.6	14.3	VERDADERO	VERDADERO
7	228	ELU_03_T0_Max	Combination	198.8	9.3	13.9	VERDADERO	VERDADERO
7	230	ELU_03_T0_Max	Combination	-97.0	9.6	14.4	VERDADERO	VERDADERO
7	232	ELU_03_T0_Max	Combination	213.3	9.3	13.9	VERDADERO	VERDADERO
7	234	ELU_03_T0_Max	Combination	-111.5	9.6	14.4	VERDADERO	VERDADERO
7	236	ELU_03_T0_Max	Combination	246.8	9.1	13.7	VERDADERO	VERDADERO
7	238	ELU_03_T0_Max	Combination	-49.1	9.8	14.6	VERDADERO	VERDADERO
7	240	ELU_03_T0_Max	Combination	261.3	9.1	13.6	VERDADERO	VERDADERO
7	242	ELU_03_T0_Max	Combination	-63.6	9.7	14.5	VERDADERO	VERDADERO
7	124	ELU_03_T0_Min	Combination	8.3	8.7	15.0	VERDADERO	VERDADERO
7	126	ELU_03_T0_Min	Combination	112.1	9.1	15.5	VERDADERO	VERDADERO
7	150	ELU_03_T0_Min	Combination	66.9	8.5	14.7	VERDADERO	VERDADERO
7	162	ELU_03_T0_Min	Combination	53.5	8.9	15.3	VERDADERO	VERDADERO
7	172	ELU_03_T0_Min	Combination	48.0	8.6	14.8	VERDADERO	VERDADERO
7	174	ELU_03_T0_Min	Combination	150.3	9.2	15.6	VERDADERO	VERDADERO
7	176	ELU_03_T0_Min	Combination	106.3	8.4	14.5	VERDADERO	VERDADERO
7	178	ELU_03_T0_Min	Combination	92.0	9.0	15.4	VERDADERO	VERDADERO
7	180	ELU_03_T0_Min	Combination	39.7	8.6	14.8	VERDADERO	VERDADERO
7	182	ELU_03_T0_Min	Combination	142.0	9.1	15.6	VERDADERO	VERDADERO
7	184	ELU_03_T0_Min	Combination	98.0	8.4	14.6	VERDADERO	VERDADERO
7	186	ELU_03_T0_Min	Combination	83.6	9.0	15.3	VERDADERO	VERDADERO
7	188	ELU_03_T0_Min	Combination	-30.4	8.8	15.1	VERDADERO	VERDADERO
7	190	ELU_03_T0_Min	Combination	71.9	9.0	15.4	VERDADERO	VERDADERO
7	192	ELU_03_T0_Min	Combination	27.9	8.6	14.8	VERDADERO	VERDADERO
7	194	ELU_03_T0_Min	Combination	13.6	8.8	15.1	VERDADERO	VERDADERO
7	196	ELU_03_T0_Min	Combination	-22.1	8.8	15.0	VERDADERO	VERDADERO
7	198	ELU_03_T0_Min	Combination	80.2	9.0	15.4	VERDADERO	VERDADERO
7	200	ELU_03_T0_Min	Combination	36.3	8.6	14.8	VERDADERO	VERDADERO
7	202	ELU_03_T0_Min	Combination	21.9	8.8	15.1	VERDADERO	VERDADERO
7	228	ELU_03_T0_Min	Combination	-13.7	8.7	15.0	VERDADERO	VERDADERO
7	230	ELU_03_T0_Min	Combination	88.6	9.1	15.5	VERDADERO	VERDADERO
7	232	ELU_03_T0_Min	Combination	44.6	8.6	14.7	VERDADERO	VERDADERO
7	234	ELU_03_T0_Min	Combination	30.3	8.9	15.2	VERDADERO	VERDADERO
7	236	ELU_03_T0_Min	Combination	31.3	8.7	14.9	VERDADERO	VERDADERO
7	238	ELU_03_T0_Min	Combination	133.6	9.1	15.5	VERDADERO	VERDADERO
7	240	ELU_03_T0_Min	Combination	89.7	8.5	14.6	VERDADERO	VERDADERO
7	242	ELU_03_T0_Min	Combination	75.3	8.9	15.3	VERDADERO	VERDADERO



## PASARELA UCA. MICROPILOTES PILAS P7 Y P8

### MICROPILOTES: COMPROBACIÓN ESTRUCTURAL EN SECCIÓN MAS SOLICITADA

SE PLANTEA EL SIGUIENTE CRITERIO DE INTERACCIÓN DE ESFUERZOS

$$M_d/M_{rd} + N_d/N_{rd} < 1 \text{ y } V_d < 0.5 \cdot V_{rd} \cdot (1 - N_d/N_{rd})$$

El que se cumpla la condición anterior es suficiente para que el punto quede dentro del diagrama de interacción representado en el artículo 6.3.6.5 de la RPX-95

#### Esfuerzos resistentes (según características micro)

Nrd (kN)	690.9	kN
Mrd	41.0	kN*m
Vrd	455.3	kN

VERDADERO VERDADERO

PILA	FRAME	OutputCase	CaseType	Nd	Vd	Md	Cumple 1	Cumple 2
Text	Text	Text	Text	KN	KN	KN-m		
7	124	ELU_03_TINF_M	Combination	218.0	9.4	14.1	VERDADERO	VERDADERO
7	126	ELU_03_TINF_M	Combination	-67.3	9.8	14.8	VERDADERO	VERDADERO
7	150	ELU_03_TINF_M	Combination	234.4	9.3	14.0	VERDADERO	VERDADERO
7	162	ELU_03_TINF_M	Combination	-83.7	9.8	14.7	VERDADERO	VERDADERO
7	172	ELU_03_TINF_M	Combination	263.2	9.2	13.9	VERDADERO	VERDADERO
7	174	ELU_03_TINF_M	Combination	-22.5	10.0	15.0	VERDADERO	VERDADERO
7	176	ELU_03_TINF_M	Combination	279.6	9.1	13.8	VERDADERO	VERDADERO
7	178	ELU_03_TINF_M	Combination	-38.9	9.9	14.9	VERDADERO	VERDADERO
7	180	ELU_03_TINF_M	Combination	252.5	9.2	13.9	VERDADERO	VERDADERO
7	182	ELU_03_TINF_M	Combination	-33.1	9.9	14.9	VERDADERO	VERDADERO
7	184	ELU_03_TINF_M	Combination	268.9	9.2	13.9	VERDADERO	VERDADERO
7	186	ELU_03_TINF_M	Combination	-49.5	9.9	14.9	VERDADERO	VERDADERO
7	188	ELU_03_TINF_M	Combination	172.6	9.5	14.3	VERDADERO	VERDADERO
7	190	ELU_03_TINF_M	Combination	-113.1	9.7	14.6	VERDADERO	VERDADERO
7	192	ELU_03_TINF_M	Combination	189.0	9.4	14.2	VERDADERO	VERDADERO
7	194	ELU_03_TINF_M	Combination	-129.5	9.6	14.5	VERDADERO	VERDADERO
7	196	ELU_03_TINF_M	Combination	183.2	9.5	14.3	VERDADERO	VERDADERO
7	198	ELU_03_TINF_M	Combination	-102.4	9.7	14.7	VERDADERO	VERDADERO
7	200	ELU_03_TINF_M	Combination	199.6	9.4	14.2	VERDADERO	VERDADERO
7	202	ELU_03_TINF_M	Combination	-118.8	9.7	14.6	VERDADERO	VERDADERO
7	228	ELU_03_TINF_M	Combination	193.9	9.4	14.2	VERDADERO	VERDADERO
7	230	ELU_03_TINF_M	Combination	-91.7	9.8	14.7	VERDADERO	VERDADERO
7	232	ELU_03_TINF_M	Combination	210.3	9.4	14.1	VERDADERO	VERDADERO
7	234	ELU_03_TINF_M	Combination	-108.1	9.7	14.6	VERDADERO	VERDADERO
7	236	ELU_03_TINF_M	Combination	241.8	9.3	14.0	VERDADERO	VERDADERO
7	238	ELU_03_TINF_M	Combination	-43.8	9.9	14.9	VERDADERO	VERDADERO
7	240	ELU_03_TINF_M	Combination	258.2	9.2	13.9	VERDADERO	VERDADERO
7	242	ELU_03_TINF_M	Combination	-60.2	9.8	14.8	VERDADERO	VERDADERO
7	124	ELU_03_TINF_M	Combination	3.4	8.8	15.2	VERDADERO	VERDADERO
7	126	ELU_03_TINF_M	Combination	117.4	9.2	15.8	VERDADERO	VERDADERO
7	150	ELU_03_TINF_M	Combination	63.9	8.7	15.0	VERDADERO	VERDADERO
7	162	ELU_03_TINF_M	Combination	56.9	9.0	15.5	VERDADERO	VERDADERO
7	172	ELU_03_TINF_M	Combination	43.1	8.7	15.1	VERDADERO	VERDADERO
7	174	ELU_03_TINF_M	Combination	155.6	9.3	15.9	VERDADERO	VERDADERO
7	176	ELU_03_TINF_M	Combination	103.3	8.5	14.8	VERDADERO	VERDADERO
7	178	ELU_03_TINF_M	Combination	95.4	9.1	15.6	VERDADERO	VERDADERO
7	180	ELU_03_TINF_M	Combination	34.7	8.8	15.1	VERDADERO	VERDADERO
7	182	ELU_03_TINF_M	Combination	147.3	9.3	15.9	VERDADERO	VERDADERO
7	184	ELU_03_TINF_M	Combination	95.0	8.6	14.8	VERDADERO	VERDADERO
7	186	ELU_03_TINF_M	Combination	87.0	9.1	15.6	VERDADERO	VERDADERO

## PASARELA UCA. MICROPILOTES PILAS P7 Y P8

### MICROPILOTES: COMPROBACIÓN ESTRUCTURAL EN SECCIÓN MAS SOLICITADA

SE PLANTEA EL SIGUIENTE CRITERIO DE INTERACCIÓN DE ESFUERZOS

$$M_d/M_{rd} + N_d/N_{rd} < 1 \text{ y } V_d < 0.5 \cdot V_{rd} \cdot (1 - N_d/N_{rd})$$

El que se cumpla la condición anterior es suficiente para que el punto quede dentro del diagrama de interacción representado en el artículo 6.3.6.5 de la RPX-95

#### Esfuerzos resistentes (según características micro)

Nrd (kN)	690.9	kN
Mrd	41.0	kN*m
Vrd	455.3	kN

VERDADERO VERDADERO

PILA	FRAME	OutputCase	CaseType	Nd	Vd	Md	Cumple 1	Cumple 2
Text	Text	Text	Text	KN	KN	KN-m		
7	188	ELU_03_TINF_M	Combination	-35.3	8.9	15.4	VERDADERO	VERDADERO
7	190	ELU_03_TINF_M	Combination	77.2	9.1	15.7	VERDADERO	VERDADERO
7	192	ELU_03_TINF_M	Combination	24.9	8.7	15.1	VERDADERO	VERDADERO
7	194	ELU_03_TINF_M	Combination	16.9	8.9	15.4	VERDADERO	VERDADERO
7	196	ELU_03_TINF_M	Combination	-27.0	8.9	15.3	VERDADERO	VERDADERO
7	198	ELU_03_TINF_M	Combination	85.5	9.2	15.7	VERDADERO	VERDADERO
7	200	ELU_03_TINF_M	Combination	33.3	8.7	15.0	VERDADERO	VERDADERO
7	202	ELU_03_TINF_M	Combination	25.3	9.0	15.4	VERDADERO	VERDADERO
7	228	ELU_03_TINF_M	Combination	-18.6	8.9	15.3	VERDADERO	VERDADERO
7	230	ELU_03_TINF_M	Combination	93.9	9.2	15.7	VERDADERO	VERDADERO
7	232	ELU_03_TINF_M	Combination	41.6	8.7	15.0	VERDADERO	VERDADERO
7	234	ELU_03_TINF_M	Combination	33.6	9.0	15.4	VERDADERO	VERDADERO
7	236	ELU_03_TINF_M	Combination	26.4	8.8	15.2	VERDADERO	VERDADERO
7	238	ELU_03_TINF_M	Combination	138.9	9.2	15.8	VERDADERO	VERDADERO
7	240	ELU_03_TINF_M	Combination	86.7	8.6	14.9	VERDADERO	VERDADERO
7	242	ELU_03_TINF_M	Combination	78.7	9.1	15.5	VERDADERO	VERDADERO
7	124	ELU_SISMO_X_T	Combination	123.7	6.1	9.4	VERDADERO	VERDADERO
7	126	ELU_SISMO_X_T	Combination	-28.7	6.4	9.8	VERDADERO	VERDADERO
7	150	ELU_SISMO_X_T	Combination	137.4	6.1	9.4	VERDADERO	VERDADERO
7	162	ELU_SISMO_X_T	Combination	-42.4	6.4	9.8	VERDADERO	VERDADERO
7	172	ELU_SISMO_X_T	Combination	137.6	6.1	9.4	VERDADERO	VERDADERO
7	174	ELU_SISMO_X_T	Combination	-15.1	6.5	10.0	VERDADERO	VERDADERO
7	176	ELU_SISMO_X_T	Combination	151.2	6.0	9.3	VERDADERO	VERDADERO
7	178	ELU_SISMO_X_T	Combination	-28.8	6.4	9.9	VERDADERO	VERDADERO
7	180	ELU_SISMO_X_T	Combination	129.9	6.1	9.4	VERDADERO	VERDADERO
7	182	ELU_SISMO_X_T	Combination	-22.7	6.4	9.9	VERDADERO	VERDADERO
7	184	ELU_SISMO_X_T	Combination	143.6	6.0	9.3	VERDADERO	VERDADERO
7	186	ELU_SISMO_X_T	Combination	-36.4	6.4	9.9	VERDADERO	VERDADERO
7	188	ELU_SISMO_X_T	Combination	109.7	6.2	9.5	VERDADERO	VERDADERO
7	190	ELU_SISMO_X_T	Combination	-43.0	6.3	9.7	VERDADERO	VERDADERO
7	192	ELU_SISMO_X_T	Combination	123.4	6.1	9.4	VERDADERO	VERDADERO
7	194	ELU_SISMO_X_T	Combination	-56.7	6.3	9.7	VERDADERO	VERDADERO
7	196	ELU_SISMO_X_T	Combination	117.3	6.1	9.5	VERDADERO	VERDADERO
7	198	ELU_SISMO_X_T	Combination	-35.4	6.3	9.8	VERDADERO	VERDADERO
7	200	ELU_SISMO_X_T	Combination	131.0	6.1	9.4	VERDADERO	VERDADERO
7	202	ELU_SISMO_X_T	Combination	-49.0	6.3	9.7	VERDADERO	VERDADERO
7	228	ELU_SISMO_X_T	Combination	124.9	6.1	9.4	VERDADERO	VERDADERO
7	230	ELU_SISMO_X_T	Combination	-27.8	6.4	9.8	VERDADERO	VERDADERO
7	232	ELU_SISMO_X_T	Combination	138.6	6.1	9.4	VERDADERO	VERDADERO
7	234	ELU_SISMO_X_T	Combination	-41.4	6.3	9.7	VERDADERO	VERDADERO

## PASARELA UCA. MICROPILOTES PILAS P7 Y P8

### MICROPILOTES: COMPROBACIÓN ESTRUCTURAL EN SECCIÓN MAS SOLICITADA

SE PLANTEA EL SIGUIENTE CRITERIO DE INTERACCIÓN DE ESFUERZOS

$$M_d/M_{rd} + N_d/N_{rd} < 1 \text{ y } V_d < 0.5 \cdot V_{rd} \cdot (1 - N_d/N_{rd})$$

El que se cumpla la condición anterior es suficiente para que el punto quede dentro del diagrama de interacción representado en el artículo 6.3.6.5 de la RPX-95

#### Esfuerzos resistentes (según características micro)

Nrd (kN)	690.9	kN
Mrd	41.0	kN*m
Vrd	455.3	kN

VERDADERO VERDADERO

PILA	FRAME	OutputCase	CaseType	Nd	Vd	Md	Cumple 1	Cumple 2
Text	Text	Text	Text	KN	KN	KN-m		
7	236	ELU_SISMO_X_T	Combination	122.3	6.1	9.4	VERDADERO	VERDADERO
7	238	ELU_SISMO_X_T	Combination	-30.4	6.4	9.9	VERDADERO	VERDADERO
7	240	ELU_SISMO_X_T	Combination	136.0	6.1	9.4	VERDADERO	VERDADERO
7	242	ELU_SISMO_X_T	Combination	-44.0	6.4	9.8	VERDADERO	VERDADERO
7	124	ELU_SISMO_X_T	Combination	6.1	6.1	10.5	VERDADERO	VERDADERO
7	126	ELU_SISMO_X_T	Combination	84.3	6.3	10.9	VERDADERO	VERDADERO
7	150	ELU_SISMO_X_T	Combination	46.8	5.9	10.3	VERDADERO	VERDADERO
7	162	ELU_SISMO_X_T	Combination	43.6	6.2	10.7	VERDADERO	VERDADERO
7	172	ELU_SISMO_X_T	Combination	-7.5	6.1	10.6	VERDADERO	VERDADERO
7	174	ELU_SISMO_X_T	Combination	69.7	6.2	10.7	VERDADERO	VERDADERO
7	176	ELU_SISMO_X_T	Combination	33.0	6.0	10.4	VERDADERO	VERDADERO
7	178	ELU_SISMO_X_T	Combination	29.2	6.1	10.6	VERDADERO	VERDADERO
7	180	ELU_SISMO_X_T	Combination	0.1	6.1	10.6	VERDADERO	VERDADERO
7	182	ELU_SISMO_X_T	Combination	77.3	6.3	10.8	VERDADERO	VERDADERO
7	184	ELU_SISMO_X_T	Combination	40.6	6.0	10.4	VERDADERO	VERDADERO
7	186	ELU_SISMO_X_T	Combination	36.8	6.1	10.6	VERDADERO	VERDADERO
7	188	ELU_SISMO_X_T	Combination	20.3	6.0	10.3	VERDADERO	VERDADERO
7	190	ELU_SISMO_X_T	Combination	97.6	6.4	11.0	VERDADERO	VERDADERO
7	192	ELU_SISMO_X_T	Combination	60.9	5.9	10.2	VERDADERO	VERDADERO
7	194	ELU_SISMO_X_T	Combination	57.0	6.3	10.8	VERDADERO	VERDADERO
7	196	ELU_SISMO_X_T	Combination	12.7	6.0	10.4	VERDADERO	VERDADERO
7	198	ELU_SISMO_X_T	Combination	90.0	6.4	11.0	VERDADERO	VERDADERO
7	200	ELU_SISMO_X_T	Combination	53.3	5.9	10.2	VERDADERO	VERDADERO
7	202	ELU_SISMO_X_T	Combination	49.4	6.3	10.8	VERDADERO	VERDADERO
7	228	ELU_SISMO_X_T	Combination	5.1	6.0	10.4	VERDADERO	VERDADERO
7	230	ELU_SISMO_X_T	Combination	82.3	6.4	11.0	VERDADERO	VERDADERO
7	232	ELU_SISMO_X_T	Combination	45.6	5.9	10.2	VERDADERO	VERDADERO
7	234	ELU_SISMO_X_T	Combination	41.8	6.3	10.8	VERDADERO	VERDADERO
7	236	ELU_SISMO_X_T	Combination	7.7	6.1	10.5	VERDADERO	VERDADERO
7	238	ELU_SISMO_X_T	Combination	84.9	6.3	10.8	VERDADERO	VERDADERO
7	240	ELU_SISMO_X_T	Combination	48.2	5.9	10.3	VERDADERO	VERDADERO
7	242	ELU_SISMO_X_T	Combination	44.4	6.2	10.6	VERDADERO	VERDADERO
7	124	ELU_SISMO_X_T	Combination	120.0	6.2	9.6	VERDADERO	VERDADERO
7	126	ELU_SISMO_X_T	Combination	-24.8	6.5	10.0	VERDADERO	VERDADERO
7	150	ELU_SISMO_X_T	Combination	135.1	6.2	9.6	VERDADERO	VERDADERO
7	162	ELU_SISMO_X_T	Combination	-39.9	6.4	10.0	VERDADERO	VERDADERO
7	172	ELU_SISMO_X_T	Combination	133.9	6.2	9.6	VERDADERO	VERDADERO
7	174	ELU_SISMO_X_T	Combination	-11.2	6.6	10.2	VERDADERO	VERDADERO
7	176	ELU_SISMO_X_T	Combination	149.0	6.1	9.5	VERDADERO	VERDADERO
7	178	ELU_SISMO_X_T	Combination	-26.3	6.5	10.1	VERDADERO	VERDADERO



## PASARELA UCA. MICROPILOTES PILAS P7 Y P8

### MICROPILOTES: COMPROBACIÓN ESTRUCTURAL EN SECCIÓN MAS SOLICITADA

SE PLANTEA EL SIGUIENTE CRITERIO DE INTERACCIÓN DE ESFUERZOS

$$M_d/M_{rd} + N_d/N_{rd} < 1 \text{ y } V_d < 0.5 \cdot V_{rd} \cdot (1 - N_d/N_{rd})$$

El que se cumpla la condición anterior es suficiente para que el punto quede dentro del diagrama de interacción representado en el artículo 6.3.6.5 de la RPX-95

#### Esfuerzos resistentes (según características micro)

Nrd (kN)	690.9	kN
Mrd	41.0	kN*m
Vrd	455.3	kN

VERDADERO VERDADERO

PILA	FRAME	OutputCase	CaseType	Nd	Vd	Md	Cumple 1	Cumple 2
Text	Text	Text	Text	KN	KN	KN-m		
7	180	ELU_SISMO_X_T	Combination	126.3	6.2	9.6	VERDADERO	VERDADERO
7	182	ELU_SISMO_X_T	Combination	-18.8	6.5	10.1	VERDADERO	VERDADERO
7	184	ELU_SISMO_X_T	Combination	141.4	6.1	9.5	VERDADERO	VERDADERO
7	186	ELU_SISMO_X_T	Combination	-33.9	6.5	10.1	VERDADERO	VERDADERO
7	188	ELU_SISMO_X_T	Combination	106.0	6.2	9.7	VERDADERO	VERDADERO
7	190	ELU_SISMO_X_T	Combination	-39.1	6.4	9.9	VERDADERO	VERDADERO
7	192	ELU_SISMO_X_T	Combination	121.1	6.2	9.6	VERDADERO	VERDADERO
7	194	ELU_SISMO_X_T	Combination	-54.2	6.4	9.9	VERDADERO	VERDADERO
7	196	ELU_SISMO_X_T	Combination	113.7	6.2	9.7	VERDADERO	VERDADERO
7	198	ELU_SISMO_X_T	Combination	-31.4	6.4	10.0	VERDADERO	VERDADERO
7	200	ELU_SISMO_X_T	Combination	128.8	6.2	9.6	VERDADERO	VERDADERO
7	202	ELU_SISMO_X_T	Combination	-46.5	6.4	9.9	VERDADERO	VERDADERO
7	228	ELU_SISMO_X_T	Combination	121.3	6.2	9.6	VERDADERO	VERDADERO
7	230	ELU_SISMO_X_T	Combination	-23.8	6.5	10.0	VERDADERO	VERDADERO
7	232	ELU_SISMO_X_T	Combination	136.4	6.1	9.5	VERDADERO	VERDADERO
7	234	ELU_SISMO_X_T	Combination	-38.9	6.4	9.9	VERDADERO	VERDADERO
7	236	ELU_SISMO_X_T	Combination	118.7	6.2	9.6	VERDADERO	VERDADERO
7	238	ELU_SISMO_X_T	Combination	-26.4	6.5	10.1	VERDADERO	VERDADERO
7	240	ELU_SISMO_X_T	Combination	133.8	6.2	9.6	VERDADERO	VERDADERO
7	242	ELU_SISMO_X_T	Combination	-41.5	6.5	10.0	VERDADERO	VERDADERO
7	124	ELU_SISMO_X_T	Combination	2.4	6.2	10.7	VERDADERO	VERDADERO
7	126	ELU_SISMO_X_T	Combination	88.3	6.4	11.1	VERDADERO	VERDADERO
7	150	ELU_SISMO_X_T	Combination	44.5	6.0	10.5	VERDADERO	VERDADERO
7	162	ELU_SISMO_X_T	Combination	46.1	6.3	10.9	VERDADERO	VERDADERO
7	172	ELU_SISMO_X_T	Combination	-11.2	6.2	10.8	VERDADERO	VERDADERO
7	174	ELU_SISMO_X_T	Combination	73.6	6.3	10.9	VERDADERO	VERDADERO
7	176	ELU_SISMO_X_T	Combination	30.8	6.1	10.6	VERDADERO	VERDADERO
7	178	ELU_SISMO_X_T	Combination	31.7	6.2	10.7	VERDADERO	VERDADERO
7	180	ELU_SISMO_X_T	Combination	-3.6	6.2	10.7	VERDADERO	VERDADERO
7	182	ELU_SISMO_X_T	Combination	81.3	6.4	10.9	VERDADERO	VERDADERO
7	184	ELU_SISMO_X_T	Combination	38.4	6.1	10.5	VERDADERO	VERDADERO
7	186	ELU_SISMO_X_T	Combination	39.3	6.2	10.8	VERDADERO	VERDADERO
7	188	ELU_SISMO_X_T	Combination	16.7	6.1	10.5	VERDADERO	VERDADERO
7	190	ELU_SISMO_X_T	Combination	101.5	6.5	11.2	VERDADERO	VERDADERO
7	192	ELU_SISMO_X_T	Combination	58.7	6.0	10.4	VERDADERO	VERDADERO
7	194	ELU_SISMO_X_T	Combination	59.5	6.4	11.0	VERDADERO	VERDADERO
7	196	ELU_SISMO_X_T	Combination	9.1	6.1	10.6	VERDADERO	VERDADERO
7	198	ELU_SISMO_X_T	Combination	93.9	6.5	11.2	VERDADERO	VERDADERO
7	200	ELU_SISMO_X_T	Combination	51.0	6.0	10.4	VERDADERO	VERDADERO
7	202	ELU_SISMO_X_T	Combination	51.9	6.4	11.0	VERDADERO	VERDADERO

## PASARELA UCA. MICROPILOTES PILAS P7 Y P8

### MICROPILOTES: COMPROBACIÓN ESTRUCTURAL EN SECCIÓN MAS SOLICITADA

SE PLANTEA EL SIGUIENTE CRITERIO DE INTERACCIÓN DE ESFUERZOS

$$M_d/M_{rd} + N_d/N_{rd} < 1 \text{ y } V_d < 0.5 \cdot V_{rd} \cdot (1 - N_d/N_{rd})$$

El que se cumpla la condición anterior es suficiente para que el punto quede dentro del diagrama de interacción representado en el artículo 6.3.6.5 de la RPX-95

#### Esfuerzos resistentes (según características micro)

Nrd (kN)	690.9	kN
Mrd	41.0	kN*m
Vrd	455.3	kN

VERDADERO VERDADERO

PILA	FRAME	OutputCase	CaseType	Nd	Vd	Md	Cumple 1	Cumple 2
Text	Text	Text	Text	KN	KN	KN-m		
7	228	ELU_SISMO_X_T	Combination	1.4	6.1	10.6	VERDADERO	VERDADERO
7	230	ELU_SISMO_X_T	Combination	86.3	6.5	11.2	VERDADERO	VERDADERO
7	232	ELU_SISMO_X_T	Combination	43.4	6.0	10.4	VERDADERO	VERDADERO
7	234	ELU_SISMO_X_T	Combination	44.3	6.3	10.9	VERDADERO	VERDADERO
7	236	ELU_SISMO_X_T	Combination	4.0	6.2	10.7	VERDADERO	VERDADERO
7	238	ELU_SISMO_X_T	Combination	88.9	6.4	11.0	VERDADERO	VERDADERO
7	240	ELU_SISMO_X_T	Combination	46.0	6.0	10.5	VERDADERO	VERDADERO
7	242	ELU_SISMO_X_T	Combination	46.9	6.3	10.8	VERDADERO	VERDADERO
7	124	ELU_SISMO_Y_T	Combination	83.5	8.2	13.3	VERDADERO	VERDADERO
7	126	ELU_SISMO_Y_T	Combination	10.4	8.5	13.6	VERDADERO	VERDADERO
7	150	ELU_SISMO_Y_T	Combination	107.1	8.2	13.2	VERDADERO	VERDADERO
7	162	ELU_SISMO_Y_T	Combination	-13.2	8.4	13.5	VERDADERO	VERDADERO
7	172	ELU_SISMO_Y_T	Combination	130.0	8.1	13.1	VERDADERO	VERDADERO
7	174	ELU_SISMO_Y_T	Combination	56.4	8.7	14.0	VERDADERO	VERDADERO
7	176	ELU_SISMO_Y_T	Combination	153.5	8.1	13.0	VERDADERO	VERDADERO
7	178	ELU_SISMO_Y_T	Combination	32.9	8.6	13.9	VERDADERO	VERDADERO
7	180	ELU_SISMO_Y_T	Combination	104.6	8.2	13.2	VERDADERO	VERDADERO
7	182	ELU_SISMO_Y_T	Combination	31.0	8.6	13.8	VERDADERO	VERDADERO
7	184	ELU_SISMO_Y_T	Combination	128.1	8.2	13.1	VERDADERO	VERDADERO
7	186	ELU_SISMO_Y_T	Combination	7.5	8.6	13.7	VERDADERO	VERDADERO
7	188	ELU_SISMO_Y_T	Combination	37.1	8.4	13.5	VERDADERO	VERDADERO
7	190	ELU_SISMO_Y_T	Combination	-36.5	8.3	13.3	VERDADERO	VERDADERO
7	192	ELU_SISMO_Y_T	Combination	60.6	8.4	13.4	VERDADERO	VERDADERO
7	194	ELU_SISMO_Y_T	Combination	-60.0	8.3	13.3	VERDADERO	VERDADERO
7	196	ELU_SISMO_Y_T	Combination	62.5	8.4	13.4	VERDADERO	VERDADERO
7	198	ELU_SISMO_Y_T	Combination	-11.1	8.3	13.4	VERDADERO	VERDADERO
7	200	ELU_SISMO_Y_T	Combination	86.0	8.3	13.3	VERDADERO	VERDADERO
7	202	ELU_SISMO_Y_T	Combination	-34.6	8.3	13.3	VERDADERO	VERDADERO
7	228	ELU_SISMO_Y_T	Combination	87.9	8.3	13.3	VERDADERO	VERDADERO
7	230	ELU_SISMO_Y_T	Combination	14.3	8.4	13.4	VERDADERO	VERDADERO
7	232	ELU_SISMO_Y_T	Combination	111.4	8.2	13.2	VERDADERO	VERDADERO
7	234	ELU_SISMO_Y_T	Combination	-9.2	8.3	13.4	VERDADERO	VERDADERO
7	236	ELU_SISMO_Y_T	Combination	79.2	8.2	13.2	VERDADERO	VERDADERO
7	238	ELU_SISMO_Y_T	Combination	5.6	8.6	13.7	VERDADERO	VERDADERO
7	240	ELU_SISMO_Y_T	Combination	102.7	8.2	13.2	VERDADERO	VERDADERO
7	242	ELU_SISMO_Y_T	Combination	-17.9	8.5	13.6	VERDADERO	VERDADERO
7	124	ELU_SISMO_Y_T	Combination	46.3	8.1	13.2	VERDADERO	VERDADERO
7	126	ELU_SISMO_Y_T	Combination	45.2	8.3	13.5	VERDADERO	VERDADERO
7	150	ELU_SISMO_Y_T	Combination	77.1	8.0	13.1	VERDADERO	VERDADERO
7	162	ELU_SISMO_Y_T	Combination	14.4	8.2	13.4	VERDADERO	VERDADERO

## PASARELA UCA. MICROPILOTES PILAS P7 Y P8

### MICROPILOTES: COMPROBACIÓN ESTRUCTURAL EN SECCIÓN MAS SOLICITADA

SE PLANTEA EL SIGUIENTE CRITERIO DE INTERACCIÓN DE ESFUERZOS

$$M_d/M_{rd} + N_d/N_{rd} < 1 \text{ y } V_d < 0.5 \cdot V_{rd} \cdot (1 - N_d/N_{rd})$$

El que se cumpla la condición anterior es suficiente para que el punto quede dentro del diagrama de interacción representado en el artículo 6.3.6.5 de la RPX-95

#### Esfuerzos resistentes (según características micro)

Nrd (kN)	690.9	kN
Mrd	41.0	kN*m
Vrd	455.3	kN

VERDADERO VERDADERO

PILA	FRAME	OutputCase	CaseType	Nd	Vd	Md	Cumple 1	Cumple 2
Text	Text	Text	Text	KN	KN	KN-m		
7	172	ELU_SISMO_Y_T	Combination	0.0	8.3	13.5	VERDADERO	VERDADERO
7	174	ELU_SISMO_Y_T	Combination	-1.9	8.1	13.2	VERDADERO	VERDADERO
7	176	ELU_SISMO_Y_T	Combination	30.7	8.2	13.4	VERDADERO	VERDADERO
7	178	ELU_SISMO_Y_T	Combination	-32.5	8.0	13.2	VERDADERO	VERDADERO
7	180	ELU_SISMO_Y_T	Combination	25.4	8.2	13.4	VERDADERO	VERDADERO
7	182	ELU_SISMO_Y_T	Combination	23.5	8.1	13.3	VERDADERO	VERDADERO
7	184	ELU_SISMO_Y_T	Combination	56.1	8.1	13.3	VERDADERO	VERDADERO
7	186	ELU_SISMO_Y_T	Combination	-7.1	8.1	13.2	VERDADERO	VERDADERO
7	188	ELU_SISMO_Y_T	Combination	92.9	8.0	13.0	VERDADERO	VERDADERO
7	190	ELU_SISMO_Y_T	Combination	91.1	8.6	13.9	VERDADERO	VERDADERO
7	192	ELU_SISMO_Y_T	Combination	123.6	7.9	13.0	VERDADERO	VERDADERO
7	194	ELU_SISMO_Y_T	Combination	60.4	8.5	13.8	VERDADERO	VERDADERO
7	196	ELU_SISMO_Y_T	Combination	67.5	8.0	13.1	VERDADERO	VERDADERO
7	198	ELU_SISMO_Y_T	Combination	65.7	8.5	13.8	VERDADERO	VERDADERO
7	200	ELU_SISMO_Y_T	Combination	98.2	7.9	13.0	VERDADERO	VERDADERO
7	202	ELU_SISMO_Y_T	Combination	35.0	8.4	13.7	VERDADERO	VERDADERO
7	228	ELU_SISMO_Y_T	Combination	42.1	8.0	13.1	VERDADERO	VERDADERO
7	230	ELU_SISMO_Y_T	Combination	40.3	8.4	13.7	VERDADERO	VERDADERO
7	232	ELU_SISMO_Y_T	Combination	72.8	8.0	13.1	VERDADERO	VERDADERO
7	234	ELU_SISMO_Y_T	Combination	9.6	8.3	13.6	VERDADERO	VERDADERO
7	236	ELU_SISMO_Y_T	Combination	50.8	8.1	13.3	VERDADERO	VERDADERO
7	238	ELU_SISMO_Y_T	Combination	48.9	8.2	13.4	VERDADERO	VERDADERO
7	240	ELU_SISMO_Y_T	Combination	81.5	8.0	13.2	VERDADERO	VERDADERO
7	242	ELU_SISMO_Y_T	Combination	18.3	8.1	13.3	VERDADERO	VERDADERO
7	124	ELU_SISMO_Y_T	Combination	79.8	8.3	13.4	VERDADERO	VERDADERO
7	126	ELU_SISMO_Y_T	Combination	14.4	8.5	13.7	VERDADERO	VERDADERO
7	150	ELU_SISMO_Y_T	Combination	104.8	8.3	13.3	VERDADERO	VERDADERO
7	162	ELU_SISMO_Y_T	Combination	-10.7	8.5	13.6	VERDADERO	VERDADERO
7	172	ELU_SISMO_Y_T	Combination	126.4	8.2	13.2	VERDADERO	VERDADERO
7	174	ELU_SISMO_Y_T	Combination	60.4	8.8	14.1	VERDADERO	VERDADERO
7	176	ELU_SISMO_Y_T	Combination	151.3	8.2	13.2	VERDADERO	VERDADERO
7	178	ELU_SISMO_Y_T	Combination	35.4	8.7	14.0	VERDADERO	VERDADERO
7	180	ELU_SISMO_Y_T	Combination	101.0	8.3	13.3	VERDADERO	VERDADERO
7	182	ELU_SISMO_Y_T	Combination	35.0	8.7	14.0	VERDADERO	VERDADERO
7	184	ELU_SISMO_Y_T	Combination	125.9	8.2	13.2	VERDADERO	VERDADERO
7	186	ELU_SISMO_Y_T	Combination	10.0	8.6	13.9	VERDADERO	VERDADERO
7	188	ELU_SISMO_Y_T	Combination	33.4	8.5	13.7	VERDADERO	VERDADERO
7	190	ELU_SISMO_Y_T	Combination	-32.6	8.4	13.5	VERDADERO	VERDADERO
7	192	ELU_SISMO_Y_T	Combination	58.4	8.4	13.6	VERDADERO	VERDADERO
7	194	ELU_SISMO_Y_T	Combination	-57.5	8.3	13.4	VERDADERO	VERDADERO

## PASARELA UCA. MICROPILOTES PILAS P7 Y P8

### MICROPILOTES: COMPROBACIÓN ESTRUCTURAL EN SECCIÓN MAS SOLICITADA

SE PLANTEA EL SIGUIENTE CRITERIO DE INTERACCIÓN DE ESFUERZOS

$$M_d/M_{rd} + N_d/N_{rd} < 1 \text{ y } V_d < 0.5 \cdot V_{rd} \cdot (1 - N_d/N_{rd})$$

El que se cumpla la condición anterior es suficiente para que el punto quede dentro del diagrama de interacción representado en el artículo 6.3.6.5 de la RPX-95

#### Esfuerzos resistentes (según características micro)

Nrd (kN)	690.9	kN
Mrd	41.0	kN*m
Vrd	455.3	kN

VERDADERO VERDADERO

PILA	FRAME	OutputCase	CaseType	Nd	Vd	Md	Cumple 1	Cumple 2
Text	Text	Text	Text	KN	KN	KN-m		
7	196	ELU_SISMO_Y_T	Combination	58.8	8.4	13.6	VERDADERO	VERDADERO
7	198	ELU_SISMO_Y_T	Combination	-7.2	8.4	13.5	VERDADERO	VERDADERO
7	200	ELU_SISMO_Y_T	Combination	83.8	8.4	13.5	VERDADERO	VERDADERO
7	202	ELU_SISMO_Y_T	Combination	-32.1	8.4	13.5	VERDADERO	VERDADERO
7	228	ELU_SISMO_Y_T	Combination	84.2	8.4	13.5	VERDADERO	VERDADERO
7	230	ELU_SISMO_Y_T	Combination	18.2	8.5	13.6	VERDADERO	VERDADERO
7	232	ELU_SISMO_Y_T	Combination	109.2	8.3	13.4	VERDADERO	VERDADERO
7	234	ELU_SISMO_Y_T	Combination	-6.7	8.4	13.5	VERDADERO	VERDADERO
7	236	ELU_SISMO_Y_T	Combination	75.6	8.3	13.4	VERDADERO	VERDADERO
7	238	ELU_SISMO_Y_T	Combination	9.6	8.6	13.9	VERDADERO	VERDADERO
7	240	ELU_SISMO_Y_T	Combination	100.5	8.3	13.3	VERDADERO	VERDADERO
7	242	ELU_SISMO_Y_T	Combination	-15.4	8.6	13.8	VERDADERO	VERDADERO
7	124	ELU_SISMO_Y_T	Combination	42.6	8.1	13.4	VERDADERO	VERDADERO
7	126	ELU_SISMO_Y_T	Combination	49.1	8.4	13.7	VERDADERO	VERDADERO
7	150	ELU_SISMO_Y_T	Combination	74.8	8.1	13.3	VERDADERO	VERDADERO
7	162	ELU_SISMO_Y_T	Combination	16.9	8.3	13.6	VERDADERO	VERDADERO
7	172	ELU_SISMO_Y_T	Combination	-3.6	8.4	13.7	VERDADERO	VERDADERO
7	174	ELU_SISMO_Y_T	Combination	2.1	8.2	13.4	VERDADERO	VERDADERO
7	176	ELU_SISMO_Y_T	Combination	28.5	8.3	13.6	VERDADERO	VERDADERO
7	178	ELU_SISMO_Y_T	Combination	-30.0	8.1	13.3	VERDADERO	VERDADERO
7	180	ELU_SISMO_Y_T	Combination	21.8	8.3	13.6	VERDADERO	VERDADERO
7	182	ELU_SISMO_Y_T	Combination	27.5	8.2	13.4	VERDADERO	VERDADERO
7	184	ELU_SISMO_Y_T	Combination	53.9	8.2	13.4	VERDADERO	VERDADERO
7	186	ELU_SISMO_Y_T	Combination	-4.6	8.1	13.4	VERDADERO	VERDADERO
7	188	ELU_SISMO_Y_T	Combination	89.3	8.0	13.2	VERDADERO	VERDADERO
7	190	ELU_SISMO_Y_T	Combination	95.0	8.6	14.1	VERDADERO	VERDADERO
7	192	ELU_SISMO_Y_T	Combination	121.4	8.0	13.1	VERDADERO	VERDADERO
7	194	ELU_SISMO_Y_T	Combination	62.9	8.5	14.0	VERDADERO	VERDADERO
7	196	ELU_SISMO_Y_T	Combination	63.9	8.1	13.2	VERDADERO	VERDADERO
7	198	ELU_SISMO_Y_T	Combination	69.6	8.6	14.0	VERDADERO	VERDADERO
7	200	ELU_SISMO_Y_T	Combination	96.0	8.0	13.2	VERDADERO	VERDADERO
7	202	ELU_SISMO_Y_T	Combination	37.5	8.5	13.8	VERDADERO	VERDADERO
7	228	ELU_SISMO_Y_T	Combination	38.5	8.1	13.3	VERDADERO	VERDADERO
7	230	ELU_SISMO_Y_T	Combination	44.2	8.5	13.9	VERDADERO	VERDADERO
7	232	ELU_SISMO_Y_T	Combination	70.6	8.0	13.2	VERDADERO	VERDADERO
7	234	ELU_SISMO_Y_T	Combination	12.1	8.4	13.7	VERDADERO	VERDADERO
7	236	ELU_SISMO_Y_T	Combination	47.2	8.2	13.5	VERDADERO	VERDADERO
7	238	ELU_SISMO_Y_T	Combination	52.9	8.2	13.5	VERDADERO	VERDADERO
7	240	ELU_SISMO_Y_T	Combination	79.3	8.1	13.3	VERDADERO	VERDADERO
7	242	ELU_SISMO_Y_T	Combination	20.8	8.2	13.4	VERDADERO	VERDADERO

## PASARELA UCA. MICROPILOTES PILAS P7 Y P8

### MICROPILOTES: COMPROBACIÓN ESTRUCTURAL EN SECCIÓN MAS SOLICITADA

SE PLANTEA EL SIGUIENTE CRITERIO DE INTERACCIÓN DE ESFUERZOS

$$M_d/M_{rd} + N_d/N_{rd} < 1 \text{ y } V_d < 0.5 \cdot V_{rd} \cdot (1 - N_d/N_{rd})$$

El que se cumpla la condición anterior es suficiente para que el punto quede dentro del diagrama de interacción representado en el artículo 6.3.6.5 de la RPX-95

#### Esfuerzos resistentes (según características micro)

Nrd (kN)	690.9	kN
Mrd	41.0	kN*m
Vrd	455.3	kN

VERDADERO VERDADERO

PILA	FRAME	OutputCase	CaseType	Nd	Vd	Md	Cumple 1	Cumple 2
Text	Text	Text	Text	KN	KN	KN-m		
7	124	ELU_SISMO_Z_T	Combination	86.6	6.6	10.6	VERDADERO	VERDADERO
7	126	ELU_SISMO_Z_T	Combination	9.1	6.9	11.0	VERDADERO	VERDADERO
7	150	ELU_SISMO_Z_T	Combination	111.7	6.5	10.5	VERDADERO	VERDADERO
7	162	ELU_SISMO_Z_T	Combination	-16.1	6.8	10.9	VERDADERO	VERDADERO
7	172	ELU_SISMO_Z_T	Combination	100.7	6.5	10.5	VERDADERO	VERDADERO
7	174	ELU_SISMO_Z_T	Combination	22.5	7.0	11.1	VERDADERO	VERDADERO
7	176	ELU_SISMO_Z_T	Combination	125.7	6.4	10.4	VERDADERO	VERDADERO
7	178	ELU_SISMO_Z_T	Combination	-2.5	6.9	11.0	VERDADERO	VERDADERO
7	180	ELU_SISMO_Z_T	Combination	93.1	6.5	10.5	VERDADERO	VERDADERO
7	182	ELU_SISMO_Z_T	Combination	14.9	6.9	11.1	VERDADERO	VERDADERO
7	184	ELU_SISMO_Z_T	Combination	118.1	6.5	10.4	VERDADERO	VERDADERO
7	186	ELU_SISMO_Z_T	Combination	-10.1	6.8	11.0	VERDADERO	VERDADERO
7	188	ELU_SISMO_Z_T	Combination	72.8	6.6	10.7	VERDADERO	VERDADERO
7	190	ELU_SISMO_Z_T	Combination	-5.4	6.8	10.9	VERDADERO	VERDADERO
7	192	ELU_SISMO_Z_T	Combination	97.8	6.5	10.5	VERDADERO	VERDADERO
7	194	ELU_SISMO_Z_T	Combination	-30.4	6.7	10.8	VERDADERO	VERDADERO
7	196	ELU_SISMO_Z_T	Combination	80.4	6.6	10.6	VERDADERO	VERDADERO
7	198	ELU_SISMO_Z_T	Combination	2.3	6.8	10.9	VERDADERO	VERDADERO
7	200	ELU_SISMO_Z_T	Combination	105.4	6.5	10.5	VERDADERO	VERDADERO
7	202	ELU_SISMO_Z_T	Combination	-22.8	6.7	10.8	VERDADERO	VERDADERO
7	228	ELU_SISMO_Z_T	Combination	88.0	6.6	10.6	VERDADERO	VERDADERO
7	230	ELU_SISMO_Z_T	Combination	9.9	6.8	10.9	VERDADERO	VERDADERO
7	232	ELU_SISMO_Z_T	Combination	113.1	6.5	10.5	VERDADERO	VERDADERO
7	234	ELU_SISMO_Z_T	Combination	-15.1	6.8	10.8	VERDADERO	VERDADERO
7	236	ELU_SISMO_Z_T	Combination	85.4	6.6	10.5	VERDADERO	VERDADERO
7	238	ELU_SISMO_Z_T	Combination	7.3	6.9	11.0	VERDADERO	VERDADERO
7	240	ELU_SISMO_Z_T	Combination	110.5	6.5	10.4	VERDADERO	VERDADERO
7	242	ELU_SISMO_Z_T	Combination	-17.7	6.8	10.9	VERDADERO	VERDADERO
7	124	ELU_SISMO_Z_T	Combination	43.1	5.6	9.3	VERDADERO	VERDADERO
7	126	ELU_SISMO_Z_T	Combination	46.5	5.9	9.7	VERDADERO	VERDADERO
7	150	ELU_SISMO_Z_T	Combination	72.4	5.5	9.2	VERDADERO	VERDADERO
7	162	ELU_SISMO_Z_T	Combination	17.2	5.8	9.6	VERDADERO	VERDADERO
7	172	ELU_SISMO_Z_T	Combination	29.3	5.7	9.4	VERDADERO	VERDADERO
7	174	ELU_SISMO_Z_T	Combination	32.1	5.8	9.6	VERDADERO	VERDADERO
7	176	ELU_SISMO_Z_T	Combination	58.5	5.6	9.3	VERDADERO	VERDADERO
7	178	ELU_SISMO_Z_T	Combination	2.9	5.7	9.5	VERDADERO	VERDADERO
7	180	ELU_SISMO_Z_T	Combination	37.0	5.6	9.4	VERDADERO	VERDADERO
7	182	ELU_SISMO_Z_T	Combination	39.7	5.8	9.6	VERDADERO	VERDADERO
7	184	ELU_SISMO_Z_T	Combination	66.2	5.5	9.3	VERDADERO	VERDADERO
7	186	ELU_SISMO_Z_T	Combination	10.5	5.7	9.5	VERDADERO	VERDADERO



## PASARELA UCA. MICROPILOTES PILAS P7 Y P8

### MICROPILOTES: COMPROBACIÓN ESTRUCTURAL EN SECCIÓN MAS SOLICITADA

SE PLANTEA EL SIGUIENTE CRITERIO DE INTERACCIÓN DE ESFUERZOS

$$M_d/M_{rd} + N_d/N_{rd} < 1 \text{ y } V_d < 0.5 \cdot V_{rd} \cdot (1 - N_d/N_{rd})$$

El que se cumpla la condición anterior es suficiente para que el punto quede dentro del diagrama de interacción representado en el artículo 6.3.6.5 de la RPX-95

#### Esfuerzos resistentes (según características micro)

Nrd (kN)	690.9	kN
Mrd	41.0	kN*m
Vrd	455.3	kN

VERDADERO VERDADERO

PILA	FRAME	OutputCase	CaseType	Nd	Vd	Md	Cumple 1	Cumple 2
Text	Text	Text	Text	KN	KN	KN-m		
7	188	ELU_SISMO_Z_T	Combination	57.2	5.5	9.2	VERDADERO	VERDADERO
7	190	ELU_SISMO_Z_T	Combination	59.9	6.0	9.9	VERDADERO	VERDADERO
7	192	ELU_SISMO_Z_T	Combination	86.4	5.5	9.1	VERDADERO	VERDADERO
7	194	ELU_SISMO_Z_T	Combination	30.8	5.9	9.7	VERDADERO	VERDADERO
7	196	ELU_SISMO_Z_T	Combination	49.6	5.6	9.3	VERDADERO	VERDADERO
7	198	ELU_SISMO_Z_T	Combination	52.3	5.9	9.8	VERDADERO	VERDADERO
7	200	ELU_SISMO_Z_T	Combination	78.8	5.5	9.1	VERDADERO	VERDADERO
7	202	ELU_SISMO_Z_T	Combination	23.1	5.8	9.7	VERDADERO	VERDADERO
7	228	ELU_SISMO_Z_T	Combination	42.0	5.6	9.3	VERDADERO	VERDADERO
7	230	ELU_SISMO_Z_T	Combination	44.7	5.9	9.8	VERDADERO	VERDADERO
7	232	ELU_SISMO_Z_T	Combination	71.2	5.5	9.2	VERDADERO	VERDADERO
7	234	ELU_SISMO_Z_T	Combination	15.5	5.8	9.7	VERDADERO	VERDADERO
7	236	ELU_SISMO_Z_T	Combination	44.6	5.6	9.4	VERDADERO	VERDADERO
7	238	ELU_SISMO_Z_T	Combination	47.3	5.8	9.7	VERDADERO	VERDADERO
7	240	ELU_SISMO_Z_T	Combination	73.8	5.5	9.2	VERDADERO	VERDADERO
7	242	ELU_SISMO_Z_T	Combination	18.1	5.7	9.5	VERDADERO	VERDADERO
7	124	ELU_SISMO_Z_T	Combination	83.0	6.7	10.8	VERDADERO	VERDADERO
7	126	ELU_SISMO_Z_T	Combination	13.0	7.0	11.2	VERDADERO	VERDADERO
7	150	ELU_SISMO_Z_T	Combination	109.5	6.6	10.6	VERDADERO	VERDADERO
7	162	ELU_SISMO_Z_T	Combination	-13.5	6.9	11.1	VERDADERO	VERDADERO
7	172	ELU_SISMO_Z_T	Combination	97.0	6.6	10.7	VERDADERO	VERDADERO
7	174	ELU_SISMO_Z_T	Combination	26.5	7.0	11.3	VERDADERO	VERDADERO
7	176	ELU_SISMO_Z_T	Combination	123.5	6.5	10.6	VERDADERO	VERDADERO
7	178	ELU_SISMO_Z_T	Combination	0.0	7.0	11.2	VERDADERO	VERDADERO
7	180	ELU_SISMO_Z_T	Combination	89.4	6.6	10.7	VERDADERO	VERDADERO
7	182	ELU_SISMO_Z_T	Combination	18.8	7.0	11.3	VERDADERO	VERDADERO
7	184	ELU_SISMO_Z_T	Combination	115.9	6.6	10.6	VERDADERO	VERDADERO
7	186	ELU_SISMO_Z_T	Combination	-7.6	6.9	11.2	VERDADERO	VERDADERO
7	188	ELU_SISMO_Z_T	Combination	69.2	6.7	10.9	VERDADERO	VERDADERO
7	190	ELU_SISMO_Z_T	Combination	-1.4	6.9	11.1	VERDADERO	VERDADERO
7	192	ELU_SISMO_Z_T	Combination	95.6	6.6	10.7	VERDADERO	VERDADERO
7	194	ELU_SISMO_Z_T	Combination	-27.9	6.8	11.0	VERDADERO	VERDADERO
7	196	ELU_SISMO_Z_T	Combination	76.8	6.7	10.8	VERDADERO	VERDADERO
7	198	ELU_SISMO_Z_T	Combination	6.2	6.9	11.1	VERDADERO	VERDADERO
7	200	ELU_SISMO_Z_T	Combination	103.2	6.6	10.7	VERDADERO	VERDADERO
7	202	ELU_SISMO_Z_T	Combination	-20.3	6.8	11.0	VERDADERO	VERDADERO
7	228	ELU_SISMO_Z_T	Combination	84.4	6.7	10.8	VERDADERO	VERDADERO
7	230	ELU_SISMO_Z_T	Combination	13.8	6.9	11.1	VERDADERO	VERDADERO
7	232	ELU_SISMO_Z_T	Combination	110.8	6.6	10.6	VERDADERO	VERDADERO
7	234	ELU_SISMO_Z_T	Combination	-12.6	6.8	11.0	VERDADERO	VERDADERO

## PASARELA UCA. MICROPILOTES PILAS P7 Y P8

### MICROPILOTES: COMPROBACIÓN ESTRUCTURAL EN SECCIÓN MAS SOLICITADA

SE PLANTEA EL SIGUIENTE CRITERIO DE INTERACCIÓN DE ESFUERZOS

$$Md/Mrd + Nd/Nrd < 1 \text{ y } Vd < 0.5 \cdot Vrd \cdot (1 - Nd/Nrd)$$

El que se cumpla la condición anterior es suficiente para que el punto quede dentro del diagrama de interacción representado en el artículo 6.3.6.5 de la RPX-95

#### Esfuerzos resistentes (según características micro)

Nrd (kN)	690.9	kN
Mrd	41.0	kN*m
Vrd	455.3	kN

VERDADERO VERDADERO

PILA	FRAME	OutputCase	CaseType	Nd	Vd	Md	Cumple 1	Cumple 2
Text	Text	Text	Text	KN	KN	KN-m		
7	236	ELU_SISMO_Z_T	Combination	81.8	6.6	10.7	VERDADERO	VERDADERO
7	238	ELU_SISMO_Z_T	Combination	11.2	7.0	11.2	VERDADERO	VERDADERO
7	240	ELU_SISMO_Z_T	Combination	108.2	6.6	10.6	VERDADERO	VERDADERO
7	242	ELU_SISMO_Z_T	Combination	-15.2	6.9	11.1	VERDADERO	VERDADERO
7	124	ELU_SISMO_Z_T	Combination	39.4	5.7	9.5	VERDADERO	VERDADERO
7	126	ELU_SISMO_Z_T	Combination	50.5	6.0	9.9	VERDADERO	VERDADERO
7	150	ELU_SISMO_Z_T	Combination	70.2	5.6	9.4	VERDADERO	VERDADERO
7	162	ELU_SISMO_Z_T	Combination	19.8	5.9	9.8	VERDADERO	VERDADERO
7	172	ELU_SISMO_Z_T	Combination	25.7	5.8	9.6	VERDADERO	VERDADERO
7	174	ELU_SISMO_Z_T	Combination	36.0	5.9	9.8	VERDADERO	VERDADERO
7	176	ELU_SISMO_Z_T	Combination	56.3	5.7	9.5	VERDADERO	VERDADERO
7	178	ELU_SISMO_Z_T	Combination	5.4	5.8	9.7	VERDADERO	VERDADERO
7	180	ELU_SISMO_Z_T	Combination	33.3	5.7	9.6	VERDADERO	VERDADERO
7	182	ELU_SISMO_Z_T	Combination	43.6	5.9	9.8	VERDADERO	VERDADERO
7	184	ELU_SISMO_Z_T	Combination	63.9	5.6	9.4	VERDADERO	VERDADERO
7	186	ELU_SISMO_Z_T	Combination	13.0	5.8	9.7	VERDADERO	VERDADERO
7	188	ELU_SISMO_Z_T	Combination	53.6	5.6	9.4	VERDADERO	VERDADERO
7	190	ELU_SISMO_Z_T	Combination	63.9	6.1	10.1	VERDADERO	VERDADERO
7	192	ELU_SISMO_Z_T	Combination	84.2	5.5	9.3	VERDADERO	VERDADERO
7	194	ELU_SISMO_Z_T	Combination	33.3	6.0	9.9	VERDADERO	VERDADERO
7	196	ELU_SISMO_Z_T	Combination	46.0	5.6	9.5	VERDADERO	VERDADERO
7	198	ELU_SISMO_Z_T	Combination	56.3	6.0	10.0	VERDADERO	VERDADERO
7	200	ELU_SISMO_Z_T	Combination	76.6	5.6	9.3	VERDADERO	VERDADERO
7	202	ELU_SISMO_Z_T	Combination	25.6	5.9	9.9	VERDADERO	VERDADERO
7	228	ELU_SISMO_Z_T	Combination	38.3	5.7	9.5	VERDADERO	VERDADERO
7	230	ELU_SISMO_Z_T	Combination	48.6	6.0	10.0	VERDADERO	VERDADERO
7	232	ELU_SISMO_Z_T	Combination	68.9	5.6	9.4	VERDADERO	VERDADERO
7	234	ELU_SISMO_Z_T	Combination	18.0	5.9	9.8	VERDADERO	VERDADERO
7	236	ELU_SISMO_Z_T	Combination	40.9	5.7	9.6	VERDADERO	VERDADERO
7	238	ELU_SISMO_Z_T	Combination	51.2	5.9	9.8	VERDADERO	VERDADERO
7	240	ELU_SISMO_Z_T	Combination	71.6	5.6	9.4	VERDADERO	VERDADERO
7	242	ELU_SISMO_Z_T	Combination	20.6	5.8	9.7	VERDADERO	VERDADERO
8	124	ELU_01_T0_Max	Combination	150.9	8.5	14.6	VERDADERO	VERDADERO
8	126	ELU_01_T0_Max	Combination	32.2	7.9	13.8	VERDADERO	VERDADERO
8	150	ELU_01_T0_Max	Combination	93.8	8.3	14.4	VERDADERO	VERDADERO
8	162	ELU_01_T0_Max	Combination	89.2	7.7	13.5	VERDADERO	VERDADERO
8	172	ELU_01_T0_Max	Combination	204.4	8.6	14.8	VERDADERO	VERDADERO
8	174	ELU_01_T0_Max	Combination	87.1	7.7	13.5	VERDADERO	VERDADERO
8	176	ELU_01_T0_Max	Combination	147.5	8.4	14.6	VERDADERO	VERDADERO
8	178	ELU_01_T0_Max	Combination	143.9	7.5	13.2	VERDADERO	VERDADERO

## PASARELA UCA. MICROPILOTES PILAS P7 Y P8

### MICROPILOTES: COMPROBACIÓN ESTRUCTURAL EN SECCIÓN MAS SOLICITADA

SE PLANTEA EL SIGUIENTE CRITERIO DE INTERACCIÓN DE ESFUERZOS

$$M_d/M_{rd} + N_d/N_{rd} < 1 \text{ y } V_d < 0.5 \cdot V_{rd} \cdot (1 - N_d/N_{rd})$$

El que se cumpla la condición anterior es suficiente para que el punto quede dentro del diagrama de interacción representado en el artículo 6.3.6.5 de la RPX-95

#### Esfuerzos resistentes (según características micro)

Nrd (kN)	690.9	kN
Mrd	41.0	kN*m
Vrd	455.3	kN

VERDADERO VERDADERO

PILA	FRAME	OutputCase	CaseType	Nd	Vd	Md	Cumple 1	Cumple 2
Text	Text	Text	Text	KN	KN	KN-m		
8	180	ELU_01_T0_Max	Combination	190.2	8.6	14.8	VERDADERO	VERDADERO
8	182	ELU_01_T0_Max	Combination	72.9	7.8	13.6	VERDADERO	VERDADERO
8	184	ELU_01_T0_Max	Combination	133.4	8.4	14.5	VERDADERO	VERDADERO
8	186	ELU_01_T0_Max	Combination	129.8	7.6	13.3	VERDADERO	VERDADERO
8	188	ELU_01_T0_Max	Combination	95.3	8.3	14.4	VERDADERO	VERDADERO
8	190	ELU_01_T0_Max	Combination	-22.0	8.1	14.0	VERDADERO	VERDADERO
8	192	ELU_01_T0_Max	Combination	38.4	8.2	14.1	VERDADERO	VERDADERO
8	194	ELU_01_T0_Max	Combination	34.8	7.9	13.7	VERDADERO	VERDADERO
8	196	ELU_01_T0_Max	Combination	109.4	8.4	14.4	VERDADERO	VERDADERO
8	198	ELU_01_T0_Max	Combination	-7.9	8.0	13.9	VERDADERO	VERDADERO
8	200	ELU_01_T0_Max	Combination	52.6	8.2	14.2	VERDADERO	VERDADERO
8	202	ELU_01_T0_Max	Combination	48.9	7.8	13.7	VERDADERO	VERDADERO
8	228	ELU_01_T0_Max	Combination	123.5	8.4	14.5	VERDADERO	VERDADERO
8	230	ELU_01_T0_Max	Combination	6.2	8.0	13.9	VERDADERO	VERDADERO
8	232	ELU_01_T0_Max	Combination	66.7	8.2	14.2	VERDADERO	VERDADERO
8	234	ELU_01_T0_Max	Combination	63.1	7.8	13.6	VERDADERO	VERDADERO
8	236	ELU_01_T0_Max	Combination	176.1	8.5	14.7	VERDADERO	VERDADERO
8	238	ELU_01_T0_Max	Combination	58.8	7.8	13.6	VERDADERO	VERDADERO
8	240	ELU_01_T0_Max	Combination	119.2	8.4	14.4	VERDADERO	VERDADERO
8	242	ELU_01_T0_Max	Combination	115.6	7.6	13.4	VERDADERO	VERDADERO
8	124	ELU_01_T0_Min	Combination	-95.0	14.4	22.2	VERDADERO	VERDADERO
8	126	ELU_01_T0_Min	Combination	216.4	14.0	21.7	VERDADERO	VERDADERO
8	150	ELU_01_T0_Min	Combination	-132.5	14.2	22.1	VERDADERO	VERDADERO
8	162	ELU_01_T0_Min	Combination	253.9	13.8	21.5	VERDADERO	VERDADERO
8	172	ELU_01_T0_Min	Combination	-56.3	14.4	22.4	VERDADERO	VERDADERO
8	174	ELU_01_T0_Min	Combination	256.0	13.8	21.5	VERDADERO	VERDADERO
8	176	ELU_01_T0_Min	Combination	-93.6	14.3	22.2	VERDADERO	VERDADERO
8	178	ELU_01_T0_Min	Combination	293.3	13.7	21.3	VERDADERO	VERDADERO
8	180	ELU_01_T0_Min	Combination	-64.6	14.4	22.3	VERDADERO	VERDADERO
8	182	ELU_01_T0_Min	Combination	247.7	13.9	21.5	VERDADERO	VERDADERO
8	184	ELU_01_T0_Min	Combination	-102.0	14.3	22.2	VERDADERO	VERDADERO
8	186	ELU_01_T0_Min	Combination	285.0	13.7	21.3	VERDADERO	VERDADERO
8	188	ELU_01_T0_Min	Combination	-135.0	14.2	22.1	VERDADERO	VERDADERO
8	190	ELU_01_T0_Min	Combination	177.3	14.1	21.8	VERDADERO	VERDADERO
8	192	ELU_01_T0_Min	Combination	-172.4	14.1	21.9	VERDADERO	VERDADERO
8	194	ELU_01_T0_Min	Combination	214.6	14.0	21.6	VERDADERO	VERDADERO
8	196	ELU_01_T0_Min	Combination	-126.7	14.3	22.1	VERDADERO	VERDADERO
8	198	ELU_01_T0_Min	Combination	185.6	14.0	21.8	VERDADERO	VERDADERO
8	200	ELU_01_T0_Min	Combination	-164.0	14.1	21.9	VERDADERO	VERDADERO
8	202	ELU_01_T0_Min	Combination	223.0	13.9	21.6	VERDADERO	VERDADERO



## PASARELA UCA. MICROPILOTES PILAS P7 Y P8

### MICROPILOTES: COMPROBACIÓN ESTRUCTURAL EN SECCIÓN MAS SOLICITADA

SE PLANTEA EL SIGUIENTE CRITERIO DE INTERACCIÓN DE ESFUERZOS

$$M_d/M_{rd} + N_d/N_{rd} < 1 \text{ y } V_d < 0.5 \cdot V_{rd} \cdot (1 - N_d/N_{rd})$$

El que se cumpla la condición anterior es suficiente para que el punto quede dentro del diagrama de interacción representado en el artículo 6.3.6.5 de la RPX-95

#### Esfuerzos resistentes (según características micro)

Nrd (kN)	690.9	kN
Mrd	41.0	kN*m
Vrd	455.3	kN

VERDADERO VERDADERO

PILA	FRAME	OutputCase	CaseType	Nd	Vd	Md	Cumple 1	Cumple 2
Text	Text	Text	Text	KN	KN	KN-m		
8	228	ELU_01_T0_Min	Combination	-118.3	14.3	22.1	VERDADERO	VERDADERO
8	230	ELU_01_T0_Min	Combination	194.0	14.0	21.7	VERDADERO	VERDADERO
8	232	ELU_01_T0_Min	Combination	-155.7	14.2	22.0	VERDADERO	VERDADERO
8	234	ELU_01_T0_Min	Combination	231.3	13.9	21.6	VERDADERO	VERDADERO
8	236	ELU_01_T0_Min	Combination	-73.0	14.4	22.3	VERDADERO	VERDADERO
8	238	ELU_01_T0_Min	Combination	239.3	13.9	21.6	VERDADERO	VERDADERO
8	240	ELU_01_T0_Min	Combination	-110.3	14.3	22.1	VERDADERO	VERDADERO
8	242	ELU_01_T0_Min	Combination	276.6	13.8	21.4	VERDADERO	VERDADERO
8	124	ELU_01_TINF_M	Combination	157.6	8.6	14.9	VERDADERO	VERDADERO
8	126	ELU_01_TINF_M	Combination	25.8	8.0	14.1	VERDADERO	VERDADERO
8	150	ELU_01_TINF_M	Combination	98.3	8.4	14.6	VERDADERO	VERDADERO
8	162	ELU_01_TINF_M	Combination	85.1	7.9	13.8	VERDADERO	VERDADERO
8	172	ELU_01_TINF_M	Combination	211.1	8.8	15.1	VERDADERO	VERDADERO
8	174	ELU_01_TINF_M	Combination	80.7	7.9	13.8	VERDADERO	VERDADERO
8	176	ELU_01_TINF_M	Combination	152.0	8.6	14.8	VERDADERO	VERDADERO
8	178	ELU_01_TINF_M	Combination	139.8	7.7	13.5	VERDADERO	VERDADERO
8	180	ELU_01_TINF_M	Combination	196.9	8.7	15.0	VERDADERO	VERDADERO
8	182	ELU_01_TINF_M	Combination	66.6	7.9	13.9	VERDADERO	VERDADERO
8	184	ELU_01_TINF_M	Combination	137.8	8.5	14.8	VERDADERO	VERDADERO
8	186	ELU_01_TINF_M	Combination	125.7	7.7	13.6	VERDADERO	VERDADERO
8	188	ELU_01_TINF_M	Combination	102.0	8.5	14.7	VERDADERO	VERDADERO
8	190	ELU_01_TINF_M	Combination	-28.4	8.2	14.3	VERDADERO	VERDADERO
8	192	ELU_01_TINF_M	Combination	42.9	8.3	14.4	VERDADERO	VERDADERO
8	194	ELU_01_TINF_M	Combination	30.7	8.0	14.0	VERDADERO	VERDADERO
8	196	ELU_01_TINF_M	Combination	116.1	8.5	14.7	VERDADERO	VERDADERO
8	198	ELU_01_TINF_M	Combination	-14.2	8.1	14.2	VERDADERO	VERDADERO
8	200	ELU_01_TINF_M	Combination	57.0	8.3	14.5	VERDADERO	VERDADERO
8	202	ELU_01_TINF_M	Combination	44.9	8.0	13.9	VERDADERO	VERDADERO
8	228	ELU_01_TINF_M	Combination	130.3	8.6	14.8	VERDADERO	VERDADERO
8	230	ELU_01_TINF_M	Combination	-0.1	8.1	14.1	VERDADERO	VERDADERO
8	232	ELU_01_TINF_M	Combination	71.2	8.4	14.5	VERDADERO	VERDADERO
8	234	ELU_01_TINF_M	Combination	59.0	7.9	13.9	VERDADERO	VERDADERO
8	236	ELU_01_TINF_M	Combination	182.8	8.7	15.0	VERDADERO	VERDADERO
8	238	ELU_01_TINF_M	Combination	52.4	8.0	13.9	VERDADERO	VERDADERO
8	240	ELU_01_TINF_M	Combination	123.7	8.5	14.7	VERDADERO	VERDADERO
8	242	ELU_01_TINF_M	Combination	111.5	7.8	13.7	VERDADERO	VERDADERO
8	124	ELU_01_TINF_M	Combination	-88.2	14.5	22.5	VERDADERO	VERDADERO
8	126	ELU_01_TINF_M	Combination	210.1	14.1	22.0	VERDADERO	VERDADERO
8	150	ELU_01_TINF_M	Combination	-128.0	14.4	22.3	VERDADERO	VERDADERO
8	162	ELU_01_TINF_M	Combination	249.8	14.0	21.8	VERDADERO	VERDADERO

## PASARELA UCA. MICROPILOTES PILAS P7 Y P8

### MICROPILOTES: COMPROBACIÓN ESTRUCTURAL EN SECCIÓN MAS SOLICITADA

SE PLANTEA EL SIGUIENTE CRITERIO DE INTERACCIÓN DE ESFUERZOS

$$M_d/M_{rd} + N_d/N_{rd} < 1 \text{ y } V_d < 0.5 \cdot V_{rd} \cdot (1 - N_d/N_{rd})$$

El que se cumpla la condición anterior es suficiente para que el punto quede dentro del diagrama de interacción representado en el artículo 6.3.6.5 de la RPX-95

#### Esfuerzos resistentes (según características micro)

Nrd (kN)	690.9	kN
Mrd	41.0	kN*m
Vrd	455.3	kN

VERDADERO VERDADERO

PILA	FRAME	OutputCase	CaseType	Nd	Vd	Md	Cumple 1	Cumple 2
Text	Text	Text	Text	KN	KN	KN-m		
8	172	ELU_01_TINF_M	Combination	-49.6	14.6	22.6	VERDADERO	VERDADERO
8	174	ELU_01_TINF_M	Combination	249.7	14.0	21.8	VERDADERO	VERDADERO
8	176	ELU_01_TINF_M	Combination	-89.2	14.5	22.5	VERDADERO	VERDADERO
8	178	ELU_01_TINF_M	Combination	289.3	13.8	21.6	VERDADERO	VERDADERO
8	180	ELU_01_TINF_M	Combination	-57.9	14.6	22.6	VERDADERO	VERDADERO
8	182	ELU_01_TINF_M	Combination	241.3	14.0	21.8	VERDADERO	VERDADERO
8	184	ELU_01_TINF_M	Combination	-97.5	14.4	22.4	VERDADERO	VERDADERO
8	186	ELU_01_TINF_M	Combination	280.9	13.9	21.6	VERDADERO	VERDADERO
8	188	ELU_01_TINF_M	Combination	-128.3	14.4	22.3	VERDADERO	VERDADERO
8	190	ELU_01_TINF_M	Combination	170.9	14.2	22.1	VERDADERO	VERDADERO
8	192	ELU_01_TINF_M	Combination	-167.9	14.2	22.2	VERDADERO	VERDADERO
8	194	ELU_01_TINF_M	Combination	210.5	14.1	21.9	VERDADERO	VERDADERO
8	196	ELU_01_TINF_M	Combination	-119.9	14.4	22.4	VERDADERO	VERDADERO
8	198	ELU_01_TINF_M	Combination	179.3	14.2	22.1	VERDADERO	VERDADERO
8	200	ELU_01_TINF_M	Combination	-159.5	14.3	22.2	VERDADERO	VERDADERO
8	202	ELU_01_TINF_M	Combination	218.9	14.1	21.9	VERDADERO	VERDADERO
8	228	ELU_01_TINF_M	Combination	-111.6	14.4	22.4	VERDADERO	VERDADERO
8	230	ELU_01_TINF_M	Combination	187.6	14.2	22.0	VERDADERO	VERDADERO
8	232	ELU_01_TINF_M	Combination	-151.2	14.3	22.2	VERDADERO	VERDADERO
8	234	ELU_01_TINF_M	Combination	227.2	14.0	21.8	VERDADERO	VERDADERO
8	236	ELU_01_TINF_M	Combination	-66.3	14.5	22.6	VERDADERO	VERDADERO
8	238	ELU_01_TINF_M	Combination	233.0	14.0	21.8	VERDADERO	VERDADERO
8	240	ELU_01_TINF_M	Combination	-105.9	14.4	22.4	VERDADERO	VERDADERO
8	242	ELU_01_TINF_M	Combination	272.6	13.9	21.7	VERDADERO	VERDADERO
8	124	ELU_02_TO_Max	Combination	103.7	9.9	15.8	VERDADERO	VERDADERO
8	126	ELU_02_TO_Max	Combination	45.5	9.5	15.2	VERDADERO	VERDADERO
8	150	ELU_02_TO_Max	Combination	52.4	9.8	15.6	VERDADERO	VERDADERO
8	162	ELU_02_TO_Max	Combination	96.8	9.4	14.9	VERDADERO	VERDADERO
8	172	ELU_02_TO_Max	Combination	240.1	10.1	16.1	VERDADERO	VERDADERO
8	174	ELU_02_TO_Max	Combination	183.1	9.2	14.6	VERDADERO	VERDADERO
8	176	ELU_02_TO_Max	Combination	189.0	10.0	15.9	VERDADERO	VERDADERO
8	178	ELU_02_TO_Max	Combination	234.3	9.0	14.3	VERDADERO	VERDADERO
8	180	ELU_02_TO_Max	Combination	209.8	10.1	16.0	VERDADERO	VERDADERO
8	182	ELU_02_TO_Max	Combination	152.9	9.3	14.7	VERDADERO	VERDADERO
8	184	ELU_02_TO_Max	Combination	158.7	9.9	15.8	VERDADERO	VERDADERO
8	186	ELU_02_TO_Max	Combination	204.0	9.1	14.5	VERDADERO	VERDADERO
8	188	ELU_02_TO_Max	Combination	-34.5	9.6	15.3	VERDADERO	VERDADERO
8	190	ELU_02_TO_Max	Combination	-91.4	9.8	15.6	VERDADERO	VERDADERO
8	192	ELU_02_TO_Max	Combination	-85.6	9.5	15.1	VERDADERO	VERDADERO
8	194	ELU_02_TO_Max	Combination	-40.3	9.7	15.4	VERDADERO	VERDADERO

## PASARELA UCA. MICROPILOTES PILAS P7 Y P8

### MICROPILOTES: COMPROBACIÓN ESTRUCTURAL EN SECCIÓN MAS SOLICITADA

SE PLANTEA EL SIGUIENTE CRITERIO DE INTERACCIÓN DE ESFUERZOS

$$M_d/M_{rd} + N_d/N_{rd} < 1 \text{ y } V_d < 0.5 \cdot V_{rd} \cdot (1 - N_d/N_{rd})$$

El que se cumpla la condición anterior es suficiente para que el punto quede dentro del diagrama de interacción representado en el artículo 6.3.6.5 de la RPX-95

#### Esfuerzos resistentes (según características micro)

Nrd (kN)	690.9	kN
Mrd	41.0	kN*m
Vrd	455.3	kN

VERDADERO VERDADERO

PILA	FRAME	OutputCase	CaseType	Nd	Vd	Md	Cumple 1	Cumple 2
Text	Text	Text	Text	KN	KN	KN-m		
8	196	ELU_02_T0_Max	Combination	-4.2	9.7	15.5	VERDADERO	VERDADERO
8	198	ELU_02_T0_Max	Combination	-61.2	9.7	15.5	VERDADERO	VERDADERO
8	200	ELU_02_T0_Max	Combination	-55.4	9.6	15.2	VERDADERO	VERDADERO
8	202	ELU_02_T0_Max	Combination	-10.1	9.6	15.3	VERDADERO	VERDADERO
8	228	ELU_02_T0_Max	Combination	26.0	9.8	15.6	VERDADERO	VERDADERO
8	230	ELU_02_T0_Max	Combination	-30.9	9.6	15.4	VERDADERO	VERDADERO
8	232	ELU_02_T0_Max	Combination	-25.1	9.7	15.4	VERDADERO	VERDADERO
8	234	ELU_02_T0_Max	Combination	20.2	9.5	15.2	VERDADERO	VERDADERO
8	236	ELU_02_T0_Max	Combination	179.6	10.0	15.9	VERDADERO	VERDADERO
8	238	ELU_02_T0_Max	Combination	122.6	9.4	14.9	VERDADERO	VERDADERO
8	240	ELU_02_T0_Max	Combination	128.4	9.9	15.7	VERDADERO	VERDADERO
8	242	ELU_02_T0_Max	Combination	173.8	9.2	14.6	VERDADERO	VERDADERO
8	124	ELU_02_T0_Min	Combination	-49.6	11.4	17.0	VERDADERO	VERDADERO
8	126	ELU_02_T0_Min	Combination	171.7	11.0	16.4	VERDADERO	VERDADERO
8	150	ELU_02_T0_Min	Combination	-75.9	11.3	16.9	VERDADERO	VERDADERO
8	162	ELU_02_T0_Min	Combination	198.1	11.0	16.3	VERDADERO	VERDADERO
8	172	ELU_02_T0_Min	Combination	81.1	11.6	17.4	VERDADERO	VERDADERO
8	174	ELU_02_T0_Min	Combination	302.9	10.6	15.9	VERDADERO	VERDADERO
8	176	ELU_02_T0_Min	Combination	54.8	11.6	17.3	VERDADERO	VERDADERO
8	178	ELU_02_T0_Min	Combination	329.2	10.5	15.7	VERDADERO	VERDADERO
8	180	ELU_02_T0_Min	Combination	53.2	11.6	17.3	VERDADERO	VERDADERO
8	182	ELU_02_T0_Min	Combination	275.0	10.7	16.0	VERDADERO	VERDADERO
8	184	ELU_02_T0_Min	Combination	26.9	11.5	17.2	VERDADERO	VERDADERO
8	186	ELU_02_T0_Min	Combination	301.3	10.6	15.9	VERDADERO	VERDADERO
8	188	ELU_02_T0_Min	Combination	-181.3	11.0	16.4	VERDADERO	VERDADERO
8	190	ELU_02_T0_Min	Combination	40.5	11.3	16.9	VERDADERO	VERDADERO
8	192	ELU_02_T0_Min	Combination	-207.6	10.9	16.3	VERDADERO	VERDADERO
8	194	ELU_02_T0_Min	Combination	66.8	11.3	16.8	VERDADERO	VERDADERO
8	196	ELU_02_T0_Min	Combination	-153.4	11.1	16.6	VERDADERO	VERDADERO
8	198	ELU_02_T0_Min	Combination	68.5	11.3	16.8	VERDADERO	VERDADERO
8	200	ELU_02_T0_Min	Combination	-179.7	11.0	16.5	VERDADERO	VERDADERO
8	202	ELU_02_T0_Min	Combination	94.8	11.2	16.7	VERDADERO	VERDADERO
8	228	ELU_02_T0_Min	Combination	-125.4	11.2	16.7	VERDADERO	VERDADERO
8	230	ELU_02_T0_Min	Combination	96.4	11.2	16.7	VERDADERO	VERDADERO
8	232	ELU_02_T0_Min	Combination	-151.7	11.1	16.6	VERDADERO	VERDADERO
8	234	ELU_02_T0_Min	Combination	122.7	11.1	16.6	VERDADERO	VERDADERO
8	236	ELU_02_T0_Min	Combination	25.2	11.5	17.2	VERDADERO	VERDADERO
8	238	ELU_02_T0_Min	Combination	247.1	10.8	16.1	VERDADERO	VERDADERO
8	240	ELU_02_T0_Min	Combination	-1.1	11.4	17.1	VERDADERO	VERDADERO
8	242	ELU_02_T0_Min	Combination	273.4	10.7	16.0	VERDADERO	VERDADERO

## PASARELA UCA. MICROPILOTES PILAS P7 Y P8

### MICROPILOTES: COMPROBACIÓN ESTRUCTURAL EN SECCIÓN MAS SOLICITADA

SE PLANTEA EL SIGUIENTE CRITERIO DE INTERACCIÓN DE ESFUERZOS

$$M_d/M_{rd} + N_d/N_{rd} < 1 \text{ y } V_d < 0.5 \cdot V_{rd} \cdot (1 - N_d/N_{rd})$$

El que se cumpla la condición anterior es suficiente para que el punto quede dentro del diagrama de interacción representado en el artículo 6.3.6.5 de la RPX-95

#### Esfuerzos resistentes (según características micro)

Nrd (kN)	690.9	kN
Mrd	41.0	kN*m
Vrd	455.3	kN

VERDADERO VERDADERO

PILA	FRAME	OutputCase	CaseType	Nd	Vd	Md	Cumple 1	Cumple 2
Text	Text	Text	Text	KN	KN	KN-m		
8	124	ELU_02_TINF_M	Combination	110.5	10.1	16.1	VERDADERO	VERDADERO
8	126	ELU_02_TINF_M	Combination	39.1	9.6	15.4	VERDADERO	VERDADERO
8	150	ELU_02_TINF_M	Combination	56.9	9.9	15.8	VERDADERO	VERDADERO
8	162	ELU_02_TINF_M	Combination	92.7	9.5	15.2	VERDADERO	VERDADERO
8	172	ELU_02_TINF_M	Combination	246.8	10.2	16.4	VERDADERO	VERDADERO
8	174	ELU_02_TINF_M	Combination	176.8	9.3	14.9	VERDADERO	VERDADERO
8	176	ELU_02_TINF_M	Combination	193.4	10.1	16.2	VERDADERO	VERDADERO
8	178	ELU_02_TINF_M	Combination	230.2	9.1	14.6	VERDADERO	VERDADERO
8	180	ELU_02_TINF_M	Combination	216.6	10.2	16.3	VERDADERO	VERDADERO
8	182	ELU_02_TINF_M	Combination	146.5	9.4	15.0	VERDADERO	VERDADERO
8	184	ELU_02_TINF_M	Combination	163.2	10.0	16.1	VERDADERO	VERDADERO
8	186	ELU_02_TINF_M	Combination	199.9	9.2	14.8	VERDADERO	VERDADERO
8	188	ELU_02_TINF_M	Combination	-27.7	9.8	15.6	VERDADERO	VERDADERO
8	190	ELU_02_TINF_M	Combination	-97.8	9.9	15.8	VERDADERO	VERDADERO
8	192	ELU_02_TINF_M	Combination	-81.1	9.6	15.3	VERDADERO	VERDADERO
8	194	ELU_02_TINF_M	Combination	-44.4	9.8	15.6	VERDADERO	VERDADERO
8	196	ELU_02_TINF_M	Combination	2.5	9.9	15.7	VERDADERO	VERDADERO
8	198	ELU_02_TINF_M	Combination	-67.5	9.8	15.7	VERDADERO	VERDADERO
8	200	ELU_02_TINF_M	Combination	-50.9	9.7	15.5	VERDADERO	VERDADERO
8	202	ELU_02_TINF_M	Combination	-14.1	9.7	15.5	VERDADERO	VERDADERO
8	228	ELU_02_TINF_M	Combination	32.8	10.0	15.9	VERDADERO	VERDADERO
8	230	ELU_02_TINF_M	Combination	-37.3	9.8	15.6	VERDADERO	VERDADERO
8	232	ELU_02_TINF_M	Combination	-20.6	9.8	15.6	VERDADERO	VERDADERO
8	234	ELU_02_TINF_M	Combination	16.1	9.6	15.4	VERDADERO	VERDADERO
8	236	ELU_02_TINF_M	Combination	186.3	10.1	16.2	VERDADERO	VERDADERO
8	238	ELU_02_TINF_M	Combination	116.3	9.5	15.2	VERDADERO	VERDADERO
8	240	ELU_02_TINF_M	Combination	132.9	10.0	16.0	VERDADERO	VERDADERO
8	242	ELU_02_TINF_M	Combination	169.7	9.3	14.9	VERDADERO	VERDADERO
8	124	ELU_02_TINF_M	Combination	-42.8	11.5	17.2	VERDADERO	VERDADERO
8	126	ELU_02_TINF_M	Combination	165.3	11.2	16.7	VERDADERO	VERDADERO
8	150	ELU_02_TINF_M	Combination	-71.5	11.4	17.1	VERDADERO	VERDADERO
8	162	ELU_02_TINF_M	Combination	193.9	11.1	16.6	VERDADERO	VERDADERO
8	172	ELU_02_TINF_M	Combination	87.8	11.7	17.6	VERDADERO	VERDADERO
8	174	ELU_02_TINF_M	Combination	296.6	10.7	16.1	VERDADERO	VERDADERO
8	176	ELU_02_TINF_M	Combination	59.3	11.7	17.5	VERDADERO	VERDADERO
8	178	ELU_02_TINF_M	Combination	325.1	10.7	16.0	VERDADERO	VERDADERO
8	180	ELU_02_TINF_M	Combination	59.9	11.7	17.5	VERDADERO	VERDADERO
8	182	ELU_02_TINF_M	Combination	268.7	10.8	16.3	VERDADERO	VERDADERO
8	184	ELU_02_TINF_M	Combination	31.3	11.6	17.4	VERDADERO	VERDADERO
8	186	ELU_02_TINF_M	Combination	297.2	10.7	16.1	VERDADERO	VERDADERO

## PASARELA UCA. MICROPILOTES PILAS P7 Y P8

### MICROPILOTES: COMPROBACIÓN ESTRUCTURAL EN SECCIÓN MAS SOLICITADA

SE PLANTEA EL SIGUIENTE CRITERIO DE INTERACCIÓN DE ESFUERZOS

$$M_d/M_{rd} + N_d/N_{rd} < 1 \text{ y } V_d < 0.5 \cdot V_{rd} \cdot (1 - N_d/N_{rd})$$

El que se cumpla la condición anterior es suficiente para que el punto quede dentro del diagrama de interacción representado en el artículo 6.3.6.5 de la RPX-95

#### Esfuerzos resistentes (según características micro)

Nrd (kN)	690.9	kN
Mrd	41.0	kN*m
Vrd	455.3	kN

VERDADERO VERDADERO

PILA	FRAME	OutputCase	CaseType	Nd	Vd	Md	Cumple 1	Cumple 2
Text	Text	Text	Text	KN	KN	KN-m		
8	188	ELU_02_TINF_M	Combination	-174.6	11.2	16.7	VERDADERO	VERDADERO
8	190	ELU_02_TINF_M	Combination	34.2	11.4	17.2	VERDADERO	VERDADERO
8	192	ELU_02_TINF_M	Combination	-203.1	11.1	16.6	VERDADERO	VERDADERO
8	194	ELU_02_TINF_M	Combination	62.7	11.4	17.1	VERDADERO	VERDADERO
8	196	ELU_02_TINF_M	Combination	-146.6	11.2	16.9	VERDADERO	VERDADERO
8	198	ELU_02_TINF_M	Combination	62.1	11.4	17.1	VERDADERO	VERDADERO
8	200	ELU_02_TINF_M	Combination	-175.2	11.2	16.7	VERDADERO	VERDADERO
8	202	ELU_02_TINF_M	Combination	90.7	11.3	17.0	VERDADERO	VERDADERO
8	228	ELU_02_TINF_M	Combination	-118.7	11.3	17.0	VERDADERO	VERDADERO
8	230	ELU_02_TINF_M	Combination	90.1	11.3	17.0	VERDADERO	VERDADERO
8	232	ELU_02_TINF_M	Combination	-147.3	11.2	16.9	VERDADERO	VERDADERO
8	234	ELU_02_TINF_M	Combination	118.6	11.2	16.9	VERDADERO	VERDADERO
8	236	ELU_02_TINF_M	Combination	32.0	11.6	17.4	VERDADERO	VERDADERO
8	238	ELU_02_TINF_M	Combination	240.7	10.9	16.4	VERDADERO	VERDADERO
8	240	ELU_02_TINF_M	Combination	3.4	11.5	17.3	VERDADERO	VERDADERO
8	242	ELU_02_TINF_M	Combination	269.3	10.8	16.3	VERDADERO	VERDADERO
8	124	ELU_03_TO_Max	Combination	127.0	9.1	15.5	VERDADERO	VERDADERO
8	126	ELU_03_TO_Max	Combination	23.3	8.6	14.9	VERDADERO	VERDADERO
8	150	ELU_03_TO_Max	Combination	68.4	8.9	15.3	VERDADERO	VERDADERO
8	162	ELU_03_TO_Max	Combination	81.9	8.4	14.6	VERDADERO	VERDADERO
8	172	ELU_03_TO_Max	Combination	171.4	9.2	15.7	VERDADERO	VERDADERO
8	174	ELU_03_TO_Max	Combination	69.2	8.5	14.6	VERDADERO	VERDADERO
8	176	ELU_03_TO_Max	Combination	113.1	9.0	15.4	VERDADERO	VERDADERO
8	178	ELU_03_TO_Max	Combination	127.5	8.3	14.4	VERDADERO	VERDADERO
8	180	ELU_03_TO_Max	Combination	160.7	9.2	15.6	VERDADERO	VERDADERO
8	182	ELU_03_TO_Max	Combination	58.5	8.5	14.7	VERDADERO	VERDADERO
8	184	ELU_03_TO_Max	Combination	102.4	9.0	15.4	VERDADERO	VERDADERO
8	186	ELU_03_TO_Max	Combination	116.8	8.3	14.4	VERDADERO	VERDADERO
8	188	ELU_03_TO_Max	Combination	80.5	9.0	15.4	VERDADERO	VERDADERO
8	190	ELU_03_TO_Max	Combination	-21.7	8.7	15.0	VERDADERO	VERDADERO
8	192	ELU_03_TO_Max	Combination	22.2	8.8	15.1	VERDADERO	VERDADERO
8	194	ELU_03_TO_Max	Combination	36.6	8.6	14.7	VERDADERO	VERDADERO
8	196	ELU_03_TO_Max	Combination	91.2	9.0	15.4	VERDADERO	VERDADERO
8	198	ELU_03_TO_Max	Combination	-11.0	8.7	15.0	VERDADERO	VERDADERO
8	200	ELU_03_TO_Max	Combination	32.9	8.8	15.1	VERDADERO	VERDADERO
8	202	ELU_03_TO_Max	Combination	47.3	8.5	14.7	VERDADERO	VERDADERO
8	228	ELU_03_TO_Max	Combination	101.9	9.1	15.5	VERDADERO	VERDADERO
8	230	ELU_03_TO_Max	Combination	-0.3	8.7	14.9	VERDADERO	VERDADERO
8	232	ELU_03_TO_Max	Combination	43.6	8.9	15.2	VERDADERO	VERDADERO
8	234	ELU_03_TO_Max	Combination	58.0	8.5	14.6	VERDADERO	VERDADERO



## PASARELA UCA. MICROPILOTES PILAS P7 Y P8

### MICROPILOTES: COMPROBACIÓN ESTRUCTURAL EN SECCIÓN MAS SOLICITADA

SE PLANTEA EL SIGUIENTE CRITERIO DE INTERACCIÓN DE ESFUERZOS

$$M_d/M_{rd} + N_d/N_{rd} < 1 \text{ y } V_d < 0.5 \cdot V_{rd} \cdot (1 - N_d/N_{rd})$$

El que se cumpla la condición anterior es suficiente para que el punto quede dentro del diagrama de interacción representado en el artículo 6.3.6.5 de la RPX-95

#### Esfuerzos resistentes (según características micro)

Nrd (kN)	690.9	kN
Mrd	41.0	kN*m
Vrd	455.3	kN

VERDADERO VERDADERO

PILA	FRAME	OutputCase	CaseType	Nd	Vd	Md	Cumple 1	Cumple 2
Text	Text	Text	Text	KN	KN	KN-m		
8	236	ELU_03_T0_Max	Combination	150.0	9.1	15.6	VERDADERO	VERDADERO
8	238	ELU_03_T0_Max	Combination	47.8	8.6	14.7	VERDADERO	VERDADERO
8	240	ELU_03_T0_Max	Combination	91.7	8.9	15.3	VERDADERO	VERDADERO
8	242	ELU_03_T0_Max	Combination	106.1	8.4	14.5	VERDADERO	VERDADERO
8	124	ELU_03_T0_Min	Combination	-87.5	9.7	14.5	VERDADERO	VERDADERO
8	126	ELU_03_T0_Min	Combination	207.9	9.3	14.0	VERDADERO	VERDADERO
8	150	ELU_03_T0_Min	Combination	-102.1	9.6	14.4	VERDADERO	VERDADERO
8	162	ELU_03_T0_Min	Combination	222.5	9.3	13.9	VERDADERO	VERDADERO
8	172	ELU_03_T0_Min	Combination	-48.6	9.8	14.7	VERDADERO	VERDADERO
8	174	ELU_03_T0_Min	Combination	247.2	9.2	13.8	VERDADERO	VERDADERO
8	176	ELU_03_T0_Min	Combination	-63.1	9.7	14.6	VERDADERO	VERDADERO
8	178	ELU_03_T0_Min	Combination	261.7	9.1	13.7	VERDADERO	VERDADERO
8	180	ELU_03_T0_Min	Combination	-57.0	9.8	14.6	VERDADERO	VERDADERO
8	182	ELU_03_T0_Min	Combination	238.9	9.2	13.8	VERDADERO	VERDADERO
8	184	ELU_03_T0_Min	Combination	-71.4	9.7	14.6	VERDADERO	VERDADERO
8	186	ELU_03_T0_Min	Combination	253.3	9.2	13.7	VERDADERO	VERDADERO
8	188	ELU_03_T0_Min	Combination	-127.3	9.6	14.3	VERDADERO	VERDADERO
8	190	ELU_03_T0_Min	Combination	168.5	9.4	14.1	VERDADERO	VERDADERO
8	192	ELU_03_T0_Min	Combination	-141.8	9.5	14.3	VERDADERO	VERDADERO
8	194	ELU_03_T0_Min	Combination	183.0	9.4	14.1	VERDADERO	VERDADERO
8	196	ELU_03_T0_Min	Combination	-118.9	9.6	14.4	VERDADERO	VERDADERO
8	198	ELU_03_T0_Min	Combination	176.9	9.4	14.1	VERDADERO	VERDADERO
8	200	ELU_03_T0_Min	Combination	-133.4	9.6	14.3	VERDADERO	VERDADERO
8	202	ELU_03_T0_Min	Combination	191.4	9.4	14.0	VERDADERO	VERDADERO
8	228	ELU_03_T0_Min	Combination	-110.6	9.6	14.4	VERDADERO	VERDADERO
8	230	ELU_03_T0_Min	Combination	185.3	9.4	14.1	VERDADERO	VERDADERO
8	232	ELU_03_T0_Min	Combination	-125.0	9.6	14.4	VERDADERO	VERDADERO
8	234	ELU_03_T0_Min	Combination	199.7	9.3	14.0	VERDADERO	VERDADERO
8	236	ELU_03_T0_Min	Combination	-65.3	9.7	14.6	VERDADERO	VERDADERO
8	238	ELU_03_T0_Min	Combination	230.5	9.2	13.8	VERDADERO	VERDADERO
8	240	ELU_03_T0_Min	Combination	-79.8	9.7	14.5	VERDADERO	VERDADERO
8	242	ELU_03_T0_Min	Combination	245.0	9.2	13.8	VERDADERO	VERDADERO
8	124	ELU_03_TINF_M	Combination	133.7	9.2	15.8	VERDADERO	VERDADERO
8	126	ELU_03_TINF_M	Combination	16.9	8.8	15.1	VERDADERO	VERDADERO
8	150	ELU_03_TINF_M	Combination	72.9	9.0	15.6	VERDADERO	VERDADERO
8	162	ELU_03_TINF_M	Combination	77.8	8.6	14.9	VERDADERO	VERDADERO
8	172	ELU_03_TINF_M	Combination	178.1	9.3	16.0	VERDADERO	VERDADERO
8	174	ELU_03_TINF_M	Combination	62.8	8.6	14.9	VERDADERO	VERDADERO
8	176	ELU_03_TINF_M	Combination	117.5	9.1	15.7	VERDADERO	VERDADERO
8	178	ELU_03_TINF_M	Combination	123.4	8.4	14.6	VERDADERO	VERDADERO

## PASARELA UCA. MICROPILOTES PILAS P7 Y P8

### MICROPILOTES: COMPROBACIÓN ESTRUCTURAL EN SECCIÓN MAS SOLICITADA

SE PLANTEA EL SIGUIENTE CRITERIO DE INTERACCIÓN DE ESFUERZOS

$$M_d/M_{rd} + N_d/N_{rd} < 1 \text{ y } V_d < 0.5 \cdot V_{rd} \cdot (1 - N_d/N_{rd})$$

El que se cumpla la condición anterior es suficiente para que el punto quede dentro del diagrama de interacción representado en el artículo 6.3.6.5 de la RPX-95

#### Esfuerzos resistentes (según características micro)

Nrd (kN)	690.9	kN
Mrd	41.0	kN*m
Vrd	455.3	kN

VERDADERO VERDADERO

PILA	FRAME	OutputCase	CaseType	Nd	Vd	Md	Cumple 1	Cumple 2
Text	Text	Text	Text	KN	KN	KN-m		
8	180	ELU_03_TINF_M	Combination	167.5	9.3	15.9	VERDADERO	VERDADERO
8	182	ELU_03_TINF_M	Combination	52.1	8.7	15.0	VERDADERO	VERDADERO
8	184	ELU_03_TINF_M	Combination	106.9	9.1	15.7	VERDADERO	VERDADERO
8	186	ELU_03_TINF_M	Combination	112.7	8.5	14.7	VERDADERO	VERDADERO
8	188	ELU_03_TINF_M	Combination	87.3	9.1	15.7	VERDADERO	VERDADERO
8	190	ELU_03_TINF_M	Combination	-28.0	8.9	15.3	VERDADERO	VERDADERO
8	192	ELU_03_TINF_M	Combination	26.7	8.9	15.4	VERDADERO	VERDADERO
8	194	ELU_03_TINF_M	Combination	32.5	8.7	15.0	VERDADERO	VERDADERO
8	196	ELU_03_TINF_M	Combination	98.0	9.2	15.7	VERDADERO	VERDADERO
8	198	ELU_03_TINF_M	Combination	-17.4	8.8	15.2	VERDADERO	VERDADERO
8	200	ELU_03_TINF_M	Combination	37.4	9.0	15.4	VERDADERO	VERDADERO
8	202	ELU_03_TINF_M	Combination	43.2	8.6	15.0	VERDADERO	VERDADERO
8	228	ELU_03_TINF_M	Combination	108.6	9.2	15.8	VERDADERO	VERDADERO
8	230	ELU_03_TINF_M	Combination	-6.7	8.8	15.2	VERDADERO	VERDADERO
8	232	ELU_03_TINF_M	Combination	48.1	9.0	15.5	VERDADERO	VERDADERO
8	234	ELU_03_TINF_M	Combination	53.9	8.6	14.9	VERDADERO	VERDADERO
8	236	ELU_03_TINF_M	Combination	156.8	9.3	15.9	VERDADERO	VERDADERO
8	238	ELU_03_TINF_M	Combination	41.5	8.7	15.0	VERDADERO	VERDADERO
8	240	ELU_03_TINF_M	Combination	96.2	9.1	15.6	VERDADERO	VERDADERO
8	242	ELU_03_TINF_M	Combination	102.0	8.5	14.7	VERDADERO	VERDADERO
8	124	ELU_03_TINF_M	Combination	-80.8	9.8	14.8	VERDADERO	VERDADERO
8	126	ELU_03_TINF_M	Combination	201.6	9.4	14.2	VERDADERO	VERDADERO
8	150	ELU_03_TINF_M	Combination	-97.6	9.8	14.7	VERDADERO	VERDADERO
8	162	ELU_03_TINF_M	Combination	218.4	9.4	14.2	VERDADERO	VERDADERO
8	172	ELU_03_TINF_M	Combination	-41.9	9.9	14.9	VERDADERO	VERDADERO
8	174	ELU_03_TINF_M	Combination	240.9	9.3	14.1	VERDADERO	VERDADERO
8	176	ELU_03_TINF_M	Combination	-58.6	9.9	14.9	VERDADERO	VERDADERO
8	178	ELU_03_TINF_M	Combination	257.6	9.3	14.0	VERDADERO	VERDADERO
8	180	ELU_03_TINF_M	Combination	-50.2	9.9	14.9	VERDADERO	VERDADERO
8	182	ELU_03_TINF_M	Combination	232.5	9.3	14.1	VERDADERO	VERDADERO
8	184	ELU_03_TINF_M	Combination	-67.0	9.8	14.8	VERDADERO	VERDADERO
8	186	ELU_03_TINF_M	Combination	249.2	9.3	14.0	VERDADERO	VERDADERO
8	188	ELU_03_TINF_M	Combination	-120.6	9.7	14.6	VERDADERO	VERDADERO
8	190	ELU_03_TINF_M	Combination	162.2	9.6	14.4	VERDADERO	VERDADERO
8	192	ELU_03_TINF_M	Combination	-137.3	9.7	14.6	VERDADERO	VERDADERO
8	194	ELU_03_TINF_M	Combination	178.9	9.5	14.3	VERDADERO	VERDADERO
8	196	ELU_03_TINF_M	Combination	-112.2	9.7	14.7	VERDADERO	VERDADERO
8	198	ELU_03_TINF_M	Combination	170.5	9.5	14.4	VERDADERO	VERDADERO
8	200	ELU_03_TINF_M	Combination	-128.9	9.7	14.6	VERDADERO	VERDADERO
8	202	ELU_03_TINF_M	Combination	187.3	9.5	14.3	VERDADERO	VERDADERO

## PASARELA UCA. MICROPILOTES PILAS P7 Y P8

### MICROPILOTES: COMPROBACIÓN ESTRUCTURAL EN SECCIÓN MAS SOLICITADA

SE PLANTEA EL SIGUIENTE CRITERIO DE INTERACCIÓN DE ESFUERZOS

$$M_d/M_{rd} + N_d/N_{rd} < 1 \text{ y } V_d < 0.5 \cdot V_{rd} \cdot (1 - N_d/N_{rd})$$

El que se cumpla la condición anterior es suficiente para que el punto quede dentro del diagrama de interacción representado en el artículo 6.3.6.5 de la RPX-95

#### Esfuerzos resistentes (según características micro)

Nrd (kN)	690.9	kN
Mrd	41.0	kN*m
Vrd	455.3	kN

VERDADERO VERDADERO

PILA	FRAME	OutputCase	CaseType	Nd	Vd	Md	Cumple 1	Cumple 2
Text	Text	Text	Text	KN	KN	KN-m		
8	228	ELU_03_TINF_M	Combination	-103.8	9.8	14.7	VERDADERO	VERDADERO
8	230	ELU_03_TINF_M	Combination	178.9	9.5	14.3	VERDADERO	VERDADERO
8	232	ELU_03_TINF_M	Combination	-120.6	9.7	14.6	VERDADERO	VERDADERO
8	234	ELU_03_TINF_M	Combination	195.6	9.5	14.3	VERDADERO	VERDADERO
8	236	ELU_03_TINF_M	Combination	-58.6	9.9	14.9	VERDADERO	VERDADERO
8	238	ELU_03_TINF_M	Combination	224.1	9.4	14.1	VERDADERO	VERDADERO
8	240	ELU_03_TINF_M	Combination	-75.3	9.8	14.8	VERDADERO	VERDADERO
8	242	ELU_03_TINF_M	Combination	240.9	9.3	14.1	VERDADERO	VERDADERO
8	124	ELU_SISMO_X_T	Combination	86.4	6.3	10.8	VERDADERO	VERDADERO
8	126	ELU_SISMO_X_T	Combination	8.6	6.0	10.4	VERDADERO	VERDADERO
8	150	ELU_SISMO_X_T	Combination	45.7	6.2	10.7	VERDADERO	VERDADERO
8	162	ELU_SISMO_X_T	Combination	49.2	5.9	10.2	VERDADERO	VERDADERO
8	172	ELU_SISMO_X_T	Combination	98.6	6.4	11.0	VERDADERO	VERDADERO
8	174	ELU_SISMO_X_T	Combination	21.8	5.9	10.3	VERDADERO	VERDADERO
8	176	ELU_SISMO_X_T	Combination	58.1	6.3	10.8	VERDADERO	VERDADERO
8	178	ELU_SISMO_X_T	Combination	62.3	5.8	10.1	VERDADERO	VERDADERO
8	180	ELU_SISMO_X_T	Combination	91.6	6.4	10.9	VERDADERO	VERDADERO
8	182	ELU_SISMO_X_T	Combination	14.8	6.0	10.3	VERDADERO	VERDADERO
8	184	ELU_SISMO_X_T	Combination	51.1	6.2	10.7	VERDADERO	VERDADERO
8	186	ELU_SISMO_X_T	Combination	55.3	5.8	10.2	VERDADERO	VERDADERO
8	188	ELU_SISMO_X_T	Combination	72.7	6.2	10.7	VERDADERO	VERDADERO
8	190	ELU_SISMO_X_T	Combination	-4.1	6.1	10.5	VERDADERO	VERDADERO
8	192	ELU_SISMO_X_T	Combination	32.2	6.1	10.5	VERDADERO	VERDADERO
8	194	ELU_SISMO_X_T	Combination	36.4	6.0	10.3	VERDADERO	VERDADERO
8	196	ELU_SISMO_X_T	Combination	79.8	6.2	10.7	VERDADERO	VERDADERO
8	198	ELU_SISMO_X_T	Combination	3.0	6.1	10.5	VERDADERO	VERDADERO
8	200	ELU_SISMO_X_T	Combination	39.3	6.1	10.5	VERDADERO	VERDADERO
8	202	ELU_SISMO_X_T	Combination	43.5	5.9	10.3	VERDADERO	VERDADERO
8	228	ELU_SISMO_X_T	Combination	86.9	6.3	10.7	VERDADERO	VERDADERO
8	230	ELU_SISMO_X_T	Combination	10.1	6.0	10.4	VERDADERO	VERDADERO
8	232	ELU_SISMO_X_T	Combination	46.4	6.1	10.6	VERDADERO	VERDADERO
8	234	ELU_SISMO_X_T	Combination	50.6	5.9	10.2	VERDADERO	VERDADERO
8	236	ELU_SISMO_X_T	Combination	84.5	6.4	10.9	VERDADERO	VERDADERO
8	238	ELU_SISMO_X_T	Combination	7.7	6.0	10.3	VERDADERO	VERDADERO
8	240	ELU_SISMO_X_T	Combination	44.0	6.2	10.7	VERDADERO	VERDADERO
8	242	ELU_SISMO_X_T	Combination	48.2	5.9	10.2	VERDADERO	VERDADERO
8	124	ELU_SISMO_X_T	Combination	-30.8	6.4	9.8	VERDADERO	VERDADERO
8	126	ELU_SISMO_X_T	Combination	121.1	6.1	9.4	VERDADERO	VERDADERO
8	150	ELU_SISMO_X_T	Combination	-44.5	6.3	9.7	VERDADERO	VERDADERO
8	162	ELU_SISMO_X_T	Combination	134.9	6.0	9.3	VERDADERO	VERDADERO



## PASARELA UCA. MICROPILOTES PILAS P7 Y P8

### MICROPILOTES: COMPROBACIÓN ESTRUCTURAL EN SECCIÓN MAS SOLICITADA

SE PLANTEA EL SIGUIENTE CRITERIO DE INTERACCIÓN DE ESFUERZOS

$$M_d/M_{rd} + N_d/N_{rd} < 1 \text{ y } V_d < 0.5 \cdot V_{rd} \cdot (1 - N_d/N_{rd})$$

El que se cumpla la condición anterior es suficiente para que el punto quede dentro del diagrama de interacción representado en el artículo 6.3.6.5 de la RPX-95

#### Esfuerzos resistentes (según características micro)

Nrd (kN)	690.9	kN
Mrd	41.0	kN*m
Vrd	455.3	kN

VERDADERO VERDADERO

PILA	FRAME	OutputCase	CaseType	Nd	Vd	Md	Cumple 1	Cumple 2
Text	Text	Text	Text	KN	KN	KN-m		
8	172	ELU_SISMO_X_T	Combination	-44.1	6.3	9.7	VERDADERO	VERDADERO
8	174	ELU_SISMO_X_T	Combination	108.2	6.1	9.5	VERDADERO	VERDADERO
8	176	ELU_SISMO_X_T	Combination	-57.8	6.3	9.6	VERDADERO	VERDADERO
8	178	ELU_SISMO_X_T	Combination	121.9	6.1	9.4	VERDADERO	VERDADERO
8	180	ELU_SISMO_X_T	Combination	-37.0	6.3	9.7	VERDADERO	VERDADERO
8	182	ELU_SISMO_X_T	Combination	115.2	6.1	9.4	VERDADERO	VERDADERO
8	184	ELU_SISMO_X_T	Combination	-50.7	6.3	9.7	VERDADERO	VERDADERO
8	186	ELU_SISMO_X_T	Combination	129.0	6.1	9.4	VERDADERO	VERDADERO
8	188	ELU_SISMO_X_T	Combination	-18.1	6.4	9.9	VERDADERO	VERDADERO
8	190	ELU_SISMO_X_T	Combination	134.1	6.0	9.3	VERDADERO	VERDADERO
8	192	ELU_SISMO_X_T	Combination	-31.9	6.4	9.8	VERDADERO	VERDADERO
8	194	ELU_SISMO_X_T	Combination	147.8	6.0	9.3	VERDADERO	VERDADERO
8	196	ELU_SISMO_X_T	Combination	-25.2	6.4	9.9	VERDADERO	VERDADERO
8	198	ELU_SISMO_X_T	Combination	127.0	6.1	9.3	VERDADERO	VERDADERO
8	200	ELU_SISMO_X_T	Combination	-38.9	6.4	9.8	VERDADERO	VERDADERO
8	202	ELU_SISMO_X_T	Combination	140.7	6.0	9.3	VERDADERO	VERDADERO
8	228	ELU_SISMO_X_T	Combination	-32.3	6.4	9.8	VERDADERO	VERDADERO
8	230	ELU_SISMO_X_T	Combination	119.9	6.1	9.4	VERDADERO	VERDADERO
8	232	ELU_SISMO_X_T	Combination	-46.0	6.3	9.8	VERDADERO	VERDADERO
8	234	ELU_SISMO_X_T	Combination	133.7	6.0	9.3	VERDADERO	VERDADERO
8	236	ELU_SISMO_X_T	Combination	-29.9	6.3	9.7	VERDADERO	VERDADERO
8	238	ELU_SISMO_X_T	Combination	122.3	6.1	9.4	VERDADERO	VERDADERO
8	240	ELU_SISMO_X_T	Combination	-43.6	6.3	9.7	VERDADERO	VERDADERO
8	242	ELU_SISMO_X_T	Combination	136.0	6.0	9.3	VERDADERO	VERDADERO
8	124	ELU_SISMO_X_T	Combination	91.4	6.4	11.0	VERDADERO	VERDADERO
8	126	ELU_SISMO_X_T	Combination	3.9	6.1	10.6	VERDADERO	VERDADERO
8	150	ELU_SISMO_X_T	Combination	49.0	6.3	10.9	VERDADERO	VERDADERO
8	162	ELU_SISMO_X_T	Combination	46.2	6.0	10.4	VERDADERO	VERDADERO
8	172	ELU_SISMO_X_T	Combination	103.6	6.5	11.2	VERDADERO	VERDADERO
8	174	ELU_SISMO_X_T	Combination	17.1	6.0	10.5	VERDADERO	VERDADERO
8	176	ELU_SISMO_X_T	Combination	61.5	6.4	11.0	VERDADERO	VERDADERO
8	178	ELU_SISMO_X_T	Combination	59.3	5.9	10.3	VERDADERO	VERDADERO
8	180	ELU_SISMO_X_T	Combination	96.6	6.5	11.2	VERDADERO	VERDADERO
8	182	ELU_SISMO_X_T	Combination	10.1	6.1	10.5	VERDADERO	VERDADERO
8	184	ELU_SISMO_X_T	Combination	54.4	6.3	10.9	VERDADERO	VERDADERO
8	186	ELU_SISMO_X_T	Combination	52.2	5.9	10.4	VERDADERO	VERDADERO
8	188	ELU_SISMO_X_T	Combination	77.7	6.3	10.9	VERDADERO	VERDADERO
8	190	ELU_SISMO_X_T	Combination	-8.8	6.2	10.7	VERDADERO	VERDADERO
8	192	ELU_SISMO_X_T	Combination	35.6	6.2	10.7	VERDADERO	VERDADERO
8	194	ELU_SISMO_X_T	Combination	33.4	6.0	10.5	VERDADERO	VERDADERO

## PASARELA UCA. MICROPILOTES PILAS P7 Y P8

### MICROPILOTES: COMPROBACIÓN ESTRUCTURAL EN SECCIÓN MAS SOLICITADA

SE PLANTEA EL SIGUIENTE CRITERIO DE INTERACCIÓN DE ESFUERZOS

$$M_d/M_{rd} + N_d/N_{rd} < 1 \text{ y } V_d < 0.5 \cdot V_{rd} \cdot (1 - N_d/N_{rd})$$

El que se cumpla la condición anterior es suficiente para que el punto quede dentro del diagrama de interacción representado en el artículo 6.3.6.5 de la RPX-95

#### Esfuerzos resistentes (según características micro)

Nrd (kN)	690.9	kN
Mrd	41.0	kN*m
Vrd	455.3	kN

VERDADERO VERDADERO

PILA	FRAME	OutputCase	CaseType	Nd	Vd	Md	Cumple 1	Cumple 2
Text	Text	Text	Text	KN	KN	KN-m		
8	196	ELU_SISMO_X_T	Combination	84.8	6.3	10.9	VERDADERO	VERDADERO
8	198	ELU_SISMO_X_T	Combination	-1.7	6.2	10.7	VERDADERO	VERDADERO
8	200	ELU_SISMO_X_T	Combination	42.6	6.2	10.7	VERDADERO	VERDADERO
8	202	ELU_SISMO_X_T	Combination	40.5	6.0	10.5	VERDADERO	VERDADERO
8	228	ELU_SISMO_X_T	Combination	91.9	6.4	11.0	VERDADERO	VERDADERO
8	230	ELU_SISMO_X_T	Combination	5.4	6.1	10.7	VERDADERO	VERDADERO
8	232	ELU_SISMO_X_T	Combination	49.7	6.2	10.8	VERDADERO	VERDADERO
8	234	ELU_SISMO_X_T	Combination	47.5	6.0	10.4	VERDADERO	VERDADERO
8	236	ELU_SISMO_X_T	Combination	89.5	6.5	11.1	VERDADERO	VERDADERO
8	238	ELU_SISMO_X_T	Combination	3.0	6.1	10.6	VERDADERO	VERDADERO
8	240	ELU_SISMO_X_T	Combination	47.3	6.3	10.9	VERDADERO	VERDADERO
8	242	ELU_SISMO_X_T	Combination	45.2	6.0	10.4	VERDADERO	VERDADERO
8	124	ELU_SISMO_X_T	Combination	-25.8	6.5	10.0	VERDADERO	VERDADERO
8	126	ELU_SISMO_X_T	Combination	116.4	6.2	9.6	VERDADERO	VERDADERO
8	150	ELU_SISMO_X_T	Combination	-41.2	6.4	9.9	VERDADERO	VERDADERO
8	162	ELU_SISMO_X_T	Combination	131.9	6.1	9.5	VERDADERO	VERDADERO
8	172	ELU_SISMO_X_T	Combination	-39.1	6.4	9.9	VERDADERO	VERDADERO
8	174	ELU_SISMO_X_T	Combination	103.5	6.2	9.7	VERDADERO	VERDADERO
8	176	ELU_SISMO_X_T	Combination	-54.5	6.3	9.8	VERDADERO	VERDADERO
8	178	ELU_SISMO_X_T	Combination	118.9	6.2	9.6	VERDADERO	VERDADERO
8	180	ELU_SISMO_X_T	Combination	-32.0	6.4	9.9	VERDADERO	VERDADERO
8	182	ELU_SISMO_X_T	Combination	110.5	6.2	9.6	VERDADERO	VERDADERO
8	184	ELU_SISMO_X_T	Combination	-47.4	6.4	9.9	VERDADERO	VERDADERO
8	186	ELU_SISMO_X_T	Combination	125.9	6.1	9.6	VERDADERO	VERDADERO
8	188	ELU_SISMO_X_T	Combination	-13.2	6.5	10.1	VERDADERO	VERDADERO
8	190	ELU_SISMO_X_T	Combination	129.4	6.1	9.5	VERDADERO	VERDADERO
8	192	ELU_SISMO_X_T	Combination	-28.6	6.5	10.0	VERDADERO	VERDADERO
8	194	ELU_SISMO_X_T	Combination	144.8	6.1	9.5	VERDADERO	VERDADERO
8	196	ELU_SISMO_X_T	Combination	-20.2	6.5	10.1	VERDADERO	VERDADERO
8	198	ELU_SISMO_X_T	Combination	122.3	6.2	9.6	VERDADERO	VERDADERO
8	200	ELU_SISMO_X_T	Combination	-35.6	6.4	10.0	VERDADERO	VERDADERO
8	202	ELU_SISMO_X_T	Combination	137.7	6.1	9.5	VERDADERO	VERDADERO
8	228	ELU_SISMO_X_T	Combination	-27.3	6.5	10.0	VERDADERO	VERDADERO
8	230	ELU_SISMO_X_T	Combination	115.2	6.2	9.6	VERDADERO	VERDADERO
8	232	ELU_SISMO_X_T	Combination	-42.7	6.4	10.0	VERDADERO	VERDADERO
8	234	ELU_SISMO_X_T	Combination	130.6	6.1	9.5	VERDADERO	VERDADERO
8	236	ELU_SISMO_X_T	Combination	-24.9	6.4	10.0	VERDADERO	VERDADERO
8	238	ELU_SISMO_X_T	Combination	117.6	6.2	9.6	VERDADERO	VERDADERO
8	240	ELU_SISMO_X_T	Combination	-40.3	6.4	9.9	VERDADERO	VERDADERO
8	242	ELU_SISMO_X_T	Combination	133.0	6.1	9.5	VERDADERO	VERDADERO

## PASARELA UCA. MICROPILOTES PILAS P7 Y P8

### MICROPILOTES: COMPROBACIÓN ESTRUCTURAL EN SECCIÓN MAS SOLICITADA

SE PLANTEA EL SIGUIENTE CRITERIO DE INTERACCIÓN DE ESFUERZOS

$$M_d/M_{rd} + N_d/N_{rd} < 1 \text{ y } V_d < 0.5 \cdot V_{rd} \cdot (1 - N_d/N_{rd})$$

El que se cumpla la condición anterior es suficiente para que el punto quede dentro del diagrama de interacción representado en el artículo 6.3.6.5 de la RPX-95

#### Esfuerzos resistentes (según características micro)

Nrd (kN)	690.9	kN
Mrd	41.0	kN*m
Vrd	455.3	kN

VERDADERO VERDADERO

PILA	FRAME	OutputCase	CaseType	Nd	Vd	Md	Cumple 1	Cumple 2
Text	Text	Text	Text	KN	KN	KN-m		
8	124	ELU_SISMO_Y_T	Combination	46.3	8.0	13.1	VERDADERO	VERDADERO
8	126	ELU_SISMO_Y_T	Combination	47.6	7.8	12.8	VERDADERO	VERDADERO
8	150	ELU_SISMO_Y_T	Combination	15.5	7.9	13.0	VERDADERO	VERDADERO
8	162	ELU_SISMO_Y_T	Combination	78.4	7.7	12.7	VERDADERO	VERDADERO
8	172	ELU_SISMO_Y_T	Combination	88.9	8.3	13.5	VERDADERO	VERDADERO
8	174	ELU_SISMO_Y_T	Combination	90.9	7.7	12.6	VERDADERO	VERDADERO
8	176	ELU_SISMO_Y_T	Combination	58.3	8.2	13.3	VERDADERO	VERDADERO
8	178	ELU_SISMO_Y_T	Combination	121.6	7.6	12.5	VERDADERO	VERDADERO
8	180	ELU_SISMO_Y_T	Combination	65.4	8.2	13.4	VERDADERO	VERDADERO
8	182	ELU_SISMO_Y_T	Combination	67.4	7.7	12.6	VERDADERO	VERDADERO
8	184	ELU_SISMO_Y_T	Combination	34.7	8.1	13.2	VERDADERO	VERDADERO
8	186	ELU_SISMO_Y_T	Combination	98.0	7.6	12.6	VERDADERO	VERDADERO
8	188	ELU_SISMO_Y_T	Combination	2.6	7.8	12.8	VERDADERO	VERDADERO
8	190	ELU_SISMO_Y_T	Combination	4.6	8.0	13.1	VERDADERO	VERDADERO
8	192	ELU_SISMO_Y_T	Combination	-28.1	7.8	12.7	VERDADERO	VERDADERO
8	194	ELU_SISMO_Y_T	Combination	35.3	7.9	12.9	VERDADERO	VERDADERO
8	196	ELU_SISMO_Y_T	Combination	26.2	7.9	12.9	VERDADERO	VERDADERO
8	198	ELU_SISMO_Y_T	Combination	28.1	7.9	13.0	VERDADERO	VERDADERO
8	200	ELU_SISMO_Y_T	Combination	-4.5	7.8	12.8	VERDADERO	VERDADERO
8	202	ELU_SISMO_Y_T	Combination	58.8	7.8	12.8	VERDADERO	VERDADERO
8	228	ELU_SISMO_Y_T	Combination	49.7	7.9	12.9	VERDADERO	VERDADERO
8	230	ELU_SISMO_Y_T	Combination	51.7	7.8	12.8	VERDADERO	VERDADERO
8	232	ELU_SISMO_Y_T	Combination	19.0	7.8	12.8	VERDADERO	VERDADERO
8	234	ELU_SISMO_Y_T	Combination	82.4	7.7	12.7	VERDADERO	VERDADERO
8	236	ELU_SISMO_Y_T	Combination	41.8	8.1	13.3	VERDADERO	VERDADERO
8	238	ELU_SISMO_Y_T	Combination	43.8	7.7	12.7	VERDADERO	VERDADERO
8	240	ELU_SISMO_Y_T	Combination	11.1	8.0	13.1	VERDADERO	VERDADERO
8	242	ELU_SISMO_Y_T	Combination	74.5	7.7	12.6	VERDADERO	VERDADERO
8	124	ELU_SISMO_Y_T	Combination	9.3	8.2	13.1	VERDADERO	VERDADERO
8	126	ELU_SISMO_Y_T	Combination	82.2	8.0	12.8	VERDADERO	VERDADERO
8	150	ELU_SISMO_Y_T	Combination	-14.4	8.1	13.0	VERDADERO	VERDADERO
8	162	ELU_SISMO_Y_T	Combination	105.8	7.9	12.7	VERDADERO	VERDADERO
8	172	ELU_SISMO_Y_T	Combination	-34.4	8.0	12.9	VERDADERO	VERDADERO
8	174	ELU_SISMO_Y_T	Combination	39.1	8.1	13.1	VERDADERO	VERDADERO
8	176	ELU_SISMO_Y_T	Combination	-57.9	8.0	12.8	VERDADERO	VERDADERO
8	178	ELU_SISMO_Y_T	Combination	62.6	8.1	13.0	VERDADERO	VERDADERO
8	180	ELU_SISMO_Y_T	Combination	-10.8	8.1	12.9	VERDADERO	VERDADERO
8	182	ELU_SISMO_Y_T	Combination	62.7	8.1	13.0	VERDADERO	VERDADERO
8	184	ELU_SISMO_Y_T	Combination	-34.3	8.0	12.9	VERDADERO	VERDADERO
8	186	ELU_SISMO_Y_T	Combination	86.2	8.0	12.9	VERDADERO	VERDADERO

## PASARELA UCA. MICROPILOTES PILAS P7 Y P8

### MICROPILOTES: COMPROBACIÓN ESTRUCTURAL EN SECCIÓN MAS SOLICITADA

SE PLANTEA EL SIGUIENTE CRITERIO DE INTERACCIÓN DE ESFUERZOS

$$M_d/M_{rd} + N_d/N_{rd} < 1 \text{ y } V_d < 0.5 \cdot V_{rd} \cdot (1 - N_d/N_{rd})$$

El que se cumpla la condición anterior es suficiente para que el punto quede dentro del diagrama de interacción representado en el artículo 6.3.6.5 de la RPX-95

#### Esfuerzos resistentes (según características micro)

Nrd (kN)	690.9	kN
Mrd	41.0	kN*m
Vrd	455.3	kN

VERDADERO VERDADERO

PILA	FRAME	OutputCase	CaseType	Nd	Vd	Md	Cumple 1	Cumple 2
Text	Text	Text	Text	KN	KN	KN-m		
8	188	ELU_SISMO_Y_T	Combination	52.0	8.4	13.5	VERDADERO	VERDADERO
8	190	ELU_SISMO_Y_T	Combination	125.4	7.9	12.6	VERDADERO	VERDADERO
8	192	ELU_SISMO_Y_T	Combination	28.4	8.4	13.4	VERDADERO	VERDADERO
8	194	ELU_SISMO_Y_T	Combination	149.0	7.8	12.6	VERDADERO	VERDADERO
8	196	ELU_SISMO_Y_T	Combination	28.4	8.4	13.4	VERDADERO	VERDADERO
8	198	ELU_SISMO_Y_T	Combination	101.9	7.9	12.7	VERDADERO	VERDADERO
8	200	ELU_SISMO_Y_T	Combination	4.9	8.3	13.3	VERDADERO	VERDADERO
8	202	ELU_SISMO_Y_T	Combination	125.4	7.9	12.6	VERDADERO	VERDADERO
8	228	ELU_SISMO_Y_T	Combination	4.9	8.3	13.3	VERDADERO	VERDADERO
8	230	ELU_SISMO_Y_T	Combination	78.3	7.9	12.8	VERDADERO	VERDADERO
8	232	ELU_SISMO_Y_T	Combination	-18.7	8.2	13.2	VERDADERO	VERDADERO
8	234	ELU_SISMO_Y_T	Combination	101.9	7.9	12.7	VERDADERO	VERDADERO
8	236	ELU_SISMO_Y_T	Combination	12.8	8.1	13.0	VERDADERO	VERDADERO
8	238	ELU_SISMO_Y_T	Combination	86.2	8.0	12.9	VERDADERO	VERDADERO
8	240	ELU_SISMO_Y_T	Combination	-10.8	8.1	12.9	VERDADERO	VERDADERO
8	242	ELU_SISMO_Y_T	Combination	109.8	7.9	12.8	VERDADERO	VERDADERO
8	124	ELU_SISMO_Y_T	Combination	51.3	8.1	13.3	VERDADERO	VERDADERO
8	126	ELU_SISMO_Y_T	Combination	42.8	7.8	12.9	VERDADERO	VERDADERO
8	150	ELU_SISMO_Y_T	Combination	18.9	8.0	13.1	VERDADERO	VERDADERO
8	162	ELU_SISMO_Y_T	Combination	75.3	7.8	12.8	VERDADERO	VERDADERO
8	172	ELU_SISMO_Y_T	Combination	93.9	8.3	13.7	VERDADERO	VERDADERO
8	174	ELU_SISMO_Y_T	Combination	86.2	7.7	12.7	VERDADERO	VERDADERO
8	176	ELU_SISMO_Y_T	Combination	61.6	8.2	13.5	VERDADERO	VERDADERO
8	178	ELU_SISMO_Y_T	Combination	118.6	7.7	12.6	VERDADERO	VERDADERO
8	180	ELU_SISMO_Y_T	Combination	70.4	8.3	13.5	VERDADERO	VERDADERO
8	182	ELU_SISMO_Y_T	Combination	62.7	7.8	12.8	VERDADERO	VERDADERO
8	184	ELU_SISMO_Y_T	Combination	38.0	8.2	13.4	VERDADERO	VERDADERO
8	186	ELU_SISMO_Y_T	Combination	95.0	7.7	12.7	VERDADERO	VERDADERO
8	188	ELU_SISMO_Y_T	Combination	7.6	7.9	13.0	VERDADERO	VERDADERO
8	190	ELU_SISMO_Y_T	Combination	-0.1	8.0	13.2	VERDADERO	VERDADERO
8	192	ELU_SISMO_Y_T	Combination	-24.8	7.8	12.9	VERDADERO	VERDADERO
8	194	ELU_SISMO_Y_T	Combination	32.2	7.9	13.1	VERDADERO	VERDADERO
8	196	ELU_SISMO_Y_T	Combination	31.1	7.9	13.0	VERDADERO	VERDADERO
8	198	ELU_SISMO_Y_T	Combination	23.4	8.0	13.1	VERDADERO	VERDADERO
8	200	ELU_SISMO_Y_T	Combination	-1.2	7.9	12.9	VERDADERO	VERDADERO
8	202	ELU_SISMO_Y_T	Combination	55.8	7.9	13.0	VERDADERO	VERDADERO
8	228	ELU_SISMO_Y_T	Combination	54.7	8.0	13.1	VERDADERO	VERDADERO
8	230	ELU_SISMO_Y_T	Combination	47.0	7.9	13.0	VERDADERO	VERDADERO
8	232	ELU_SISMO_Y_T	Combination	22.4	7.9	13.0	VERDADERO	VERDADERO
8	234	ELU_SISMO_Y_T	Combination	79.4	7.8	12.9	VERDADERO	VERDADERO

## PASARELA UCA. MICROPILOTES PILAS P7 Y P8

### MICROPILOTES: COMPROBACIÓN ESTRUCTURAL EN SECCIÓN MAS SOLICITADA

SE PLANTEA EL SIGUIENTE CRITERIO DE INTERACCIÓN DE ESFUERZOS

$$M_d/M_{rd} + N_d/N_{rd} < 1 \text{ y } V_d < 0.5 \cdot V_{rd} \cdot (1 - N_d/N_{rd})$$

El que se cumpla la condición anterior es suficiente para que el punto quede dentro del diagrama de interacción representado en el artículo 6.3.6.5 de la RPX-95

#### Esfuerzos resistentes (según características micro)

Nrd (kN)	690.9	kN
Mrd	41.0	kN*m
Vrd	455.3	kN

VERDADERO VERDADERO

PILA	FRAME	OutputCase	CaseType	Nd	Vd	Md	Cumple 1	Cumple 2
Text	Text	Text	Text	KN	KN	KN-m		
8	236	ELU_SISMO_Y_T	Combination	46.8	8.2	13.4	VERDADERO	VERDADERO
8	238	ELU_SISMO_Y_T	Combination	39.1	7.8	12.8	VERDADERO	VERDADERO
8	240	ELU_SISMO_Y_T	Combination	14.5	8.1	13.3	VERDADERO	VERDADERO
8	242	ELU_SISMO_Y_T	Combination	71.4	7.7	12.8	VERDADERO	VERDADERO
8	124	ELU_SISMO_Y_T	Combination	14.3	8.3	13.3	VERDADERO	VERDADERO
8	126	ELU_SISMO_Y_T	Combination	77.4	8.0	13.0	VERDADERO	VERDADERO
8	150	ELU_SISMO_Y_T	Combination	-11.0	8.2	13.2	VERDADERO	VERDADERO
8	162	ELU_SISMO_Y_T	Combination	102.7	8.0	12.9	VERDADERO	VERDADERO
8	172	ELU_SISMO_Y_T	Combination	-29.4	8.1	13.0	VERDADERO	VERDADERO
8	174	ELU_SISMO_Y_T	Combination	34.4	8.2	13.2	VERDADERO	VERDADERO
8	176	ELU_SISMO_Y_T	Combination	-54.6	8.0	13.0	VERDADERO	VERDADERO
8	178	ELU_SISMO_Y_T	Combination	59.6	8.1	13.1	VERDADERO	VERDADERO
8	180	ELU_SISMO_Y_T	Combination	-5.8	8.1	13.1	VERDADERO	VERDADERO
8	182	ELU_SISMO_Y_T	Combination	58.0	8.1	13.1	VERDADERO	VERDADERO
8	184	ELU_SISMO_Y_T	Combination	-31.0	8.1	13.0	VERDADERO	VERDADERO
8	186	ELU_SISMO_Y_T	Combination	83.2	8.1	13.0	VERDADERO	VERDADERO
8	188	ELU_SISMO_Y_T	Combination	57.0	8.5	13.7	VERDADERO	VERDADERO
8	190	ELU_SISMO_Y_T	Combination	120.7	7.9	12.8	VERDADERO	VERDADERO
8	192	ELU_SISMO_Y_T	Combination	31.8	8.4	13.5	VERDADERO	VERDADERO
8	194	ELU_SISMO_Y_T	Combination	146.0	7.9	12.7	VERDADERO	VERDADERO
8	196	ELU_SISMO_Y_T	Combination	33.4	8.4	13.5	VERDADERO	VERDADERO
8	198	ELU_SISMO_Y_T	Combination	97.2	8.0	12.9	VERDADERO	VERDADERO
8	200	ELU_SISMO_Y_T	Combination	8.2	8.4	13.4	VERDADERO	VERDADERO
8	202	ELU_SISMO_Y_T	Combination	122.4	7.9	12.8	VERDADERO	VERDADERO
8	228	ELU_SISMO_Y_T	Combination	9.9	8.4	13.4	VERDADERO	VERDADERO
8	230	ELU_SISMO_Y_T	Combination	73.6	8.0	12.9	VERDADERO	VERDADERO
8	232	ELU_SISMO_Y_T	Combination	-15.4	8.3	13.3	VERDADERO	VERDADERO
8	234	ELU_SISMO_Y_T	Combination	98.8	8.0	12.9	VERDADERO	VERDADERO
8	236	ELU_SISMO_Y_T	Combination	17.8	8.2	13.1	VERDADERO	VERDADERO
8	238	ELU_SISMO_Y_T	Combination	81.5	8.1	13.0	VERDADERO	VERDADERO
8	240	ELU_SISMO_Y_T	Combination	-7.5	8.1	13.1	VERDADERO	VERDADERO
8	242	ELU_SISMO_Y_T	Combination	106.7	8.0	12.9	VERDADERO	VERDADERO
8	124	ELU_SISMO_Z_T	Combination	49.5	5.8	9.7	VERDADERO	VERDADERO
8	126	ELU_SISMO_Z_T	Combination	46.2	5.5	9.3	VERDADERO	VERDADERO
8	150	ELU_SISMO_Z_T	Combination	20.2	5.8	9.6	VERDADERO	VERDADERO
8	162	ELU_SISMO_Z_T	Combination	75.5	5.5	9.1	VERDADERO	VERDADERO
8	172	ELU_SISMO_Z_T	Combination	61.9	5.9	9.8	VERDADERO	VERDADERO
8	174	ELU_SISMO_Z_T	Combination	59.3	5.5	9.2	VERDADERO	VERDADERO
8	176	ELU_SISMO_Z_T	Combination	32.7	5.8	9.7	VERDADERO	VERDADERO
8	178	ELU_SISMO_Z_T	Combination	88.5	5.4	9.0	VERDADERO	VERDADERO



## PASARELA UCA. MICROPILOTES PILAS P7 Y P8

### MICROPILOTES: COMPROBACIÓN ESTRUCTURAL EN SECCIÓN MAS SOLICITADA

SE PLANTEA EL SIGUIENTE CRITERIO DE INTERACCIÓN DE ESFUERZOS

$$M_d/M_{rd} + N_d/N_{rd} < 1 \text{ y } V_d < 0.5 \cdot V_{rd} \cdot (1 - N_d/N_{rd})$$

El que se cumpla la condición anterior es suficiente para que el punto quede dentro del diagrama de interacción representado en el artículo 6.3.6.5 de la RPX-95

#### Esfuerzos resistentes (según características micro)

Nrd (kN)	690.9	kN
Mrd	41.0	kN*m
Vrd	455.3	kN

VERDADERO VERDADERO

PILA	FRAME	OutputCase	CaseType	Nd	Vd	Md	Cumple 1	Cumple 2
Text	Text	Text	Text	KN	KN	KN-m		
8	180	ELU_SISMO_Z_T	Combination	54.8	5.9	9.8	VERDADERO	VERDADERO
8	182	ELU_SISMO_Z_T	Combination	52.2	5.5	9.2	VERDADERO	VERDADERO
8	184	ELU_SISMO_Z_T	Combination	25.7	5.8	9.6	VERDADERO	VERDADERO
8	186	ELU_SISMO_Z_T	Combination	81.4	5.4	9.1	VERDADERO	VERDADERO
8	188	ELU_SISMO_Z_T	Combination	36.0	5.8	9.6	VERDADERO	VERDADERO
8	190	ELU_SISMO_Z_T	Combination	33.4	5.6	9.4	VERDADERO	VERDADERO
8	192	ELU_SISMO_Z_T	Combination	6.8	5.7	9.4	VERDADERO	VERDADERO
8	194	ELU_SISMO_Z_T	Combination	62.6	5.5	9.2	VERDADERO	VERDADERO
8	196	ELU_SISMO_Z_T	Combination	43.1	5.8	9.6	VERDADERO	VERDADERO
8	198	ELU_SISMO_Z_T	Combination	40.5	5.6	9.3	VERDADERO	VERDADERO
8	200	ELU_SISMO_Z_T	Combination	13.9	5.7	9.5	VERDADERO	VERDADERO
8	202	ELU_SISMO_Z_T	Combination	69.7	5.5	9.2	VERDADERO	VERDADERO
8	228	ELU_SISMO_Z_T	Combination	50.1	5.8	9.6	VERDADERO	VERDADERO
8	230	ELU_SISMO_Z_T	Combination	47.6	5.6	9.3	VERDADERO	VERDADERO
8	232	ELU_SISMO_Z_T	Combination	21.0	5.7	9.5	VERDADERO	VERDADERO
8	234	ELU_SISMO_Z_T	Combination	76.7	5.5	9.1	VERDADERO	VERDADERO
8	236	ELU_SISMO_Z_T	Combination	47.8	5.9	9.8	VERDADERO	VERDADERO
8	238	ELU_SISMO_Z_T	Combination	45.2	5.5	9.2	VERDADERO	VERDADERO
8	240	ELU_SISMO_Z_T	Combination	18.6	5.8	9.6	VERDADERO	VERDADERO
8	242	ELU_SISMO_Z_T	Combination	74.4	5.4	9.1	VERDADERO	VERDADERO
8	124	ELU_SISMO_Z_T	Combination	6.1	6.8	10.9	VERDADERO	VERDADERO
8	126	ELU_SISMO_Z_T	Combination	83.5	6.5	10.5	VERDADERO	VERDADERO
8	150	ELU_SISMO_Z_T	Combination	-19.0	6.7	10.8	VERDADERO	VERDADERO
8	162	ELU_SISMO_Z_T	Combination	108.7	6.5	10.4	VERDADERO	VERDADERO
8	172	ELU_SISMO_Z_T	Combination	-7.3	6.8	10.8	VERDADERO	VERDADERO
8	174	ELU_SISMO_Z_T	Combination	70.7	6.6	10.6	VERDADERO	VERDADERO
8	176	ELU_SISMO_Z_T	Combination	-32.4	6.7	10.7	VERDADERO	VERDADERO
8	178	ELU_SISMO_Z_T	Combination	95.7	6.5	10.5	VERDADERO	VERDADERO
8	180	ELU_SISMO_Z_T	Combination	-0.2	6.8	10.8	VERDADERO	VERDADERO
8	182	ELU_SISMO_Z_T	Combination	77.8	6.6	10.6	VERDADERO	VERDADERO
8	184	ELU_SISMO_Z_T	Combination	-25.3	6.7	10.7	VERDADERO	VERDADERO
8	186	ELU_SISMO_Z_T	Combination	102.8	6.5	10.5	VERDADERO	VERDADERO
8	188	ELU_SISMO_Z_T	Combination	18.6	6.9	11.0	VERDADERO	VERDADERO
8	190	ELU_SISMO_Z_T	Combination	96.6	6.5	10.4	VERDADERO	VERDADERO
8	192	ELU_SISMO_Z_T	Combination	-6.5	6.8	10.9	VERDADERO	VERDADERO
8	194	ELU_SISMO_Z_T	Combination	121.7	6.4	10.3	VERDADERO	VERDADERO
8	196	ELU_SISMO_Z_T	Combination	11.5	6.9	11.0	VERDADERO	VERDADERO
8	198	ELU_SISMO_Z_T	Combination	89.5	6.5	10.5	VERDADERO	VERDADERO
8	200	ELU_SISMO_Z_T	Combination	-13.5	6.8	10.9	VERDADERO	VERDADERO
8	202	ELU_SISMO_Z_T	Combination	114.6	6.4	10.4	VERDADERO	VERDADERO

## PASARELA UCA. MICROPILOTES PILAS P7 Y P8

### MICROPILOTES: COMPROBACIÓN ESTRUCTURAL EN SECCIÓN MAS SOLICITADA

SE PLANTEA EL SIGUIENTE CRITERIO DE INTERACCIÓN DE ESFUERZOS

$$M_d/M_{rd} + N_d/N_{rd} < 1 \text{ y } V_d < 0.5 \cdot V_{rd} \cdot (1 - N_d/N_{rd})$$

El que se cumpla la condición anterior es suficiente para que el punto quede dentro del diagrama de interacción representado en el artículo 6.3.6.5 de la RPX-95

#### Esfuerzos resistentes (según características micro)

Nrd (kN)	690.9	kN
Mrd	41.0	kN*m
Vrd	455.3	kN

VERDADERO VERDADERO

PILA	FRAME	OutputCase	CaseType	Nd	Vd	Md	Cumple 1	Cumple 2
Text	Text	Text	Text	KN	KN	KN-m		
8	228	ELU_SISMO_Z_T	Combination	4.5	6.9	11.0	VERDADERO	VERDADERO
8	230	ELU_SISMO_Z_T	Combination	82.5	6.5	10.5	VERDADERO	VERDADERO
8	232	ELU_SISMO_Z_T	Combination	-20.6	6.8	10.9	VERDADERO	VERDADERO
8	234	ELU_SISMO_Z_T	Combination	107.5	6.5	10.4	VERDADERO	VERDADERO
8	236	ELU_SISMO_Z_T	Combination	6.8	6.8	10.9	VERDADERO	VERDADERO
8	238	ELU_SISMO_Z_T	Combination	84.8	6.6	10.5	VERDADERO	VERDADERO
8	240	ELU_SISMO_Z_T	Combination	-18.2	6.7	10.8	VERDADERO	VERDADERO
8	242	ELU_SISMO_Z_T	Combination	109.9	6.5	10.4	VERDADERO	VERDADERO
8	124	ELU_SISMO_Z_T	Combination	54.5	5.9	9.9	VERDADERO	VERDADERO
8	126	ELU_SISMO_Z_T	Combination	41.5	5.6	9.5	VERDADERO	VERDADERO
8	150	ELU_SISMO_Z_T	Combination	23.5	5.8	9.8	VERDADERO	VERDADERO
8	162	ELU_SISMO_Z_T	Combination	72.4	5.5	9.3	VERDADERO	VERDADERO
8	172	ELU_SISMO_Z_T	Combination	66.9	6.0	10.0	VERDADERO	VERDADERO
8	174	ELU_SISMO_Z_T	Combination	54.6	5.6	9.4	VERDADERO	VERDADERO
8	176	ELU_SISMO_Z_T	Combination	36.0	5.9	9.9	VERDADERO	VERDADERO
8	178	ELU_SISMO_Z_T	Combination	85.5	5.5	9.2	VERDADERO	VERDADERO
8	180	ELU_SISMO_Z_T	Combination	59.8	6.0	10.0	VERDADERO	VERDADERO
8	182	ELU_SISMO_Z_T	Combination	47.5	5.6	9.4	VERDADERO	VERDADERO
8	184	ELU_SISMO_Z_T	Combination	29.0	5.9	9.8	VERDADERO	VERDADERO
8	186	ELU_SISMO_Z_T	Combination	78.4	5.5	9.3	VERDADERO	VERDADERO
8	188	ELU_SISMO_Z_T	Combination	41.0	5.9	9.8	VERDADERO	VERDADERO
8	190	ELU_SISMO_Z_T	Combination	28.7	5.7	9.6	VERDADERO	VERDADERO
8	192	ELU_SISMO_Z_T	Combination	10.1	5.8	9.6	VERDADERO	VERDADERO
8	194	ELU_SISMO_Z_T	Combination	59.6	5.6	9.4	VERDADERO	VERDADERO
8	196	ELU_SISMO_Z_T	Combination	48.1	5.9	9.8	VERDADERO	VERDADERO
8	198	ELU_SISMO_Z_T	Combination	35.8	5.7	9.5	VERDADERO	VERDADERO
8	200	ELU_SISMO_Z_T	Combination	17.2	5.8	9.7	VERDADERO	VERDADERO
8	202	ELU_SISMO_Z_T	Combination	66.6	5.6	9.4	VERDADERO	VERDADERO
8	228	ELU_SISMO_Z_T	Combination	55.1	5.9	9.8	VERDADERO	VERDADERO
8	230	ELU_SISMO_Z_T	Combination	42.9	5.7	9.5	VERDADERO	VERDADERO
8	232	ELU_SISMO_Z_T	Combination	24.3	5.8	9.7	VERDADERO	VERDADERO
8	234	ELU_SISMO_Z_T	Combination	73.7	5.6	9.3	VERDADERO	VERDADERO
8	236	ELU_SISMO_Z_T	Combination	52.7	6.0	10.0	VERDADERO	VERDADERO
8	238	ELU_SISMO_Z_T	Combination	40.5	5.6	9.4	VERDADERO	VERDADERO
8	240	ELU_SISMO_Z_T	Combination	21.9	5.9	9.8	VERDADERO	VERDADERO
8	242	ELU_SISMO_Z_T	Combination	71.3	5.5	9.3	VERDADERO	VERDADERO
8	124	ELU_SISMO_Z_T	Combination	11.1	6.9	11.1	VERDADERO	VERDADERO
8	126	ELU_SISMO_Z_T	Combination	78.8	6.6	10.7	VERDADERO	VERDADERO
8	150	ELU_SISMO_Z_T	Combination	-15.7	6.8	11.0	VERDADERO	VERDADERO
8	162	ELU_SISMO_Z_T	Combination	105.6	6.6	10.6	VERDADERO	VERDADERO

## PASARELA UCA. MICROPILOTES PILAS P7 Y P8

### MICROPILOTES: COMPROBACIÓN ESTRUCTURAL EN SECCIÓN MAS SOLICITADA

SE PLANTEA EL SIGUIENTE CRITERIO DE INTERACCIÓN DE ESFUERZOS

$$M_d/M_{rd} + N_d/N_{rd} < 1 \text{ y } V_d < 0.5 \cdot V_{rd} \cdot (1 - N_d/N_{rd})$$

El que se cumpla la condición anterior es suficiente para que el punto quede dentro del diagrama de interacción representado en el artículo 6.3.6.5 de la RPX-95

#### Esfuerzos resistentes (según características micro)

Nrd (kN)	690.9	kN
Mrd	41.0	kN*m
Vrd	455.3	kN

VERDADERO VERDADERO

PILA	FRAME	OutputCase	CaseType	Nd	Vd	Md	Cumple 1	Cumple 2
Text	Text	Text	Text	KN	KN	KN-m		
8	172	ELU_SISMO_Z_T	Combination	-2.3	6.8	11.0	VERDADERO	VERDADERO
8	174	ELU_SISMO_Z_T	Combination	66.0	6.7	10.8	VERDADERO	VERDADERO
8	176	ELU_SISMO_Z_T	Combination	-29.0	6.8	10.9	VERDADERO	VERDADERO
8	178	ELU_SISMO_Z_T	Combination	92.7	6.6	10.7	VERDADERO	VERDADERO
8	180	ELU_SISMO_Z_T	Combination	4.7	6.9	11.1	VERDADERO	VERDADERO
8	182	ELU_SISMO_Z_T	Combination	73.1	6.7	10.8	VERDADERO	VERDADERO
8	184	ELU_SISMO_Z_T	Combination	-22.0	6.8	10.9	VERDADERO	VERDADERO
8	186	ELU_SISMO_Z_T	Combination	99.8	6.6	10.7	VERDADERO	VERDADERO
8	188	ELU_SISMO_Z_T	Combination	23.6	7.0	11.3	VERDADERO	VERDADERO
8	190	ELU_SISMO_Z_T	Combination	91.9	6.6	10.6	VERDADERO	VERDADERO
8	192	ELU_SISMO_Z_T	Combination	-3.1	6.9	11.1	VERDADERO	VERDADERO
8	194	ELU_SISMO_Z_T	Combination	118.6	6.5	10.5	VERDADERO	VERDADERO
8	196	ELU_SISMO_Z_T	Combination	16.5	7.0	11.2	VERDADERO	VERDADERO
8	198	ELU_SISMO_Z_T	Combination	84.8	6.6	10.7	VERDADERO	VERDADERO
8	200	ELU_SISMO_Z_T	Combination	-10.2	6.9	11.1	VERDADERO	VERDADERO
8	202	ELU_SISMO_Z_T	Combination	111.6	6.5	10.6	VERDADERO	VERDADERO
8	228	ELU_SISMO_Z_T	Combination	9.4	7.0	11.2	VERDADERO	VERDADERO
8	230	ELU_SISMO_Z_T	Combination	77.8	6.6	10.7	VERDADERO	VERDADERO
8	232	ELU_SISMO_Z_T	Combination	-17.3	6.9	11.1	VERDADERO	VERDADERO
8	234	ELU_SISMO_Z_T	Combination	104.5	6.6	10.6	VERDADERO	VERDADERO
8	236	ELU_SISMO_Z_T	Combination	11.8	6.9	11.1	VERDADERO	VERDADERO
8	238	ELU_SISMO_Z_T	Combination	80.1	6.7	10.8	VERDADERO	VERDADERO
8	240	ELU_SISMO_Z_T	Combination	-14.9	6.8	11.0	VERDADERO	VERDADERO
8	242	ELU_SISMO_Z_T	Combination	106.9	6.6	10.6	VERDADERO	VERDADERO



## RESISTENCIAS ESTRUCTURALES DE LOS MICROS

Coeficientes de seguridad

	Persistente	Sismo
$\gamma_c$	1.50	1.30

### LECHADA

Diámetro de la perforación	150.00	mm
fck lechada de hormigón	30.00	Mpa
Area sección hormigón (bruta)	17671.46	mm <sup>2</sup>
Area sección hormigón (neta)	15638.22	mm <sup>2</sup>

### TUBERÍA

Diámetro exterior tubería	88.90	mm
Diámetro interior tubería	72.90	mm
f <sub>yd</sub> acero tubería	486.96	Mpa (en persistente)
f <sub>yd</sub> acero tubería	560.00	Mpa (en sismo)
Reducción de espesor	1.20	mm
Coeficiente F <sub>uc</sub>	1.00	
Area sección tubular (sin reduccion)	2033.24	mm <sup>2</sup>
Area sección tubular (con reduccion)	1702.62	mm <sup>2</sup>
Cumple sección para cálculo plástico	VERDADERO	
W <sub>pl</sub>	43299.02	mm <sup>3</sup>

### ARMADURA

Nº de redondos	0.00	
Diámetro redondos	20.00	mm
Area de armadura	0.00	mm <sup>2</sup>
f <sub>yd</sub> acero	400.00	Mpa
Coeficiente F <sub>e</sub>	1.3	
Coeficiente R	0.665 (Fangos y turbas)	

## RESISTENCIAS ESTRUCTURALES DEL MICROPILOTE

	Persistente	Sismo	
N <sub>c,rd</sub> (kN)	466.8	537.2	kN
M <sub>c,rd</sub>	21.1	24.2	kN*m
V <sub>pl,rd</sub>	304.7	350.4	kN

## CÁLCULO DE LA ADHERENCIA O ANCLAJE MICROPILOTES

% del axil que se transmite a través del tubo y las barras	100%	
Diámetro exterior del micro	150.00	mm
Diámetro exterior tubo	88.90	mm
Diámetro interior tubo	72.90	mm
Area transversal de tubo	20.33	cm <sup>2</sup>
LONGITUD DEL TUBO METIDA EN ENCEPADO	0.50	M
Número de redondos soldados al tubo	0.00	
Diámetro de los redondos	16.00	mm
Longitud LIBRE de los redondos	0.10	M
Tensión de adherencia de diseño tubo-hormigón	21.25	kp/cm <sup>2</sup>
Tensión de adherencia de diseño barras-hormigón	53.30	kp/cm <sup>2</sup>
Coeficiente de minoración de la adherencia	1.50	
Resistencia característica del hormigón de zapata	300.00	kp/cm <sup>2</sup>
Límite elástica de la armadura de anclaje	5100.00	kp/cm <sup>2</sup>
Límite elástico del acero del tubo	5600.00	kp/cm <sup>2</sup>
m (parámetro de longitud de anclaje)	13.00	
Carga máxima de cada redondo (teórica) en diseño	8.92	tn
Carga tomada por adherencia de cada redondo en diseño	2.68	tn
Carga a efectos de cálculo de cada barra	2.68	tn
Carga tomada por todos los redondos (cálculo)	0.00	tn
Carga máxima de tubo (teórica) en diseño	99.01	tn
Carga tomada por adherencia del tubo	29.68	tn
Carga a efectos de cálculo del tubo	29.68	tn
RESISTENCIA DE DISEÑO DEL ANCLAJE	29.68	ton

## CÁLCULO EMPUJE DE TIERRAS EN TRASDÓS DE ESTRIBOS

Altura de trasdós	2.20	m
Peso específico relleno	18.00	kN/m <sup>3</sup>
Sobrecarga sobre trasdós	5.00	kN/m <sup>2</sup>
Coeficiente de empuje	0.33	
Empuje de tierras	18.00	kN/ml

## PERFIL GEOTÉCNICO CONSIDERADO PARA EL CÁLCULO DE LOS MICROPILOTES

Datos obtenidos de la interpretación de los sondeos S-2E y S-6E

(\*) Obtenido según Guía de Micropilotes. Figura 3.3 para Arenas y Gravas, inyección IU

Estrato	Espesor	Descripción	Nspt	rf,lim (kPa) (*)
1	15	Marisma	0	0
2	5.50	Arena limosa-arcilla	35.00	180.00

Coeficiente Fr	1.65	
Longitud de micropilote	20.50	m
Diámetro de la perforación	0.15	m
Resistencia al hundimiento Rcd	282.74	kN

Máximo axil de diseño en los micropilotes	240.00	kN (*) Ver tabla comprobación micros
Incremento axil por rozamiento negativo	25.00	kN
Cumple hundimiento??	VERDADERO	

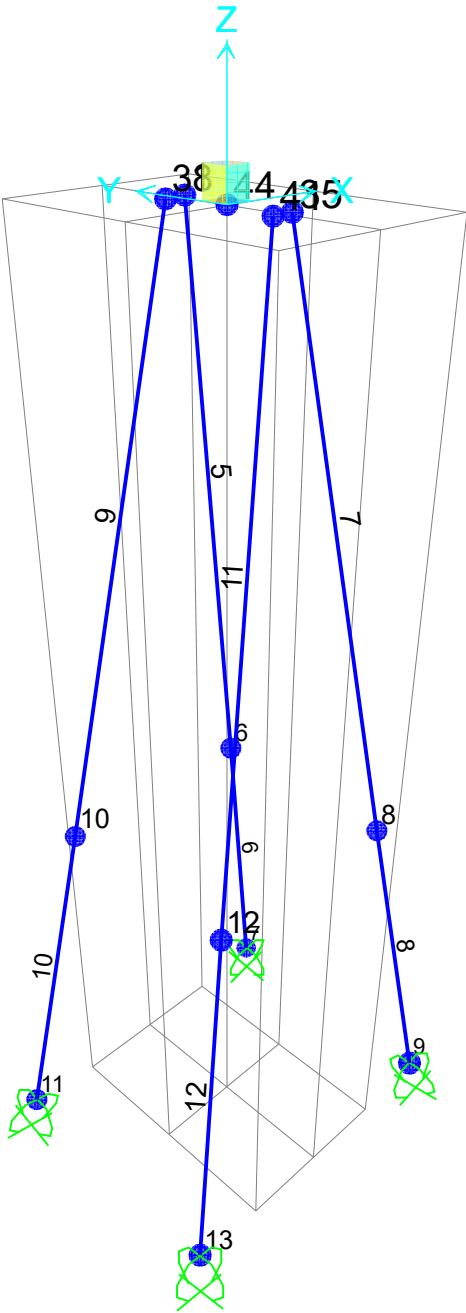
## COEFICIENTES DE REACCIÓN LATERAL DEL TERRENO PARA EL CÁLCULO DE LOS MICROS

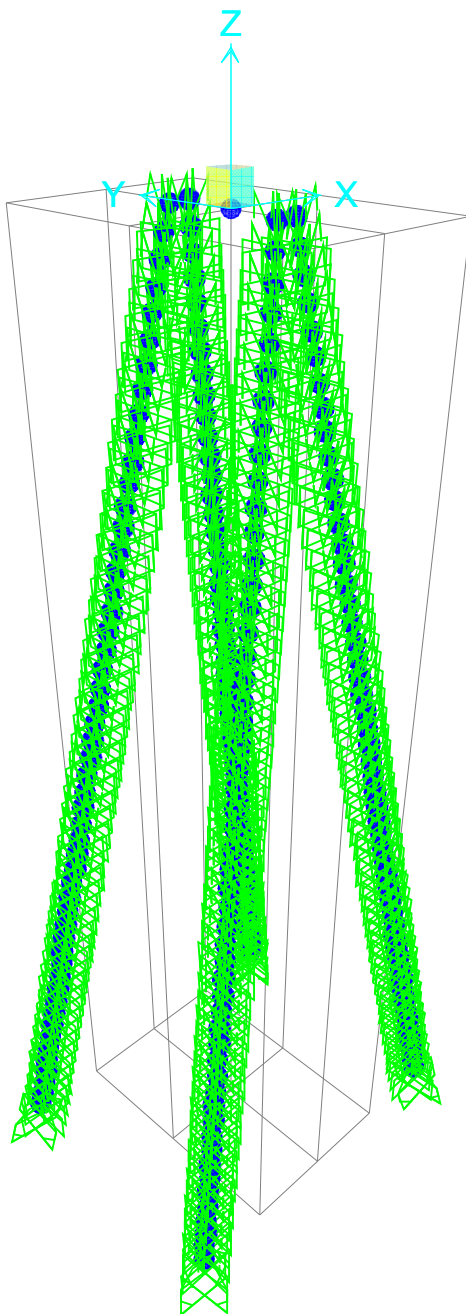
Estrato	Espesor	Descripción	Nspt	Su (kPa)	Er (kN/ml/ml)
1	15	Marisma	0	2.5	125
2	5.50	Arena limosa-arcilla	35	150	7500

## CÁLCULO ARMADURA CARGADERO

*Dado que los micropilotes se disponen en la vertical de los aparatos de apoyo, los esfuerzos de flexión en el cargadero serán muy reducidos. Por ello se armarán con cuantía mínima*

Area sección transversal viga	1.10	m2
Cuantía mínima mecánica	19.85	cm2
Se dispondrán 7 redondos del 20	21.99	cm2
Máxima reacción vertical por apoyo	154.80	kN
Cuantía de armadura de zunchado	0.97	cm2
Cuantía mínima de armadura transversal (cortante)	10.00	cm2/ml





**Table: Case - Static 1 - Load Assignments**

Table: Case - Static 1 - Load Assignments			
Case	LoadType	LoadName	LoadSF
DEAD	Load pattern	DEAD	1.
889_ELU_01_T0_Ma	Load pattern	889_ELU_01_T0_Ma	1.
x		x	
889_ELU_01_T0_Mi	Load pattern	889_ELU_01_T0_Mi	1.
n		n	
889_ELU_01_TINF_	Load pattern	889_ELU_01_TINF_	1.
Max		Max	
889_ELU_01_TINF_	Load pattern	889_ELU_01_TINF_	1.
Min		Min	
889_ELU_02_T0_Ma	Load pattern	889_ELU_02_T0_Ma	1.
x		x	
889_ELU_02_T0_Mi	Load pattern	889_ELU_02_T0_Mi	1.
n		n	
889_ELU_02_TINF_	Load pattern	889_ELU_02_TINF_	1.
Max		Max	
889_ELU_02_TINF_	Load pattern	889_ELU_02_TINF_	1.
Min		Min	
889_ELU_03_T0_Ma	Load pattern	889_ELU_03_T0_Ma	1.
x		x	
889_ELU_03_T0_Mi	Load pattern	889_ELU_03_T0_Mi	1.
n		n	
889_ELU_03_TINF_	Load pattern	889_ELU_03_TINF_	1.
Max		Max	
889_ELU_03_TINF_	Load pattern	889_ELU_03_TINF_	1.
Min		Min	
889_ELU_SISMO_X	Load pattern	889_ELU_SISMO_X	1.
_T0_Max		_T0_Max	
889_ELU_SISMO_X	Load pattern	889_ELU_SISMO_X	1.
_T0_Min		_T0_Min	
889_ELU_SISMO_Y	Load pattern	889_ELU_SISMO_Y	1.
_T0_Max		_T0_Max	
889_ELU_SISMO_Y	Load pattern	889_ELU_SISMO_Y	1.
_T0_Min		_T0_Min	
889_ELU_SISMO_Z	Load pattern	889_ELU_SISMO_Z	1.
_T0_Max		_T0_Max	
889_ELU_SISMO_Z	Load pattern	889_ELU_SISMO_Z	1.
_T0_Min		_T0_Min	
889_ELU_SISMO_X	Load pattern	889_ELU_SISMO_X	1.
_TINF_Max		_TINF_Max	
889_ELU_SISMO_X	Load pattern	889_ELU_SISMO_X	1.
_TINF_Min		_TINF_Min	
889_ELU_SISMO_Y	Load pattern	889_ELU_SISMO_Y	1.
_TINF_Max		_TINF_Max	
889_ELU_SISMO_Y	Load pattern	889_ELU_SISMO_Y	1.
_TINF_Min		_TINF_Min	
889_ELU_SISMO_Z	Load pattern	889_ELU_SISMO_Z	1.
_TINF_Max		_TINF_Max	
889_ELU_SISMO_Z	Load pattern	889_ELU_SISMO_Z	1.
_TINF_Min		_TINF_Min	
891_ELU_01_T0_Ma	Load pattern	891_ELU_01_T0_Ma	1.
x		x	
891_ELU_01_T0_Mi	Load pattern	891_ELU_01_T0_Mi	1.
n		n	
891_ELU_01_TINF_	Load pattern	891_ELU_01_TINF_	1.
Max		Max	

Table: Case - Static 1 - Load Assignments

Case	LoadType	LoadName	LoadSF
891_ELU_01_TINF_Min	Load pattern	891_ELU_01_TINF_Min	1.
891_ELU_02_T0_Max	Load pattern	891_ELU_02_T0_Max	1.
891_ELU_02_T0_Min	Load pattern	891_ELU_02_T0_Min	1.
891_ELU_02_TINF_Max	Load pattern	891_ELU_02_TINF_Max	1.
891_ELU_02_TINF_Min	Load pattern	891_ELU_02_TINF_Min	1.
891_ELU_03_T0_Max	Load pattern	891_ELU_03_T0_Max	1.
891_ELU_03_T0_Min	Load pattern	891_ELU_03_T0_Min	1.
891_ELU_03_TINF_Max	Load pattern	891_ELU_03_TINF_Max	1.
891_ELU_03_TINF_Min	Load pattern	891_ELU_03_TINF_Min	1.
891_ELU_SISMO_X_T0_Max	Load pattern	891_ELU_SISMO_X_T0_Max	1.
891_ELU_SISMO_X_T0_Min	Load pattern	891_ELU_SISMO_X_T0_Min	1.
891_ELU_SISMO_Y_T0_Max	Load pattern	891_ELU_SISMO_Y_T0_Max	1.
891_ELU_SISMO_Y_T0_Min	Load pattern	891_ELU_SISMO_Y_T0_Min	1.
891_ELU_SISMO_Z_T0_Max	Load pattern	891_ELU_SISMO_Z_T0_Max	1.
891_ELU_SISMO_Z_T0_Min	Load pattern	891_ELU_SISMO_Z_T0_Min	1.
891_ELU_SISMO_X_TINF_Max	Load pattern	891_ELU_SISMO_X_TINF_Max	1.
891_ELU_SISMO_X_TINF_Min	Load pattern	891_ELU_SISMO_X_TINF_Min	1.
891_ELU_SISMO_Y_TINF_Max	Load pattern	891_ELU_SISMO_Y_TINF_Max	1.
891_ELU_SISMO_Y_TINF_Min	Load pattern	891_ELU_SISMO_Y_TINF_Min	1.
891_ELU_SISMO_Z_TINF_Max	Load pattern	891_ELU_SISMO_Z_TINF_Max	1.
891_ELU_SISMO_Z_TINF_Min	Load pattern	891_ELU_SISMO_Z_TINF_Min	1.

Table: Frame Section Assignments

Table: Frame Section Assignments

Frame	SectionType	AutoSelect	AnalSect	DesignSect	MatProp
5	Circular	N.A.	MICROPILOTE	MICROPILOTE	Default
6	Circular	N.A.	MICROPILOTE	MICROPILOTE	Default
7	Circular	N.A.	MICROPILOTE	MICROPILOTE	Default
8	Circular	N.A.	MICROPILOTE	MICROPILOTE	Default
9	Circular	N.A.	MICROPILOTE	MICROPILOTE	Default
10	Circular	N.A.	MICROPILOTE	MICROPILOTE	Default
11	Circular	N.A.	MICROPILOTE	MICROPILOTE	Default
12	Circular	N.A.	MICROPILOTE	MICROPILOTE	Default



**Table: Frame Section Properties 01 - General, Part 1 of 5**

Table: Frame Section Properties 01 - General, Part 1 of 5

SectionName	Material	Shape	t3 m	Area m2	TorsConst m4	I33 m4
MICROPILOTE	HORMIGÓN	Circle	0.15	0.017671	0.00005	0.000025

**Table: Frame Section Properties 01 - General, Part 2 of 5**

Table: Frame Section Properties 01 - General, Part 2 of 5

SectionName	I22 m4	I23 m4	AS2 m2	AS3 m2	S33 m3	S22 m3	Z33 m3
MICROPILOTE	0.000025	0.	0.015904	0.015904	0.000331	0.000331	0.000563

**Table: Frame Section Properties 01 - General, Part 3 of 5**

Table: Frame Section Properties 01 - General, Part 3 of 5

SectionName	Z22 m3	R33 m	R22 m	ConcCol	ConcBeam	Color	TotalWt KN
MICROPILOTE	0.000563	0.0375	0.0375	Yes	No	Green	41.639

**Table: Frame Section Properties 01 - General, Part 4 of 5**

Table: Frame Section Properties 01 - General, Part 4 of 5

SectionName	TotalMass KN-s2/m	FromFile	AMod	A2Mod	A3Mod	JMod	I2Mod
MICROPILOTE	4.25	No	1.	1.	1.	1.	1.

**Table: Frame Section Properties 01 - General, Part 5 of 5**

Table: Frame Section Properties 01 - General, Part 5 of 5

SectionName	I3Mod	MMod	WMod	GUID	Notes
MICROPILOTE	1.	1.	1.		Added 09/01/2017 16:59:19

**Table: Frame Spring Assignments**

Table: Frame Spring Assignments

Frame	Type	Stiffness KN/m/m	SimpleType	Dir1Type	Dir
5	Simple	125.	Tension and Compression	Object Axes	2
5	Simple	125.	Tension and Compression	Object Axes	3
6	Simple	7500.	Tension and Compression	Object Axes	3
6	Simple	7500.	Tension and Compression	Object Axes	2
7	Simple	125.	Tension and Compression	Object Axes	2
7	Simple	125.	Tension and Compression	Object Axes	3
8	Simple	7500.	Tension and Compression	Object Axes	3

Table: Frame Spring Assignments

Frame	Type	Stiffness KN/m/m	SimpleType	Dir1Type	Dir
8	Simple	7500.	Tension and Compression	Object Axes	2
9	Simple	125.	Tension and Compression	Object Axes	2
9	Simple	125.	Tension and Compression	Object Axes	3
10	Simple	7500.	Tension and Compression	Object Axes	3
10	Simple	7500.	Tension and Compression	Object Axes	2
11	Simple	125.	Tension and Compression	Object Axes	2
11	Simple	125.	Tension and Compression	Object Axes	3
12	Simple	7500.	Tension and Compression	Object Axes	3
12	Simple	7500.	Tension and Compression	Object Axes	2

Table: Joint Coordinates, Part 1 of 2

Table: Joint Coordinates, Part 1 of 2

Joint	CoordSys	CoordType	XorR m	Y m	Z m	SpecialJt	GlobalX m
1	GLOBAL	Cartesian	0.25	1.4	0.	No	0.25
6	GLOBAL	Cartesian	2.84977	2.70236	-14.71547	No	2.84977
7	GLOBAL	Cartesian	4.58294	3.5706	-24.52578	No	4.58294
8	GLOBAL	Cartesian	2.84977	-2.70236	-14.71547	No	2.84977
9	GLOBAL	Cartesian	4.58294	-3.5706	-24.52578	No	4.58294
10	GLOBAL	Cartesian	-2.84977	2.70236	-14.71547	Yes	-2.84977
11	GLOBAL	Cartesian	-4.58294	3.5706	-24.52578	Yes	-4.58294
12	GLOBAL	Cartesian	-2.84977	-2.70236	-14.71547	Yes	-2.84977
13	GLOBAL	Cartesian	-4.58294	-3.5706	-24.52578	Yes	-4.58294
35	GLOBAL	Cartesian	0.25	-1.4	0.	No	0.25
38	GLOBAL	Cartesian	-0.25	1.4	0.	No	-0.25
41	GLOBAL	Cartesian	-0.25	-1.4	0.	No	-0.25
44	GLOBAL	Cartesian	0.	0.	0.	Yes	0.

Table: Joint Coordinates, Part 2 of 2

Table: Joint Coordinates, Part 2 of 2

Joint	GlobalY m	GlobalZ m	GUID
1	1.4	0.	4cbf8591-4599-420a-862 f-6be3b7c61cbe
6	2.70236	-14.71547	d0e8c3e3-b913-4466-82 1e-32a91d95399e
7	3.5706	-24.52578	d0e8c3e3-b913-4466-82 1e-32a91d95399e
8	-2.70236	-14.71547	d0e8c3e3-b913-4466-82 1e-32a91d95399e
9	-3.5706	-24.52578	d0e8c3e3-b913-4466-82 1e-32a91d95399e
10	2.70236	-14.71547	d0e8c3e3-b913-4466-82 1e-32a91d95399e

Table: Joint Coordinates, Part 2 of 2

Joint	GlobalY m	GlobalZ m	GUID
11	3.5706	-24.52578	d0e8c3e3-b913-4466-821e-32a91d95399e
12	-2.70236	-14.71547	d0e8c3e3-b913-4466-821e-32a91d95399e
13	-3.5706	-24.52578	d0e8c3e3-b913-4466-821e-32a91d95399e
35	-1.4	0.	4cbf8591-4599-420a-862f-6be3b7c61cbe
38	1.4	0.	4cbf8591-4599-420a-862f-6be3b7c61cbe
41	-1.4	0.	4cbf8591-4599-420a-862f-6be3b7c61cbe
44	0.	0.	4cbf8591-4599-420a-862f-6be3b7c61cbe

Table: Joint Loads - Force, Part 1 of 2

Table: Joint Loads - Force, Part 1 of 2

Joint	LoadPat	CoordSys	F1 KN	F2 KN	F3 KN	M1 KN-m	M2 KN-m
44	889_ELU_01_T0_Max	GLOBAL	92.34	19.682	-415.334	-148.6124	62.3295
44	889_ELU_01_T0_Min	GLOBAL	92.34	19.762	-231.041	-55.3945	62.3295
44	889_ELU_01_TINF_Max	GLOBAL	96.39	19.683	-381.7	-148.6161	66.582
44	889_ELU_01_TINF_Min	GLOBAL	96.39	19.763	-197.407	-55.3981	66.582
44	889_ELU_02_T0_Max	GLOBAL	92.34	65.838	-339.874	-221.9673	62.3295
44	889_ELU_02_T0_Min	GLOBAL	92.34	65.871	-239.313	-184.6773	62.3295
44	889_ELU_02_TINF_Max	GLOBAL	96.39	65.839	-306.24	-221.971	66.582
44	889_ELU_02_TINF_Min	GLOBAL	96.39	65.872	-205.679	-184.6809	66.582
44	889_ELU_03_T0_Max	GLOBAL	92.34	19.729	-351.11	-92.6867	62.3295
44	889_ELU_03_T0_Min	GLOBAL	92.34	19.763	-220.586	-55.3934	62.3295
44	889_ELU_03_TINF_Max	GLOBAL	96.39	19.73	-317.475	-92.6903	66.582
44	889_ELU_03_TINF_Min	GLOBAL	96.39	19.764	-186.952	-55.3971	66.582
44	889_ELU_SISMO_X_T0_Max	GLOBAL	68.4	-8.221	-203.53	-23.1076	46.1699
44	889_ELU_SISMO_X_T0_Min	GLOBAL	68.4	8.221	-200.6	23.123	46.1701
44	889_ELU_SISMO_Y_T0_Max	GLOBAL	68.4	-27.401	-202.992	-77.0391	46.1698
44	889_ELU_SISMO_Y_T0_Min	GLOBAL	68.4	27.401	-201.138	77.0545	46.1702
44	889_ELU_SISMO_Z_T0_Max	GLOBAL	68.4	-8.22	-204.616	-23.1069	46.1699
44	889_ELU_SISMO_Z_T0_Min	GLOBAL	68.4	8.22	-199.514	23.1222	46.1701
44	889_ELU_SISMO_X_TINF_Max	GLOBAL	71.4	-8.22	-178.616	-23.1103	49.3199

Table: Joint Loads - Force, Part 1 of 2

Joint	LoadPat	CoordSys	F1 KN	F2 KN	F3 KN	M1 KN-m	M2 KN-m
44	889_ELU_SISMO_X _TINF_Min	GLOBAL	71.4	8.222	-175.686	23.1203	49.3201
44	889_ELU_SISMO_Y _TINF_Max	GLOBAL	71.4	-27.4	-178.078	-77.0418	49.3198
44	889_ELU_SISMO_Y _TINF_Min	GLOBAL	71.4	27.401	-176.223	77.0518	49.3202
44	889_ELU_SISMO_Z _TINF_Max	GLOBAL	71.4	-8.22	-179.701	-23.1096	49.3199
44	889_ELU_SISMO_Z _TINF_Min	GLOBAL	71.4	8.221	-174.6	23.1195	49.3201
44	891_ELU_01_T0_Ma x	GLOBAL	-92.34	20.961	-405.516	-166.7169	-62.3295
44	891_ELU_01_T0_Mi n	GLOBAL	-92.34	21.1	-219.893	-64.4009	-62.3295
44	891_ELU_01_TINF_ Max	GLOBAL	-96.39	20.962	-371.892	-166.7205	-66.582
44	891_ELU_01_TINF_ Min	GLOBAL	-96.39	21.101	-186.268	-64.4044	-66.582
44	891_ELU_02_T0_Ma x	GLOBAL	-92.34	69.872	-330.035	-255.6302	-62.3295
44	891_ELU_02_T0_Mi n	GLOBAL	-92.34	69.928	-228.168	-214.701	-62.3295
44	891_ELU_02_TINF_ Max	GLOBAL	-96.39	69.873	-296.41	-255.6337	-66.582
44	891_ELU_02_TINF_ Min	GLOBAL	-96.39	69.929	-194.543	-214.7046	-66.582
44	891_ELU_03_T0_Ma x	GLOBAL	-92.34	20.961	-341.605	-105.3321	-62.3295
44	891_ELU_03_T0_Mi n	GLOBAL	-92.34	21.018	-208.914	-64.3998	-62.3295
44	891_ELU_03_TINF_ Max	GLOBAL	-96.39	20.962	-307.981	-105.3356	-66.582
44	891_ELU_03_TINF_ Min	GLOBAL	-96.39	21.019	-175.289	-64.4033	-66.582
44	891_ELU_SISMO_X _T0_Max	GLOBAL	-68.4	-10.117	-195.57	-30.0841	-46.1701
44	891_ELU_SISMO_X _T0_Min	GLOBAL	-68.4	10.117	-193.222	30.1012	-46.1699
44	891_ELU_SISMO_Y _T0_Max	GLOBAL	-68.4	-33.72	-195.068	-100.2946	-46.1701
44	891_ELU_SISMO_Y _T0_Min	GLOBAL	-68.4	33.72	-193.724	100.3117	-46.1699
44	891_ELU_SISMO_Z _T0_Max	GLOBAL	-68.4	-10.116	-196.132	-30.083	-46.1701
44	891_ELU_SISMO_Z _T0_Min	GLOBAL	-68.4	10.116	-192.659	30.1001	-46.1699
44	891_ELU_SISMO_X _TINF_Max	GLOBAL	-71.4	-10.116	-170.663	-30.0868	-49.3201
44	891_ELU_SISMO_X _TINF_Min	GLOBAL	-71.4	10.118	-168.314	30.0986	-49.3199
44	891_ELU_SISMO_Y _TINF_Max	GLOBAL	-71.4	-33.719	-170.16	-100.2972	-49.3201
44	891_ELU_SISMO_Y _TINF_Min	GLOBAL	-71.4	33.721	-168.816	100.3091	-49.3199
44	891_ELU_SISMO_Z _TINF_Max	GLOBAL	-71.4	-10.116	-171.225	-30.0856	-49.3201
44	891_ELU_SISMO_Z _TINF_Min	GLOBAL	-71.4	10.117	-167.752	30.0975	-49.3199

**Table: Joint Loads - Force, Part 2 of 2**

Table: Joint Loads - Force, Part 2 of 2			
Joint	LoadPat	M3 KN-m	GUID
44	889_ELU_01_T0_Max x	8.245E-12	38d08d79-c02b-439f-9ee 9-2f8f6322113c
44	889_ELU_01_T0_Min n	9.760E-12	bff27833-314c-47b5-804f -b20626277238
44	889_ELU_01_TINF_Max	8.243E-12	18b0755b-aaef-4d32-872 0-1193f1c3ade7
44	889_ELU_01_TINF_Min	9.758E-12	5cc350f7-5faa-41cf-87a9 -6912cf4de809
44	889_ELU_02_T0_Max x	2.751E-11	7f7855a8-f16b-4e7a-bcfe -dd33eecd931d
44	889_ELU_02_T0_Min n	2.811E-11	c96634ab-35d0-49cc-80c a-cfb60bd4e9a2
44	889_ELU_02_TINF_Max	2.751E-11	db6bf526-e80a-499d-a08 a-acef7a606159
44	889_ELU_02_TINF_Min	2.811E-11	ef340624-b8a5-4d7d-abf 6-6221bb012972
44	889_ELU_03_T0_Max x	8.244E-12	022b7a05-08fa-44ee-897 4-f8a6bb5ebc69
44	889_ELU_03_T0_Min n	8.853E-12	e307a5d9-bf58-44e4-99c d-ef7dcd0103e4
44	889_ELU_03_TINF_Max	8.242E-12	95330193-e2ff-46fb-b452 -4c5d8efad07e
44	889_ELU_03_TINF_Min	8.851E-12	e406f987-482a-4314-a7ff -e03409ce5e7f
44	889_ELU_SISMO_X _T0_Max	-2.721E-05	2ec1c687-37c2-4bba-b1 47-cb87abcc1156
44	889_ELU_SISMO_X _T0_Min	2.721E-05	ef0007a8-0cd7-4660-98b c-e5dfcfd62847
44	889_ELU_SISMO_Y _T0_Max	-4.251E-05	2aad7fa-5a5f-4170-92a e-ad15a6c5ee1b
44	889_ELU_SISMO_Y _T0_Min	4.251E-05	3964590a-cb52-4e68-b0 3a-0fdd018092b6
44	889_ELU_SISMO_Z _T0_Max	-5.014E-05	51786449-7b95-4af5-9d9 0-594e01c8b3fe
44	889_ELU_SISMO_Z _T0_Min	5.014E-05	f00e9a30-6a74-4eaa-a8b 2-321dd59e7d4c
44	889_ELU_SISMO_X _TINF_Max	-2.721E-05	f0f88389-8514-423c-9a2 3-942fd11a32b0
44	889_ELU_SISMO_X _TINF_Min	2.721E-05	7c30f652-83c8-4ae5-a8b 7-252e57eeffad
44	889_ELU_SISMO_Y _TINF_Max	-4.251E-05	a9b40cdb-37b7-4481-9d 24-04f5d0970a52
44	889_ELU_SISMO_Y _TINF_Min	4.251E-05	66a7743c-28bf-420d-85e 8-1c096904688d
44	889_ELU_SISMO_Z _TINF_Max	-5.014E-05	f86f2588-228b-402a-966 6-8b6bbf319a7f
44	889_ELU_SISMO_Z _TINF_Min	5.014E-05	49eed32f-18ff-4c7d-9016 -35398c91962b
44	891_ELU_01_T0_Max x	-9.515E-12	dac3c0cd-d5c0-4bcd-bac d-9dae07e2cf94
44	891_ELU_01_T0_Min n	-7.623E-12	1b92f4c3-6dd3-4b69-9e4 0-42dd2ca82f61
44	891_ELU_01_TINF_Max	-9.514E-12	07169190-be2a-41c7-b0 73-3568dd520a0f
44	891_ELU_01_TINF_Min	-7.621E-12	603b4e9c-8174-4537-92 00-fa8db0abbf5b

Table: Joint Loads - Force, Part 2 of 2

Joint	LoadPat	M3 KN-m	GUID
44	891_ELU_02_T0_Max	-2.622E-11	f89ccd76-5a50-47e5-a827-46675f12dc85
44	891_ELU_02_T0_Min	-2.546E-11	1d89b5a3-7723-4aa2-af4d-1615a0b49bb4
44	891_ELU_02_TINF_Max	-2.622E-11	547a251a-ca7e-405a-ad83-750634998f7b
44	891_ELU_02_TINF_Min	-2.546E-11	8ca75316-604f-45c7-b924-6a056d588859
44	891_ELU_03_T0_Max	-8.382E-12	ea409778-11cc-45b3-b6af-15c94c2d8a7c
44	891_ELU_03_T0_Min	-7.622E-12	6000164c-3dec-4577-9c06-dc0b7f1affee
44	891_ELU_03_TINF_Max	-8.380E-12	9e827917-1110-4b51-b439-d27ace2337d0
44	891_ELU_03_TINF_Min	-7.620E-12	b2b267ad-c17e-4c40-a76a-96143f6962d0
44	891_ELU_SISMO_X_T0_Max	-3.636E-05	2597e419-3d38-4d6f-b095-1ba83bc030eb
44	891_ELU_SISMO_X_T0_Min	3.636E-05	6bc42587-c162-431a-88ab-54b9d3294bd7
44	891_ELU_SISMO_Y_T0_Max	-1.048E-04	ccaf8e81-afdf-401d-aca1-930f4106b843
44	891_ELU_SISMO_Y_T0_Min	1.048E-04	a81309d7-7c27-4a25-9baf-5923fc6ac20
44	891_ELU_SISMO_Z_T0_Max	-4.428E-05	7d806987-790f-4e3a-b394-f3f96d61a54c
44	891_ELU_SISMO_Z_T0_Min	4.428E-05	62c352be-bfb6-4216-8cc0-23bcb75e44f5
44	891_ELU_SISMO_X_TINF_Max	-3.636E-05	6ff39f6a-1a81-4fd7-b4b6-feff8a7576a6
44	891_ELU_SISMO_X_TINF_Min	3.636E-05	dbee08-f976-400b-a1fb-df3395b0b799
44	891_ELU_SISMO_Y_TINF_Max	-1.048E-04	9c97f921-9aed-4c02-9099-e884a67d025b
44	891_ELU_SISMO_Y_TINF_Min	1.048E-04	33964e5a-733e-4554-98c0-4175e2c83216
44	891_ELU_SISMO_Z_TINF_Max	-4.428E-05	fb229f9a-5412-4de3-8265-ba67d3390b11
44	891_ELU_SISMO_Z_TINF_Min	4.428E-05	483db72a-b523-4449-9b8d-a35d7ba7abc0

Table: Load Case Definitions, Part 1 of 3

Table: Load Case Definitions, Part 1 of 3

Case	Type	InitialCond	ModalCase	BaseCase	MassSource	DesTypeOpt	DesignType
DEAD	LinStatic	Zero				Prog Det	Dead
MODAL	LinModal	Zero				Prog Det	Other
889_ELU_01_T0_Max	LinStatic	Zero				Prog Det	Dead
889_ELU_01_T0_Min	LinStatic	Zero				Prog Det	Dead
889_ELU_01_TINF_Max	LinStatic	Zero				Prog Det	Dead
889_ELU_01_TINF_Min	LinStatic	Zero				Prog Det	Dead
889_ELU_02_T0_Max	LinStatic	Zero				Prog Det	Dead

Table: Load Case Definitions, Part 1 of 3

Case	Type	InitialCond	ModalCase	BaseCase	MassSource	DesTypeOpt	DesignType
889_ELU_02 _T0_Min	LinStatic	Zero				Prog Det	Dead
889_ELU_02 _TINF_Max	LinStatic	Zero				Prog Det	Dead
889_ELU_02 _TINF_Min	LinStatic	Zero				Prog Det	Dead
889_ELU_03 _T0_Max	LinStatic	Zero				Prog Det	Dead
889_ELU_03 _T0_Min	LinStatic	Zero				Prog Det	Dead
889_ELU_03 _TINF_Max	LinStatic	Zero				Prog Det	Dead
889_ELU_03 _TINF_Min	LinStatic	Zero				Prog Det	Dead
889_ELU_SI SMO_X_T0_ Max	LinStatic	Zero				Prog Det	Dead
889_ELU_SI SMO_X_T0_ Min	LinStatic	Zero				Prog Det	Dead
889_ELU_SI SMO_Y_T0_ Max	LinStatic	Zero				Prog Det	Dead
889_ELU_SI SMO_Y_T0_ Min	LinStatic	Zero				Prog Det	Dead
889_ELU_SI SMO_Z_T0_ Max	LinStatic	Zero				Prog Det	Dead
889_ELU_SI SMO_Z_T0_ Min	LinStatic	Zero				Prog Det	Dead
889_ELU_SI SMO_X_TIN F_Max	LinStatic	Zero				Prog Det	Dead
889_ELU_SI SMO_X_TIN F_Min	LinStatic	Zero				Prog Det	Dead
889_ELU_SI SMO_Y_TIN F_Max	LinStatic	Zero				Prog Det	Dead
889_ELU_SI SMO_Y_TIN F_Min	LinStatic	Zero				Prog Det	Dead
889_ELU_SI SMO_Z_TIN F_Max	LinStatic	Zero				Prog Det	Dead
889_ELU_SI SMO_Z_TIN F_Min	LinStatic	Zero				Prog Det	Dead
891_ELU_01 _T0_Max	LinStatic	Zero				Prog Det	Dead
891_ELU_01 _T0_Min	LinStatic	Zero				Prog Det	Dead
891_ELU_01 _TINF_Max	LinStatic	Zero				Prog Det	Dead
891_ELU_01 _TINF_Min	LinStatic	Zero				Prog Det	Dead
891_ELU_02 _T0_Max	LinStatic	Zero				Prog Det	Dead

Table: Load Case Definitions, Part 1 of 3

Case	Type	InitialCond	ModalCase	BaseCase	MassSource	DesTypeOpt	DesignType
891_ELU_02 _T0_Min	LinStatic	Zero				Prog Det	Dead
891_ELU_02 _TINF_Max	LinStatic	Zero				Prog Det	Dead
891_ELU_02 _TINF_Min	LinStatic	Zero				Prog Det	Dead
891_ELU_03 _T0_Max	LinStatic	Zero				Prog Det	Dead
891_ELU_03 _T0_Min	LinStatic	Zero				Prog Det	Dead
891_ELU_03 _TINF_Max	LinStatic	Zero				Prog Det	Dead
891_ELU_03 _TINF_Min	LinStatic	Zero				Prog Det	Dead
891_ELU_SI SMO_X_T0_ Max	LinStatic	Zero				Prog Det	Dead
891_ELU_SI SMO_X_T0_ Min	LinStatic	Zero				Prog Det	Dead
891_ELU_SI SMO_Y_T0_ Max	LinStatic	Zero				Prog Det	Dead
891_ELU_SI SMO_Y_T0_ Min	LinStatic	Zero				Prog Det	Dead
891_ELU_SI SMO_Z_T0_ Max	LinStatic	Zero				Prog Det	Dead
891_ELU_SI SMO_Z_T0_ Min	LinStatic	Zero				Prog Det	Dead
891_ELU_SI SMO_X_TIN F_Max	LinStatic	Zero				Prog Det	Dead
891_ELU_SI SMO_X_TIN F_Min	LinStatic	Zero				Prog Det	Dead
891_ELU_SI SMO_Y_TIN F_Max	LinStatic	Zero				Prog Det	Dead
891_ELU_SI SMO_Y_TIN F_Min	LinStatic	Zero				Prog Det	Dead
891_ELU_SI SMO_Z_TIN F_Max	LinStatic	Zero				Prog Det	Dead
891_ELU_SI SMO_Z_TIN F_Min	LinStatic	Zero				Prog Det	Dead

Table: Load Case Definitions, Part 2 of 3

Table: Load Case Definitions, Part 2 of 3

Case	DesActOpt	DesignAct	AutoType	RunCase	CaseStatus	GUID
DEAD	Prog Det	Non-Composite	None	Yes	Finished	
MODAL	Prog Det	Other	None	Yes	Finished	



Table: Load Case Definitions, Part 2 of 3

Case	DesActOpt	DesignAct	AutoType	RunCase	CaseStatus	GUID
889_ELU_01 _T0_Max	Prog Det	Non-Compos ite	None	Yes	Finished	
889_ELU_01 _T0_Min	Prog Det	Non-Compos ite	None	Yes	Finished	
889_ELU_01 _TINF_Max	Prog Det	Non-Compos ite	None	Yes	Finished	
889_ELU_01 _TINF_Min	Prog Det	Non-Compos ite	None	Yes	Finished	
889_ELU_02 _T0_Max	Prog Det	Non-Compos ite	None	Yes	Finished	
889_ELU_02 _T0_Min	Prog Det	Non-Compos ite	None	Yes	Finished	
889_ELU_02 _TINF_Max	Prog Det	Non-Compos ite	None	Yes	Finished	
889_ELU_02 _TINF_Min	Prog Det	Non-Compos ite	None	Yes	Finished	
889_ELU_03 _T0_Max	Prog Det	Non-Compos ite	None	Yes	Finished	
889_ELU_03 _T0_Min	Prog Det	Non-Compos ite	None	Yes	Finished	
889_ELU_03 _TINF_Max	Prog Det	Non-Compos ite	None	Yes	Finished	
889_ELU_03 _TINF_Min	Prog Det	Non-Compos ite	None	Yes	Finished	
889_ELU_SI SMO_X_T0_ Max	Prog Det	Non-Compos ite	None	Yes	Finished	
889_ELU_SI SMO_X_T0_ Min	Prog Det	Non-Compos ite	None	Yes	Finished	
889_ELU_SI SMO_Y_T0_ Max	Prog Det	Non-Compos ite	None	Yes	Finished	
889_ELU_SI SMO_Y_T0_ Min	Prog Det	Non-Compos ite	None	Yes	Finished	
889_ELU_SI SMO_Z_T0_ Max	Prog Det	Non-Compos ite	None	Yes	Finished	
889_ELU_SI SMO_Z_T0_ Min	Prog Det	Non-Compos ite	None	Yes	Finished	
889_ELU_SI SMO_X_TIN F_Max	Prog Det	Non-Compos ite	None	Yes	Finished	
889_ELU_SI SMO_X_TIN F_Min	Prog Det	Non-Compos ite	None	Yes	Finished	
889_ELU_SI SMO_Y_TIN F_Max	Prog Det	Non-Compos ite	None	Yes	Finished	
889_ELU_SI SMO_Y_TIN F_Min	Prog Det	Non-Compos ite	None	Yes	Finished	
889_ELU_SI SMO_Z_TIN F_Max	Prog Det	Non-Compos ite	None	Yes	Finished	
889_ELU_SI SMO_Z_TIN F_Min	Prog Det	Non-Compos ite	None	Yes	Finished	

Table: Load Case Definitions, Part 2 of 3

Case	DesActOpt	DesignAct	AutoType	RunCase	CaseStatus	GUID
891_ELU_01 _T0_Max	Prog Det	Non-Compos ite	None	Yes	Finished	
891_ELU_01 _T0_Min	Prog Det	Non-Compos ite	None	Yes	Finished	
891_ELU_01 _TINF_Max	Prog Det	Non-Compos ite	None	Yes	Finished	
891_ELU_01 _TINF_Min	Prog Det	Non-Compos ite	None	Yes	Finished	
891_ELU_02 _T0_Max	Prog Det	Non-Compos ite	None	Yes	Finished	
891_ELU_02 _T0_Min	Prog Det	Non-Compos ite	None	Yes	Finished	
891_ELU_02 _TINF_Max	Prog Det	Non-Compos ite	None	Yes	Finished	
891_ELU_02 _TINF_Min	Prog Det	Non-Compos ite	None	Yes	Finished	
891_ELU_03 _T0_Max	Prog Det	Non-Compos ite	None	Yes	Finished	
891_ELU_03 _T0_Min	Prog Det	Non-Compos ite	None	Yes	Finished	
891_ELU_03 _TINF_Max	Prog Det	Non-Compos ite	None	Yes	Finished	
891_ELU_03 _TINF_Min	Prog Det	Non-Compos ite	None	Yes	Finished	
891_ELU_SI SMO_X_T0_ Max	Prog Det	Non-Compos ite	None	Yes	Finished	
891_ELU_SI SMO_X_T0_ Min	Prog Det	Non-Compos ite	None	Yes	Finished	
891_ELU_SI SMO_Y_T0_ Max	Prog Det	Non-Compos ite	None	Yes	Finished	
891_ELU_SI SMO_Y_T0_ Min	Prog Det	Non-Compos ite	None	Yes	Finished	
891_ELU_SI SMO_Z_T0_ Max	Prog Det	Non-Compos ite	None	Yes	Finished	
891_ELU_SI SMO_Z_T0_ Min	Prog Det	Non-Compos ite	None	Yes	Finished	
891_ELU_SI SMO_X_TIN F_Max	Prog Det	Non-Compos ite	None	Yes	Finished	
891_ELU_SI SMO_X_TIN F_Min	Prog Det	Non-Compos ite	None	Yes	Finished	
891_ELU_SI SMO_Y_TIN F_Max	Prog Det	Non-Compos ite	None	Yes	Finished	
891_ELU_SI SMO_Y_TIN F_Min	Prog Det	Non-Compos ite	None	Yes	Finished	
891_ELU_SI SMO_Z_TIN F_Max	Prog Det	Non-Compos ite	None	Yes	Finished	
891_ELU_SI SMO_Z_TIN F_Min	Prog Det	Non-Compos ite	None	Yes	Finished	

**Table: Load Case Definitions, Part 3 of 3****Table: Load Case Definitions, Part 3 of 3**

Case	Notes
DEAD	
MODAL	
889_ELU_01	
_T0_Max	
889_ELU_01	
_T0_Min	
889_ELU_01	
_TINF_Max	
889_ELU_01	
_TINF_Min	
889_ELU_02	
_T0_Max	
889_ELU_02	
_T0_Min	
889_ELU_02	
_TINF_Max	
889_ELU_02	
_TINF_Min	
889_ELU_03	
_T0_Max	
889_ELU_03	
_T0_Min	
889_ELU_03	
_TINF_Max	
889_ELU_03	
_TINF_Min	
889_ELU_SI	
SMO_X_T0_	
Max	
889_ELU_SI	
SMO_X_T0_	
Min	
889_ELU_SI	
SMO_Y_T0_	
Max	
889_ELU_SI	
SMO_Y_T0_	
Min	
889_ELU_SI	
SMO_Z_T0_	
Max	
889_ELU_SI	
SMO_Z_T0_	
Min	
889_ELU_SI	
SMO_X_TIN	
F_Max	
889_ELU_SI	
SMO_X_TIN	
F_Min	
889_ELU_SI	
SMO_Y_TIN	
F_Max	
889_ELU_SI	
SMO_Y_TIN	
F_Min	

Table: Load Case Definitions, Part 3 of 3

Case	Notes
889_ELU_SI SMO_Z_TIN F_Max	
889_ELU_SI SMO_Z_TIN F_Min	
891_ELU_01 _T0_Max	
891_ELU_01 _T0_Min	
891_ELU_01 _TINF_Max	
891_ELU_01 _TINF_Min	
891_ELU_02 _T0_Max	
891_ELU_02 _T0_Min	
891_ELU_02 _TINF_Max	
891_ELU_02 _TINF_Min	
891_ELU_03 _T0_Max	
891_ELU_03 _T0_Min	
891_ELU_03 _TINF_Max	
891_ELU_03 _TINF_Min	
891_ELU_SI SMO_X_T0_ Max	
891_ELU_SI SMO_X_T0_ Min	
891_ELU_SI SMO_Y_T0_ Max	
891_ELU_SI SMO_Y_T0_ Min	
891_ELU_SI SMO_Z_T0_ Max	
891_ELU_SI SMO_Z_T0_ Min	
891_ELU_SI SMO_X_TIN F_Max	
891_ELU_SI SMO_X_TIN F_Min	
891_ELU_SI SMO_Y_TIN F_Max	
891_ELU_SI SMO_Y_TIN F_Min	

Table: Load Case Definitions, Part 3 of 3

Case	Notes
891_ELU_SI SMO_Z_TIN F_Max	
891_ELU_SI SMO_Z_TIN F_Min	

Table: Load Pattern Definitions

Table: Load Pattern Definitions

LoadPat	DesignType	SelfWtMult	AutoLoad	GUID	Notes
DEAD	Dead	1.		a15c2ef6-cbda-447f-962 0-d4140be12a27	
889_ELU_01_T0_Max	Dead	0.		299ce17f-749c-4a30-892 f-896b91cc1adc	
889_ELU_01_T0_Min	Dead	0.			
889_ELU_01_TINF_Max	Dead	0.			
889_ELU_01_TINF_Min	Dead	0.			
889_ELU_02_T0_Max	Dead	0.			
889_ELU_02_T0_Min	Dead	0.			
889_ELU_02_TINF_Max	Dead	0.			
889_ELU_02_TINF_Min	Dead	0.			
889_ELU_03_T0_Max	Dead	0.			
889_ELU_03_T0_Min	Dead	0.			
889_ELU_03_TINF_Max	Dead	0.			
889_ELU_03_TINF_Min	Dead	0.			
889_ELU_SISMO_X _T0_Max	Dead	0.			
889_ELU_SISMO_X _T0_Min	Dead	0.			
889_ELU_SISMO_Y _T0_Max	Dead	0.			
889_ELU_SISMO_Y _T0_Min	Dead	0.			
889_ELU_SISMO_Z _T0_Max	Dead	0.			
889_ELU_SISMO_Z _T0_Min	Dead	0.			
889_ELU_SISMO_X _TINF_Max	Dead	0.			
889_ELU_SISMO_X _TINF_Min	Dead	0.			
889_ELU_SISMO_Y _TINF_Max	Dead	0.			
889_ELU_SISMO_Y _TINF_Min	Dead	0.			

Table: Load Pattern Definitions

LoadPat	DesignType	SelfWtMult	AutoLoad	GUID	Notes
889_ELU_SISMO_Z _TINF_Max	Dead	0.			
889_ELU_SISMO_Z _TINF_Min	Dead	0.			
891_ELU_01_T0_Ma x	Dead	0.			
891_ELU_01_T0_Mi n	Dead	0.			
891_ELU_01_TINF_ Max	Dead	0.			
891_ELU_01_TINF_ Min	Dead	0.			
891_ELU_02_T0_Ma x	Dead	0.			
891_ELU_02_T0_Mi n	Dead	0.			
891_ELU_02_TINF_ Max	Dead	0.			
891_ELU_02_TINF_ Min	Dead	0.			
891_ELU_03_T0_Ma x	Dead	0.			
891_ELU_03_T0_Mi n	Dead	0.			
891_ELU_03_TINF_ Max	Dead	0.			
891_ELU_03_TINF_ Min	Dead	0.			
891_ELU_SISMO_X _T0_Max	Dead	0.			
891_ELU_SISMO_X _T0_Min	Dead	0.			
891_ELU_SISMO_Y _T0_Max	Dead	0.			
891_ELU_SISMO_Y _T0_Min	Dead	0.			
891_ELU_SISMO_Z _T0_Max	Dead	0.			
891_ELU_SISMO_Z _T0_Min	Dead	0.			
891_ELU_SISMO_X _TINF_Max	Dead	0.			
891_ELU_SISMO_X _TINF_Min	Dead	0.			
891_ELU_SISMO_Y _TINF_Max	Dead	0.			
891_ELU_SISMO_Y _TINF_Min	Dead	0.			
891_ELU_SISMO_Z _TINF_Max	Dead	0.			
891_ELU_SISMO_Z _TINF_Min	Dead	0.			

**Table: Material Properties 01 - General, Part 1 of 2****Table: Material Properties 01 - General, Part 1 of 2**

Material	Type	SymType	TempDepen d	Color	GUID
A615Gr60	Rebar	Uniaxial	No	Blue	
A992Fy50	Steel	Isotropic	No	Blue	
HORMIGÓN	Concrete	Isotropic	No	Green	

**Table: Material Properties 01 - General, Part 2 of 2****Table: Material Properties 01 - General, Part 2 of 2**

Material	Notes
A615Gr60	ASTM A615 Grade 60 09/01/2017 16:59:19
A992Fy50	ASTM A992 Grade 50 09/01/2017 16:56:34
HORMIGÓN	Customary f'c 4000 psi 09/01/2017 16:56:34

**Table: Material Properties 02 - Basic Mechanical Properties****Table: Material Properties 02 - Basic Mechanical Properties**

Material	UnitWeight KN/m3	UnitMass KN-s2/m4	E1 KN/m2	G12 KN/m2	U12	A1 1/C
A615Gr60	7.6973E+01	7.8490E+00	199947978.8			1.1700E-05
A992Fy50	7.6973E+01	7.8490E+00	199947978.8	76903068.77	0.3	1.1700E-05
HORMIGÓN	2.3563E+01	2.4028E+00	28576790.96	11906996.23	0.2	9.9000E-06

**Table: Material Properties 03b - Concrete Data, Part 1 of 2****Table: Material Properties 03b - Concrete Data, Part 1 of 2**

Material	Fc KN/m2	eFc KN/m2	LtWtConc	SSCurveOpt	SSHysType	SFc	SCap	FinalSlope
HORMIGÓN	30000.	30000.	No	Mander	Takeda	0.002219	0.005	-0.1

**Table: Material Properties 03b - Concrete Data, Part 2 of 2****Table: Material Properties 03b - Concrete Data, Part 2 of 2**

Material	FAngle Degrees	DAngle Degrees
HORMIGÓN	0.	0.

## PASARELA UCA. MICROPILOTES ESTRIBOS

### MICROPILOTES: COMPROBACIÓN ESTRUCTURAL EN SECCIÓN MAS SOLICITADA

SE PLANTEA EL SIGUIENTE CRITERIO DE INTERACCIÓN DE ESFUERZOS

$$M_d/M_{rd} + N_d/N_{rd} < 1 \text{ y } V_d < 0.5 \cdot V_{rd} \cdot (1 - N_d/N_{rd})$$

El que se cumpla la condición anterior es suficiente para que el punto quede dentro del diagrama de interacción representado en el artículo 6.3.6.5 de la RPX-95

#### Esfuerzos resistentes (según características micro)

Nrd (kN)	466.8	kN
Mrd	21.1	kN*m
Vrd	304.7	kN

VERDADERO VERDADERO

ESTRIBO	FRAME	OutputCase	CaseType	Nd	Vd	Md	Cumple 1	Cumple 2
Text	Text	Text	Text	KN	KN	KN-m		
1Y2	17	ELU_01_T0_Max	Combination	228.7	6.1	7.2	VERDADERO	VERDADERO
1Y2	17	ELU_01_T0_Max	Combination	166.2	6.8	8.1	VERDADERO	VERDADERO
1Y2	17	ELU_01_T0_Max	Combination	224.9	6.3	7.3	VERDADERO	VERDADERO
1Y2	17	ELU_01_T0_Max	Combination	162.4	6.9	8.2	VERDADERO	VERDADERO
1Y2	17	ELU_01_T0_Max	Combination	231.5	12.1	10.6	VERDADERO	VERDADERO
1Y2	17	ELU_01_T0_Max	Combination	199.6	12.6	11.2	VERDADERO	VERDADERO
1Y2	17	ELU_01_T0_Max	Combination	227.7	12.2	10.7	VERDADERO	VERDADERO
1Y2	17	ELU_01_T0_Max	Combination	195.9	12.7	11.2	VERDADERO	VERDADERO
1Y2	17	ELU_01_T0_Max	Combination	203.0	6.5	7.7	VERDADERO	VERDADERO
1Y2	17	ELU_01_T0_Max	Combination	163.5	6.8	8.1	VERDADERO	VERDADERO
1Y2	17	ELU_01_T0_Max	Combination	199.2	6.6	7.8	VERDADERO	VERDADERO
1Y2	17	ELU_01_T0_Max	Combination	159.7	6.9	8.2	VERDADERO	VERDADERO
1Y2	17	ELU_01_T0_Max	Combination	123.5	4.9	5.8	VERDADERO	VERDADERO
1Y2	17	ELU_01_T0_Max	Combination	118.5	4.8	5.8	VERDADERO	VERDADERO
1Y2	17	ELU_01_T0_Max	Combination	128.4	8.1	10.2	VERDADERO	VERDADERO
1Y2	17	ELU_01_T0_Max	Combination	113.7	8.0	10.1	VERDADERO	VERDADERO
1Y2	17	ELU_01_T0_Max	Combination	123.8	4.9	5.8	VERDADERO	VERDADERO
1Y2	17	ELU_01_T0_Max	Combination	118.2	4.8	5.8	VERDADERO	VERDADERO
1Y2	17	ELU_01_T0_Max	Combination	120.7	5.0	5.9	VERDADERO	VERDADERO
1Y2	17	ELU_01_T0_Max	Combination	115.7	4.9	5.9	VERDADERO	VERDADERO
1Y2	17	ELU_01_T0_Max	Combination	125.6	8.1	10.2	VERDADERO	VERDADERO
1Y2	17	ELU_01_T0_Max	Combination	110.9	8.0	10.1	VERDADERO	VERDADERO
1Y2	17	ELU_01_T0_Max	Combination	121.0	5.0	5.9	VERDADERO	VERDADERO
1Y2	17	ELU_01_T0_Max	Combination	115.4	4.9	5.9	VERDADERO	VERDADERO
1Y2	17	ELU_01_T0_Max	Combination	111.7	6.7	7.9	VERDADERO	VERDADERO
1Y2	17	ELU_01_T0_Max	Combination	122.7	7.1	8.6	VERDADERO	VERDADERO
1Y2	17	ELU_01_T0_Max	Combination	128.3	6.8	8.0	VERDADERO	VERDADERO
1Y2	17	ELU_01_T0_Max	Combination	136.0	7.3	8.6	VERDADERO	VERDADERO
1Y2	17	ELU_01_T0_Min	Combination	147.7	12.7	15.6	VERDADERO	VERDADERO
1Y2	17	ELU_01_T0_Min	Combination	144.9	13.2	16.3	VERDADERO	VERDADERO
1Y2	17	ELU_01_T0_Min	Combination	134.3	12.8	15.7	VERDADERO	VERDADERO
1Y2	17	ELU_01_T0_Min	Combination	11.5	13.3	16.4	VERDADERO	VERDADERO
1Y2	17	ELU_01_T0_Min	Combination	115.1	6.9	8.2	VERDADERO	VERDADERO
1Y2	17	ELU_01_T0_Min	Combination	125.5	7.1	8.5	VERDADERO	VERDADERO
1Y2	17	ELU_01_T0_Min	Combination	11.8	7.1	8.3	VERDADERO	VERDADERO
1Y2	17	ELU_01_T0_Min	Combination	138.8	7.3	8.6	VERDADERO	VERDADERO
1Y2	17	ELU_01_T0_Min	Combination	116.9	5.3	6.4	VERDADERO	VERDADERO
1Y2	17	ELU_01_T0_Min	Combination	123.2	5.2	6.3	VERDADERO	VERDADERO
1Y2	17	ELU_01_T0_Min	Combination	110.2	9.6	12.2	VERDADERO	VERDADERO
1Y2	17	ELU_01_T0_Min	Combination	129.9	9.5	12.1	VERDADERO	VERDADERO



## PASARELA UCA. MICROPILOTES ESTRIBOS

### MICROPILOTES: COMPROBACIÓN ESTRUCTURAL EN SECCIÓN MAS SOLICITADA

SE PLANTEA EL SIGUIENTE CRITERIO DE INTERACCIÓN DE ESFUERZOS

$$M_d/M_{rd} + N_d/N_{rd} < 1 \text{ y } V_d < 0.5 \cdot V_{rd} \cdot (1 - N_d/N_{rd})$$

El que se cumpla la condición anterior es suficiente para que el punto quede dentro del diagrama de interacción representado en el artículo 6.3.6.5 de la RPX-95

#### Esfuerzos resistentes (según características micro)

Nrd (kN)	466.8	kN
Mrd	21.1	kN*m
Vrd	304.7	kN

VERDADERO VERDADERO

ESTRIBO	FRAME	OutputCase	CaseType	Nd	Vd	Md	Cumple 1	Cumple 2
Text	Text	Text	Text	KN	KN	KN-m		
1Y2	17	ELU_01_T0_Min	Combination	16.7	5.3	6.4	VERDADERO	VERDADERO
1Y2	17	ELU_01_T0_Min	Combination	23.4	5.2	6.3	VERDADERO	VERDADERO
1Y2	17	ELU_01_T0_Min	Combination	26.7	5.4	6.4	VERDADERO	VERDADERO
1Y2	17	ELU_01_T0_Min	Combination	33.1	5.3	6.4	VERDADERO	VERDADERO
1Y2	17	ELU_01_T0_Min	Combination	20.1	9.6	12.2	VERDADERO	VERDADERO
1Y2	17	ELU_01_T0_Min	Combination	39.8	9.5	12.1	VERDADERO	VERDADERO
1Y2	17	ELU_01_T0_Min	Combination	26.6	5.4	6.4	VERDADERO	VERDADERO
1Y2	17	ELU_01_T0_Min	Combination	33.3	5.3	6.4	VERDADERO	VERDADERO
1Y2	25	ELU_01_T0_Min	Combination	70.7	6.3	7.4	VERDADERO	VERDADERO
1Y2	25	ELU_01_T0_Min	Combination	39.3	6.9	8.3	VERDADERO	VERDADERO
1Y2	25	ELU_01_T0_Min	Combination	66.9	6.5	7.6	VERDADERO	VERDADERO
1Y2	25	ELU_01_T0_Min	Combination	35.5	7.1	8.4	VERDADERO	VERDADERO
1Y2	25	ELU_01_T0_Min	Combination	29.4	12.4	15.2	VERDADERO	VERDADERO
1Y2	25	ELU_01_T0_Min	Combination	10.1	12.8	15.8	VERDADERO	VERDADERO
1Y2	25	ELU_01_T0_Min	Combination	25.7	12.5	15.3	VERDADERO	VERDADERO
1Y2	25	ELU_01_T0_Min	Combination	106.3	12.9	15.9	VERDADERO	VERDADERO
1Y2	25	ELU_01_TINF_M	Combination	63.7	6.6	7.9	VERDADERO	VERDADERO
1Y2	25	ELU_01_TINF_M	Combination	36.6	6.9	8.3	VERDADERO	VERDADERO
1Y2	25	ELU_01_TINF_M	Combination	59.9	6.8	8.0	VERDADERO	VERDADERO
1Y2	25	ELU_01_TINF_M	Combination	32.9	7.1	8.4	VERDADERO	VERDADERO
1Y2	25	ELU_01_TINF_M	Combination	19.3	4.8	5.8	VERDADERO	VERDADERO
1Y2	25	ELU_01_TINF_M	Combination	22.8	4.9	5.8	VERDADERO	VERDADERO
1Y2	25	ELU_01_TINF_M	Combination	14.2	8.0	10.1	VERDADERO	VERDADERO
1Y2	25	ELU_01_TINF_M	Combination	27.9	8.1	10.2	VERDADERO	VERDADERO
1Y2	25	ELU_01_TINF_M	Combination	19.5	4.8	5.8	VERDADERO	VERDADERO
1Y2	25	ELU_01_TINF_M	Combination	22.5	4.9	5.8	VERDADERO	VERDADERO
1Y2	25	ELU_01_TINF_M	Combination	16.5	4.9	5.9	VERDADERO	VERDADERO
1Y2	25	ELU_01_TINF_M	Combination	20.0	5.0	5.9	VERDADERO	VERDADERO
1Y2	25	ELU_01_TINF_M	Combination	11.4	8.0	10.1	VERDADERO	VERDADERO
1Y2	25	ELU_01_TINF_M	Combination	25.1	8.1	10.2	VERDADERO	VERDADERO
1Y2	25	ELU_01_TINF_M	Combination	16.7	4.9	5.9	VERDADERO	VERDADERO
1Y2	25	ELU_01_TINF_M	Combination	19.7	5.0	5.9	VERDADERO	VERDADERO
1Y2	25	ELU_01_TINF_M	Combination	22.9	6.6	7.8	VERDADERO	VERDADERO
1Y2	25	ELU_01_TINF_M	Combination	53.1	7.1	8.5	VERDADERO	VERDADERO
1Y2	25	ELU_01_TINF_M	Combination	36.3	6.8	7.9	VERDADERO	VERDADERO
1Y2	25	ELU_01_TINF_M	Combination	66.5	7.3	8.6	VERDADERO	VERDADERO
1Y2	25	ELU_01_TINF_M	Combination	67.3	12.8	15.6	VERDADERO	VERDADERO
1Y2	25	ELU_01_TINF_M	Combination	86.5	13.2	16.3	VERDADERO	VERDADERO
1Y2	25	ELU_01_TINF_M	Combination	80.7	12.8	15.7	VERDADERO	VERDADERO
1Y2	25	ELU_01_TINF_M	Combination	99.8	13.3	16.3	VERDADERO	VERDADERO

## PASARELA UCA. MICROPILOTES ESTRIBOS

### MICROPILOTES: COMPROBACIÓN ESTRUCTURAL EN SECCIÓN MAS SOLICITADA

SE PLANTEA EL SIGUIENTE CRITERIO DE INTERACCIÓN DE ESFUERZOS

$$M_d/M_{rd} + N_d/N_{rd} < 1 \text{ y } V_d < 0.5 \cdot V_{rd} \cdot (1 - N_d/N_{rd})$$

El que se cumpla la condición anterior es suficiente para que el punto quede dentro del diagrama de interacción representado en el artículo 6.3.6.5 de la RPX-95

#### Esfuerzos resistentes (según características micro)

Nrd (kN)	466.8	kN
Mrd	21.1	kN*m
Vrd	304.7	kN

VERDADERO VERDADERO

ESTRIBO	FRAME	OutputCase	CaseType	Nd	Vd	Md	Cumple 1	Cumple 2
Text	Text	Text	Text	KN	KN	KN-m		
1Y2	25	ELU_01_TINF_M	Combination	28.9	6.9	8.2	VERDADERO	VERDADERO
1Y2	25	ELU_01_TINF_M	Combination	55.9	7.1	8.5	VERDADERO	VERDADERO
1Y2	25	ELU_01_TINF_M	Combination	42.3	7.1	8.3	VERDADERO	VERDADERO
1Y2	25	ELU_01_TINF_M	Combination	69.3	7.2	8.6	VERDADERO	VERDADERO
1Y2	25	ELU_01_TINF_M	Combination	22.6	5.2	6.3	VERDADERO	VERDADERO
1Y2	25	ELU_01_TINF_M	Combination	17.4	5.3	6.4	VERDADERO	VERDADERO
1Y2	25	ELU_01_TINF_M	Combination	29.5	9.5	12.1	VERDADERO	VERDADERO
1Y2	25	ELU_01_TINF_M	Combination	10.6	9.6	12.2	VERDADERO	VERDADERO
1Y2	25	ELU_01_TINF_M	Combination	22.5	5.2	6.3	VERDADERO	VERDADERO
1Y2	25	ELU_01_TINF_M	Combination	17.6	5.3	6.4	VERDADERO	VERDADERO
1Y2	25	ELU_01_TINF_M	Combination	32.5	5.3	6.4	VERDADERO	VERDADERO
1Y2	25	ELU_01_TINF_M	Combination	27.3	5.4	6.4	VERDADERO	VERDADERO
1Y2	25	ELU_01_TINF_M	Combination	39.4	9.5	12.1	VERDADERO	VERDADERO
1Y2	25	ELU_01_TINF_M	Combination	20.5	9.6	12.2	VERDADERO	VERDADERO
1Y2	25	ELU_01_TINF_M	Combination	32.4	5.3	6.4	VERDADERO	VERDADERO
1Y2	25	ELU_01_TINF_M	Combination	27.5	5.4	6.4	VERDADERO	VERDADERO
1Y2	27	ELU_01_TINF_M	Combination	40.9	6.7	7.9	VERDADERO	VERDADERO
1Y2	27	ELU_01_TINF_M	Combination	21.6	7.1	8.5	VERDADERO	VERDADERO
1Y2	27	ELU_01_TINF_M	Combination	27.5	6.8	8.0	VERDADERO	VERDADERO
1Y2	27	ELU_01_TINF_M	Combination	35.0	7.2	8.5	VERDADERO	VERDADERO
1Y2	27	ELU_01_TINF_M	Combination	43.7	12.4	15.2	VERDADERO	VERDADERO
1Y2	27	ELU_01_TINF_M	Combination	11.8	12.8	15.8	VERDADERO	VERDADERO
1Y2	27	ELU_01_TINF_M	Combination	30.3	12.5	15.3	VERDADERO	VERDADERO
1Y2	27	ELU_01_TINF_M	Combination	1.5	12.9	15.9	VERDADERO	VERDADERO
1Y2	27	ELU_01_TINF_M	Combination	15.2	6.9	8.2	VERDADERO	VERDADERO
1Y2	27	ELU_01_TINF_M	Combination	24.3	7.1	8.5	VERDADERO	VERDADERO
1Y2	27	ELU_01_TINF_M	Combination	1.8	7.0	8.3	VERDADERO	VERDADERO
1Y2	27	ELU_01_TINF_M	Combination	37.6	7.2	8.5	VERDADERO	VERDADERO
1Y2	27	ELU_01_TINF_M	Combination	15.6	5.1	6.1	VERDADERO	VERDADERO
1Y2	27	ELU_01_TINF_M	Combination	20.6	5.0	6.0	VERDADERO	VERDADERO
1Y2	27	ELU_01_TINF_M	Combination	10.8	8.2	10.3	VERDADERO	VERDADERO
1Y2	27	ELU_01_TINF_M	Combination	25.4	8.1	10.2	VERDADERO	VERDADERO
1Y2	27	ELU_02_TO_Max	Combination	15.3	5.1	6.1	VERDADERO	VERDADERO
1Y2	27	ELU_02_TO_Max	Combination	20.9	5.0	6.0	VERDADERO	VERDADERO
1Y2	27	ELU_02_TO_Max	Combination	25.5	5.2	6.1	VERDADERO	VERDADERO
1Y2	27	ELU_02_TO_Max	Combination	30.5	5.1	6.1	VERDADERO	VERDADERO
1Y2	27	ELU_02_TO_Max	Combination	20.7	8.2	10.4	VERDADERO	VERDADERO
1Y2	27	ELU_02_TO_Max	Combination	35.3	8.2	10.3	VERDADERO	VERDADERO
1Y2	27	ELU_02_TO_Max	Combination	25.2	5.2	6.1	VERDADERO	VERDADERO
1Y2	27	ELU_02_TO_Max	Combination	30.8	5.1	6.1	VERDADERO	VERDADERO

## PASARELA UCA. MICROPILOTES ESTRIBOS

### MICROPILOTES: COMPROBACIÓN ESTRUCTURAL EN SECCIÓN MAS SOLICITADA

SE PLANTEA EL SIGUIENTE CRITERIO DE INTERACCIÓN DE ESFUERZOS

$$M_d/M_{rd} + N_d/N_{rd} < 1 \text{ y } V_d < 0.5 \cdot V_{rd} \cdot (1 - N_d/N_{rd})$$

El que se cumpla la condición anterior es suficiente para que el punto quede dentro del diagrama de interacción representado en el artículo 6.3.6.5 de la RPX-95

#### Esfuerzos resistentes (según características micro)

Nrd (kN)	466.8	kN
Mrd	21.1	kN*m
Vrd	304.7	kN

VERDADERO VERDADERO

ESTRIBO	FRAME	OutputCase	CaseType	Nd	Vd	Md	Cumple 1	Cumple 2
Text	Text	Text	Text	KN	KN	KN-m		
1Y2	27	ELU_02_T0_Max	Combination	229.5	6.1	7.2	VERDADERO	VERDADERO
1Y2	27	ELU_02_T0_Max	Combination	165.1	6.9	8.2	VERDADERO	VERDADERO
1Y2	27	ELU_02_T0_Max	Combination	225.7	6.3	7.3	VERDADERO	VERDADERO
1Y2	27	ELU_02_T0_Max	Combination	161.4	7.0	8.3	VERDADERO	VERDADERO
1Y2	27	ELU_02_T0_Max	Combination	235.5	12.4	10.4	VERDADERO	VERDADERO
1Y2	27	ELU_02_T0_Max	Combination	202.7	13.0	11.2	VERDADERO	VERDADERO
1Y2	27	ELU_02_T0_Max	Combination	231.7	12.5	10.5	VERDADERO	VERDADERO
1Y2	27	ELU_02_T0_Max	Combination	198.9	13.1	11.2	VERDADERO	VERDADERO
1Y2	27	ELU_02_T0_Max	Combination	202.9	6.5	7.7	VERDADERO	VERDADERO
1Y2	27	ELU_02_T0_Max	Combination	162.3	6.9	8.2	VERDADERO	VERDADERO
1Y2	27	ELU_02_T0_Max	Combination	199.2	6.7	7.8	VERDADERO	VERDADERO
1Y2	27	ELU_02_T0_Max	Combination	158.5	7.0	8.3	VERDADERO	VERDADERO
1Y2	27	ELU_02_T0_Max	Combination	122.3	5.1	6.2	VERDADERO	VERDADERO
1Y2	27	ELU_02_T0_Max	Combination	115.9	5.0	6.1	VERDADERO	VERDADERO
1Y2	27	ELU_02_T0_Max	Combination	128.9	9.5	12.1	VERDADERO	VERDADERO
1Y2	27	ELU_02_T0_Max	Combination	109.2	9.4	11.9	VERDADERO	VERDADERO
1Y2	27	ELU_02_T0_Max	Combination	122.4	5.1	6.2	VERDADERO	VERDADERO
1Y2	27	ELU_02_T0_Max	Combination	115.7	5.0	6.1	VERDADERO	VERDADERO
1Y2	27	ELU_02_T0_Max	Combination	119.5	5.2	6.2	VERDADERO	VERDADERO
1Y2	27	ELU_02_T0_Max	Combination	113.1	5.2	6.2	VERDADERO	VERDADERO
1Y2	27	ELU_02_T0_Min	Combination	126.1	9.5	12.1	VERDADERO	VERDADERO
1Y2	27	ELU_02_T0_Min	Combination	106.4	9.4	12.0	VERDADERO	VERDADERO
1Y2	27	ELU_02_T0_Min	Combination	119.6	5.2	6.2	VERDADERO	VERDADERO
1Y2	27	ELU_02_T0_Min	Combination	112.9	5.2	6.2	VERDADERO	VERDADERO
1Y2	29	ELU_02_T0_Min	Combination	117.1	6.6	7.8	VERDADERO	VERDADERO
1Y2	29	ELU_02_T0_Min	Combination	148.5	7.1	8.5	VERDADERO	VERDADERO
1Y2	29	ELU_02_T0_Min	Combination	130.5	6.8	7.9	VERDADERO	VERDADERO
1Y2	29	ELU_02_T0_Min	Combination	161.9	7.2	8.5	VERDADERO	VERDADERO
1Y2	29	ELU_02_T0_Min	Combination	158.4	12.4	15.3	VERDADERO	VERDADERO
1Y2	29	ELU_02_T0_Min	Combination	177.7	12.8	15.8	VERDADERO	VERDADERO
1Y2	29	ELU_02_T0_Min	Combination	171.7	12.5	15.3	VERDADERO	VERDADERO
1Y2	29	ELU_02_T0_Min	Combination	191.1	12.9	15.9	VERDADERO	VERDADERO
1Y2	29	ELU_02_T0_Min	Combination	124.1	6.9	8.2	VERDADERO	VERDADERO
1Y2	29	ELU_02_T0_Min	Combination	151.2	7.1	8.5	VERDADERO	VERDADERO
1Y2	29	ELU_02_T0_Min	Combination	137.5	7.0	8.3	VERDADERO	VERDADERO
1Y2	29	ELU_02_T0_Min	Combination	164.5	7.2	8.5	VERDADERO	VERDADERO
1Y2	29	ELU_02_T0_Min	Combination	119.8	5.0	6.0	VERDADERO	VERDADERO
1Y2	29	ELU_02_T0_Min	Combination	116.3	5.1	6.1	VERDADERO	VERDADERO
1Y2	29	ELU_02_T0_Min	Combination	125.0	8.1	10.2	VERDADERO	VERDADERO
1Y2	29	ELU_02_T0_Min	Combination	111.2	8.2	10.3	VERDADERO	VERDADERO

## PASARELA UCA. MICROPILOTES ESTRIBOS

### MICROPILOTES: COMPROBACIÓN ESTRUCTURAL EN SECCIÓN MAS SOLICITADA

SE PLANTEA EL SIGUIENTE CRITERIO DE INTERACCIÓN DE ESFUERZOS

$$Md/Mrd + Nd/Nrd < 1 \text{ y } Vd < 0.5 \cdot Vrd \cdot (1 - Nd/Nrd)$$

El que se cumpla la condición anterior es suficiente para que el punto quede dentro del diagrama de interacción representado en el artículo 6.3.6.5 de la RPX-95

#### Esfuerzos resistentes (según características micro)

Nrd (kN)	466.8	kN
Mrd	21.1	kN*m
Vrd	304.7	kN

VERDADERO VERDADERO

ESTRIBO	FRAME	OutputCase	CaseType	Nd	Vd	Md	Cumple 1	Cumple 2
Text	Text	Text	Text	KN	KN	KN-m		
1Y2	29	ELU_02_T0_Min	Combination	19.6	5.0	6.0	VERDADERO	VERDADERO
1Y2	29	ELU_02_T0_Min	Combination	16.6	5.1	6.1	VERDADERO	VERDADERO
1Y2	29	ELU_02_T0_Min	Combination	29.7	5.1	6.1	VERDADERO	VERDADERO
1Y2	29	ELU_02_T0_Min	Combination	26.2	5.2	6.1	VERDADERO	VERDADERO
1Y2	29	ELU_02_T0_Min	Combination	34.8	8.2	10.3	VERDADERO	VERDADERO
1Y2	29	ELU_02_T0_Min	Combination	21.1	8.2	10.4	VERDADERO	VERDADERO
1Y2	29	ELU_02_T0_Min	Combination	29.5	5.1	6.1	VERDADERO	VERDADERO
1Y2	29	ELU_02_T0_Min	Combination	26.5	5.2	6.1	VERDADERO	VERDADERO
1Y2	29	ELU_02_TINF_M	Combination	64.9	6.4	7.5	VERDADERO	VERDADERO
1Y2	29	ELU_02_TINF_M	Combination	34.7	7.0	8.4	VERDADERO	VERDADERO
1Y2	29	ELU_02_TINF_M	Combination	61.1	6.5	7.6	VERDADERO	VERDADERO
1Y2	29	ELU_02_TINF_M	Combination	30.9	7.1	8.5	VERDADERO	VERDADERO
1Y2	29	ELU_02_TINF_M	Combination	20.5	12.7	15.6	VERDADERO	VERDADERO
1Y2	29	ELU_02_TINF_M	Combination	101.3	13.2	16.3	VERDADERO	VERDADERO
1Y2	29	ELU_02_TINF_M	Combination	16.7	12.8	15.7	VERDADERO	VERDADERO
1Y2	29	ELU_02_TINF_M	Combination	97.6	13.3	16.4	VERDADERO	VERDADERO
1Y2	29	ELU_02_TINF_M	Combination	58.9	6.7	7.9	VERDADERO	VERDADERO
1Y2	29	ELU_02_TINF_M	Combination	31.9	7.0	8.4	VERDADERO	VERDADERO
1Y2	29	ELU_02_TINF_M	Combination	55.1	6.8	8.0	VERDADERO	VERDADERO
1Y2	29	ELU_02_TINF_M	Combination	28.1	7.1	8.5	VERDADERO	VERDADERO
1Y2	29	ELU_02_TINF_M	Combination	16.5	5.0	6.1	VERDADERO	VERDADERO
1Y2	29	ELU_02_TINF_M	Combination	21.7	5.1	6.2	VERDADERO	VERDADERO
1Y2	29	ELU_02_TINF_M	Combination	109.6	9.4	11.9	VERDADERO	VERDADERO
1Y2	29	ELU_02_TINF_M	Combination	28.5	9.5	12.1	VERDADERO	VERDADERO
1Y2	29	ELU_02_TINF_M	Combination	16.6	5.0	6.1	VERDADERO	VERDADERO
1Y2	29	ELU_02_TINF_M	Combination	21.5	5.1	6.2	VERDADERO	VERDADERO
1Y2	29	ELU_02_TINF_M	Combination	13.7	5.2	6.2	VERDADERO	VERDADERO
1Y2	29	ELU_02_TINF_M	Combination	18.9	5.2	6.2	VERDADERO	VERDADERO
1Y2	29	ELU_02_TINF_M	Combination	106.8	9.4	12.0	VERDADERO	VERDADERO
1Y2	29	ELU_02_TINF_M	Combination	25.8	9.5	12.1	VERDADERO	VERDADERO
1Y2	29	ELU_02_TINF_M	Combination	13.8	5.2	6.2	VERDADERO	VERDADERO
1Y2	29	ELU_02_TINF_M	Combination	18.7	5.2	6.2	VERDADERO	VERDADERO